

FUTURA

LA SCUOLA PER L'ITALIA DI DOMANI



COMUNE DI
BRUSCIANO



CITTÀ METROPOLITANA DI NAPOLI

PROGETTO DI FATTIBILITÀ TECNICA - ECONOMICA

PIANO NAZIONALE DI RIPRESA E RESILIENZA (PNRR)

MISSIONE 4: ISTRUZIONE E RICERCA

Componente 1 - Potenziamento dell'offerta dei servizi di istruzione: dagli asili nido alle Università
Investimento 1.1: Piano per asili nido e scuole dell'infanzia e servizi di educazione e cura per la prima infanzia

"COSTRUZIONE DI UN ASILO NIDO IN VIA GIOBERTI"

CUP: I35E24000130006 - CIG: B35AD5BB4E

GRUPPO DI PROGETTAZIONE

Arch. Antonio Mugnolo (capogruppo)

Ing. Giuseppe Angri

Ing. Emiddia Tuccillo

Arch. Francesca Sepe

Dott. Geol. Giovanni Sposito

RESPONSABILE DEL PROCEDIMENTO

Ing. Carmine D'Amore

IL SINDACO

Avv. Giacomo Romano



Progetto Strutturale
Fascicolo dei calcoli

SR4

scala -

DATA : Dicembre 2024

Modellazione

La struttura è costituita da diversi elementi distinti, in base alla loro funzione, in:

- Fondazione in c.a. costituita da: platea
- Travi in c.a.
- Pilastri in c.a.
- Solaio per Balcone
- Solaio per Tetti e Coperture

I livelli di sicurezza scelti dal Committente e dal Progettista in funzione del tipo e dell'uso della struttura, nonché in funzione delle conseguenze del danno, con riguardo a persone, beni, e possibile turbativa sociale, compreso il costo delle opere necessarie per la riduzione del rischio di danno o di collasso, hanno indirizzato al progetto di una struttura con i seguenti requisiti:

- sicurezza nei confronti degli Stati Limite Ultimi (SLU);
- sicurezza nei confronti degli Stati Limite di Esercizio (SLE).

La struttura è stata schematizzata attraverso un modello spaziale agli elementi finiti che tenga conto dell'effettivo stato deformativo e di sollecitazione, secondo l'effettiva realizzazione.

I vincoli esterni della struttura sono stati caratterizzati, a seconda della presenza degli elementi di fondazione, con: travi Winkler, plinti diretti, plinti su pali, platee, ovvero con vincoli perfetti di incastro, appoggio, carrello, ecc.

I vincoli interni sono stati schematizzati secondo le sollecitazioni mutuamente scambiate tra gli elementi strutturali, inserendo, ove opportuno, il rilascio di alcune caratteristiche della sollecitazione per schematizzare il comportamento di vincoli interni non iperstatici (cerniere, carrelli, ecc.).

Il modello agli elementi finiti è stato calcolato tenendo conto dell'interazione tra strutture in fondazione e strutture in elevazione, consentendo un'accurata distribuzione delle azioni statiche e sismiche; il calcolo è stato eseguito considerando che la struttura abbia un comportamento elastico lineare.

I solai sono schematizzati come aree di carico, sulle quali vengono definiti i carichi permanenti (QP Solai), i carichi fissi (QFissi Solai) e i carichi variabili (QV solai); tali carichi sono assegnati alle aste in modo automatico in relazione all'influenza delle diverse aree di carico. Le masse corrispondenti ai carichi variabili sui solai nelle combinazioni sismiche sono state trattate in maniera automatica mediante un coefficiente moltiplicativo, definito in funzione della tipologia del solaio.

Il modello utilizzato è stato valutato alla luce dei diversi scenari di carico a cui la struttura è sottoposta durante la sua costruzione e la sua vita, al fine di garantire la sicurezza e la durabilità della stessa. Per la tipologia strutturale affrontata non è stato necessario definire scenari di contingenza; pertanto non si è tenuto conto delle fasi costruttive delle strutture e, inoltre, si ritiene che non ci siano variazioni del modello di calcolo e degli schemi di vincolo, durante la vita dell'opera. Per il dettaglio degli scenari di calcolo si faccia riferimento alla "Relazione di Calcolo".

Il progetto e la verifica degli elementi strutturali è stato effettuato seguendo la teoria degli Stati limite. I parametri relativi alle verifiche effettuate sono riportati nella Relazione di Calcolo.

Il solutore agli elementi finiti impiegato nell'analisi è SpaceSolver, per il calcolo di strutture piane e spaziali schematizzabili da un insieme di elementi finiti tipo:

- BEAM
- PLATE-SHELL
- WINK
- BOUNDARY

Questi elementi interagiscono tra loro attraverso i nodi, con la possibilità di tenere in conto tutti i possibili disassamenti, mediante l'introduzione di conci rigidi e traslazioni degli elementi bidimensionali. Il solutore lavora in campo elastico lineare, si basa sulle routines di Matlab ed è stato sviluppato in collaborazione con l'Università di Roma – Tor Vergata. Il solutore offre la possibilità di risolvere anche travi su suolo alla Winkler con molle spalmate sull'intera suola, anziché sul solo asse, plinti diretti e su pali, pali singoli, platee, piastrelle sottili e spesse, con controllo delle rotazioni attorno all'asse normale alla piastra (drilling). Inoltre, per gli elementi BEAM l'equilibrio è scritto rispetto alla linea dei centri di taglio anziché rispetto alla linea dei baricentri. L'affidabilità del solutore è stata testata su una serie di esempi campioni calcolati con altri procedimenti o con formule note, di cui si rende disponibile la documentazione.

Affidabilità dei codici utilizzati

Il programma è dotato di una serie di filtri di auto diagnostica che segnalano i seguenti eventi:

- labilità della struttura;
- assenza di masse;
- nodi collegati ad aste nulle;

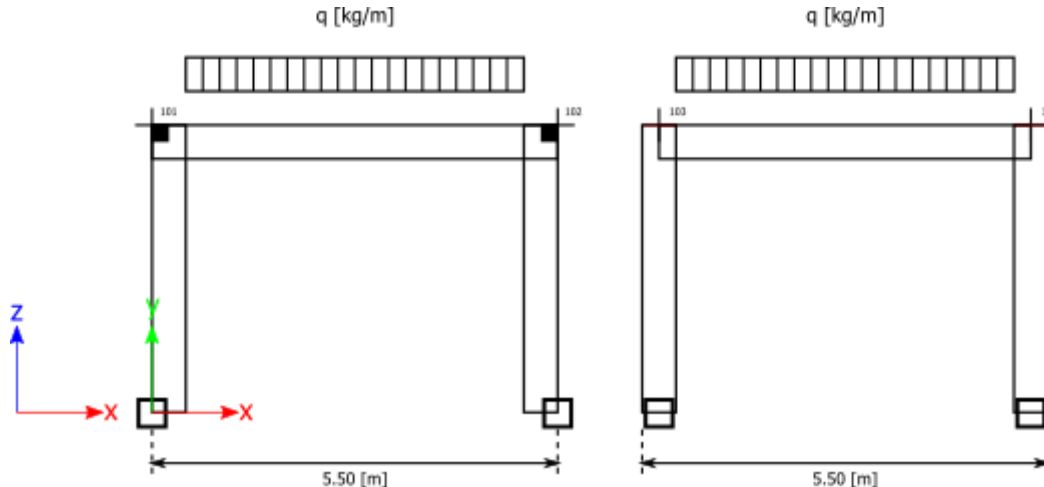
- mancanza di terreno sugli elementi in fondazione;
- controllo sull'assegnazione dei nodi all'impalcato;
- correttezza degli spettri di progetto;
- fattori di partecipazione modal;
- assegnazione dei criteri di verifica agli elementi;
- numerazione degli elementi strutturali;
- congruenza delle connessioni tra elementi shell;
- congruenza delle aree di carico;
- definizione delle caratteristiche d'inerzia delle sezioni;
- presenza del magrone sotto la travi tipo wink;
- elementi non verificati per semi progetto allo SLU, con inserimento automatico delle armature secondo i criteri di verifica;
- elementi non verificati allo SLU per armature già inserite nell'elemento strutturale;
- elementi non verificati allo SLE per armature già inserite nell'elemento strutturale.

Casi prova

L'affidabilità dei codici utilizzati è stata testata attraverso la risoluzione di alcuni casi prova, che il Produttore fornisce all'Utente, e vengono di seguito documentati.

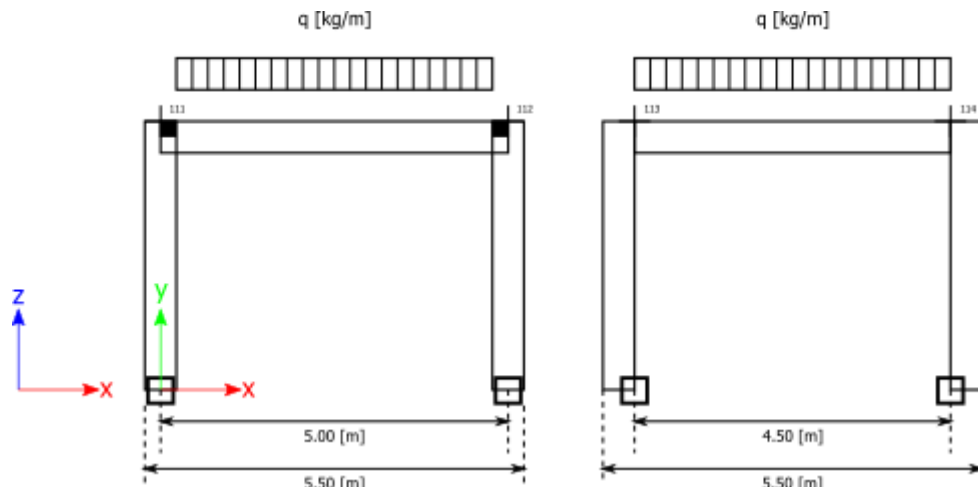
CASO PROVA 1: Influenza della posizione dei nodi rispetto agli assi delle aste

Esempio I



I due portali sono due strutture identiche: il primo, però, ha la luce teorica (da nodo a nodo) del traverso di lunghezza maggiore rispetto al secondo ($5.50 > 5.00$); pertanto i risultati di calcolo sono diversi; se si introducono nel traverso del primo telaio dei conci rigidi pari a 25 cm, cioè mezzo pilastro, allora la luce flessibile dei due telai coincide praticamente e i risultati sono perfettamente coincidenti.

Esempio II



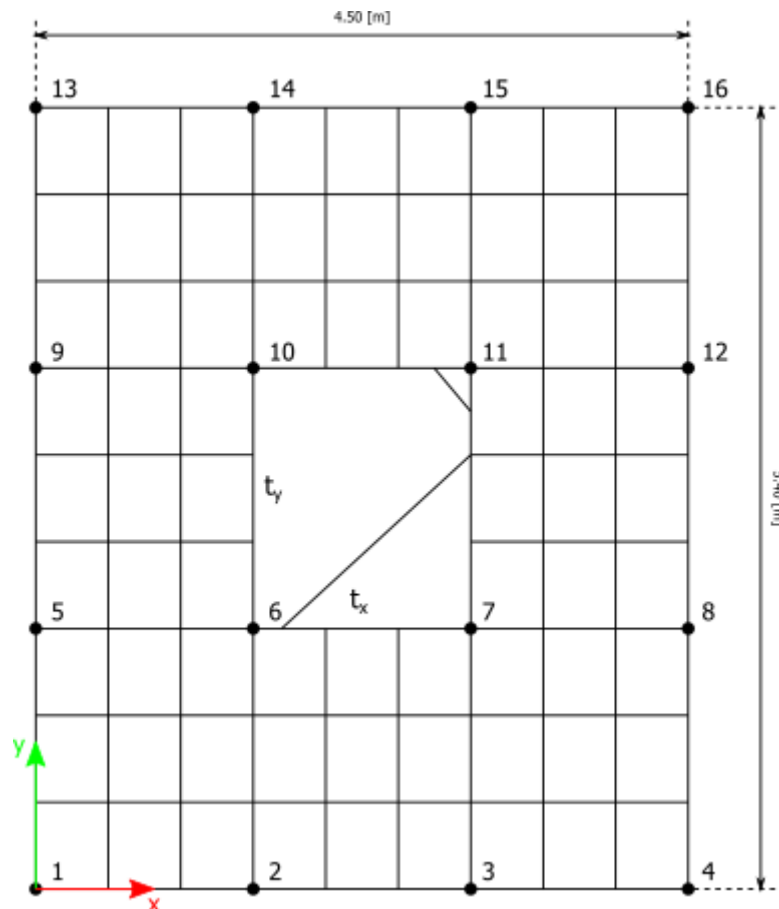
Anche in questo esempio i portali sono due strutture identiche, però il traverso del primo è più lungo rispetto al secondo. I risultati saranno gli stessi se vengono introdotti sul traverso del primo portale dei conci rigidi pari a metà pilastro.

In entrambi gli esempi (anziché introdurre i conci rigidi) si potevano avere gli stessi risultati modificando il filo fisso del traverso del primo portale rispettivamente 8585 per l'esempio I e 8684 per l'esempio II.

Concludendo qualunque sia la posizione dei nodi rispetto agli assi delle travi e dei pilastri, le sollecitazioni sugli assi delle aste (sono sempre le stesse, se la geometria 3D è la stessa e se si scelgono oculatamente i fili fissi o si introducono i conci rigidi).

Al riguardo si ribadisce che lo schema di calcolo è quello 3D e NON lo schema unifilare. Infine si fa notare che l'equilibrio nel nodo (ad esempio N° 101) non sussiste in quanto le sollecitazioni nel traverso vengono prese sull'asse dello stesso, mentre le sollecitazioni del pilastro vengono prese nel nodo e quindi in punti diversi. Per l'equilibrio quindi non bisogna prendere in considerazione solo i momenti, ma anche gli effetti delle altre sollecitazioni sul nodo rigido.

CASO PROVA 2: Piastra rettangolare



- Siano L_x ed L_y i lati della piastra ($L_y > L_x$) e t_x t_y i corrispondenti lati del rettangolo caricato.

- Siano, inoltre:

- p il carico uniforme;
- $P = p \cdot t_x \cdot t_y$, il carico totale;
- $M_{xm} = \alpha_{xm} \cdot P$, il momento al centro, agente parallelamente al lato L_x (cioè nella sezione di mezzeria parallela al lato L_y)
- $M_{ym} = \alpha_{ym} \cdot P$, il momento al centro, agente parallelamente al lato L_y (cioè nella sezione di mezzeria parallela al lato L_x).

Nel caso in esame essendo:

$L_x = 4.5$ m; $L_y = 5.4$ m; $t_x = 1.5$ m; $t_y = 1.8$ m; $p = 5000$ dN/m²; si ha: $P = 13500$ dN.

Per $n = 0$ sarà: $\alpha_{xm} = 0.1377$ e $\alpha_{ym} = 0.1050$.

Pertanto risulta:

$M_{xm} = 1860$ dNm e $M_{ym} = 1418$ dNm.

Se la piastra è discretizzata come in figura (9 x 9) con IperSpace ottengono i seguenti valori:
 $M_{xx} = 1731$ dNm e $M_{yy} = 1314$ dNm, con un errore < 8 %.

Se la discretizzazione è di 15 x 15 elementi i valori sono:
 $M_{xx} = 1810$ dNm e $M_{yy} = 1382$ dNm, con un errore < 3 %.

Se la discretizzazione è di 21 x 21 elementi i valori sono:
 $M_{xx} = 1832$ dNm e $M_{yy} = 1400$ dNm, con un errore < 1.5 %.

CASO PROVA 3: Mensola inflessa

Prendiamo in considerazione la mensola di acciaio ($E = 20.000$ kN/cmq. e $n = 0.25$) delle dimensioni 48x4x1 cm, sollecitata all'estremità da un taglio di 40 kN, (L'esempio è riportato a pag. 121 del testo di C.A. BREBBIA e J.J. CONNOR).

Il limite superiore dello spostamento all' estremo caricato, ottenuto con la Teoria delle travi è pari a 0.53374 cm.

Nella tabella che segue vengono riportati i valori dello spostamento per vari tipi di elementi finiti e varie discretizzazioni.

Risultati estratti dal Testo di Trebbia e Connor

Tipo di elemento	Numero elementi	Freccia di estremità	Errore %
Elemento triangolare a deformazione costante	160 576	0.45834 0.51282	14.59 3.92
Elemento triangolare a deformazione lineare	160 576	0.53259 0.53353	0.22 0.04
Elemento triangolare a deformazione quadratica	68 214	0.53059 0.53259	0.17 0.22
Elemento rettangolare di primo ordine	160	0.51679	3.18
Elemento rettangolare del terzo ordine	52	0.52807	1.25

Risultati del solutore di IperSpace

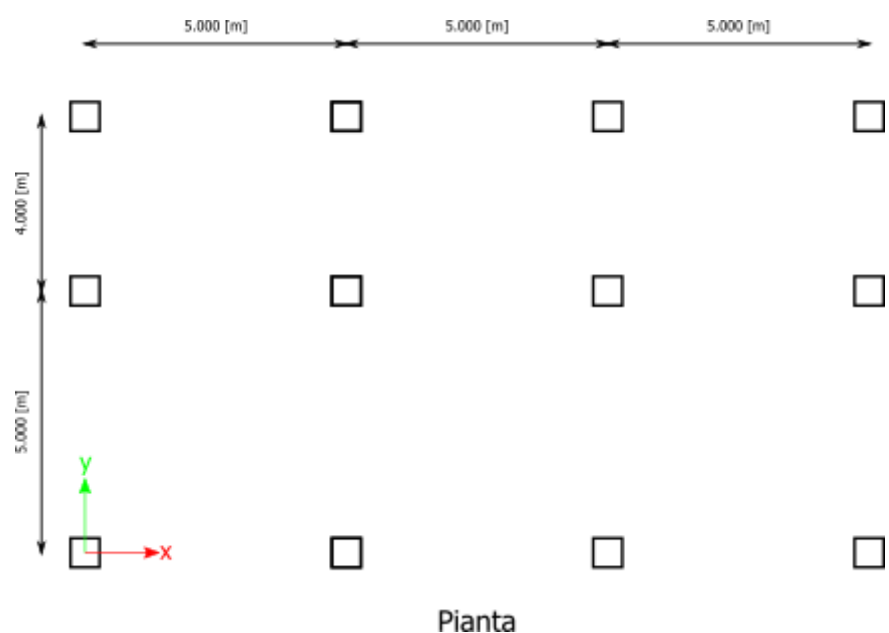
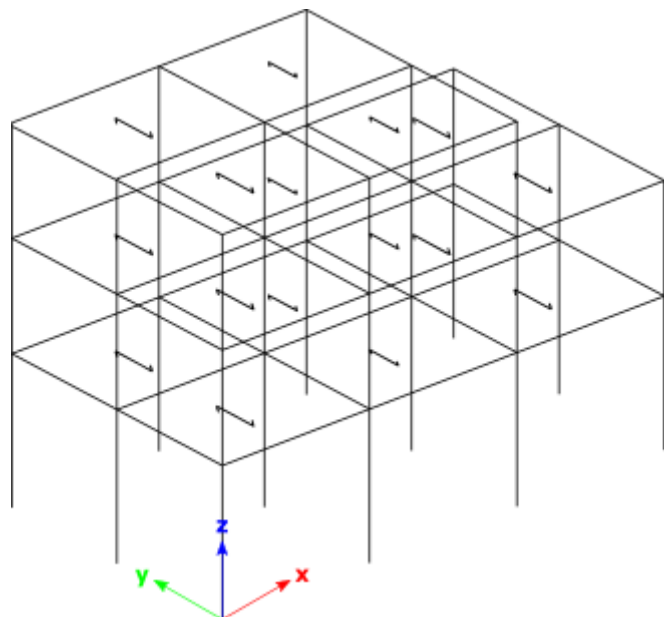
Tipo di elemento	Numero elementi	Freccia di estremità	Errore %
Elemento rettangolare	16	0.5198	2.60
Elemento rettangolare	36	0.5298	0.74
Elemento rettangolare	64	0.5311	0.49
Elemento rettangolare	100	0.5322	0.29
Elemento rettangolare	144	0.5328	0.18

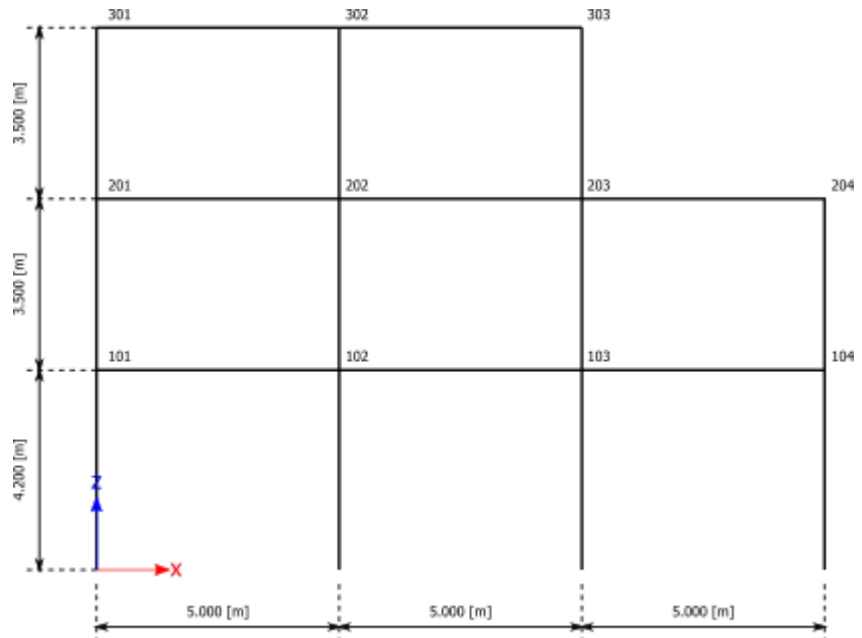
L'elemento piastra consente, con una discretizzazione molto piccola (12x3, 36 elementi), di avere un errore inferiore all'1%. Per ottenere risultati simili occorre eseguire non solo discretizzazioni più spinte, ma scegliere anche elementi a deformazione quadratica o di ordine superiore. La risoluzione di questo problema di modellazione consente di evitare errori grossolani sulla stima di sforzi e deformazioni degli elementi bidimensionali.

CASO PROVA 4: Analisi Dinamica

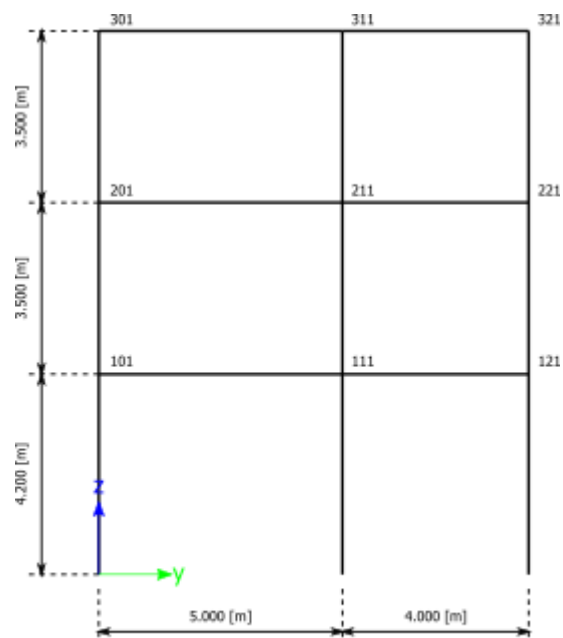
Si consideri la struttura a telaio riportata nelle successive figure, costituita da un materiale con modulo elastico $E=250.000$ dN/mq, nella quale le dimensioni delle sezioni trasversali dei pilastri sono pari a 50x50 cm al primo piano, 40x40 cm al secondo piano e 35x35 cm al terzo piano. Le dimensioni delle sezioni trasversali delle travi sono tutte 25x60.

I carichi gravitazionali sono tutti nulli a meno di un carico uniformemente distribuito, dato attraverso le aree di carico costituite dai solai, che sulla struttura è di 850 dN/m².





Telaio 1



Telaio 4

Nell'ipotesi di telai shear-type, cioè con traversi infinitamente rigidi, il calcolo eseguito dai proff. Carlo Greco e Roberto Ramasco dell' Università di Napoli (esempio riportato nella pubblicazione PROGETTAZIONE E PARTICOLARI ESECUTIVI IN ZONA SISMICA – ed. ANCE), fornisce, per S=12, i seguenti risultati:

Modo	Periodo in sec.	Spostamenti dir y dei nodi del telaio 4 in mm	
1	0.3227	piano primo	1.204
2	0.3160	piano secondo	2.667
3	0.2175	piano terzo	4.332
4	0.1466		
5	0.1450		

I momenti nei pilastri del telaio 4, dovuti solo al primo modo di vibrare, (uguali al piede ed in testa di ogni pilastro, essendo i traversi infinitamente rigidi) sono: $M_1=5309$ dNm; $M_2=3840$ dNm; $M_3=2622$ dNm.

Risultati di IperSpace:

a) traversi deformabili, cioè travi di sezione effettiva (25x60)

Modo	Periodo in sec.	Spostamenti in mm dei nodi del pilastro N° 1	
1	0.431	piano primo	2.157
2	0.416	piano secondo	5.000
3	0.326	piano terzo	7.300
4	0.173		
5	0.170		

I momenti nel pilastro N° 1 (telaio N° 4), dovuti al primo modo (non più uguali in testa e piede come nel modello shear-type) sono : $M_{1\max}=6633 \text{ dNm}$; $M_{2\max}=3210 \text{ dNm}$; $M_{3\max}=2045 \text{ dNm}$.

Dai risultati si evince che ci sono le seguenti variazioni: 25 % circa sul periodo del primo modo di vibrare; 40% sullo spostamento del terzo piano; 20 % sul momento d'incastro al piede del piano primo.

b) traversi rigidi (travi di sezione 200x200 e modulo 21000000 dN/mq)

Modo	Periodo in sec.	Spostamenti in mm dei nodi del pilastro N° 1	
1	0.326	piano primo	1.244
2	0.317	piano secondo	2.728
3	0.251	piano terzo	4.203
4	0.151		
5	0.148		

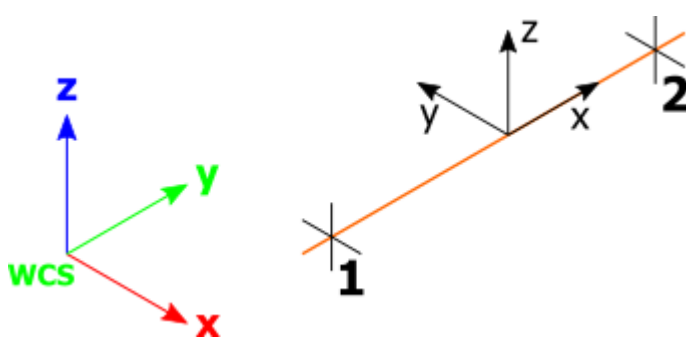
I momenti nel pilastro N° 1, dovuti al primo modo (uguali in testa e piede) sono: $M_1=5509 \text{ dNm}$; $M_2=3878 \text{ dNm}$; $M_3=2258 \text{ dNm}$.

In questo caso le variazioni sono contenute entro il 3 %. E' da presupporre che esse siano dovute essenzialmente al differente tipo di arrotondamento praticato tra il calcolo manuale ed il calcolo numerico, nonché al fatto che il calcolo eseguito da IperSpace è di tipo spaziale.

Si può concludere che il test eseguito in IperSpace sia nettamente positivo. Inoltre la qualità della soluzione del modello shear-type fornisce risultati tanto più grossolani quanto più ci si allontana dall'ipotesi di traversi infinitamente rigidi.

Presentazione dei risultati

I disegni dello schema statico adottato sono riportati nel fascicolo allegato alla presente relazione. E' stato impiegato il Sistema Internazionale per le unità di misura, con riferimento al daN per le forze.



Il sistema di riferimento globale rispetto al quale è stata riferita l'intera struttura è una terna di assi cartesiani sinistrorsa OXYZ (X,Y, e Z sono disposti e orientati rispettivamente secondo il pollice, l'indice ed il medio della mano destra, una volta posizionati questi ultimi a 90° tra loro).

La terna di riferimento locale per un'asta è anch'essa una terna sinistrorsa O'xyz che ha l'asse x orientato dal nodo iniziale I dell'asta verso il nodo finale J e gli assi y e z diretti secondo gli assi geometrici della sezione, con l'asse y orizzontale e orientato in modo da portarsi a coincidere con l'asse x a mezzo di una rotazione oraria di 90° e l'asse z di conseguenza.

Per un'asta comunque disposta nello spazio la sua terna locale è orientata in modo tale da portarsi a coincidere con la terna globale a mezzo di rotazioni orarie degli assi locali inferiori a 180°.

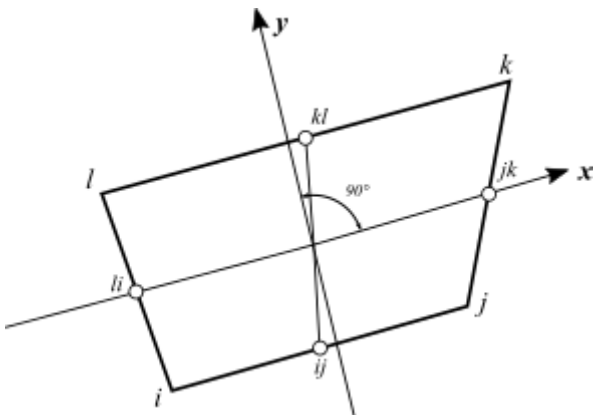
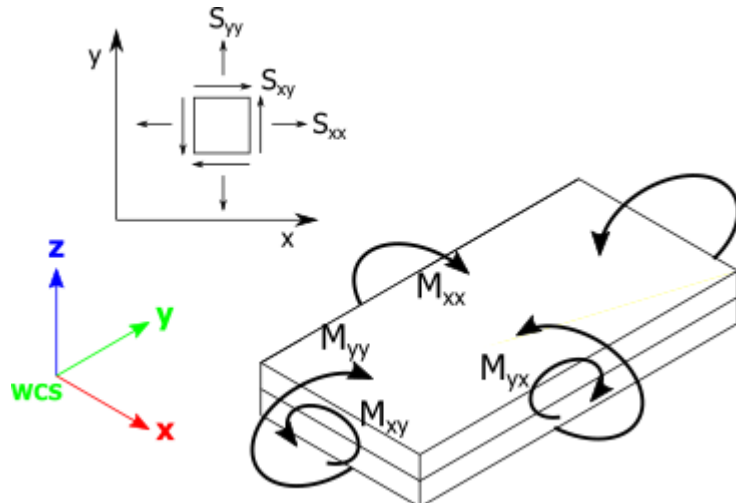
- Le forze, sia sulle aste che sulle pareti o lastre, sono positive se opposte agli assi locali.
- Le forze nodali sono positive se opposte agli assi globali.
- Le coppie sono positive se sinistrorse.

Le caratteristiche di sollecitazione sono positive se sulla faccia di normale positiva sono rappresentate da vettori equiversi agli assi di riferimento locali; in particolare il vettore momento positivo rappresenta una coppia che ruota come

le dita della mano destra che si chiudono quando il pollice è equiverso all'asse locale.

- Le traslazioni sono positive se concordi con gli assi globali.
- Le rotazioni sono positive se sinistrorse.

Il sistema di riferimento locale per gli elementi bidimensionali è quello riportato nelle figure seguenti.



La terna locale per l'elemento shell è costituita dall'asse x locale che va dal nodo li al nodo jk, l'asse y è diretto secondo il piano dell'elemento e orientato verso il nodo i e l'asse z, di conseguenza, è orientato in modo da formare la solita terna sinistrorsa. L'asse z locale rappresenta la normale positiva all'elemento.

Le sollecitazioni dell'elemento sono:

- Sforzi membranali

$$S_{xx} = \sigma_x$$

$$S_{yy} = \sigma_y$$

$$S_{xy} = \tau_{xy}$$

- Sforzi flessionali (momenti)

M_{xx} , momento che genera σ_x (intorno ad y)

M_{yy} , momento che genera σ_y (intorno a x)

M_{xy} , momento torcente che genera τ_{xy}

Le sollecitazioni principali dell'elemento sono:

$$M_{1,2} = \frac{M_{xx} + M_{yy}}{2} \pm \sqrt{\left(\frac{M_{xx} - M_{yy}}{2}\right)^2 + M_{xy}^2}$$

$$S_{1,2} = \frac{S_{xx} + S_{yy}}{2} \pm \sqrt{\left(\frac{S_{xx} - S_{yy}}{2}\right)^2 + S_{xy}^2}$$

$$\tan 2\theta = \frac{M_{xy}}{M_{xx} - M_{yy}} \quad \tan 2\psi = \frac{S_{xy}}{S_{xx} - S_{yy}}$$

dove Θ è l'angolo formato dagli assi principali di M_1 e M_2 con quelli di riferimento e Ψ è l'angolo formato dagli assi principali di S_1 e S_2 con quelli di riferimento. L'elemento shell usato come piastra fornisce i momenti flettenti e non i tagli in direzione ortogonale all'elemento, che possono ottersi come derivazione dei momenti flettenti;

$$\tau_{zx} = M_{xx,x} + M_{xy,y}$$

$$\tau_{zy} = M_{xy,y} + M_{yy,y}$$

Quando invece viene usato come lastra ci restituisce valori di σ e τ costanti, non adatti a rappresentare momenti flettenti, ma solo sforzi normali e tagli nel piano della lastra.

I tabulati di calcolo contengono due sezioni principali: la descrizione del modello di calcolo e la presentazione dei risultati.

La descrizione del modello di calcolo contiene:

- i dati generali (dimensioni);
- le coordinate nodali;
- i vincoli dei nodi e i vincoli interni delle aste, con le eventuali sconnessioni;
- le caratteristiche sezionali;
- le caratteristiche dei solai;
- le caratteristiche delle aste;
- i carichi sulle aste, sui nodi e sui muri (inclusa la distribuzione delle distorsioni impresse, e delle variazioni e dei gradienti di temperatura);
- configurazione di sistemi che introducono stati coattivi;
- le caratteristiche dei materiali;
- legami costitutivi e criteri di verifica;
- le condizioni di carico.

La stampa dei risultati contiene:

- le combinazioni dei carichi;
- le forze sismiche agenti sulla struttura;
- gli spostamenti d'impalcato, se l'impalcato è rigido;
- gli spostamenti nodali;
- le sollecitazioni sulle membrature per ogni combinazione di carico;
- la sollecitazione sul terreno sotto travi di fondazione o platee;
- deformate;
- diagrammi sollecitazioni.

Tabulati di input

Dati generali

Nome struttura	Struttura_01
Fattore rigidezza assiale pilastri	10
Numero di frequenze	25
% Filtro masse libere	0.1
% Coefficiente di smorzamento viscoso	5
Spostamenti modali con segno	Si
Deformabilità a taglio delle aste	Si
Spostamento ammissibile impalcati	0.0050*h

Impalcati

N°	Quota	Rigido	Incr.Soll.Pil	Inc.Soll.Par.
	mm	mm		
0	0	No	1.000	1.000
1	5100	Si	1.000	1.000

Percentuali Spostamento masse impalcati

Posizione	% Spostamento direzione X	% Spostamento direzione Y
1	0	-5
2	5	0
3	0	5
4	-5	0

Combinazioni del Sisma in X e Y e Verticale

Comb.	Pos. SismaX	Pos. SismaY	Fx	Fy	Fz
1	1	2	1	0.3	0
2	1	2	0.3	1	0
3	1	4	1	0.3	0
4	1	4	0.3	1	0
5	3	2	1	0.3	0
6	3	2	0.3	1	0
7	3	4	1	0.3	0
8	3	4	0.3	1	0

Comb. Numero di combinazione dei sismi

Pos. SismaX Posizione in cui viene scelto il sisma in direzione X

Pos. SismaY Posizione in cui viene scelto il sisma in direzione Y

Fx Fattore con cui il sisma X partecipa

Fy Fattore con cui il sisma Y partecipa

Fz Fattore con cui il sisma Verticale partecipa (quando richiesto)

Ogni combinazione genera al massimo 8 sotto-combinazioni in base a tutte le combinazioni possibili dei segni di Fx ed Fy ed Fz.

Spettri di risposta

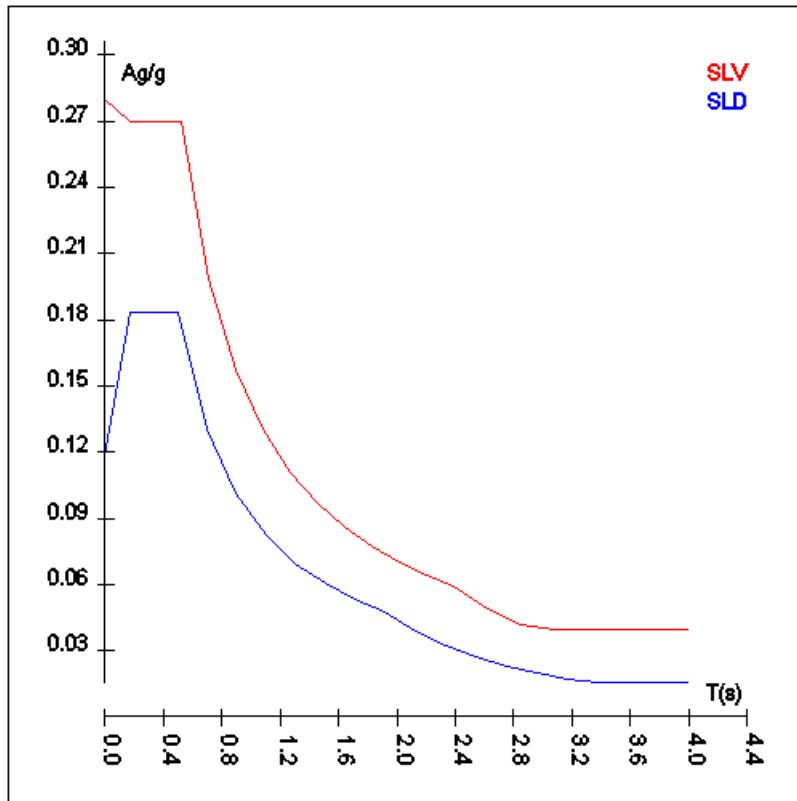
Spettro: SpettroNT_2018

Il calcolo degli spettri e del fattore di comportamento sono stati calcolati per la seguente tipologia di terreno e struttura.

Vita della struttura	
Tipo	Opere ordinarie (50-100)
Vita nominale VN [anni]	50.0
Classe d'uso	III
Coefficiente d'uso CU	1.500
Periodo di riferimento VR [anni]	75.000
Probabilità di superamento PVR allo Stato limite di esercizio - SLD	63.0%
Probabilità di superamento PVR allo Stato limite ultimo - SLV	10.0%
Periodo di ritorno TR SLD [anni]	75.4
Periodo di ritorno TR SLV [anni]	711.8
Parametri del sito	
Comune	Brusciano (NA)
Longitudine	14.4225
Latitudine	40.9206
Id reticollo del sito	32759-32981-32760-32982
Valori di riferimento del sito	
Accelerazione orizzontale massima del sito Ag/g - SLD (TR=75.4)	0.0785
Fattore di amplificazione dello spettro Fo - SLD (TR=75.4)	2.3382
Periodo di riferimento di inizio del tratto a velocità costante T°C [s] - SLD (TR=75.4)	0.326
Accelerazione orizzontale massima del sito Ag/g - SLV (TR=711.8)	0.1985
Fattore di amplificazione dello spettro Fo - SLV (TR=711.8)	2.4262
Periodo di riferimento di inizio del tratto a velocità costante T°C [s] - SLV (TR=711.8)	0.354
Coefficiente Amplificazione Topografica St	1.000
Categoria terreno	C
Stato limite SLV	
Coefficiente di amplificazione stratigrafica Ss	1.41
Periodo di inizio del tratto ad accelerazione costante dello spettro TB [s]	0.17
Periodo di inizio del tratto a velocità costante dello spettro TC [s]	0.52

Periodo di inizio del tratto a spostamento costante dello spettro TD [s]	2.39
Stato limite SLD	
Coefficiente di amplificazione stratigrafica Ss	1.50
Periodo di inizio del tratto ad accelerazione costante dello spettro TB [s]	0.17
Periodo di inizio del tratto a velocità costante dello spettro TC [s]	0.50
Periodo di inizio del tratto a spostamento costante dello spettro TD [s]	1.91
Fattore di comportamento (SLV)	
Classe duttilità	B
Tipo progettazione	Dissipativa
Tipo struttura	Cemento armato
Fattore di riduzione per regolarità in altezza Kr- Struttura non regolare	0.800000
Fattore di riduzione per rottura pareti Kw	1.000
Regolare in pianta	NO (cfr.NTC7.3.1)
Coefficiente moltiplicativo Ce - struttura a telaio, a pareti accoppiate e miste	3.000
Au/A1 - Telaio 1 piano	1.100
Fattore di comportamento q = Kw*Kr*q0=Kw*Kr*Ce*(1+Au/A1)/2	2.520
Fattore di comportamento (SLD)	
q	1.500

T SLV [s]	Sd SLV[a/g]	T SLD [s]	Sd SLD[a/g]
0.00000	0.28010	0.00000	0.11771
0.17455	0.26967	0.16529	0.18348
0.52366	0.26967	0.49587	0.18348
0.71070	0.19870	0.69845	0.13027
0.89773	0.15730	0.90102	0.10098
1.08477	0.13018	1.10359	0.08244
1.27180	0.11104	1.30617	0.06966
1.45884	0.09680	1.50874	0.06030
1.64587	0.08580	1.71132	0.05317
1.83291	0.07705	1.91389	0.04754
2.01994	0.06991	2.12250	0.03865
2.20698	0.06399	2.33111	0.03204
2.39402	0.05899	2.53972	0.02700
2.62344	0.04912	2.74834	0.02305
2.85287	0.04154	2.95695	0.01992
3.08229	0.03970	3.16556	0.01738
3.31172	0.03970	3.37417	0.01569
3.54115	0.03970	3.58278	0.01569
3.77057	0.03970	3.79139	0.01569
4.00000	0.03970	4.00000	0.01569



Caratteristiche del terreno

Strato n°	Spessore	γ	γ_{Sat}	ϕ	Addensato	OCR	Coesione	Cu	E	v
	cm	kg/mc	kg/mc	°			kg/cmq	kg/cmq	kg/cmq	
Terreno1: Cost.Winkler=2.00 kg/cmc - Quota falda=500 cm										
1	120	1160	2000	17	Si	--	0.00	0.00	7E00	0.42
2	260	1380	2000	24	Si	--	0.00	0.00	5E01	0.39

Materiali		
C25/30		
Peso specifico		kg/mc
Modulo di Young E		kg/cmq
Modulo di Poisson v		0.13
Coefficiente di dilatazione termica λ		1/°C
		1e-05

Nodi - Geometria e vincoli

Nodo	X	Y	Z	Tx	Ty	Tz	Rx	Ry	Rz	Impalcato	
										Vincoli	
0	1500	8214	4100	0	0	0	0	0	0		1
0	2840	11244	4100	0	0	0	0	0	0		1
2	5765	500	0	1	1	0	0	0	1		0
3	27367	500	0	1	1	0	0	0	1		0
4	16858	1800	0	1	1	0	0	0	1		0
5	500	4745	0	1	1	0	0	0	1		0
6	5765	4745	0	1	1	0	0	0	1		0
7	27367	4745	0	1	1	0	0	0	1		0
8	32617	4745	0	1	1	0	0	0	1		0
9	11812	8212	0	1	1	0	0	0	1		0
10	16858	8212	0	1	1	0	0	0	1		0
11	21305	8212	0	1	1	0	0	0	1		0
12	4565	8213	0	1	1	0	0	0	1		0
13	27367	8213	0	1	1	0	0	0	1		0

Nodo	X	Y	Z	Tx	Ty	Tz	Rx	Ry	Rz	Impalcato
14	9275	11244	0	1	1	0	0	0	1	0
15	27795	11244	0	1	1	0	0	0	1	0
16	19418	13442	0	1	1	0	0	0	1	0
17	27795	14756	0	1	1	0	0	0	1	0
18	32617	14756	0	1	1	0	0	0	1	0
19	1840	14803	0	1	1	0	0	0	1	0
20	6116	14803	0	1	1	0	0	0	1	0
21	9275	14803	0	1	1	0	0	0	1	0
22	6116	19108	0	1	1	0	0	0	1	0
23	9275	19108	0	1	1	0	0	0	1	0
24	14672	19108	0	1	1	0	0	0	1	0
25	23564	19108	0	1	1	0	0	0	1	0
26	27795	19108	0	1	1	0	0	0	1	0
27	0	0	0	1	1	0	0	0	1	0
28	12612	0	0	1	1	0	0	0	1	0
29	20505	0	0	1	1	0	0	0	1	0
30	33117	0	0	1	1	0	0	0	1	0
31	1500	500	0	1	1	0	0	0	1	0
32	12112	500	0	1	1	0	0	0	1	0
33	21005	500	0	1	1	0	0	0	1	0
34	31617	500	0	1	1	0	0	0	1	0
35	1098	584	0	1	1	0	0	0	1	0
36	32093	621	0	1	1	0	0	0	1	0
37	823	764	0	1	1	0	0	0	1	0
38	32406	886	0	1	1	0	0	0	1	0
39	621	1024	0	1	1	0	0	0	1	0
40	32562	1175	0	1	1	0	0	0	1	0
41	12612	1300	0	1	1	0	0	0	1	0
42	20505	1300	0	1	1	0	0	0	1	0
43	32632	1485	0	1	1	0	0	0	1	0
44	500	1500	0	1	1	0	0	0	1	0
45	12112	2100	0	1	1	0	0	0	1	0
46	21005	2100	0	1	1	0	0	0	1	0
47	500	7214	0	1	1	0	0	0	1	0
48	584	7616	0	1	1	0	0	0	1	0
49	823	7950	0	1	1	0	0	0	1	0
50	1175	8160	0	1	1	0	0	0	1	0
51	32617	8212	0	1	1	0	0	0	1	0
52	31317	8213	0	1	1	0	0	0	1	0
53	1500	8214	0	1	1	0	0	0	1	0
54	0	8714	0	1	1	0	0	0	1	0
55	1340	8714	0	1	1	0	0	0	1	0
56	2840	11244	0	1	1	0	0	0	1	0
57	4584	11244	0	1	1	0	0	0	1	0
58	6116	11244	0	1	1	0	0	0	1	0
59	13672	11244	0	1	1	0	0	0	1	0
60	24564	11244	0	1	1	0	0	0	1	0
61	31317	11244	0	1	1	0	0	0	1	0
62	32617	11244	0	1	1	0	0	0	1	0
63	2515	11298	0	1	1	0	0	0	1	0
64	24240	11298	0	1	1	0	0	0	1	0
65	14073	11328	0	1	1	0	0	0	1	0
66	2162	11508	0	1	1	0	0	0	1	0
67	14349	11508	0	1	1	0	0	0	1	0
68	23887	11508	0	1	1	0	0	0	1	0
69	1924	11842	0	1	1	0	0	0	1	0
70	14587	11842	0	1	1	0	0	0	1	0
71	23648	11842	0	1	1	0	0	0	1	0
72	1840	12244	0	1	1	0	0	0	1	0
73	14672	12244	0	1	1	0	0	0	1	0
74	23564	12244	0	1	1	0	0	0	1	0
75	14672	13442	0	1	1	0	0	0	1	0
76	23564	13442	0	1	1	0	0	0	1	0
77	15172	14242	0	1	1	0	0	0	1	0
78	23064	14242	0	1	1	0	0	0	1	0
79	23564	15056	0	1	1	0	0	0	1	0
80	14672	15102	0	1	1	0	0	0	1	0
81	32617	18108	0	1	1	0	0	0	1	0
82	1825	18123	0	1	1	0	0	0	1	0

Nodo	X	Y	Z	Tx	Ty	Tz	Rx	Ry	Rz	Impalcato
83	1924	18509	0	1	1	0	0	0	1	0
84	32532	18510	0	1	1	0	0	0	1	0
85	2104	18785	0	1	1	0	0	0	1	0
86	32294	18844	0	1	1	0	0	0	1	0
87	2438	19024	0	1	1	0	0	0	1	0
88	31941	19054	0	1	1	0	0	0	1	0
89	2840	19108	0	1	1	0	0	0	1	0
90	31617	19108	0	1	1	0	0	0	1	0
91	1340	19608	0	1	1	0	0	0	1	0
92	15172	19608	0	1	1	0	0	0	1	0
93	23064	19608	0	1	1	0	0	0	1	0
94	33117	19608	0	1	1	0	0	0	1	0
95	31317	11244	4100	0	0	0	0	0	0	1
96	32617	11244	4100	0	0	0	0	0	0	1
97	31317	8213	4100	0	0	0	0	0	0	1
98	32617	8212	4100	0	0	0	0	0	0	1
99	4584	11244	4100	0	0	0	0	0	0	1
100	4565	8213	4100	0	0	0	0	0	0	1
102	5765	500	5100	0	0	0	0	0	0	1
103	27367	500	5100	0	0	0	0	0	0	1
104	16858	1800	5100	0	0	0	0	0	0	1
105	500	4745	5100	0	0	0	0	0	0	1
106	5765	4745	5100	0	0	0	0	0	0	1
107	27367	4745	5100	0	0	0	0	0	0	1
108	32617	4745	5100	0	0	0	0	0	0	1
109	11812	8212	5100	0	0	0	0	0	0	1
110	16858	8212	5100	0	0	0	0	0	0	1
111	21305	8212	5100	0	0	0	0	0	0	1
112	4565	8213	5100	0	0	0	0	0	0	1
113	27367	8213	5100	0	0	0	0	0	0	1
114	9275	11244	5100	0	0	0	0	0	0	1
115	27795	11244	5100	0	0	0	0	0	0	1
116	19418	13442	5100	0	0	0	0	0	0	1
117	27795	14756	5100	0	0	0	0	0	0	1
118	32617	14756	5100	0	0	0	0	0	0	1
119	1840	14803	5100	0	0	0	0	0	0	1
120	6116	14803	5100	0	0	0	0	0	0	1
121	9275	14803	5100	0	0	0	0	0	0	1
122	6116	19108	5100	0	0	0	0	0	0	1
123	9275	19108	5100	0	0	0	0	0	0	1
124	14672	19108	5100	0	0	0	0	0	0	1
125	23564	19108	5100	0	0	0	0	0	0	1
126	27795	19108	5100	0	0	0	0	0	0	1
131	1500	500	5100	0	0	0	0	0	0	1
132	12112	500	5100	0	0	0	0	0	0	1
133	21005	500	5100	0	0	0	0	0	0	1
134	31617	500	5100	0	0	0	0	0	0	1
135	1098	584	5100	0	0	0	0	0	0	1
136	32093	621	5100	0	0	0	0	0	0	1
137	823	764	5100	0	0	0	0	0	0	1
138	32406	886	5100	0	0	0	0	0	0	1
139	621	1024	5100	0	0	0	0	0	0	1
140	32562	1175	5100	0	0	0	0	0	0	1
143	32632	1485	5100	0	0	0	0	0	0	1
144	500	1500	5100	0	0	0	0	0	0	1
145	12112	2100	5100	0	0	0	0	0	0	1
146	21005	2100	5100	0	0	0	0	0	0	1
147	500	7214	5100	0	0	0	0	0	0	1
148	584	7616	5100	0	0	0	0	0	0	1
149	823	7950	5100	0	0	0	0	0	0	1
150	1175	8160	5100	0	0	0	0	0	0	1
151	32617	8212	5100	0	0	0	0	0	0	1
152	31317	8213	5100	0	0	0	0	0	0	1
153	1500	8214	5100	0	0	0	0	0	0	1
156	2840	11244	5100	0	0	0	0	0	0	1
157	4584	11244	5100	0	0	0	0	0	0	1
158	6116	11244	5100	0	0	0	0	0	0	1
159	13672	11244	5100	0	0	0	0	0	0	1
160	24564	11244	5100	0	0	0	0	0	0	1

Nodo	X	Y	Z	Tx	Ty	Tz	Rx	Ry	Rz	Impalcato
161	31317	11244	5100	0	0	0	0	0	0	1
162	32617	11244	5100	0	0	0	0	0	0	1
163	2515	11298	5100	0	0	0	0	0	0	1
164	24240	11298	5100	0	0	0	0	0	0	1
165	14073	11328	5100	0	0	0	0	0	0	1
166	2162	11508	5100	0	0	0	0	0	0	1
167	14349	11508	5100	0	0	0	0	0	0	1
168	23887	11508	5100	0	0	0	0	0	0	1
169	1924	11842	5100	0	0	0	0	0	0	1
170	14587	11842	5100	0	0	0	0	0	0	1
171	23648	11842	5100	0	0	0	0	0	0	1
172	1840	12244	5100	0	0	0	0	0	0	1
173	14672	12244	5100	0	0	0	0	0	0	1
174	23564	12244	5100	0	0	0	0	0	0	1
175	14672	13442	5100	0	0	0	0	0	0	1
176	23564	13442	5100	0	0	0	0	0	0	1
179	23564	15056	5100	0	0	0	0	0	0	1
180	14672	15102	5100	0	0	0	0	0	0	1
181	32617	18108	5100	0	0	0	0	0	0	1
182	1825	18123	5100	0	0	0	0	0	0	1
183	1924	18509	5100	0	0	0	0	0	0	1
184	32532	18510	5100	0	0	0	0	0	0	1
185	2104	18785	5100	0	0	0	0	0	0	1
186	32294	18844	5100	0	0	0	0	0	0	1
187	2438	19024	5100	0	0	0	0	0	0	1
188	31941	19054	5100	0	0	0	0	0	0	1
189	2840	19108	5100	0	0	0	0	0	0	1
190	31617	19108	5100	0	0	0	0	0	0	1

Nodi - Carichi

N°	Cond.	Fx	Fy	Fz	Mx	My	Mz	Tx	Ty	Tz	Rx	Ry	Rz	Δt
		kg			kg*m			mm			mrad			°C
0	QP Solai	0	0	90	8	40	0							
0	QFissi Solai	0	0	48	4	22	0							
0	QV Solai	0	0	128	12	58	0							
0	QV SolaiPsi0	0	0	90	8	40	0							
0	QV SolaiPsi1	0	0	90	8	40	0							
0	QV SolaiPsi2	0	0	77	7	35	0							
104	QP Solai	0	0	287	43	45	0							
104	QFissi Solai	0	0	195	29	30	0							
104	QV Solai	0	0	177	26	27	0							
105	QP Solai	0	0	242	-36	-36	0							
105	QFissi Solai	0	0	165	-25	-25	0							
105	QV Solai	0	0	149	-22	-22	0							
106	QP Solai	0	0	203	-35	29	0							
106	QFissi Solai	0	0	138	-24	20	0							
106	QV Solai	0	0	125	-22	18	0							
107	QP Solai	0	0	241	-36	-36	0							
107	QFissi Solai	0	0	164	-25	-25	0							
107	QV Solai	0	0	149	-22	-22	0							
108	QP Solai	0	0	241	-36	36	0							
108	QFissi Solai	0	0	164	-25	25	0							
108	QV Solai	0	0	149	-22	22	0							
109	QP Solai	0	0	66	-5	-24	0							
109	QP Solai	0	0	19	-3	-3	0							
109	QFissi Solai	0	0	13	-2	-2	0							
109	QFissi Solai	0	0	45	-3	-16	0							
109	QV Solai	0	0	11	-2	-2	0							
109	QV Solai	0	0	41	-3	-15	0							
110	QP Solai	0	0	298	-45	45	0							
110	QFissi Solai	0	0	203	-30	30	0							
110	QV Solai	0	0	183	-28	28	0							
111	QP Solai	0	0	9	-1	1	0							
111	QFissi Solai	0	0	6	-1	1	0							
111	QV Solai	0	0	5	-1	1	0							
112	QP Solai	0	0	543	-81	-366	0							
112	QFissi Solai	0	0	369	-55	-249	0							
112	QV Solai	0	0	334	-50	-225	0							
113	QP Solai	0	0	162	-24	-24	0							
113	QFissi Solai	0	0	110	-17	-17	0							

N°	Cond.	Fx	Fy	Fz	Mx	My	Mz	Tx	Ty	Tz	Rx	Ry	Rz	Δt
113	QV Solai	0	0	100	-15	-15	0							
114	QP Solai	0	0	161	19	-24	0							
114	QP Solai	0	0	2	0	0	0							
114	QFissi Solai	0	0	109	13	-16	0							
114	QFissi Solai	0	0	1	0	0	0							
114	QV Solai	0	0	99	12	-15	0							
115	QP Solai	0	0	57	9	-6	0							
115	QFissi Solai	0	0	39	6	-4	0							
115	QV Solai	0	0	35	5	-4	0							
118	QP Solai	0	0	149	16	22	0							
118	QFissi Solai	0	0	102	11	15	0							
118	QV Solai	0	0	92	10	14	0							
119	QP Solai	0	0	131	14	-20	0							
119	QFissi Solai	0	0	89	10	-13	0							
119	QV Solai	0	0	80	9	-12	0							
145	QP Solai	0	0	139	-21	11	0							
145	QFissi Solai	0	0	95	-14	8	0							
145	QV Solai	0	0	86	-13	7	0							
146	QP Solai	0	0	138	-21	-11	0							
146	QFissi Solai	0	0	94	-14	-8	0							
146	QV Solai	0	0	85	-13	-7	0							
152	QP Solai	0	0	81	-12	-6	0							
152	QFissi Solai	0	0	55	-8	-4	0							
152	QV Solai	0	0	50	-7	-4	0							
161	QP Solai	0	0	81	12	-6	0							
161	QFissi Solai	0	0	55	8	-4	0							
161	QV Solai	0	0	50	7	-4	0							
175	QP Solai	0	0	110	8	16	0							
175	QFissi Solai	0	0	74	6	11	0							
175	QV Solai	0	0	67	5	10	0							
176	QP Solai	0	0	110	8	-17	0							
176	QFissi Solai	0	0	75	6	-11	0							
176	QV Solai	0	0	68	5	-10	0							
179	QP Solai	0	0	149	-16	-22	0							
179	QFissi Solai	0	0	102	-11	-15	0							
179	QV Solai	0	0	92	-10	-14	0							
180	QP Solai	0	0	169	-18	25	0							
180	QFissi Solai	0	0	115	-12	17	0							
180	QV Solai	0	0	104	-11	16	0							

Input - Aste - Tabella sezioni tipo

Tipo	Nome	Base	Altezza	Larg.mag.
R		cm	cm	cm
	55x25	55	25	0
	85x25	85	25	0
	30x50	30	50	0
	30x60	30	60	0
	60x30	60	30	0
	120x30	120	30	0
	30x100	30	100	0
	80x20	80	20	0
	90x20	90	20	0

Aste - Geometria e vincoli

Ni	Nf	Vinc.	Sez.	Mat.	Crit.pr.	Rot.	f.f.	xi	yi	zi	xf	yf	zf	Tipo	L2	L3
						°		cm							cm	
1	2	102	I-I	60x30	C25/30	CLS_Pilas_tri	0	3030	0	0	0	0	0	Pila.	510	510
2	3	103	I-I	60x30	C25/30	CLS_Pilas_tri	0	1010	0	0	0	0	0	Pila.	510	510
3	4	104	I-I	60x30	C25/30	CLS_Pilas_tri	0	3030	0	0	0	0	0	Pila.	510	510
4	5	105	I-I	30x60	C25/30	CLS_Pilas_tri	0	7070	0	0	0	0	0	Pila.	510	510
5	6	106	I-I	30x60	C25/30	CLS_Pilas_tri	0	9090	0	0	0	0	0	Pila.	510	510
6	7	107	I-I	30x60	C25/30	CLS_Pilas_tri	0	7070	0	0	0	0	0	Pila.	510	510
7	8	108	I-I	30x60	C25/30	CLS_Pilas_tri	0	9090	0	0	0	0	0	Pila.	510	510

	Ni	Nf	Vinc.	Sez.	Mat.	Crit.pr.	Rot.	f.f.	xi	yi	zi	xf	yf	zf	Tipo	L2	L3
8	12	100	I-I	120x30	C25/30	CLS_Pilas_tri	0	7070	0	0	0	0	0	0	Pila.	410	410
8	100	112	I-I	120x30	C25/30	CLS_Pilas_tri	0	7070	0	0	0	0	0	0	Pila.	100	100
9	9	109	I-I	60x30	C25/30	CLS_Pilas_tri	0	7070	0	0	0	0	0	0	Pila.	510	510
10	10	110	I-I	60x30	C25/30	CLS_Pilas_tri	0	9090	0	0	0	0	0	0	Pila.	510	510
11	11	111	I-I	60x30	C25/30	CLS_Pilas_tri	0	9090	0	0	0	0	0	0	Pila.	510	510
12	13	113	I-I	60x30	C25/30	CLS_Pilas_tri	0	7070	0	0	0	0	0	0	Pila.	510	510
13	14	114	I-I	60x30	C25/30	CLS_Pilas_tri	0	1010	0	0	0	0	0	0	Pila.	510	510
14	15	115	I-I	60x30	C25/30	CLS_Pilas_tri	0	1010	0	0	0	0	0	0	Pila.	510	510
15	16	116	I-I	60x30	C25/30	CLS_Pilas_tri	0	3030	0	0	0	0	0	0	Pila.	510	510
16	19	119	I-I	30x60	C25/30	CLS_Pilas_tri	0	1010	0	0	0	0	0	0	Pila.	510	510
17	20	120	I-I	60x30	C25/30	CLS_Pilas_tri	0	3030	0	0	0	0	0	0	Pila.	510	510
18	21	121	I-I	60x30	C25/30	CLS_Pilas_tri	0	1010	0	0	0	0	0	0	Pila.	510	510
19	17	117	I-I	60x30	C25/30	CLS_Pilas_tri	0	1010	0	0	0	0	0	0	Pila.	510	510
20	18	118	I-I	30x60	C25/30	CLS_Pilas_tri	0	3030	0	0	0	0	0	0	Pila.	510	510
21	22	122	I-I	60x30	C25/30	CLS_Pilas_tri	0	9090	0	0	0	0	0	0	Pila.	510	510
22	23	123	I-I	60x30	C25/30	CLS_Pilas_tri	0	7070	0	0	0	0	0	0	Pila.	510	510
23	24	124	I-I	30x60	C25/30	CLS_Pilas_tri	0	9090	0	0	0	0	0	0	Pila.	510	510
24	25	125	I-I	30x60	C25/30	CLS_Pilas_tri	0	7070	0	0	0	0	0	0	Pila.	510	510
25	26	126	I-I	60x30	C25/30	CLS_Pilas_tri	0	7070	0	0	0	0	0	0	Pila.	510	510
101	153	112	I-I	30x100	C25/30	CLS_Trav_iAlte_30x100	0	9099	0	0	0	0	0	0	Trave	307	307
101	112	109	I-I	30x50	C25/30	CLS_Trav_iAlte	0	9997	0	0	0	0	0	0	Trave	725	725
101	109	110	I-I	30x50	C25/30	CLS_Trav_iAlte	0	9799	0	0	0	0	0	0	Trave	505	505
101	110	111	I-I	30x50	C25/30	CLS_Trav_iAlte	0	9999	0	0	0	0	0	0	Trave	445	445
101	111	113	I-I	30x50	C25/30	CLS_Trav_iAlte	0	9997	0	0	0	0	0	0	Trave	606	606
101	113	152	I-I	30x50	C25/30	CLS_Trav_iAlte	0	9790	0	0	0	0	0	0	Trave	395	395
102	156	157	I-I	30x100	C25/30	CLS_Trav_iAlte_30x100	0	7070	0	0	0	0	0	0	Trave	174	174
103	105	144	I-I	30x100	C25/30	CLS_Trav_iAlte_30x100	0	7770	0	0	0	0	0	0	Trave	324	324
103	147	105	I-I	30x100	C25/30	CLS_Trav_iAlte_30x100	0	7077	0	0	0	0	0	0	Trave	247	247
104	131	102	I-I	30x100	C25/30	CLS_Trav_iAlte_30x100	0	7073	0	0	0	0	0	0	Trave	426	426
104	102	132	I-I	30x100	C25/30	CLS_Trav_iAlte_30x100	0	7370	0	0	0	0	0	0	Trave	635	635
105	145	104	I-I	30x50	C25/30	CLS_Trav_iAlte	0	9073	0	0	0	0	0	0	Trave	476	476
105	104	146	I-I	30x50	C25/30	CLS_Trav_iAlte	0	7390	0	0	0	0	0	0	Trave	416	416
106	133	103	I-I	30x100	C25/30	CLS_Trav_iAlte_30x100	0	7071	0	0	0	0	0	0	Trave	636	636
106	103	134	I-I	30x100	C25/30	CLS_Trav_iAlte_30x100	0	7170	0	0	0	0	0	0	Trave	425	425
107	143	108	I-I	30x100	C25/30	CLS_Trav_iAlte_30x100	0	7079	0	0	0	0	0	0	Trave	326	326
107	108	151	I-I	30x100	C25/30	CLS_Trav_iAlte_30x100	0	7970	0	0	0	0	0	0	Trave	347	347
108	152	161	I-I	30x100	C25/30	CLS_Trav_iAlte_30x100	0	9090	0	0	0	0	0	0	Trave	303	303
109	162	118	I-I	30x100	C25/30	CLS_Trav_iAlte_30x100	0	7073	0	0	0	0	0	0	Trave	351	351
109	118	181	I-I	30x100	C25/30	CLS_Trav_iAlte_30x100	0	7370	0	0	0	0	0	0	Trave	335	335

	Ni	Nf	Vinc.	Sez.	Mat.	Crit.pr.	Rot.	f.f.	xi	yi	zi	xf	yf	zf	Tipo	L2	L3
110	126	125	I-I	30x100	C25/30	CLS_Trav iAlte_30x 100	0	7777	0	0	0	0	0	0	Trave	423	423
110	190	126	I-I	30x100	C25/30	CLS_Trav iAlte_30x 100	0	7077	0	0	0	0	0	0	Trave	382	382
111	125	179	I-I	30x100	C25/30	CLS_Trav iAlte_30x 100	0	7770	0	0	0	0	0	0	Trave	405	405
112	116	175	I-I	30x100	C25/30	CLS_Trav iAlte_30x 100	0	9390	0	0	0	0	0	0	Trave	475	475
112	176	116	I-I	30x100	C25/30	CLS_Trav iAlte_30x 100	0	9093	0	0	0	0	0	0	Trave	415	415
113	180	124	I-I	30x100	C25/30	CLS_Trav iAlte_30x 100	0	7079	0	0	0	0	0	0	Trave	401	401
114	122	189	I-I	30x100	C25/30	CLS_Trav iAlte_30x 100	0	7970	0	0	0	0	0	0	Trave	328	328
114	123	122	I-I	30x100	C25/30	CLS_Trav iAlte_30x 100	0	7779	0	0	0	0	0	0	Trave	316	316
114	124	123	I-I	30x100	C25/30	CLS_Trav iAlte_30x 100	0	7977	0	0	0	0	0	0	Trave	540	540
115	119	172	I-I	30x100	C25/30	CLS_Trav iAlte_30x 100	0	7170	0	0	0	0	0	0	Trave	256	256
115	182	119	I-I	30x100	C25/30	CLS_Trav iAlte_30x 100	0	7071	0	0	0	0	0	0	Trave	332	332
116	176	174	I-I	30x50	C25/30	CLS_Trav iAlte	0	7070	0	0	0	0	0	0	Trave	120	120
117	160	115	I-I	30x50	C25/30	CLS_Trav iAlte	0	7071	0	0	0	0	0	0	Trave	323	323
117	115	161	I-I	30x50	C25/30	CLS_Trav iAlte	0	7170	0	0	0	0	0	0	Trave	352	352
118	158	114	I-I	30x50	C25/30	CLS_Trav iAlte	0	7071	0	0	0	0	0	0	Trave	316	316
118	114	159	I-I	30x50	C25/30	CLS_Trav iAlte	0	7170	0	0	0	0	0	0	Trave	440	440
119	173	175	I-I	30x50	C25/30	CLS_Trav iAlte	0	7070	0	0	0	0	0	0	Trave	120	120
120	102	106	I-I	30x50	C25/30	CLS_Trav iAlte	0	7379	0	0	0	0	0	0	Trave	424	424
121	106	112	I-I	30x50	C25/30	CLS_Trav iAlte	0	7979	0	0	0	0	0	0	Trave	367	367
122	145	109	I-I	30x50	C25/30	CLS_Trav iAlte	0	7097	0	0	0	0	0	0	Trave	612	612
123	146	111	I-I	30x50	C25/30	CLS_Trav iAlte	0	9079	0	0	0	0	0	0	Trave	612	612
124	103	107	I-I	30x50	C25/30	CLS_Trav iAlte	0	9197	0	-0	0	0	0	0	Trave	424	424
124	107	113	I-I	30x50	C25/30	CLS_Trav iAlte	0	9797	0	0	0	0	0	0	Trave	347	347
124	113	115	I-I	85x25	C25/30	CLS_Trav iSpessore	0	8585	0	0	0	0	0	0	Trave	306	306
124	115	117	I-I	85x25	C25/30	CLS_Trav iSpessore	0	8585	0	0	0	0	0	0	Trave	351	351
124	117	126	I-I	85x25	C25/30	CLS_Trav iSpessore	0	8588	0	0	0	0	0	0	Trave	435	435
125	0	0	I-I	90x20	C25/30	CLS_Trav iSpessore	0	7070	0	0	0	0	0	0	Trave	331	331
126	98	96	I-I	80x20	C25/30	CLS_Trav iSpessore	0	7070	0	0	0	0	0	0	Trave	303	303
127	112	157	I-I	30x100	C25/30	CLS_Trav iAlte_30x 100	0	9790	0	0	0	0	0	0	Trave	303	303
128	119	120	I-I	55x25	C25/30	CLS_Trav iSpessore	0	7185	0	0	0	0	0	0	Trave	428	428
128	120	121	I-I	55x25	C25/30	CLS_Trav iSpessore	0	8585	0	0	0	0	0	0	Trave	316	316
128	121	180	I-I	55x25	C25/30	CLS_Trav iSpessore	0	8590	0	0	0	0	0	0	Trave	541	541
129	179	117	I-I	55x25	C25/30	CLS_Trav iSpessore	0	9085	0	0	0	0	0	0	Trave	424	424
129	117	118	I-I	55x25	C25/30	CLS_Trav iSpessore	0	8573	0	0	0	0	0	0	Trave	482	482
130	158	120	I-I	85x25	C25/30	CLS_Trav iSpessore	0	7085	0	0	0	0	0	0	Trave	356	356
130	120	122	I-I	85x25	C25/30	CLS_Trav iSpessore	0	8588	0	0	0	0	0	0	Trave	430	430
131	114	121	I-I	85x25	C25/30	CLS_Trav iSpessore	0	8585	0	0	0	0	0	0	Trave	356	356
131	121	123	I-I	85x25	C25/30	CLS_Trav iSpessore	0	8585	0	0	0	0	0	0	Trave	430	430
132	107	108	I-I	85x25	C25/30	CLS_Trav iSpessore	0	8486	0	0	0	0	0	0	Trave	525	525
133	105	106	I-I	85x25	C25/30	CLS_Trav	0	8486	0	0	0	0	0	0	Trave	526	526

	Ni	Nf	Vinc.	Sez.	Mat.	Crit.pr. iSpessore	Rot.	f.f.	xi	yi	zi	xf	yf	zf	Tipo	L2	L3
134	104	110	I-I	85x25	C25/30	CLS_Trav iSpessore	0	8285	0	0	0	0	0	0	Trave	641	641
135	110	167	I-I	85x25	C25/30	CLS_Trav iSpessore	0	8580	0	0	0	0	0	0	Trave	414	414
136	110	116	I-I	85x25	C25/30	CLS_Trav iSpessore	0	8588	0	0	0	0	0	0	Trave	582	582
137	116	111	I-I	85x25	C25/30	CLS_Trav iSpessore	0	8885	0	0	0	0	0	0	Trave	556	556
138	111	168	I-I	85x25	C25/30	CLS_Trav iSpessore	0	8580	0	0	0	0	0	0	Trave	419	419
139	109	114	I-I	85x25	C25/30	CLS_Trav iSpessore	0	8882	0	0	0	0	0	0	Trave	395	395

Vincoli - Vincoli interni aste

Nome	Vx1	Vy1	Vz1	Rx1	Ry1	Rz1	Lo c1	Vx2	Vy2	Vz2	Rx2	Ry2	Rz2	Lo c2
I-I(default)	1	1	1	1	1	1	Si	1	1	1	1	1	1	Si
I-I	1	1	1	1	1	1	Si	1	1	1	1	1	1	Si

Aste - Carichi

Tabella degli elementi di carico sbalzo: lo sbalzo genera sull'asta a cui è collegato tutte le tipologie di carico generate dal solaio ad esso assegnato; nella tabella dei carichi delle aste il carico generato dallo sbalzo è indicato con (Sb.NN) con NN indice dello sbalzo.

Asta Asta a cui è collegato lo sbalzo

L Lunghezza dell'asta

N1, N2 nodi dell'asta

Xi Distanza dal nodo iniziale dell'asta del punto iniziale dello sbalzo

Bi Larghezza iniziale dello sbalzo

Xf Distanza dal nodo iniziale dell'asta del punto finale dello sbalzo

Bf Larghezza finale dello sbalzo

Stipo Solaio tipo assegnato allo sbalzo

N° Sb.	Asta	L	N1	N2	Xi	Bi	Xf	Bf	STipo
		cm			cm	cm	cm	cm	
1	103	247	147	105	0	65	247	65	Balcone
2	103	324	105	144	0	65	324	65	Balcone
3	104	426	131	102	0	120	426	120	Balcone
4	104	635	102	132	0	120	635	120	Balcone
5	105	476	145	104	0	45	476	45	Balcone
6	105	417	104	146	0	45	417	45	Balcone
7	106	636	133	103	0	120	636	120	Balcone
8	106	425	103	134	0	120	425	120	Balcone
9	107	326	143	108	0	125	326	125	Balcone
10	109	351	162	118	0	125	351	125	Balcone
11	109	335	118	181	0	125	335	125	Balcone
12	110	423	126	125	0	125	423	125	Balcone
13	111	405	125	179	0	125	405	125	Balcone
14	112	415	176	116	0	125	415	125	Balcone
15	112	475	116	175	0	125	475	125	Balcone
16	113	401	180	124	0	125	401	125	Balcone
17	114	540	124	123	0	125	540	125	Balcone
18	114	316	123	122	0	125	316	125	Balcone
19	114	328	122	189	0	125	328	125	Balcone
20	115	332	182	119	100	200	332	200	Balcone
21	115	256	119	172	0	200	256	200	Balcone
22	125	331	0	0	0	85	331	230	Balcone
23	126	303	98	96	0	125	303	125	Balcone

Descrizione carichi aste

UnifG Uniforme globale

UnifL	Uniforme locale
VarG	Variabile lineare globale
VarL	Variabile lineare locale
PolG	Poligonale globale
Termico	Distorsione termica
Torcente	Carico torcente
Precomp.	Carico da precompressione
Poll	Poligonale locale

Sezione	Ni	Nf	Cond.	Tipo c.	Xi	QXi	QYi	QZi	Xf	QXf	QYf	QZf
					cm	car. dist. kg/m coppie torc. kg*m/m			cm	car. dist. kg/m coppie torc. kg*m/m		
Pilastro 1												
60x30	2	102	Peso Proprio	UnifG	0	0	0	450	510	0	0	450
Pilastro 2												
60x30	3	103	Peso Proprio	UnifG	0	0	0	450	510	0	0	450
Pilastro 3												
60x30	4	104	Peso Proprio	UnifG	0	0	0	450	510	0	0	450
Pilastro 4												
30x60	5	105	Peso Proprio	UnifG	0	0	0	450	510	0	0	450
Pilastro 5												
30x60	6	106	Peso Proprio	UnifG	0	0	0	450	510	0	0	450
Pilastro 6												
30x60	7	107	Peso Proprio	UnifG	0	0	0	450	510	0	0	450
Pilastro 7												
30x60	8	108	Peso Proprio	UnifG	0	0	0	450	510	0	0	450
Pilastro 8												
120x30	12	100	Peso Proprio	UnifG	0	0	0	900	410	0	0	900
120x30	100	112	Peso Proprio	UnifG	0	0	0	900	100	0	0	900
Pilastro 9												
60x30	9	109	Peso Proprio	UnifG	0	0	0	450	510	0	0	450
Pilastro 10												
60x30	10	110	Peso Proprio	UnifG	0	0	0	450	510	0	0	450
Pilastro 11												
60x30	11	111	Peso Proprio	UnifG	0	0	0	450	510	0	0	450
Pilastro 12												
60x30	13	113	Peso Proprio	UnifG	0	0	0	450	510	0	0	450
Pilastro 13												
60x30	14	114	Peso Proprio	UnifG	0	0	0	450	510	0	0	450
Pilastro 14												
60x30	15	115	Peso Proprio	UnifG	0	0	0	450	510	0	0	450
Pilastro 15												
60x30	16	116	Peso Proprio	UnifG	0	0	0	450	510	0	0	450
Pilastro 16												
30x60	19	119	Peso Proprio	UnifG	0	0	0	450	510	0	0	450
Pilastro 17												
60x30	20	120	Peso Proprio	UnifG	0	0	0	450	510	0	0	450
Pilastro 18												
60x30	21	121	Peso Proprio	UnifG	0	0	0	450	510	0	0	450
Pilastro 19												
60x30	17	117	Peso Proprio	UnifG	0	0	0	450	510	0	0	450
Pilastro 20												
30x60	18	118	Peso Proprio	UnifG	0	0	0	450	510	0	0	450
Pilastro 21												
60x30	22	122	Peso Proprio	UnifG	0	0	0	450	510	0	0	450
Pilastro 22												
60x30	23	123	Peso Proprio	UnifG	0	0	0	450	510	0	0	450
Pilastro 23												
30x60	24	124	Peso Proprio	UnifG	0	0	0	450	510	0	0	450
Pilastro 24												
30x60	25	125	Peso Proprio	UnifG	0	0	0	450	510	0	0	450
Pilastro 25												
60x30	26	126	Peso Proprio	UnifG	0	0	0	450	510	0	0	450
Trave 0												
Sezione Nulla	0	100	QP Solai	PolG	0	0	0	0	307	0	0	0
Sezione	0	100	QFissi Solai	PolG	0	0	0	0	307	0	0	0

Sezione	Ni	Nf	Cond.	Tipo c.	Xi	QXi	QYi	QZi	Xf	QXf	QYf	QZf
Nulla												
Sezione Nulla	0	100	QV Solai	PolG	0	0	0	0	307	0	0	0
Sezione Nulla	0	100	QV SolaiPsi0	PolG	0	0	0	0	307	0	0	0
Sezione Nulla	0	100	QV SolaiPsi1	PolG	0	0	0	0	307	0	0	0
Sezione Nulla	0	100	QV SolaiPsi2	PolG	0	0	0	0	307	0	0	0
Sezione Nulla	97	95	QP Solai	PolG	0	0	0	146	303	0	0	146
Sezione Nulla	97	95	QFissi Solai	PolG	0	0	0	99	303	0	0	99
Sezione Nulla	97	95	QV Solai	PolG	0	0	0	90	303	0	0	90
Sezione Nulla	99	100	QP Solai	PolG	0	0	0	313	303	0	0	498
Sezione Nulla	99	100	QFissi Solai	PolG	0	0	0	168	303	0	0	267
Sezione Nulla	99	100	QV Solai	PolG	0	0	0	447	303	0	0	711
Sezione Nulla	99	100	QV SolaiPsi0	PolG	0	0	0	313	303	0	0	498
Sezione Nulla	99	100	QV SolaiPsi1	PolG	0	0	0	313	303	0	0	498
Sezione Nulla	99	100	QV SolaiPsi2	PolG	0	0	0	268	303	0	0	427
Sezione Nulla	132	145	QP Solai	PolG	15	0	0	1056	160	0	0	1056
Sezione Nulla	132	145	QFissi Solai	PolG	15	0	0	718	160	0	0	718
Sezione Nulla	132	145	QV Solai	PolG	15	0	0	650	160	0	0	650
Sezione Nulla	133	146	QP Solai	PolG	15	0	0	1058	160	0	0	1058
Sezione Nulla	133	146	QFissi Solai	PolG	15	0	0	720	160	0	0	720
Sezione Nulla	133	146	QV Solai	PolG	15	0	0	651	160	0	0	651
Sezione Nulla	134	136	QP Solai	PolG	0	0	0	0	49	0	0	20
Sezione Nulla	134	136	QFissi Solai	PolG	0	0	0	0	49	0	0	14
Sezione Nulla	134	136	QV Solai	PolG	0	0	0	0	49	0	0	12
Sezione Nulla	135	131	QP Solai	PolG	0	0	0	14	41	0	0	0
Sezione Nulla	135	131	QFissi Solai	PolG	0	0	0	9	41	0	0	0
Sezione Nulla	135	131	QV Solai	PolG	0	0	0	9	41	0	0	0
Sezione Nulla	136	138	QP Solai	PolG	0	0	0	53	4	0	0	58
					4	0	0	484	41	0	0	513
Sezione Nulla	136	138	QFissi Solai	PolG	0	0	0	36	4	0	0	39
					4	0	0	329	41	0	0	349
Sezione Nulla	136	138	QV Solai	PolG	0	0	0	33	4	0	0	35
					4	0	0	298	41	0	0	316
Sezione Nulla	137	135	QP Solai	PolG	0	0	0	426	21	0	0	411
					21	0	0	48	33	0	0	37
Sezione Nulla	137	135	QFissi Solai	PolG	0	0	0	290	21	0	0	279
					21	0	0	32	33	0	0	25
Sezione Nulla	137	135	QV Solai	PolG	0	0	0	262	21	0	0	253
					21	0	0	29	33	0	0	23
Sezione	138	140	QP Solai	PolG	0	0	0	699	33	0	0	721

Sezione	Ni	Nf	Cond.	Tipo c.	Xi	QXi	QYi	QZi	Xf	QXf	QYf	QZf
Nulla												
Sezione Nulla	138	140	QFissi Solai	PolG	0	0	0	475	33	0	0	491
Sezione Nulla	138	140	QV Solai	PolG	0	0	0	430	33	0	0	444
Sezione Nulla	139	137	QP Solai	PolG	0	0	0	641	33	0	0	615
Sezione Nulla	139	137	QFissi Solai	PolG	0	0	0	436	33	0	0	418
Sezione Nulla	139	137	QV Solai	PolG	0	0	0	394	33	0	0	378
Sezione Nulla	140	143	QP Solai	PolG	0	0	0	800	32	0	0	811
Sezione Nulla	140	143	QFissi Solai	PolG	0	0	0	544	32	0	0	551
Sezione Nulla	140	143	QV Solai	PolG	0	0	0	492	32	0	0	499
Sezione Nulla	144	139	QP Solai	PolG	0	0	0	806	49	0	0	787
Sezione Nulla	144	139	QFissi Solai	PolG	0	0	0	548	49	0	0	535
Sezione Nulla	144	139	QV Solai	PolG	0	0	0	496	49	0	0	484
Sezione Nulla	148	147	QP Solai	PolG	0	0	0	802	41	0	0	815
Sezione Nulla	148	147	QFissi Solai	PolG	0	0	0	545	41	0	0	554
Sezione Nulla	148	147	QV Solai	PolG	0	0	0	493	41	0	0	501
Sezione Nulla	149	148	QP Solai	PolG	0	0	0	634	41	0	0	666
Sezione Nulla	149	148	QFissi Solai	PolG	0	0	0	431	41	0	0	453
Sezione Nulla	149	148	QV Solai	PolG	0	0	0	390	41	0	0	410
Sezione Nulla	150	149	QP Solai	PolG	0	0	0	27	19	0	0	40
					19	0	0	384	41	0	0	400
Sezione Nulla	150	149	QFissi Solai	PolG	0	0	0	18	19	0	0	28
					19	0	0	261	41	0	0	272
Sezione Nulla	150	149	QV Solai	PolG	0	0	0	17	19	0	0	25
					19	0	0	236	41	0	0	246
Sezione Nulla	153	150	QP Solai	PolG	0	0	0	0	33	0	0	9
Sezione Nulla	153	150	QFissi Solai	PolG	0	0	0	0	33	0	0	6
Sezione Nulla	153	150	QV Solai	PolG	0	0	0	0	33	0	0	5
Sezione Nulla	156	163	QP Solai	PolG	0	0	0	0	33	0	0	9
Sezione Nulla	156	163	QFissi Solai	PolG	0	0	0	0	33	0	0	6
Sezione Nulla	156	163	QV Solai	PolG	0	0	0	0	33	0	0	5
Sezione Nulla	157	158	QP Solai	PolG	15	0	0	517	153	0	0	517
Sezione Nulla	157	158	QFissi Solai	PolG	15	0	0	351	153	0	0	352
Sezione Nulla	157	158	QV Solai	PolG	15	0	0	318	153	0	0	318
Sezione Nulla	159	165	QP Solai	PolG	0	0	0	506	41	0	0	533
Sezione Nulla	159	165	QFissi Solai	PolG	0	0	0	344	41	0	0	362
Sezione Nulla	159	165	QV Solai	PolG	0	0	0	311	41	0	0	328
Sezione Nulla	160	164	QP Solai	PolG	0	0	0	510	33	0	0	528

Sezione	Ni	Nf	Cond.	Tipo c.	Xi	QXi	QYi	QZi	Xf	QXf	QYf	QZf
Sezione Nulla	160	164	QFissi Solai	PolG	0	0	0	347	33	0	0	359
Sezione Nulla	160	164	QV Solai	PolG	0	0	0	314	33	0	0	325
Sezione Nulla	163	166	QP Solai	PolG	0	0	0	27	19	0	0	40
					19	0	0	278	41	0	0	294
Sezione Nulla	163	166	QFissi Solai	PolG	0	0	0	18	19	0	0	27
					19	0	0	189	41	0	0	200
Sezione Nulla	163	166	QV Solai	PolG	0	0	0	17	19	0	0	25
					19	0	0	171	41	0	0	181
Sezione Nulla	164	168	QP Solai	PolG	0	0	0	480	19	0	0	508
					19	0	0	799	41	0	0	831
Sezione Nulla	164	168	QFissi Solai	PolG	0	0	0	326	19	0	0	345
					19	0	0	543	41	0	0	565
Sezione Nulla	164	168	QV Solai	PolG	0	0	0	295	19	0	0	312
					19	0	0	492	41	0	0	511
Sezione Nulla	165	167	QP Solai	PolG	0	0	0	480	12	0	0	498
					12	0	0	862	33	0	0	893
Sezione Nulla	165	167	QFissi Solai	PolG	0	0	0	326	12	0	0	339
					12	0	0	586	33	0	0	607
Sezione Nulla	165	167	QV Solai	PolG	0	0	0	295	12	0	0	307
					12	0	0	530	33	0	0	549
Sezione Nulla	166	169	QP Solai	PolG	0	0	0	468	41	0	0	501
Sezione Nulla	166	169	QFissi Solai	PolG	0	0	0	318	41	0	0	341
Sezione Nulla	166	169	QV Solai	PolG	0	0	0	288	41	0	0	308
Sezione Nulla	167	170	QP Solai	PolG	0	0	0	1130	41	0	0	1150
Sezione Nulla	167	170	QFissi Solai	PolG	0	0	0	768	41	0	0	782
Sezione Nulla	167	170	QV Solai	PolG	0	0	0	695	41	0	0	707
Sezione Nulla	168	171	QP Solai	PolG	0	0	0	1088	41	0	0	1103
Sezione Nulla	168	171	QFissi Solai	PolG	0	0	0	740	41	0	0	750
Sezione Nulla	168	171	QV Solai	PolG	0	0	0	670	41	0	0	679
Sezione Nulla	169	172	QP Solai	PolG	0	0	0	602	41	0	0	618
Sezione Nulla	169	172	QFissi Solai	PolG	0	0	0	410	41	0	0	420
Sezione Nulla	169	172	QV Solai	PolG	0	0	0	371	41	0	0	380
Sezione Nulla	170	173	QP Solai	PolG	0	0	0	1381	41	0	0	1410
Sezione Nulla	170	173	QFissi Solai	PolG	0	0	0	939	41	0	0	959
Sezione Nulla	170	173	QV Solai	PolG	0	0	0	850	41	0	0	868
Sezione Nulla	171	174	QP Solai	PolG	0	0	0	1328	41	0	0	1349
Sezione Nulla	171	174	QFissi Solai	PolG	0	0	0	903	41	0	0	917
Sezione Nulla	171	174	QV Solai	PolG	0	0	0	817	41	0	0	830
Sezione Nulla	175	180	QP Solai	PolG	0	0	0	828	139	0	0	828
Sezione	175	180	QFissi Solai	PolG	0	0	0	563	139	0	0	563

Sezione	Ni	Nf	Cond.	Tipo c.	Xi	QXi	QYi	QZi	Xf	QXf	QYf	QZf
Nulla												
Sezione Nulla	175	180	QV Solai	PolG	0	0	0	510	139	0	0	510
Sezione Nulla	176	179	QP Solai	PolG	0	0	0	736	134	0	0	736
Sezione Nulla	176	179	QFissi Solai	PolG	0	0	0	501	134	0	0	501
Sezione Nulla	176	179	QV Solai	PolG	0	0	0	453	134	0	0	453
Sezione Nulla	181	184	QP Solai	PolG	0	0	0	719	41	0	0	705
Sezione Nulla	181	184	QFissi Solai	PolG	0	0	0	489	41	0	0	480
Sezione Nulla	181	184	QV Solai	PolG	0	0	0	442	41	0	0	434
Sezione Nulla	183	182	QP Solai	PolG	0	0	0	613	40	0	0	628
Sezione Nulla	183	182	QFissi Solai	PolG	0	0	0	417	40	0	0	427
Sezione Nulla	183	182	QV Solai	PolG	0	0	0	377	40	0	0	387
Sezione Nulla	184	186	QP Solai	PolG	0	0	0	587	41	0	0	556
Sezione Nulla	184	186	QFissi Solai	PolG	0	0	0	399	41	0	0	378
Sezione Nulla	184	186	QV Solai	PolG	0	0	0	361	41	0	0	342
Sezione Nulla	185	183	QP Solai	PolG	0	0	0	505	33	0	0	530
Sezione Nulla	185	183	QFissi Solai	PolG	0	0	0	344	33	0	0	360
Sezione Nulla	185	183	QV Solai	PolG	0	0	0	311	33	0	0	326
Sezione Nulla	186	188	QP Solai	PolG	0	0	0	349	22	0	0	333
					22	0	0	42	41	0	0	28
Sezione Nulla	186	188	QFissi Solai	PolG	0	0	0	237	22	0	0	226
					22	0	0	29	41	0	0	19
Sezione Nulla	186	188	QV Solai	PolG	0	0	0	215	22	0	0	205
					22	0	0	26	41	0	0	17
Sezione Nulla	187	185	QP Solai	PolG	0	0	0	40	11	0	0	50
					11	0	0	328	41	0	0	351
Sezione Nulla	187	185	QFissi Solai	PolG	0	0	0	27	11	0	0	34
					11	0	0	223	41	0	0	239
Sezione Nulla	187	185	QV Solai	PolG	0	0	0	24	11	0	0	31
					11	0	0	202	41	0	0	216
Sezione Nulla	188	190	QP Solai	PolG	0	0	0	9	33	0	0	0
Sezione Nulla	188	190	QFissi Solai	PolG	0	0	0	6	33	0	0	0
Sezione Nulla	188	190	QV Solai	PolG	0	0	0	5	33	0	0	0
Sezione Nulla	189	187	QP Solai	PolG	0	0	0	0	41	0	0	14
Sezione Nulla	189	187	QFissi Solai	PolG	0	0	0	0	41	0	0	9
Sezione Nulla	189	187	QV Solai	PolG	0	0	0	0	41	0	0	9
Trave 101												
30x50	109	110	Peso Proprio	UnifG	0	0	0	375	505	0	0	375
30x50	109	110	QP Solai	PolG	15	0	0	993	43	0	0	993
					43	0	0	1535	186	0	0	1535
					186	0	0	1510	226	0	0	1524
					226	0	0	1524	254	0	0	1553
					254	0	0	1553	475	0	0	993

Sezione	Ni	Nf	Cond.	Tipo c.	Xi	QXi	QYi	QZi	Xf	QXf	QYf	QZf
30x50	109	110	QFissi Solai	PolG	15	0	0	675	43	0	0	675
					43	0	0	1044	186	0	0	1044
					186	0	0	1027	226	0	0	1036
					226	0	0	1036	254	0	0	1056
					254	0	0	1056	475	0	0	675
30x50	109	110	QV Solai	PolG	15	0	0	611	43	0	0	611
					43	0	0	944	186	0	0	944
					186	0	0	929	226	0	0	938
					226	0	0	938	254	0	0	956
					254	0	0	956	475	0	0	611
30x50	110	111	Peso Proprio	UnifG	0	0	0	375	445	0	0	375
30x50	110	111	QP Solai	PolG	0	0	0	993	430	0	0	993
30x50	110	111	QFissi Solai	PolG	0	0	0	675	430	0	0	675
30x50	110	111	QV Solai	PolG	0	0	0	611	430	0	0	611
30x50	111	113	Peso Proprio	UnifG	0	0	0	375	606	0	0	375
30x50	111	113	QP Solai	PolG	0	0	0	58	258	0	0	560
					258	0	0	560	293	0	0	526
					293	0	0	526	326	0	0	517
					326	0	0	0	328	0	0	0
					328	0	0	541	606	0	0	541
30x50	111	113	QFissi Solai	PolG	0	0	0	40	258	0	0	381
					258	0	0	381	293	0	0	358
					293	0	0	358	326	0	0	352
					326	0	0	0	328	0	0	0
					328	0	0	368	606	0	0	368
30x50	111	113	QV Solai	PolG	0	0	0	36	258	0	0	345
					258	0	0	345	293	0	0	324
					293	0	0	324	326	0	0	318
					326	0	0	0	328	0	0	0
					328	0	0	333	606	0	0	333
30x50	112	109	Peso Proprio	UnifG	0	0	0	375	605	0	0	375
30x50	112	109	QP Solai	PolG	0	0	0	517	35	0	0	517
					35	0	0	541	368	0	0	541
					368	0	0	541	605	0	0	83
30x50	112	109	QFissi Solai	PolG	0	0	0	352	35	0	0	352
					35	0	0	368	368	0	0	368
					368	0	0	368	605	0	0	56
30x50	112	109	QV Solai	PolG	0	0	0	318	35	0	0	318
					35	0	0	333	368	0	0	333
					368	0	0	333	605	0	0	51
30x50	113	152	Peso Proprio	UnifG	0	0	0	375	395	0	0	375
30x50	113	152	QP Solai	PolG	30	0	0	0	73	0	0	541
					73	0	0	541	395	0	0	541
30x50	113	152	QFissi Solai	PolG	30	0	0	0	73	0	0	368
					73	0	0	368	395	0	0	368
30x50	113	152	QV Solai	PolG	30	0	0	0	73	0	0	333
					73	0	0	333	395	0	0	333
30x100	153	112	Peso Proprio	UnifG	0	0	0	750	426	0	0	750
Trave 102												
30x100	156	157	Peso Proprio	UnifG	0	0	0	750	174	0	0	750
Trave 103												
30x100	105	144	Peso Proprio	UnifG	0	0	0	750	324	0	0	750
30x100	105	144	QP Solai	PolG	-0	0	0	182	30	0	0	182
					30	0	0	989	324	0	0	989
30x100	105	144	QFissi Solai	PolG	-0	0	0	98	30	0	0	98
					30	0	0	646	324	0	0	646
30x100	105	144	QV Solai	PolG	-0	0	0	260	30	0	0	260
					30	0	0	756	324	0	0	756
30x100	105	144	QV SolaiPsi0(Sb.2)	PolG	-0	0	0	182	324	0	0	182
30x100	105	144	QV SolaiPsi1(Sb.2)	PolG	-0	0	0	182	324	0	0	182
30x100	105	144	QV SolaiPsi2(Sb.2)	PolG	-0	0	0	156	324	0	0	156
30x100	147	105	Peso Proprio	UnifG	0	0	0	750	247	0	0	750
30x100	147	105	QP Solai	PolG	0	0	0	990	247	0	0	990
30x100	147	105	QFissi Solai	PolG	0	0	0	647	247	0	0	647
30x100	147	105	QV Solai	PolG	0	0	0	757	247	0	0	757
30x100	147	105	QV SolaiPsi0(Sb.1)	PolG	-0	0	0	182	247	0	0	182
30x100	147	105	QV SolaiPsi1(Sb.1)	PolG	-0	0	0	182	247	0	0	182
30x100	147	105	QV SolaiPsi2(Sb.1)	PolG	-0	0	0	156	247	0	0	156
Trave 104												

Sezione	Ni	Nf	Cond.	Tipo c.	Xi	QXi	QYi	QZi	Xf	QXf	QYf	QZf
30x100	102	132	Peso Proprio	UnifG	0	0	0	750	635	0	0	750
30x100	102	132	QP Solai(Sb.4)	PolG	-0	0	0	336	635	0	0	336
30x100	102	132	QFissi Solai(Sb.4)	PolG	-0	0	0	180	635	0	0	180
30x100	102	132	QV Solai(Sb.4)	PolG	-0	0	0	480	635	0	0	480
30x100	102	132	QV SolaiPsi0(Sb.4)	PolG	-0	0	0	336	635	0	0	336
30x100	102	132	QV SolaiPsi1(Sb.4)	PolG	-0	0	0	336	635	0	0	336
30x100	102	132	QV SolaiPsi2(Sb.4)	PolG	-0	0	0	288	635	0	0	288
30x100	131	102	Peso Proprio	UnifG	0	0	0	750	426	0	0	750
30x100	131	102	QP Solai(Sb.3)	PolG	-0	0	0	336	426	0	0	336
30x100	131	102	QFissi Solai(Sb.3)	PolG	-0	0	0	180	426	0	0	180
30x100	131	102	QV Solai(Sb.3)	PolG	-0	0	0	480	426	0	0	480
30x100	131	102	QV SolaiPsi0(Sb.3)	PolG	-0	0	0	336	426	0	0	336
30x100	131	102	QV SolaiPsi1(Sb.3)	PolG	-0	0	0	336	426	0	0	336
30x100	131	102	QV SolaiPsi2(Sb.3)	PolG	-0	0	0	288	426	0	0	288

Trave 105

30x50	104	146	Peso Proprio	UnifG	0	0	0	375	417	0	0	375
30x50	104	146	QP Solai	PolG	0	0	0	1119	416	0	0	1119
					416	0	0	993	417	0	0	993
30x50	104	146	QFissi Solai	PolG	0	0	0	743	416	0	0	743
					416	0	0	675	417	0	0	675
30x50	104	146	QV Solai	PolG	0	0	0	791	416	0	0	791
					416	0	0	611	417	0	0	611
30x50	104	146	QV SolaiPsi0(Sb.6)	PolG	-0	0	0	126	416	0	0	126
30x50	104	146	QV SolaiPsi1(Sb.6)	PolG	-0	0	0	126	416	0	0	126
30x50	104	146	QV SolaiPsi2(Sb.6)	PolG	-0	0	0	108	416	0	0	108
30x50	145	104	Peso Proprio	UnifG	0	0	0	375	476	0	0	375
30x50	145	104	QP Solai	PolG	0	0	0	1119	446	0	0	1119
					446	0	0	126	476	0	0	126
30x50	145	104	QFissi Solai	PolG	0	0	0	743	446	0	0	743
					446	0	0	68	476	0	0	68
30x50	145	104	QV Solai	PolG	0	0	0	791	446	0	0	791
					446	0	0	180	476	0	0	180
30x50	145	104	QV SolaiPsi0(Sb.5)	PolG	-0	0	0	126	476	0	0	126
30x50	145	104	QV SolaiPsi1(Sb.5)	PolG	-0	0	0	126	476	0	0	126
30x50	145	104	QV SolaiPsi2(Sb.5)	PolG	-0	0	0	108	476	0	0	108

Trave 106

30x100	103	134	Peso Proprio	UnifG	0	0	0	750	425	0	0	750
30x100	103	134	QP Solai(Sb.8)	PolG	-0	0	0	336	425	0	0	336
30x100	103	134	QFissi Solai(Sb.8)	PolG	-0	0	0	180	425	0	0	180
30x100	103	134	QV Solai(Sb.8)	PolG	-0	0	0	480	425	0	0	480
30x100	103	134	QV SolaiPsi0(Sb.8)	PolG	-0	0	0	336	425	0	0	336
30x100	103	134	QV SolaiPsi1(Sb.8)	PolG	-0	0	0	336	425	0	0	336
30x100	103	134	QV SolaiPsi2(Sb.8)	PolG	-0	0	0	288	425	0	0	288
30x100	133	103	Peso Proprio	UnifG	0	0	0	750	636	0	0	750
30x100	133	103	QP Solai(Sb.7)	PolG	-0	0	0	336	636	0	0	336
30x100	133	103	QFissi Solai(Sb.7)	PolG	-0	0	0	180	636	0	0	180
30x100	133	103	QV Solai(Sb.7)	PolG	-0	0	0	480	636	0	0	480
30x100	133	103	QV SolaiPsi0(Sb.7)	PolG	-0	0	0	336	636	0	0	336
30x100	133	103	QV SolaiPsi1(Sb.7)	PolG	-0	0	0	336	636	0	0	336
30x100	133	103	QV SolaiPsi2(Sb.7)	PolG	-0	0	0	288	636	0	0	288

Trave 107

30x100	108	151	Peso Proprio	UnifG	0	0	0	750	347	0	0	750
30x100	108	151	QP Solai	PolG	0	0	0	804	332	0	0	804
					332	0	0	187	347	0	0	187
30x100	108	151	QFissi Solai	PolG	0	0	0	547	332	0	0	547
					332	0	0	127	347	0	0	127
30x100	108	151	QV Solai	PolG	0	0	0	495	332	0	0	495
					332	0	0	115	347	0	0	115
30x100	143	108	Peso Proprio	UnifG	0	0	0	750	326	0	0	750
30x100	143	108	QP Solai	PolG	-0	0	0	350	3	0	0	350
					3	0	0	1157	296	0	0	1155
					296	0	0	350	326	0	0	350
30x100	143	108	QFissi Solai	PolG	-0	0	0	188	3	0	0	188
					3	0	0	736	296	0	0	735
					296	0	0	188	326	0	0	188
30x100	143	108	QV Solai	PolG	-0	0	0	500	3	0	0	500
					3	0	0	996	296	0	0	995
					296	0	0	500	326	0	0	500
30x100	143	108	QV SolaiPsi0(Sb.9)	PolG	-0	0	0	350	326	0	0	350

Sezione	Ni	Nf	Cond.	Tipo c.	Xi	QXi	QYi	QZi	Xf	QXf	QYf	QZf
30x100	143	108	QV SolaiPsi1(Sb.9)	PolG	-0	0	0	350	326	0	0	350
30x100	143	108	QV SolaiPsi2(Sb.9)	PolG	-0	0	0	300	326	0	0	300
Trave 108												
30x100	152	161	Peso Proprio	UnifG	0	0	0	750	303	0	0	750
Trave 109												
30x100	118	181	Peso Proprio	UnifG	0	0	0	750	335	0	0	750
30x100	118	181	QP Solai	PolG	-0	0	0	350	27	0	0	350
					27	0	0	1060	332	0	0	1060
					332	0	0	350	335	0	0	350
30x100	118	181	QFissi Solai	PolG	-0	0	0	188	27	0	0	187
					27	0	0	671	332	0	0	671
					332	0	0	188	335	0	0	188
30x100	118	181	QV Solai	PolG	-0	0	0	500	27	0	0	500
					27	0	0	937	332	0	0	937
					332	0	0	500	335	0	0	500
30x100	118	181	QV SolaiPsi0(Sb.11)	PolG	-0	0	0	350	335	0	0	350
30x100	118	181	QV SolaiPsi1(Sb.11)	PolG	-0	0	0	350	335	0	0	350
30x100	118	181	QV SolaiPsi2(Sb.11)	PolG	-0	0	0	300	335	0	0	300
30x100	162	118	Peso Proprio	UnifG	0	0	0	750	351	0	0	750
30x100	162	118	QP Solai	PolG	0	0	0	537	15	0	0	537
					15	0	0	1060	351	0	0	1060
30x100	162	118	QFissi Solai	PolG	0	0	0	315	15	0	0	315
					15	0	0	671	351	0	0	671
30x100	162	118	QV Solai	PolG	0	0	0	615	15	0	0	615
					15	0	0	937	351	0	0	937
30x100	162	118	QV SolaiPsi0(Sb.10)	PolG	-0	0	0	350	351	0	0	350
30x100	162	118	QV SolaiPsi1(Sb.10)	PolG	-0	0	0	350	351	0	0	350
30x100	162	118	QV SolaiPsi2(Sb.10)	PolG	-0	0	0	300	351	0	0	300
Trave 110												
30x100	126	125	Peso Proprio	UnifG	0	0	0	750	423	0	0	750
30x100	126	125	QP Solai(Sb.12)	PolG	-0	0	0	350	423	0	0	350
30x100	126	125	QFissi Solai(Sb.12)	PolG	-0	0	0	188	423	0	0	188
30x100	126	125	QV Solai(Sb.12)	PolG	-0	0	0	500	423	0	0	500
30x100	126	125	QV SolaiPsi0(Sb.12)	PolG	-0	0	0	350	423	0	0	350
30x100	126	125	QV SolaiPsi1(Sb.12)	PolG	-0	0	0	350	423	0	0	350
30x100	126	125	QV SolaiPsi2(Sb.12)	PolG	-0	0	0	300	423	0	0	300
30x100	190	126	Peso Proprio	UnifG	0	0	0	750	382	0	0	750
Trave 111												
30x100	125	179	Peso Proprio	UnifG	0	0	0	750	405	0	0	750
30x100	125	179	QP Solai	PolG	-0	0	0	350	15	0	0	350
					15	0	0	1062	405	0	0	1062
30x100	125	179	QFissi Solai	PolG	-0	0	0	188	15	0	0	188
					15	0	0	672	405	0	0	672
30x100	125	179	QV Solai	PolG	-0	0	0	500	15	0	0	500
					15	0	0	938	405	0	0	938
30x100	125	179	QV SolaiPsi0(Sb.13)	PolG	-0	0	0	350	405	0	0	350
30x100	125	179	QV SolaiPsi1(Sb.13)	PolG	-0	0	0	350	405	0	0	350
30x100	125	179	QV SolaiPsi2(Sb.13)	PolG	-0	0	0	300	405	0	0	300
Trave 112												
30x100	116	175	Peso Proprio	UnifG	0	0	0	750	475	0	0	750
30x100	116	175	QP Solai(Sb.15)	PolG	-0	0	0	350	475	0	0	350
30x100	116	175	QFissi Solai(Sb.15)	PolG	-0	0	0	188	475	0	0	188
30x100	116	175	QV Solai(Sb.15)	PolG	-0	0	0	500	475	0	0	500
30x100	116	175	QV SolaiPsi0(Sb.15)	PolG	-0	0	0	350	475	0	0	350
30x100	116	175	QV SolaiPsi1(Sb.15)	PolG	-0	0	0	350	475	0	0	350
30x100	116	175	QV SolaiPsi2(Sb.15)	PolG	-0	0	0	300	475	0	0	300
30x100	176	116	Peso Proprio	UnifG	0	0	0	750	415	0	0	750
30x100	176	116	QP Solai(Sb.14)	PolG	-0	0	0	350	415	0	0	350
30x100	176	116	QFissi Solai(Sb.14)	PolG	-0	0	0	188	415	0	0	188
30x100	176	116	QV Solai(Sb.14)	PolG	-0	0	0	500	415	0	0	500
30x100	176	116	QV SolaiPsi0(Sb.14)	PolG	-0	0	0	350	415	0	0	350
30x100	176	116	QV SolaiPsi1(Sb.14)	PolG	-0	0	0	350	415	0	0	350
30x100	176	116	QV SolaiPsi2(Sb.14)	PolG	-0	0	0	300	415	0	0	300
Trave 113												
30x100	180	124	Peso Proprio	UnifG	0	0	0	750	401	0	0	750
30x100	180	124	QP Solai	PolG	0	0	0	1154	386	0	0	1154
					386	0	0	350	401	0	0	350
30x100	180	124	QFissi Solai	PolG	0	0	0	734	386	0	0	734
					386	0	0	188	401	0	0	188

Sezione	Ni	Nf	Cond.	Tipo c.	Xi	QXi	QYi	QZi	Xf	QXf	QYf	QZf
30x100	180	124	QV Solai	PolG	0	0	0	995	386	0	0	995
					386	0	0	500	401	0	0	500
30x100	180	124	QV SolaiPsi0(Sb.16)	PolG	-0	0	0	350	401	0	0	350
30x100	180	124	QV SolaiPsi1(Sb.16)	PolG	-0	0	0	350	401	0	0	350
30x100	180	124	QV SolaiPsi2(Sb.16)	PolG	-0	0	0	300	401	0	0	300
Trave 114												
30x100	122	189	Peso Proprio	UnifG	0	0	0	750	328	0	0	750
30x100	122	189	QP Solai(Sb.19)	PolG	-0	0	0	350	328	0	0	350
30x100	122	189	QFissi Solai(Sb.19)	PolG	-0	0	0	188	328	0	0	188
30x100	122	189	QV Solai(Sb.19)	PolG	-0	0	0	500	328	0	0	500
30x100	122	189	QV SolaiPsi0(Sb.19)	PolG	-0	0	0	350	328	0	0	350
30x100	122	189	QV SolaiPsi1(Sb.19)	PolG	-0	0	0	350	328	0	0	350
30x100	122	189	QV SolaiPsi2(Sb.19)	PolG	-0	0	0	300	328	0	0	300
30x100	123	122	Peso Proprio	UnifG	0	0	0	750	316	0	0	750
30x100	123	122	QP Solai(Sb.18)	PolG	-0	0	0	350	316	0	0	350
30x100	123	122	QFissi Solai(Sb.18)	PolG	-0	0	0	188	316	0	0	188
30x100	123	122	QV Solai(Sb.18)	PolG	-0	0	0	500	316	0	0	500
30x100	123	122	QV SolaiPsi0(Sb.18)	PolG	-0	0	0	350	316	0	0	350
30x100	123	122	QV SolaiPsi1(Sb.18)	PolG	-0	0	0	350	316	0	0	350
30x100	123	122	QV SolaiPsi2(Sb.18)	PolG	-0	0	0	300	316	0	0	300
30x100	124	123	Peso Proprio	UnifG	0	0	0	750	540	0	0	750
30x100	124	123	QP Solai(Sb.17)	PolG	-0	0	0	350	540	0	0	350
30x100	124	123	QFissi Solai(Sb.17)	PolG	-0	0	0	188	540	0	0	188
30x100	124	123	QV Solai(Sb.17)	PolG	-0	0	0	500	540	0	0	500
30x100	124	123	QV SolaiPsi0(Sb.17)	PolG	-0	0	0	350	540	0	0	350
30x100	124	123	QV SolaiPsi1(Sb.17)	PolG	-0	0	0	350	540	0	0	350
30x100	124	123	QV SolaiPsi2(Sb.17)	PolG	-0	0	0	300	540	0	0	300
Trave 115												
30x100	119	172	Peso Proprio	UnifG	0	0	0	750	256	0	0	750
30x100	119	172	QP Solai	PolG	0	0	0	1181	256	0	0	1167
30x100	119	172	QFissi Solai	PolG	0	0	0	722	256	0	0	713
30x100	119	172	QV Solai	PolG	0	0	0	1182	256	0	0	1173
30x100	119	172	QV SolaiPsi0(Sb.21)	PolG	-0	0	0	560	256	0	0	560
30x100	119	172	QV SolaiPsi1(Sb.21)	PolG	-0	0	0	560	256	0	0	560
30x100	119	172	QV SolaiPsi2(Sb.21)	PolG	-0	0	0	480	256	0	0	480
30x100	182	119	Peso Proprio	UnifG	0	0	0	750	332	0	0	750
30x100	182	119	QP Solai	PolG	0	0	0	624	100	0	0	623
					100	0	0	1183	305	0	0	1182
					305	0	0	560	332	0	0	560
30x100	182	119	QFissi Solai	PolG	0	0	0	424	100	0	0	424
					100	0	0	724	305	0	0	723
					305	0	0	300	332	0	0	300
30x100	182	119	QV Solai	PolG	0	0	0	384	100	0	0	384
					100	0	0	1184	305	0	0	1183
					305	0	0	800	332	0	0	800
30x100	182	119	QV SolaiPsi0(Sb.20)	PolG	100	0	0	560	332	0	0	560
30x100	182	119	QV SolaiPsi1(Sb.20)	PolG	100	0	0	560	332	0	0	560
30x100	182	119	QV SolaiPsi2(Sb.20)	PolG	100	0	0	480	332	0	0	480
Trave 116												
30x50	176	174	Peso Proprio	UnifG	0	0	0	375	120	0	0	375
30x50	176	174	QP Solai	PolG	0	0	0	1443	117	0	0	1380
30x50	176	174	QFissi Solai	PolG	0	0	0	981	117	0	0	938
30x50	176	174	QV Solai	PolG	0	0	0	888	117	0	0	849
Trave 117												
30x50	115	161	Peso Proprio	UnifG	0	0	0	375	352	0	0	375
30x50	115	161	QP Solai	PolG	30	0	0	541	352	0	0	541
30x50	115	161	QFissi Solai	PolG	30	0	0	368	352	0	0	368
30x50	115	161	QV Solai	PolG	30	0	0	333	352	0	0	333
30x50	160	115	Peso Proprio	UnifG	0	0	0	375	323	0	0	375
30x50	160	115	QP Solai	PolG	3	0	0	541	310	0	0	541
					310	0	0	541	323	0	0	379
30x50	160	115	QFissi Solai	PolG	3	0	0	368	310	0	0	368
					310	0	0	368	323	0	0	258
30x50	160	115	QV Solai	PolG	3	0	0	333	310	0	0	333
					310	0	0	333	323	0	0	233
Trave 118												
30x50	114	159	Peso Proprio	UnifG	0	0	0	375	440	0	0	375
30x50	114	159	QP Solai	PolG	17	0	0	0	296	0	0	541
					296	0	0	541	440	0	0	541

Sezione	Ni	Nf	Cond.	Tipo c.	Xi	QXi	QYi	QZi	Xf	QXf	QYf	QZf
30x50	114	159	QFissi Solai	PolG	17	0	0	0	296	0	0	368
					296	0	0	368	440	0	0	368
30x50	114	159	QV Solai	PolG	17	0	0	0	296	0	0	333
					296	0	0	333	440	0	0	333
30x50	158	114	Peso Proprio	UnifG	0	0	0	375	316	0	0	375
30x50	158	114	QP Solai	PolG	0	0	0	541	316	0	0	541
30x50	158	114	QFissi Solai	PolG	0	0	0	368	316	0	0	368
30x50	158	114	QV Solai	PolG	0	0	0	333	316	0	0	333
Trave 119												
30x50	173	175	Peso Proprio	UnifG	0	0	0	375	120	0	0	375
30x50	173	175	QP Solai	PolG	0	0	0	1441	120	0	0	1529
30x50	173	175	QFissi Solai	PolG	0	0	0	980	120	0	0	1040
30x50	173	175	QV Solai	PolG	0	0	0	887	120	0	0	941
Trave 120												
30x50	102	106	Peso Proprio	UnifG	0	0	0	375	424	0	0	375
30x50	102	106	QP Solai	PolG	15	0	0	1806	26	0	0	1834
					26	0	0	1834	52	0	0	1867
					52	0	0	1867	100	0	0	1887
					100	0	0	1863	159	0	0	1863
					159	0	0	1838	394	0	0	1838
					394	0	0	1031	420	0	0	1031
30x50	102	106	QFissi Solai	PolG	15	0	0	1228	26	0	0	1247
					26	0	0	1247	52	0	0	1270
					52	0	0	1270	100	0	0	1283
					100	0	0	1267	159	0	0	1267
					159	0	0	1250	394	0	0	1250
					394	0	0	701	420	0	0	701
30x50	102	106	QV Solai	PolG	15	0	0	1111	26	0	0	1129
					26	0	0	1129	52	0	0	1149
					52	0	0	1149	100	0	0	1161
					100	0	0	1146	159	0	0	1146
					159	0	0	1131	394	0	0	1131
					394	0	0	635	420	0	0	635
Trave 121												
30x50	106	112	Peso Proprio	UnifG	0	0	0	375	347	0	0	375
30x50	106	112	QP Solai	PolG	0	0	0	1838	252	0	0	1838
					252	0	0	1863	292	0	0	1849
					292	0	0	1849	325	0	0	1810
					325	0	0	1810	337	0	0	1779
30x50	106	112	QFissi Solai	PolG	0	0	0	1250	252	0	0	1250
					252	0	0	1267	292	0	0	1257
					292	0	0	1257	325	0	0	1231
					325	0	0	1231	337	0	0	1210
30x50	106	112	QV Solai	PolG	0	0	0	1131	252	0	0	1131
					252	0	0	1146	292	0	0	1138
					292	0	0	1138	325	0	0	1114
					325	0	0	1114	337	0	0	1095
Trave 122												
30x50	145	109	Peso Proprio	UnifG	0	0	0	375	613	0	0	375
30x50	145	109	QP Solai	PolG	0	0	0	1031	260	0	0	1031
					260	0	0	1030	597	0	0	1030
30x50	145	109	QFissi Solai	PolG	0	0	0	701	597	0	0	700
30x50	145	109	QV Solai	PolG	0	0	0	635	597	0	0	634
Trave 123												
30x50	146	111	Peso Proprio	UnifG	0	0	0	375	613	0	0	375
30x50	146	111	QP Solai	PolG	0	0	0	1034	597	0	0	1034
30x50	146	111	QFissi Solai	PolG	0	0	0	703	597	0	0	703
30x50	146	111	QV Solai	PolG	0	0	0	636	597	0	0	636
Trave 124												
30x50	103	107	Peso Proprio	UnifG	0	0	0	375	424	0	0	375
30x50	103	107	QP Solai	PolG	15	0	0	1807	39	0	0	1853
					39	0	0	1853	67	0	0	1878
					67	0	0	1878	98	0	0	1889
					98	0	0	1058	102	0	0	1058
					102	0	0	1865	159	0	0	1865
					159	0	0	1840	394	0	0	1838
					394	0	0	1034	424	0	0	1034
30x50	103	107	QFissi Solai	PolG	15	0	0	1229	39	0	0	1260
					39	0	0	1260	67	0	0	1277

Sezione	Ni	Nf	Cond.	Tipo c.	Xi	QXi	QYi	QZi	Xf	QXf	QYf	QZf
					67	0	0	1277	98	0	0	1285
					98	0	0	720	102	0	0	720
					102	0	0	1268	159	0	0	1268
					159	0	0	1251	394	0	0	1250
					394	0	0	703	424	0	0	703
30x50	103	107	QV Solai	PolG	15	0	0	1112	39	0	0	1140
					39	0	0	1140	67	0	0	1156
					67	0	0	1156	98	0	0	1163
					98	0	0	651	102	0	0	651
					102	0	0	1148	159	0	0	1147
					159	0	0	1132	394	0	0	1131
					394	0	0	636	424	0	0	636
30x50	107	113	Peso Proprio	UnifG	0	0	0	375	347	0	0	375
30x50	107	113	QP Solai	PolG	0	0	0	1838	332	0	0	1838
30x50	107	113	QFissi Solai	PolG	0	0	0	1250	332	0	0	1250
30x50	107	113	QV Solai	PolG	0	0	0	1131	332	0	0	1131
85x25	113	115	Peso Proprio	UnifG	0	0	0	531	336	0	0	531
85x25	113	115	QP Solai	PolG	0	0	0	69	336	0	0	69
85x25	113	115	QFissi Solai	PolG	0	0	0	47	336	0	0	47
85x25	113	115	QV Solai	PolG	0	0	0	42	336	0	0	42
85x25	115	117	Peso Proprio	UnifG	0	0	0	531	351	0	0	531
85x25	115	117	QP Solai	PolG	0	0	0	1363	11	0	0	1394
					11	0	0	1394	45	0	0	1433
					45	0	0	1433	85	0	0	1447
					85	0	0	710	88	0	0	710
					88	0	0	1422	205	0	0	1422
					205	0	0	1447	339	0	0	1447
					339	0	0	1447	351	0	0	710
85x25	115	117	QFissi Solai	PolG	0	0	0	927	11	0	0	948
					11	0	0	948	45	0	0	974
					45	0	0	974	85	0	0	984
					85	0	0	483	88	0	0	483
					88	0	0	967	205	0	0	967
					205	0	0	984	339	0	0	984
					339	0	0	984	351	0	0	483
85x25	115	117	QV Solai	PolG	0	0	0	839	11	0	0	858
					11	0	0	858	45	0	0	882
					45	0	0	882	85	0	0	890
					85	0	0	437	88	0	0	437
					88	0	0	875	205	0	0	875
					205	0	0	890	339	0	0	890
					339	0	0	890	351	0	0	437
85x25	117	126	Peso Proprio	UnifG	0	0	0	531	420	0	0	531
85x25	117	126	QP Solai	PolG	0	0	0	712	12	0	0	1422
					12	0	0	1422	317	0	0	1422
					317	0	0	712	320	0	0	712
					320	0	0	1447	360	0	0	1433
					360	0	0	1433	394	0	0	1394
					394	0	0	1394	405	0	0	1363
85x25	117	126	QFissi Solai	PolG	0	0	0	484	12	0	0	967
					12	0	0	967	317	0	0	967
					317	0	0	484	320	0	0	484
					320	0	0	984	360	0	0	974
					360	0	0	974	394	0	0	948
					394	0	0	948	405	0	0	927
85x25	117	126	QV Solai	PolG	0	0	0	438	12	0	0	875
					12	0	0	875	317	0	0	875
					317	0	0	438	320	0	0	438
					320	0	0	890	360	0	0	882
					360	0	0	882	394	0	0	858
					394	0	0	858	405	0	0	839

Trave 125

90x20	0	0	Peso Proprio	UnifG	0	0	0	450	331	0	0	450
90x20	0	0	QP Solai	PolG	0	0	0	683	311	0	0	906
					311	0	0	620	331	0	0	644
90x20	0	0	QFissi Solai	PolG	0	0	0	366	311	0	0	485
					311	0	0	332	331	0	0	345
90x20	0	0	QV Solai	PolG	0	0	0	976	311	0	0	1294
					311	0	0	885	331	0	0	920

Sezione	Ni	Nf	Cond.	Tipo c.	Xi	QXi	QYi	QZi	Xf	QXf	QYf	QZf
90x20	0	0	QV SolaiPsi0	PolG	0	0	0	683	311	0	0	906
					311	0	0	620	331	0	0	644
90x20	0	0	QV SolaiPsi1	PolG	0	0	0	683	311	0	0	906
					311	0	0	620	331	0	0	644
90x20	0	0	QV SolaiPsi2	PolG	0	0	0	586	311	0	0	776
					311	0	0	531	331	0	0	552
Trave 126												
80x20	98	96	Peso Proprio	UnifG	0	0	0	400	303	0	0	400
80x20	98	96	QP Solai	PolG	0	0	0	496	303	0	0	496
80x20	98	96	QFissi Solai	PolG	0	0	0	287	303	0	0	287
80x20	98	96	QV Solai	PolG	0	0	0	590	303	0	0	590
80x20	98	96	QV SolaiPsi0(Sb.23)	PolG	-0	0	0	350	303	0	0	350
80x20	98	96	QV SolaiPsi1(Sb.23)	PolG	-0	0	0	350	303	0	0	350
80x20	98	96	QV SolaiPsi2(Sb.23)	PolG	-0	0	0	300	303	0	0	300
Trave 127												
30x100	112	157	Peso Proprio	UnifG	0	0	0	750	303	0	0	750
30x100	112	157	QP Solai	PolG	0	0	0	0	303	0	0	3
30x100	112	157	QFissi Solai	PolG	0	0	0	0	303	0	0	2
30x100	112	157	QV Solai	PolG	0	0	0	0	303	0	0	2
Trave 128												
55x25	119	120	Peso Proprio	UnifG	0	0	0	344	398	0	0	344
55x25	119	120	QP Solai	PolG	15	0	0	20	398	0	0	20
55x25	119	120	QFissi Solai	PolG	15	0	0	13	398	0	0	13
55x25	119	120	QV Solai	PolG	15	0	0	12	398	0	0	12
55x25	120	121	Peso Proprio	UnifG	0	0	0	344	376	0	0	344
55x25	121	180	Peso Proprio	UnifG	0	0	0	344	511	0	0	344
55x25	121	180	QP Solai	PolG	0	0	0	20	495	0	0	20
					495	0	0	20	510	0	0	20
55x25	121	180	QFissi Solai	PolG	0	0	0	13	495	0	0	13
					495	0	0	13	510	0	0	14
55x25	121	180	QV Solai	PolG	0	0	0	12	495	0	0	12
					495	0	0	12	510	0	0	13
Trave 129												
55x25	117	118	Peso Proprio	UnifG	0	0	0	344	452	0	0	344
55x25	117	118	QP Solai	PolG	0	0	0	20	437	0	0	20
55x25	117	118	QFissi Solai	PolG	0	0	0	13	437	0	0	13
55x25	117	118	QV Solai	PolG	0	0	0	12	437	0	0	12
55x25	179	117	Peso Proprio	UnifG	0	0	0	344	455	0	0	344
55x25	179	117	QP Solai	PolG	2	0	0	20	17	0	0	19
					17	0	0	19	455	0	0	19
55x25	179	117	QFissi Solai	PolG	2	0	0	14	17	0	0	13
					17	0	0	13	455	0	0	13
55x25	179	117	QV Solai	PolG	2	0	0	12	17	0	0	12
					17	0	0	12	455	0	0	12
Trave 130												
85x25	120	122	Peso Proprio	UnifG	0	0	0	531	415	0	0	531
85x25	120	122	QP Solai	PolG	0	0	0	611	12	0	0	1233
					12	0	0	1233	317	0	0	1235
					317	0	0	1259	356	0	0	1243
					356	0	0	1243	383	0	0	1214
					383	0	0	1214	400	0	0	1175
85x25	120	122	QFissi Solai	PolG	0	0	0	415	12	0	0	838
					12	0	0	838	317	0	0	840
					317	0	0	856	356	0	0	845
					356	0	0	845	383	0	0	826
					383	0	0	826	400	0	0	799
85x25	120	122	QV Solai	PolG	0	0	0	376	12	0	0	759
					12	0	0	759	317	0	0	760
					317	0	0	775	356	0	0	765
					356	0	0	765	383	0	0	747
					383	0	0	747	400	0	0	723
85x25	158	120	Peso Proprio	UnifG	0	0	0	531	371	0	0	531
85x25	158	120	QP Solai	PolG	0	0	0	180	15	0	0	181
					15	0	0	1173	26	0	0	1204
					26	0	0	1204	60	0	0	1243
					60	0	0	1243	100	0	0	1256
					100	0	0	1232	371	0	0	1232
85x25	158	120	QFissi Solai	PolG	0	0	0	122	15	0	0	123
					15	0	0	798	26	0	0	819

Sezione	Ni	Nf	Cond.	Tipo c.	Xi	QXi	QYi	QZi	Xf	QXf	QYf	QZf
					26	0	0	819	60	0	0	845
					60	0	0	845	100	0	0	854
					100	0	0	838	371	0	0	838
85x25	158	120	QV Solai	PolG	0	0	0	111	15	0	0	111
					15	0	0	722	26	0	0	741
					26	0	0	741	60	0	0	765
					60	0	0	765	100	0	0	773
					100	0	0	758	371	0	0	758
Trave 131												
85x25	114	121	Peso Proprio	UnifG	0	0	0	531	356	0	0	531
85x25	114	121	QP Solai	PolG	0	0	0	1378	11	0	0	1405
					11	0	0	1405	45	0	0	1442
					45	0	0	1442	85	0	0	1454
					85	0	0	1430	205	0	0	1423
					205	0	0	1447	343	0	0	1440
					343	0	0	1440	356	0	0	611
85x25	114	121	QFissi Solai	PolG	0	0	0	937	11	0	0	956
					11	0	0	956	45	0	0	981
					45	0	0	981	85	0	0	989
					85	0	0	972	205	0	0	968
					205	0	0	984	343	0	0	979
					343	0	0	979	356	0	0	415
85x25	114	121	QV Solai	PolG	0	0	0	848	11	0	0	865
					11	0	0	865	45	0	0	888
					45	0	0	888	85	0	0	895
					85	0	0	880	205	0	0	876
					205	0	0	891	343	0	0	886
					343	0	0	886	356	0	0	376
85x25	121	123	Peso Proprio	UnifG	0	0	0	531	400	0	0	531
85x25	121	123	QP Solai	PolG	0	0	0	1415	400	0	0	1415
85x25	121	123	QFissi Solai	PolG	0	0	0	962	400	0	0	962
85x25	121	123	QV Solai	PolG	0	0	0	871	400	0	0	871
Trave 132												
85x25	107	108	Peso Proprio	UnifG	0	0	0	531	525	0	0	531
Trave 133												
85x25	105	106	Peso Proprio	UnifG	0	0	0	531	526	0	0	531
Trave 134												
85x25	104	110	Peso Proprio	UnifG	0	0	0	531	626	0	0	531
Trave 135												
85x25	110	167	Peso Proprio	UnifG	0	0	0	531	409	0	0	531
85x25	110	167	QP Solai	PolG	0	0	0	0	409	0	0	817
85x25	110	167	QFissi Solai	PolG	0	0	0	0	409	0	0	555
85x25	110	167	QV Solai	PolG	0	0	0	0	409	0	0	503
Trave 136												
85x25	110	116	Peso Proprio	UnifG	0	0	0	531	623	0	0	531
85x25	110	116	QP Solai	PolG	0	0	0	659	378	0	0	816
					378	0	0	816	415	0	0	765
					415	0	0	765	459	0	0	732
					459	0	0	755	607	0	0	688
					607	0	0	17	623	0	0	0
85x25	110	116	QFissi Solai	PolG	0	0	0	448	378	0	0	555
					378	0	0	555	415	0	0	520
					415	0	0	520	459	0	0	498
					459	0	0	513	607	0	0	468
					607	0	0	12	623	0	0	0
85x25	110	116	QV Solai	PolG	0	0	0	405	378	0	0	502
					378	0	0	502	415	0	0	471
					415	0	0	471	459	0	0	451
					459	0	0	464	607	0	0	424
					607	0	0	11	623	0	0	0
Trave 137												
85x25	116	111	Peso Proprio	UnifG	0	0	0	531	599	0	0	531
85x25	116	111	QP Solai	PolG	0	0	0	0	16	0	0	18
					16	0	0	719	155	0	0	811
					155	0	0	177	158	0	0	181
					158	0	0	790	200	0	0	831
					200	0	0	831	235	0	0	891
					235	0	0	891	599	0	0	686
85x25	116	111	QFissi Solai	PolG	0	0	0	0	16	0	0	12

Sezione	Ni	Nf	Cond.	Tipo c.	Xi	QXi	QYi	QZi	Xf	QXf	QYf	QZf
					16	0	0	489	155	0	0	551
					155	0	0	120	158	0	0	123
					158	0	0	537	200	0	0	565
					200	0	0	565	235	0	0	606
					235	0	0	606	599	0	0	466
85x25	116	111	QV Solai	PolG	0	0	0	0	16	0	0	11
					16	0	0	443	155	0	0	499
					155	0	0	109	158	0	0	111
					158	0	0	486	200	0	0	511
					200	0	0	511	235	0	0	548
					235	0	0	548	599	0	0	422
Trave 138												
85x25	111	168	Peso Proprio	UnifG	0	0	0	531	449	0	0	531
85x25	111	168	QP Solai	PolG	0	0	0	0	449	0	0	861
85x25	111	168	QFissi Solai	PolG	0	0	0	0	449	0	0	586
85x25	111	168	QV Solai	PolG	0	0	0	0	449	0	0	530
Trave 139												
85x25	109	114	Peso Proprio	UnifG	0	0	0	531	395	0	0	531
85x25	109	114	QP Solai	PolG	0	0	0	347	395	0	0	347
85x25	109	114	QFissi Solai	PolG	0	0	0	236	395	0	0	236
85x25	109	114	QV Solai	PolG	0	0	0	214	395	0	0	214

Pareti - geometria e vincoli

Parete	Nodi	Tipo	Materiale	Criterio	N.P.	N.P.X	N.P.Y	Spess.
								cm
1	31-35-135-131	Discreto	C25/30	CLS_Muri	12			30
2	35-37-137-135	Discreto	C25/30	CLS_Muri	12			30
3	37-39-139-137	Discreto	C25/30	CLS_Muri	12			30
4	39-44-144-139	Discreto	C25/30	CLS_Muri	12			30
5	47-48-148-147	Discreto	C25/30	CLS_Muri	12			30
6	48-49-149-148	Discreto	C25/30	CLS_Muri	12			30
7	49-50-150-149	Discreto	C25/30	CLS_Muri	12			30
8	50-53-0-153-150	Discreto	C25/30	CLS_Muri	12			30
9	58-57-99-157-158	Discreto	C25/30	CLS_Muri	15			30
10	75-80-180-175	Discreto	C25/30	CLS_Muri	12			30
11	51-52-97-152-151-98	Discreto	C25/30	CLS_Muri	12			30
12	61-62-96-162-161-95	Discreto	C25/30	CLS_Muri	12			30
13	79-76-176-179	Discreto	C25/30	CLS_Muri	12			30
14	32-45-145-132	Discreto	C25/30	CLS_Muri	12			30
15	46-33-133-146	Discreto	C25/30	CLS_Muri	12			30
16	34-36-136-134	Discreto	C25/30	CLS_Muri	12			30
17	36-38-138-136	Discreto	C25/30	CLS_Muri	12			30
18	38-40-140-138	Discreto	C25/30	CLS_Muri	12			30
19	40-43-143-140	Discreto	C25/30	CLS_Muri	12			30
20	81-84-184-181	Discreto	C25/30	CLS_Muri	12			30
21	84-86-186-184	Discreto	C25/30	CLS_Muri	12			30
22	86-88-188-186	Discreto	C25/30	CLS_Muri	12			30
23	88-90-190-188	Discreto	C25/30	CLS_Muri	12			30
24	89-87-187-189	Discreto	C25/30	CLS_Muri	12			30
25	87-85-185-187	Discreto	C25/30	CLS_Muri	12			30
26	85-83-183-185	Discreto	C25/30	CLS_Muri	12			30
27	83-82-182-183	Discreto	C25/30	CLS_Muri	12			30
28	72-69-169-172	Discreto	C25/30	CLS_Muri	12			30
29	69-66-166-169	Discreto	C25/30	CLS_Muri	12			30
30	66-63-163-166	Discreto	C25/30	CLS_Muri	12			30
31	63-56-0-156-163	Discreto	C25/30	CLS_Muri	12			30
32	59-65-165-159	Discreto	C25/30	CLS_Muri	12			30
33	65-67-167-165	Discreto	C25/30	CLS_Muri	12			30
34	67-70-170-167	Discreto	C25/30	CLS_Muri	12			30
35	70-73-173-170	Discreto	C25/30	CLS_Muri	12			30
36	74-71-171-174	Discreto	C25/30	CLS_Muri	12			30
37	71-68-168-171	Discreto	C25/30	CLS_Muri	12			30
38	68-64-164-168	Discreto	C25/30	CLS_Muri	12			30
39	64-60-160-164	Discreto	C25/30	CLS_Muri	12			30
40	27-28-41-42-29-30-94-93-78-7	Platea	C25/30	CLS_Platea	5794			40

Parete	Nodi	Tipo	Materiale	Criterio	N.P.	N.P.X	N.P.Y	Spess.
	7-92-91-55-54							
41	99-100-112-157	Discreto	C25/30	CLS_Muri	8			30
42	97-95-161-152	Discreto	C25/30	CLS_Muri	8			30
43	100-0-153-112	Discreto	C25/30	CLS_Muri	8			30
44	0-99-157-156	Discreto	C25/30	CLS_Muri	4			30

Muri - Carichi

Shell Indice dello shell

Cond. Condizione di carico

Tipo Tipologia di spinta

γ Peso specifico: terreno o acqua

Q Valore del carico uniforme

Vert.1 Valore del carico nel primo vertice⁽¹⁾

Vert.2 Valore del carico nel secondo vertice⁽¹⁾

Vert.3 Valore del carico nel terzo vertice⁽¹⁾

Vert.4 Valore del carico nel quarto vertice⁽¹⁾

Hw Altezza del pelo libero dell'acqua

⁽¹⁾: Per shell con numero di vertici maggiori 4, per carichi trapezoidali, il valore del carico nei vertici e' stampato a gruppi di 4 secondo l'ordine con cui i vertici sono stati definiti

She ll	Cond.	Tipo	Q	Vert.1	Vert.2	Vert.3	Vert.4	Hw	γ
			kg/mq	kg/mq	kg/mq	kg/mq	kg/mq	cm	kg/mc
1	Peso Proprio	Peso Proprio kg	1571						
2	Peso Proprio	Peso Proprio kg	1257						
3	Peso Proprio	Peso Proprio kg	1259						
4	Peso Proprio	Peso Proprio kg	1879						
5	Peso Proprio	Peso Proprio kg	1571						
6	Peso Proprio	Peso Proprio kg	1571						
7	Peso Proprio	Peso Proprio kg	1568						
8	Peso Proprio	Peso Proprio kg	1260						
9	Peso Proprio	Peso Proprio kg	5860						
10	Peso Proprio	Peso Proprio kg	6349						
11	Peso Proprio	Peso Proprio kg	4973						
12	Peso Proprio	Peso Proprio kg	4973						
13	Peso Proprio	Peso Proprio kg	6174						
14	Peso Proprio	Peso Proprio kg	6120						
15	Peso Proprio	Peso Proprio kg	6120						
16	Peso Proprio	Peso Proprio kg	1879						
17	Peso Proprio	Peso Proprio kg	1569						
18	Peso Proprio	Peso Proprio kg	1256						
19	Peso Proprio	Peso Proprio kg	1216						
20	Peso Proprio	Peso Proprio kg	1572						
21	Peso Proprio	Peso Proprio kg	1569						
22	Peso Proprio	Peso Proprio kg	1571						
23	Peso Proprio	Peso Proprio kg	1256						
24	Peso Proprio	Peso Proprio kg	1571						
25	Peso Proprio	Peso Proprio kg	1571						
26	Peso Proprio	Peso Proprio kg	1260						
27	Peso Proprio	Peso Proprio kg	1524						
28	Peso Proprio	Peso Proprio kg	1571						
29	Peso Proprio	Peso Proprio kg	1569						
30	Peso Proprio	Peso Proprio kg	1571						
31	Peso Proprio	Peso Proprio kg	1260						
32	Peso Proprio	Peso Proprio kg	1567						
33	Peso Proprio	Peso Proprio kg	1260						
34	Peso Proprio	Peso Proprio kg	1569						
35	Peso Proprio	Peso Proprio kg	1572						
36	Peso Proprio	Peso Proprio kg	1571						
37	Peso Proprio	Peso Proprio kg	1571						
38	Peso Proprio	Peso Proprio kg	1571						
39	Peso Proprio	Peso Proprio kg	1256						

She ll	Cond.	Tipo		Q	Vert.1	Vert.2	Vert.3	Vert.4	Hw	γ
40	Peso Proprio	Peso Proprio	kg	582151						
41	Peso Proprio	Peso Proprio	kg	2273						
42	Peso Proprio	Peso Proprio	kg	2273						
43	Peso Proprio	Peso Proprio	kg	2299						
44	Peso Proprio	Peso Proprio	kg	1308						

Tabella solai tipo

Sol.N°	Descrizione	Spessore	QP	QF	QVar.	ψ_0	ψ_1	ψ_2	Luce netta	Def	%QX	%QY
		cm	kg/mq	kg/mq	kg/mq							
1	Balcone	20	280	150	400	0.70	0.70	0.60	No	No	100	0
2	Tetti e Coperture	25	325	221	200	0.00	0.00	0.00	No	No	100	0

Dati solai

Solaio n°	Nodi	Tipo
1	105-144-139-137-135-131-102-106	Tetti e Coperture
1	106-102-132-145-109-112	Tetti e Coperture
1	147-105-106-112-153-150-149-148	Tetti e Coperture
2	165-159-114-109-110-167	Tetti e Coperture
2	112-109-114-158-157	Tetti e Coperture
2	145-104-110-109	Tetti e Coperture
3	117-115-161-162-118	Tetti e Coperture
3	176-174-171-168-164-160-115-117-179	Tetti e Coperture
3	175-173-170-167-110-116	Tetti e Coperture
3	119-172-169-166-163-156-157-158-120	Tetti e Coperture
3	125-179-117-126	Tetti e Coperture
3	180-121-114-159-165-167-170-173-175	Tetti e Coperture
3	120-158-114-121	Tetti e Coperture
3	182-119-120-122-189-187-185-183	Tetti e Coperture
3	123-121-180-124	Tetti e Coperture
3	116-111-168-171-174-176	Tetti e Coperture
3	122-120-121-123	Tetti e Coperture
3	126-117-118-181-184-186-188-190	Tetti e Coperture
3	116-110-111	Tetti e Coperture
4	113-107-108-151-152	Tetti e Coperture
4	107-103-134-136-138-140-143-108	Tetti e Coperture
4	113-111-146-133-103-107	Tetti e Coperture
5	168-111-113-115-160-164	Tetti e Coperture
5	115-113-152-161	Tetti e Coperture
6	110-104-146-111	Tetti e Coperture
7	0-0-100-99	Balcone
8	95-97-98-96	Tetti e Coperture

Tabulati di verifica

L'esito di ogni elaborazione viene sintetizzato nei disegni e schemi grafici allegati, che evidenziano i valori numerici nei punti e/o nelle sezioni significative, ai fini della valutazione del comportamento complessivo della struttura, e quelli necessari ai fini delle verifiche di misura della sicurezza.

Di seguito si riportano le tabelle relative a:

- Baricentri rigidezze e masse
- Taglianti di piano
- Spostamenti Relativi dei nodi (SLD)

Centri di rigidezza e Centri di massa

Scenario di calcolo: Set_NT_SLV_SLD_A2STR/GEO_2018

Centri rigidezze

Piano	Kx	Ky	Kxy	K ϕ	X	Y	r $^2/l_s^2 >= 1$
	kg/cm	kg/cm	kg/cm	kg*cm/rad	cm	cm	
1	5.470611E05	5.928149E05	1.636126E04	1.038386E12	1511	1080	1.525

Ellissi delle rigidezze

Piano	K ξ	K η	alfa	r ξ	r η
	kg/cm	kg/cm	°	cm	cm
1	5.418125E05	5.980635E05	-18	1318	1384

Baricentri masse per posizione masse

Piano	Pos.Masse	X	Y	Peso Sism.
		cm	cm	kg
0	1	0	0	0
0	2	0	0	0
0	3	0	0	0
0	4	0	0	0
1	1	1656	877	571650
1	2	1815	971	571650
1	3	1656	1064	571650
1	4	1497	971	571650

Taglianti di piano

Scenario di calcolo: Set_NT_SLV_SLD_A2STR/GEO_2018

I taglianti sono dati per combinazioni di calcolo C-S-Pm con C=Combinazione(1,2,...) S=Sisma(I,II) Pm=posizione masse(1,2,...). Le azioni, complessive, sono riferite al sistema di riferimento globale.

$\Theta = F_z * dr / (F_h * H)$ con:

Fz Forza verticale

dr Spostamento medio del piano rispetto al piano inferiore

Fh Tagliante

H Altezza del piano

dx spostamento medio di piano in direzione X

dy spostamento medio di piano in direzione Y

dr $((dx_s - dx_i)^2 + (dy_s - dy_i)^2)^{0.5}$ s=impalcato superiore i=impalcato inferiore

Nel caso di combinazioni sismiche l'aliquota dovuta al sisma di dx e dy è valutata secondo le indicazioni in 7.3.3, moltiplicando lo spostamento per μ_d

Combinazione: 1 (Permanenti)

Piano	Fx	Fy	Fz	dx	dy	Θ
	kg	kg	kg	mm	mm	
0	-0	0	837425	0.00	0.00	--
1	-1719	-2753	-647115	0.01	0.03	--

Piano	FxPil/Isol.	FyPil/Isol.	FxPar	FyPar	FxShell	FyShell	FxTot	FyTot
	kg	kg	kg	kg	kg	kg	kg	kg
0	1869	-1703	0	0	-1869	1703	-0	0
1	-1869	1703	0	0	150	-4456	-1719	-2753

Combinazione: 2 (AD QVSolai)

Piano	Fx	Fy	Fz	dx	dy	Θ
	kg	kg	kg	mm	mm	
0	-0	0	1055568	0.00	0.00	--
1	-2275	-4036	-863668	0.01	0.05	--

Piano	FxPil/Isol.	FyPil/Isol.	FxPar	FyPar	FxShell	FyShell	FxTot	FyTot
	kg	kg	kg	kg	kg	kg	kg	kg
0	2286	-2494	0	0	-2286	2494	-0	0
1	-2286	2494	0	0	11	-6531	-2275	-4036

Combinazione: 3 (AD NeveFalda1)

Piano	Fx	Fy	Fz	dx	dy	Θ
	kg	kg	kg	mm	mm	
0	-0	0	885590	0.00	0.00	--
1	-2692	-3193	-693658	-0.00	0.04	--

Piano	FxPil/Isol.	FyPil/Isol.	FxPar	FyPar	FxShell	FyShell	FxTot	FyTot
	kg	kg	kg	kg	kg	kg	kg	kg
0	2018	-1819	0	0	-2018	1819	-0	0
1	-2018	1819	0	0	-675	-5012	-2692	-3193

Combinazione: 4 (AD NeveFalda2)

Piano	Fx	Fy	Fz	dx	dy	Θ
	kg	kg	kg	mm	mm	
0	-0	0	885590	0.00	0.00	--
1	-2692	-3193	-693658	-0.00	0.04	--

Piano	FxPil/Isol.	FyPil/Isol.	FxPar	FyPar	FxShell	FyShell	FxTot	FyTot
	kg	kg	kg	kg	kg	kg	kg	kg
0	2018	-1819	0	0	-2018	1819	-0	0
1	-2018	1819	0	0	-675	-5012	-2692	-3193

Combinazione: 5-I-1 (SISMAX1_SLV)

Piano	Fx	Fy	Fz	dx	dy	Θ
	kg	kg	kg	mm	mm	
0	28059	9645	673224	0.00	0.00	--
1	-8967	-17009	-532854	0.25	0.00	0.001339

Piano	FxPil/Isol.	FyPil/Isol.	FxPar	FyPar	FxShell	FyShell	FxTot	FyTot
	kg	kg	kg	kg	kg	kg	kg	kg
0	-54706	-2087	0	0	82765	11732	28059	9645
1	54706	2087	0	0	-63673	-19097	-8967	-17009

Percentuali assorbite in direzione X

Piano	% Pil/Isol. FX	% Par. FX	% Shell. FX
0	39.79	0.00	60.21
1	46.21	0.00	53.79

Percentuali assorbite in direzione Y

Piano	% Pil/Isol. FY	% Par. FY	% Shell. FY
0	15.10	0.00	84.90
1	9.85	0.00	90.15

Combinazione: 5-I-2 (SISMAX1_SLV)

Piano	Fx	Fy	Fz	dx	dy	Θ
	kg	kg	kg	mm	mm	
0	25717	-17016	677082	0.00	0.00	--
1	-14253	12770	-523585	0.26	-0.06	0.001435

Piano	FxPil/Isol.	FyPil/Isol.	FxPar	FyPar	FxShell	FyShell	FxTot	FyTot
	kg	kg	kg	kg	kg	kg	kg	kg
0	-58193	9151	0	0	83910	-26167	25717	-17016
1	58193	-9151	0	0	-72446	21920	-14253	12770

Percentuali assorbite in direzione X

Piano	% Pil/Isol. FX	% Par. FX	% Shell. FX
0	40.95	0.00	59.05
1	44.54	0.00	55.46

Percentuali assorbite in direzione Y

Piano	% Pil/Isol. FY	% Par. FY	% Shell. FY
0	25.91	0.00	74.09
1	29.45	0.00	70.55

Combinazione: 5-I-3 (SISMAX1_SLV)

Piano	Fx	Fy	Fz	dx	dy	Θ
	kg	kg	kg	mm	mm	
0	25385	-8434	658649	0.00	0.00	--
1	-12044	10834	-509326	0.26	-0.03	0.001638

Piano	FxPil/Isol.	FyPil/Isol.	FxPar	FyPar	FxShell	FyShell	FxTot	FyTot
	kg	kg	kg	kg	kg	kg	kg	kg
0	-59899	4884	0	0	85284	-13317	25385	-8434
1	59899	-4884	0	0	-71943	15718	-12044	10834

Percentuali assorbite in direzione X

Piano	%Pil/Isol. FX	%Par. FX	%Shell. FX
0	41.26	0.00	58.74
1	45.43	0.00	54.57

Percentuali assorbite in direzione Y

Piano	%Pil/Isol. FY	%Par. FY	%Shell. FY
0	26.83	0.00	73.17
1	23.70	0.00	76.30

Combinazione: 5-I-4 (SISMAX1_SLV)

Piano	Fx	Fy	Fz	dx	dy	Θ
	kg	kg	kg	mm	mm	
0	24615	-18383	664418	0.00	0.00	--
1	-16266	-3762	-520160	0.26	-0.03	0.001585

Piano	FxPil/Isol.	FyPil/Isol.	FxPar	FyPar	FxShell	FyShell	FxTot	FyTot
	kg	kg	kg	kg	kg	kg	kg	kg
0	-57631	3192	0	0	82246	-21575	24615	-18383
1	57631	-3192	0	0	-73896	-570	-16266	-3762

Percentuali assorbite in direzione X

Piano	%Pil/Isol. FX	%Par. FX	%Shell. FX
0	41.20	0.00	58.80
1	43.82	0.00	56.18

Percentuali assorbite in direzione Y

Piano	%Pil/Isol. FY	%Par. FY	%Shell. FY
0	12.89	0.00	87.11
1	84.85	0.00	15.15

Combinazione: 6-I-1 (SISMAX1_SLV)

Piano	Fx	Fy	Fz	dx	dy	Θ
	kg	kg	kg	mm	mm	
0	-4505	74300	651594	0.00	0.00	--
1	-2893	-48849	-504391	-0.06	0.24	0.000502

Piano	FxPil/Isol.	FyPil/Isol.	FxPar	FyPar	FxShell	FyShell	FxTot	FyTot
	kg	kg	kg	kg	kg	kg	kg	kg
0	10682	-38100	0	0	-15188	112400	-4505	74300
1	-10682	38100	0	0	7789	-86949	-2893	-48849

Percentuali assorbite in direzione X

Piano	%Pil/Isol. FX	%Par. FX	%Shell. FX
0	41.29	0.00	58.71
1	57.83	0.00	42.17

Percentuali assorbite in direzione Y

Piano	%Pil/Isol. FY	%Par. FY	%Shell. FY
0	25.32	0.00	74.68
1	30.47	0.00	69.53

Combinazione: 6-I-2 (SISMA Y1_SLV)

Piano	Fx	Fy	Fz	dx	dy	Θ
	kg	kg	kg	mm	mm	
0	12300	59261	696236	0.00	0.00	--
1	-12612	-49627	-539969	0.08	0.23	0.000510

Piano	FxPil/Isol.	FyPil/Isol.	FxPar	FyPar	FxShell	FyShell	FxTot	FyTot
	kg	kg	kg	kg	kg	kg	kg	kg
0	-10019	-37010	0	0	22319	96271	12300	59261
1	10019	37010	0	0	-22631	-86637	-12612	-49627

Percentuali assorbite in direzione X

Piano	% Pil/Isol. FX	% Par. FX	% Shell. FX
0	30.98	0.00	69.02
1	30.69	0.00	69.31

Percentuali assorbite in direzione Y

Piano	% Pil/Isol. FY	% Par. FY	% Shell. FY
0	27.77	0.00	72.23
1	29.93	0.00	70.07

Combinazione: 6-I-3 (SISMA Y1_SLV)

Piano	Fx	Fy	Fz	dx	dy	Θ
	kg	kg	kg	mm	mm	
0	-7602	74552	654968	0.00	0.00	--
1	127	-46041	-510339	0.05	0.24	0.000537

Piano	FxPil/Isol.	FyPil/Isol.	FxPar	FyPar	FxShell	FyShell	FxTot	FyTot
	kg	kg	kg	kg	kg	kg	kg	kg
0	-11703	-38061	0	0	4102	112613	-7602	74552
1	11703	38061	0	0	-11576	-84102	127	-46041

Percentuali assorbite in direzione X

Piano	% Pil/Isol. FX	% Par. FX	% Shell. FX
0	74.05	0.00	25.95
1	50.27	0.00	49.73

Percentuali assorbite in direzione Y

Piano	% Pil/Isol. FY	% Par. FY	% Shell. FY
0	25.26	0.00	74.74
1	31.16	0.00	68.84

Combinazione: 6-I-4 (SISMA Y1_SLV)

Piano	Fx	Fy	Fz	dx	dy	Θ
	kg	kg	kg	mm	mm	
0	-5489	74161	642983	0.00	0.00	--
1	-2169	-43759	-494082	0.04	0.25	0.000559

Piano	FxPil/Isol.	FyPil/Isol.	FxPar	FyPar	FxShell	FyShell	FxTot	FyTot
	kg	kg	kg	kg	kg	kg	kg	kg
0	-11494	-38291	0	0	6005	112452	-5489	74161
1	11494	38291	0	0	-13663	-82050	-2169	-43759

Percentuali assorbite in direzione X

Piano	% Pil/Isol. FX	% Par. FX	% Shell. FX
0	65.68	0.00	34.32
1	45.69	0.00	54.31

Percentuali assorbite in direzione Y

Piano	% Pil/Isol. FY	% Par. FY	% Shell. FY
0	25.40	0.00	74.60
1	31.82	0.00	68.18

Combinazione: 7-I-1 (SISMAX2_SLV)

Piano	Fx	Fy	Fz	dx	dy	Θ
	kg	kg	kg	mm	mm	
0	28059	9645	645702	0.00	0.00	--
1	-8411	-16758	-506259	0.25	0.00	0.001313

Piano	FxPil/Isol.	FyPil/Isol.	FxPar	FyPar	FxShell	FyShell	FxTot	FyTot
	kg	kg	kg	kg	kg	kg	kg	kg
0	-54791	-2021	0	0	82850	11665	28059	9645
1	54791	2021	0	0	-63202	-18779	-8411	-16758

Percentuali assorbite in direzione X

Piano	%Pil/Isol. FX	%Par. FX	%Shell. FX
0	39.81	0.00	60.19
1	46.44	0.00	53.56

Percentuali assorbite in direzione Y

Piano	%Pil/Isol. FY	%Par. FY	%Shell. FY
0	14.77	0.00	85.23
1	9.72	0.00	90.28

Combinazione: 7-I-2 (SISMAX2_SLV)

Piano	Fx	Fy	Fz	dx	dy	Θ
	kg	kg	kg	mm	mm	
0	25717	-17016	649559	0.00	0.00	--
1	-13697	13021	-496989	0.26	-0.06	0.001388

Piano	FxPil/Isol.	FyPil/Isol.	FxPar	FyPar	FxShell	FyShell	FxTot	FyTot
	kg	kg	kg	kg	kg	kg	kg	kg
0	-58278	9217	0	0	83995	-26233	25717	-17016
1	58278	-9217	0	0	-71975	22238	-13697	13021

Percentuali assorbite in direzione X

Piano	%Pil/Isol. FX	%Par. FX	%Shell. FX
0	40.96	0.00	59.04
1	44.74	0.00	55.26

Percentuali assorbite in direzione Y

Piano	%Pil/Isol. FY	%Par. FY	%Shell. FY
0	26.00	0.00	74.00
1	29.30	0.00	70.70

Combinazione: 7-I-3 (SISMAX2_SLV)

Piano	Fx	Fy	Fz	dx	dy	Θ
	kg	kg	kg	mm	mm	
0	25385	-8434	631126	0.00	0.00	--
1	-11488	11086	-482731	0.27	-0.03	0.001585

Piano	FxPil/Isol.	FyPil/Isol.	FxPar	FyPar	FxShell	FyShell	FxTot	FyTot
	kg	kg	kg	kg	kg	kg	kg	kg
0	-59983	4950	0	0	85369	-13384	25385	-8434
1	59983	-4950	0	0	-71471	16035	-11488	11086

Percentuali assorbite in direzione X

Piano	%Pil/Isol. FX	%Par. FX	%Shell. FX
0	41.27	0.00	58.73
1	45.63	0.00	54.37

Percentuali assorbite in direzione Y

Piano	%Pil/Isol. FY	%Par. FY	%Shell. FY
0	27.00	0.00	73.00
1	23.59	0.00	76.41

Combinazione: 7-I-4 (SISMAX2_SLV)

Piano	Fx	Fy	Fz	dx	dy	Θ
	kg	kg	kg	mm	mm	
0	24615	-18383	636896	0.00	0.00	--
1	-15710	-3510	-493564	0.26	-0.03	0.001570

Piano	FxPil/Isol.	FyPil/Isol.	FxPar	FyPar	FxShell	FyShell	FxTot	FyTot
	kg	kg	kg	kg	kg	kg	kg	kg
0	-57715	3258	0	0	82330	-21641	24615	-18383
1	57715	-3258	0	0	-73425	-252	-15710	-3510

Percentuali assorbite in direzione X

Piano	%Pil/Isol. FX	%Par. FX	%Shell. FX
0	41.21	0.00	58.79
1	44.01	0.00	55.99

Percentuali assorbite in direzione Y

Piano	%Pil/Isol. FY	%Par. FY	%Shell. FY
0	13.08	0.00	86.92
1	92.81	0.00	7.19

Combinazione: 8-I-1 (SISMAX2_SLV)

Piano	Fx	Fy	Fz	dx	dy	Θ
	kg	kg	kg	mm	mm	
0	-4505	74300	624071	0.00	0.00	--
1	-2337	-48597	-477795	-0.05	0.24	0.000475

Piano	FxPil/Isol.	FyPil/Isol.	FxPar	FyPar	FxShell	FyShell	FxTot	FyTot
	kg	kg	kg	kg	kg	kg	kg	kg
0	10598	-38033	0	0	-15103	112334	-4505	74300
1	-10598	38033	0	0	8260	-86631	-2337	-48597

Percentuali assorbite in direzione X

Piano	%Pil/Isol. FX	%Par. FX	%Shell. FX
0	41.23	0.00	58.77
1	56.20	0.00	43.80

Percentuali assorbite in direzione Y

Piano	%Pil/Isol. FY	%Par. FY	%Shell. FY
0	25.29	0.00	74.71
1	30.51	0.00	69.49

Combinazione: 8-I-2 (SISMAX2_SLV)

Piano	Fx	Fy	Fz	dx	dy	Θ
	kg	kg	kg	mm	mm	
0	12300	59261	668713	0.00	0.00	--
1	-12056	-49376	-513373	0.08	0.23	0.000487

Piano	FxPil/Isol.	FyPil/Isol.	FxPar	FyPar	FxShell	FyShell	FxTot	FyTot
	kg	kg	kg	kg	kg	kg	kg	kg
0	-10104	-36944	0	0	22404	96205	12300	59261
1	10104	36944	0	0	-22159	-86319	-12056	-49376

Percentuali assorbite in direzione X

Piano	%Pil/Isol. FX	%Par. FX	%Shell. FX
0	31.08	0.00	68.92
1	31.32	0.00	68.68

Percentuali assorbite in direzione Y

Piano	%Pil/Isol. FY	%Par. FY	%Shell. FY
0	27.75	0.00	72.25
1	29.97	0.00	70.03

Combinazione: 8-I-3 (SISMAY2_SLV)

Piano	Fx	Fy	Fz	dx	dy	Θ
	kg	kg	kg	mm	mm	
0	-7602	74552	627445	0.00	0.00	--
1	683	-45790	-483743	0.05	0.24	0.000510

Piano	FxPil/Isol.	FyPil/Isol.	FxPar	FyPar	FxShell	FyShell	FxTot	FyTot
	kg	kg	kg	kg	kg	kg	kg	kg
0	-11788	-37995	0	0	4187	112547	-7602	74552
1	11788	37995	0	0	-11105	-83784	683	-45790

Percentuali assorbite in direzione X

Piano	% Pil/Isol. FX	% Par. FX	% Shell. FX
0	73.79	0.00	26.21
1	51.49	0.00	48.51

Percentuali assorbite in direzione Y

Piano	% Pil/Isol. FY	% Par. FY	% Shell. FY
0	25.24	0.00	74.76
1	31.20	0.00	68.80

Combinazione: 8-I-4 (SISMAY2_SLV)

Piano	Fx	Fy	Fz	dx	dy	Θ
	kg	kg	kg	mm	mm	
0	-5489	74161	615460	0.00	0.00	--
1	-1613	-43507	-467487	0.05	0.25	0.000530

Piano	FxPil/Isol.	FyPil/Isol.	FxPar	FyPar	FxShell	FyShell	FxTot	FyTot
	kg	kg	kg	kg	kg	kg	kg	kg
0	-11579	-38225	0	0	6090	112386	-5489	74161
1	11579	38225	0	0	-13192	-81732	-1613	-43507

Percentuali assorbite in direzione X

Piano	% Pil/Isol. FX	% Par. FX	% Shell. FX
0	65.53	0.00	34.47
1	46.74	0.00	53.26

Percentuali assorbite in direzione Y

Piano	% Pil/Isol. FY	% Par. FY	% Shell. FY
0	25.38	0.00	74.62
1	31.87	0.00	68.13

Combinazione: 9 (AD QVSolai)

Piano	Fx	Fy	Fz	dx	dy	Θ
	kg	kg	kg	mm	mm	
0	-0	0	770030	0.00	0.00	--
1	-1734	-2875	-622585	0.01	0.04	--

Piano	FxPil/Isol.	FyPil/Isol.	FxPar	FyPar	FxShell	FyShell	FxTot	FyTot
	kg	kg	kg	kg	kg	kg	kg	kg
0	1684	-1760	0	0	-1684	1760	-0	0
1	-1684	1760	0	0	-50	-4635	-1734	-2875

Combinazione: 10 (AD NeveFalda1)

Piano	Fx	Fy	Fz	dx	dy	Θ
	kg	kg	kg	mm	mm	
0	-0	0	656711	0.00	0.00	--
1	-2012	-2312	-509245	-0.00	0.03	--

Piano	FxPil/Isol.	FyPil/Isol.	FxPar	FyPar	FxShell	FyShell	FxTot	FyTot
	kg	kg	kg	kg	kg	kg	kg	kg
0	1505	-1310	0	0	-1505	1310	-0	0
1	-1505	1310	0	0	-507	-3623	-2012	-2312

Combinazione: 11 (AD NeveFalda2)

Piano	Fx	Fy	Fz	dx	dy	Θ
	kg	kg	kg	mm	mm	
0	-0	0	656711	0.00	0.00	--
1	-2012	-2312	-509245	-0.00	0.03	--

Piano	FxPil/Isol.	FyPil/Isol.	FxPar	FyPar	FxShell	FyShell	FxTot	FyTot
	kg	kg	kg	kg	kg	kg	kg	kg
0	1505	-1310	0	0	-1505	1310	-0	0
1	-1505	1310	0	0	-507	-3623	-2012	-2312

Combinazione: 12 (AD QVSolai)

Piano	Fx	Fy	Fz	dx	dy	Θ
	kg	kg	kg	mm	mm	
0	-0	0	656711	0.00	0.00	--
1	-2012	-2312	-509245	-0.00	0.03	--

Piano	FxPil/Isol.	FyPil/Isol.	FxPar	FyPar	FxShell	FyShell	FxTot	FyTot
	kg	kg	kg	kg	kg	kg	kg	kg
0	1505	-1310	0	0	-1505	1310	-0	0
1	-1505	1310	0	0	-507	-3623	-2012	-2312

Combinazione: 13 (AD NeveFalda1)

Piano	Fx	Fy	Fz	dx	dy	Θ
	kg	kg	kg	mm	mm	
0	-0	0	652124	0.00	0.00	--
1	-1919	-2271	-504812	-0.00	0.03	--

Piano	FxPil/Isol.	FyPil/Isol.	FxPar	FyPar	FxShell	FyShell	FxTot	FyTot
	kg	kg	kg	kg	kg	kg	kg	kg
0	1491	-1299	0	0	-1491	1299	-0	0
1	-1491	1299	0	0	-428	-3570	-1919	-2271

Combinazione: 14 (AD NeveFalda2)

Piano	Fx	Fy	Fz	dx	dy	Θ
	kg	kg	kg	mm	mm	
0	-0	0	652124	0.00	0.00	--
1	-1919	-2271	-504812	-0.00	0.03	--

Piano	FxPil/Isol.	FyPil/Isol.	FxPar	FyPar	FxShell	FyShell	FxTot	FyTot
	kg	kg	kg	kg	kg	kg	kg	kg
0	1491	-1299	0	0	-1491	1299	-0	0
1	-1491	1299	0	0	-428	-3570	-1919	-2271

Combinazione: 15 (Quasi P1)

Piano	Fx	Fy	Fz	dx	dy	Θ
	kg	kg	kg	mm	mm	
0	-0	0	652124	0.00	0.00	--
1	-1919	-2271	-504812	-0.00	0.03	--

Piano	FxPil/Isol.	FyPil/Isol.	FxPar	FyPar	FxShell	FyShell	FxTot	FyTot
	kg	kg	kg	kg	kg	kg	kg	kg
0	1491	-1299	0	0	-1491	1299	-0	0
1	-1491	1299	0	0	-428	-3570	-1919	-2271

Combinazione: 16-I-1 (SISMAX_SLD)

Piano	Fx	Fy	Fz	dx	dy	Θ
	kg	kg	kg	mm	mm	
0	19087	6556	666497	0.00	0.00	--
1	-6718	-12296	-523869	0.17	0.00	0.001229

Piano	FxPil/Isol.	FyPil/Isol.	FxPar	FyPar	FxShell	FyShell	FxTot	FyTot
	kg	kg	kg	kg	kg	kg	kg	kg

Piano	FxPil/Isol.	FyPil/Isol.	FxPar	FyPar	FxShell	FyShell	FxTot	FyTot
0	-36743	-1836	0	0	55829	8392	19087	6556
1	36743	1836	0	0	-43460	-14132	-6718	-12296

Percentuali assorbite in direzione X

Piano	% Pil/Isol. FX	% Par. FX	% Shell. FX
0	39.69	0.00	60.31
1	45.81	0.00	54.19

Percentuali assorbite in direzione Y

Piano	% Pil/Isol. FY	% Par. FY	% Shell. FY
0	17.95	0.00	82.05
1	11.50	0.00	88.50

Combinazione: 16-I-2 (SISMAX_SLD)

Piano	Fx	Fy	Fz	dx	dy	Θ
	kg	kg	kg	mm	mm	
0	17493	-11578	669069	0.00	0.00	--
1	-10311	7958	-517534	0.18	-0.04	0.001414

Piano	FxPil/Isol.	FyPil/Isol.	FxPar	FyPar	FxShell	FyShell	FxTot	FyTot
	kg	kg	kg	kg	kg	kg	kg	kg
0	-39116	5807	0	0	56609	-17386	17493	-11578
1	39116	-5807	0	0	-49427	13766	-10311	7958

Percentuali assorbite in direzione X

Piano	% Pil/Isol. FX	% Par. FX	% Shell. FX
0	40.86	0.00	59.14
1	44.18	0.00	55.82

Percentuali assorbite in direzione Y

Piano	% Pil/Isol. FY	% Par. FY	% Shell. FY
0	25.04	0.00	74.96
1	29.67	0.00	70.33

Combinazione: 16-I-3 (SISMAX_SLD)

Piano	Fx	Fy	Fz	dx	dy	Θ
	kg	kg	kg	mm	mm	
0	17270	-5738	656619	0.00	0.00	--
1	-8805	6647	-507927	0.18	-0.02	0.001631

Piano	FxPil/Isol.	FyPil/Isol.	FxPar	FyPar	FxShell	FyShell	FxTot	FyTot
	kg	kg	kg	kg	kg	kg	kg	kg
0	-40278	2907	0	0	57548	-8645	17270	-5738
1	40278	-2907	0	0	-49083	9554	-8805	6647

Percentuali assorbite in direzione X

Piano	% Pil/Isol. FX	% Par. FX	% Shell. FX
0	41.17	0.00	58.83
1	45.07	0.00	54.93

Percentuali assorbite in direzione Y

Piano	% Pil/Isol. FY	% Par. FY	% Shell. FY
0	25.16	0.00	74.84
1	23.33	0.00	76.67

Combinazione: 16-I-4 (SISMAX_SLD)

Piano	Fx	Fy	Fz	dx	dy	Θ
	kg	kg	kg	mm	mm	
0	16747	-12506	660322	0.00	0.00	--
1	-11685	-3285	-515089	0.18	-0.02	0.001467

Piano	FxPil/Isol.	FyPil/Isol.	FxPar	FyPar	FxShell	FyShell	FxTot	FyTot

Piano	FxPil/Isol.	FyPil/Isol.	FxPar	FyPar	FxShell	FyShell	FxTot	FyTot
	kg	kg	kg	kg	kg	kg	kg	kg
0	-38734	1756	0	0	55481	-14262	16747	-12506
1	38734	-1756	0	0	-50419	-1529	-11685	-3285

Percentuali assorbite in direzione X

Piano	% Pil/Isol. FX	% Par. FX	% Shell. FX
0	41.11	0.00	58.89
1	43.45	0.00	56.55

Percentuali assorbite in direzione Y

Piano	% Pil/Isol. FY	% Par. FY	% Shell. FY
0	10.96	0.00	89.04
1	53.45	0.00	46.55

Combinazione: 17-I-1 (SISMAY_SLD)

Piano	Fx	Fy	Fz	dx	dy	Θ
	kg	kg	kg	mm	mm	
0	-3068	50548	651951	0.00	0.00	--
1	-2581	-33951	-504661	-0.04	0.17	0.000495

Piano	FxPil/Isol.	FyPil/Isol.	FxPar	FyPar	FxShell	FyShell	FxTot	FyTot
	kg	kg	kg	kg	kg	kg	kg	kg
0	7743	-26336	0	0	-10811	76884	-3068	50548
1	-7743	26336	0	0	5162	-60287	-2581	-33951

Percentuali assorbite in direzione X

Piano	% Pil/Isol. FX	% Par. FX	% Shell. FX
0	41.73	0.00	58.27
1	60.00	0.00	40.00

Percentuali assorbite in direzione Y

Piano	% Pil/Isol. FY	% Par. FY	% Shell. FY
0	25.51	0.00	74.49
1	30.40	0.00	69.60

Combinazione: 17-I-2 (SISMAY_SLD)

Piano	Fx	Fy	Fz	dx	dy	Θ
	kg	kg	kg	mm	mm	
0	8348	40310	682182	0.00	0.00	--
1	-9183	-34480	-528808	0.05	0.16	0.000491

Piano	FxPil/Isol.	FyPil/Isol.	FxPar	FyPar	FxShell	FyShell	FxTot	FyTot
	kg	kg	kg	kg	kg	kg	kg	kg
0	-6336	-25583	0	0	14684	65893	8348	40310
1	6336	25583	0	0	-15519	-60063	-9183	-34480

Percentuali assorbite in direzione X

Piano	% Pil/Isol. FX	% Par. FX	% Shell. FX
0	30.14	0.00	69.86
1	28.99	0.00	71.01

Percentuali assorbite in direzione Y

Piano	% Pil/Isol. FY	% Par. FY	% Shell. FY
0	27.97	0.00	72.03
1	29.87	0.00	70.13

Combinazione: 17-I-3 (SISMAY_SLD)

Piano	Fx	Fy	Fz	dx	dy	Θ
	kg	kg	kg	mm	mm	
0	-5173	50724	653939	0.00	0.00	--
1	-527	-32050	-508452	0.03	0.17	0.000527

Piano	FxPil/Isol.	FyPil/Isol.	FxPar	FyPar	FxShell	FyShell	FxTot	FyTot
	kg	kg	kg	kg	kg	kg	kg	kg
0	-7486	-26310	0	0	2313	77034	-5173	50724
1	7486	26310	0	0	-8013	-58360	-527	-32050

Percentuali assorbite in direzione X

Piano	% Pil/Isol. FX	% Par. FX	% Shell. FX
0	76.39	0.00	23.61
1	48.30	0.00	51.70

Percentuali assorbite in direzione Y

Piano	% Pil/Isol. FY	% Par. FY	% Shell. FY
0	25.46	0.00	74.54
1	31.07	0.00	68.93

Combinazione: 17-I-4 (SISMAY_SLD)

Piano	Fx	Fy	Fz	dx	dy	Θ
	kg	kg	kg	mm	mm	
0	-3734	50458	645905	0.00	0.00	--
1	-2089	-30495	-497506	0.03	0.17	0.000553

Piano	FxPil/Isol.	FyPil/Isol.	FxPar	FyPar	FxShell	FyShell	FxTot	FyTot
	kg	kg	kg	kg	kg	kg	kg	kg
0	-7343	-26468	0	0	3609	76926	-3734	50458
1	7343	26468	0	0	-9433	-56963	-2089	-30495

Percentuali assorbite in direzione X

Piano	% Pil/Isol. FX	% Par. FX	% Shell. FX
0	67.05	0.00	32.95
1	43.77	0.00	56.23

Percentuali assorbite in direzione Y

Piano	% Pil/Isol. FY	% Par. FY	% Shell. FY
0	25.60	0.00	74.40
1	31.72	0.00	68.28

Verifica Degli Spostamenti Relativi

Scenario di calcolo: Set_NT_SLV_SLD_A2STR/GEO_2018

Interp.	Comb.	η_{Xv}	η_{Xh}	η_{Yv}	η_{Yh}	Nodo1	Nodo2	η	η_{Amm}	Cs
		mm	mm	mm	mm			mm	mm	
0-1	(16+17)-I-4	0.01	3.75	0.04	0.59	2	102	3.75	25.50	6.8
0-1	(16+17)-I-4	0.01	3.75	0.06	2.09	3	103	3.75	25.50	6.8
0-1	(16+17)-I-4	0.01	3.60	0.05	1.16	4	104	3.61	25.50	7.1
0-1	(16+17)-IV-3	0.00	0.41	0.03	3.30	5	105	3.33	25.50	7.7
0-1	(16+17)-I-4	0.00	3.29	0.04	0.59	6	106	3.30	25.50	7.7
0-1	(16+17)-II-4	0.00	1.64	0.06	3.67	7	107	3.74	25.50	6.8
0-1	(16+17)-II-4	0.00	1.64	0.07	4.36	8	108	4.43	25.50	5.8
0-1	(16+17)-V-4	0.00	3.08	0.04	0.27	9	109	3.08	25.50	8.3
0-1	(16+17)-V-4	0.00	3.08	0.05	0.37	10	110	3.08	25.50	8.3
0-1	(16+17)-V-4	0.00	3.08	0.06	0.46	11	111	3.08	25.50	8.3
0-1	(16+17)-IV-3	0.00	0.36	0.04	3.14	12	112	3.18	25.50	8.0
0-1	(16+17)-IV-3	0.01	0.29	0.04	2.94	12	100	2.99	20.50	6.9
0-1	(16+17)-II-4	0.00	1.36	0.06	3.67	13	113	3.74	25.50	6.8
0-1	(16+17)-V-4	0.01	3.08	0.04	0.24	14	114	3.09	25.50	8.3
0-1	(16+17)-II-4	0.01	1.34	0.06	3.73	15	115	3.79	25.50	6.7
0-1	(16+17)-V-4	0.01	3.11	0.05	0.42	16	116	3.12	25.50	8.2
0-1	(16+17)-II-4	0.01	1.55	0.06	3.73	17	117	3.79	25.50	6.7
0-1	(16+17)-II-4	0.01	1.55	0.07	4.36	18	118	4.43	25.50	5.8
0-1	(16+17)-IV-3	0.01	0.26	0.03	3.25	19	119	3.28	25.50	7.8
0-1	(16+17)-V-4	0.01	3.14	0.04	0.20	20	120	3.15	25.50	8.1

Interp.	Comb.	η_{Xv}	η_{Xh}	η_{Yv}	η_{Yh}	Nodo1	Nodo2	η	η_{Amm}	Cs
0-1	(16+17)-V-4	0.01	3.14	0.04	0.24	21	121	3.15	25.50	8.1
0-1	(16+17)-V-4	0.02	3.25	0.04	0.20	22	122	3.27	25.50	7.8
0-1	(16+17)-V-4	0.02	3.25	0.04	0.24	23	123	3.27	25.50	7.8
0-1	(16+17)-V-4	0.02	3.25	0.05	0.32	24	124	3.27	25.50	7.8
0-1	(16+17)-V-4	0.02	3.25	0.06	0.51	25	125	3.27	25.50	7.8
0-1	(16+17)-II-4	0.02	1.92	0.06	3.73	26	126	3.79	25.50	6.7
0-1	(16+17)-I-4	0.01	3.75	0.03	0.96	31	131	3.75	25.50	6.8
0-1	(16+17)-I-4	0.01	3.75	0.04	1.22	32	132	3.75	25.50	6.8
0-1	(16+17)-I-4	0.01	3.75	0.06	1.42	33	133	3.75	25.50	6.8
0-1	(16+17)-II-4	0.01	2.15	0.07	4.23	34	134	4.29	25.50	5.9
0-1	(16+17)-I-4	0.01	3.74	0.03	1.00	35	135	3.74	25.50	6.8
0-1	(16+17)-II-4	0.01	2.14	0.07	4.29	36	136	4.36	25.50	5.9
0-1	(16+17)-I-4	0.01	3.72	0.03	1.02	37	137	3.72	25.50	6.8
0-1	(16+17)-II-4	0.01	2.10	0.07	4.33	38	138	4.40	25.50	5.8
0-1	(16+17)-I-4	0.01	3.69	0.03	1.04	39	139	3.69	25.50	6.9
0-1	(16+17)-II-4	0.01	2.07	0.07	4.35	40	140	4.42	25.50	5.8
0-1	(16+17)-II-4	0.01	2.03	0.07	4.36	43	143	4.43	25.50	5.8
0-1	(16+17)-I-4	0.01	3.64	0.03	1.05	44	144	3.64	25.50	7.0
0-1	(16+17)-I-4	0.00	3.57	0.04	1.22	45	145	3.58	25.50	7.1
0-1	(16+17)-I-4	0.00	3.57	0.06	1.42	46	146	3.58	25.50	7.1
0-1	(16+17)-IV-3	0.00	0.38	0.03	3.30	47	147	3.33	25.50	7.7
0-1	(16+17)-IV-3	0.00	0.37	0.03	3.30	48	148	3.33	25.50	7.7
0-1	(16+17)-IV-3	0.00	0.37	0.03	3.29	49	149	3.32	25.50	7.7
0-1	(16+17)-IV-3	0.00	0.36	0.03	3.27	50	150	3.31	25.50	7.7
0-1	(16+17)-II-4	0.00	1.36	0.07	4.36	51	151	4.43	25.50	5.8
0-1	(16+17)-II-4	0.00	1.36	0.07	4.19	52	152	4.26	25.50	6.0
0-1	(16+17)-IV-3	0.00	0.36	0.03	3.26	53	153	3.29	25.50	7.7
0-1	(16+17)-IV-3	0.01	0.32	0.03	3.21	56	156	3.24	25.50	7.9
0-1	(16+17)-IV-3	0.01	0.32	0.04	3.14	57	157	3.18	25.50	8.0
0-1	(16+17)-IV-3	0.01	0.32	0.04	3.08	58	158	3.12	25.50	8.2
0-1	(16+17)-V-4	0.01	3.08	0.05	0.31	59	159	3.09	25.50	8.3
0-1	(16+17)-II-4	0.01	1.34	0.06	3.32	60	160	3.38	25.50	7.5
0-1	(16+17)-II-4	0.01	1.34	0.07	4.19	61	161	4.26	25.50	6.0
0-1	(16+17)-II-4	0.01	1.34	0.07	4.36	62	162	4.43	25.50	5.8
0-1	(16+17)-IV-3	0.01	0.32	0.03	3.22	63	163	3.25	25.50	7.8
0-1	(16+17)-II-4	0.01	1.35	0.06	3.29	64	164	3.34	25.50	7.6
0-1	(16+17)-V-4	0.01	3.08	0.05	0.31	65	165	3.09	25.50	8.3
0-1	(16+17)-IV-3	0.01	0.31	0.03	3.24	66	166	3.27	25.50	7.8
0-1	(16+17)-V-4	0.01	3.08	0.05	0.32	67	167	3.09	25.50	8.3
0-1	(16+17)-II-4	0.01	1.35	0.06	3.24	68	168	3.30	25.50	7.7
0-1	(16+17)-IV-3	0.01	0.31	0.03	3.24	69	169	3.28	25.50	7.8
0-1	(16+17)-V-4	0.01	3.09	0.05	0.32	70	170	3.09	25.50	8.2
0-1	(16+17)-II-4	0.01	1.37	0.06	3.21	71	171	3.27	25.50	7.8
0-1	(16+17)-IV-3	0.01	0.30	0.03	3.25	72	172	3.28	25.50	7.8
0-1	(16+17)-V-4	0.01	3.09	0.05	0.32	73	173	3.10	25.50	8.2
0-1	(16+17)-II-4	0.01	1.39	0.06	3.20	74	174	3.26	25.50	7.8
0-1	(16+17)-V-4	0.01	3.11	0.05	0.32	75	175	3.12	25.50	8.2
0-1	(16+17)-II-4	0.01	1.45	0.06	3.20	76	176	3.26	25.50	7.8
0-1	(16+17)-II-4	0.01	1.57	0.06	3.20	79	179	3.26	25.50	7.8
0-1	(16+17)-V-4	0.01	3.15	0.05	0.32	80	180	3.16	25.50	8.1
0-1	(16+17)-II-4	0.01	1.83	0.07	4.36	81	181	4.43	25.50	5.8
0-1	(16+17)-IV-3	0.01	0.21	0.03	3.25	82	182	3.28	25.50	7.8
0-1	(16+17)-IV-3	0.02	0.20	0.03	3.24	83	183	3.28	25.50	7.8
0-1	(16+17)-II-4	0.02	1.86	0.07	4.35	84	184	4.42	25.50	5.8
0-1	(16+17)-IV-3	0.02	0.20	0.03	3.24	85	185	3.27	25.50	7.8
0-1	(16+17)-II-4	0.02	1.90	0.07	4.32	86	186	4.39	25.50	5.8
0-1	(16+17)-V-4	0.02	3.25	0.03	0.19	87	187	3.27	25.50	7.8
0-1	(16+17)-II-4	0.02	1.91	0.07	4.27	88	188	4.34	25.50	5.9
0-1	(16+17)-V-4	0.02	3.25	0.03	0.19	89	189	3.27	25.50	7.8
0-1	(16+17)-II-4	0.02	1.92	0.07	4.23	90	190	4.29	25.50	5.9
1-1	(16+17)-I-4	0.01	0.40	0.01	0.09	100	112	0.42	5.00	12
Minimo										
0-1	(16+17)-II-4	0.01	2.03	0.07	4.36	43	143	4.43	25.50	5.8

Verifiche stato limite ultimo

Verifica dei Pilastri

Scenario di calcolo: Set_NT_SLV_SLD_A2STR/GEO_2018

Simbologia

L [cm]	Lunghezza teorica elemento (distanza tra i nodi)
Ln [cm]	Lunghezza netta elemento (tiene conto dei conci rigidi)
L2,L3 [cm]	Lunghezze libere di inflessione
Sez. R: Sezione Rettangolare	 By[cm]: Larghezza (asse locale y) Bz[cm]: Larghezza (asse locale z)
Sez. T: Sezione a T (rovescia e non)	 Ba[cm]: Larghezza base inferiore Ha[cm]: Altezza inferiore Bs[cm]: Larghezza superiore Hs[cm]: Altezza superiore
Sez. L: Sezione ad L (rovescia e non)	 Ba[cm]: Larghezza base inferiore Ha[cm]: Altezza inferiore Bs[cm]: Larghezza superiore Hs[cm]: Altezza superiore
Sez. C: Sezione circolare	 R[cm]: Raggio
Sez. G: Sezione generica	 B[cm]: Larghezza H[cm]: Altezza
Aspigoli	Area di ferro negli spigoli
Afy	Area di ferro sul lato Y
Afz	Area di ferro sul lato Z
Zona	Punto di verifica
1/N	Distanza dall'inizio della lunghezza netta
Piede	Inizio lunghezza netta
Testa	Fine lunghezza netta
Comb	Combinazione di carico: quando Comb non è sismica è individuata dal codice [(+/-)C], quando è sismica è individuata dal codice [(+/-)(Cx+Cy) Cm Sc], (+/-) rappresenta la eventuale traslazione del diagramma del momento dovuta al taglio, come specificato nel criterio di verifica [positiva (+) o negativa (-)]
- C	Individua la Combinazione di Carico non sismica (1, 2, ecc. come da scenario);
- Cx	Individua la Combinazione di Carico sismica in direzione x (SismaX, come da scenario);
- Cy	Individua la Combinazione di Carico sismica in direzione y (SismaY, come da scenario);
- Cm	Individua la Combinazione spostamento masse (I, II, III, IV, V, ecc. come da Combinazioni Sisma in Spostamento masse impalcato);
- Sc	Individua la sottocombinazione ottenuta mediante la permutazione dei segni (1, 2, 3, 4, 5, 6, 7, 8): 1) $Sc = + SismaZ*fz + SismaX*fx + SismaY*fy$ 2) $Sc = + SismaZ*fz + SismaX*fx - SismaY*fy$ 3) $Sc = + SismaZ*fz - SismaX*fx + SismaY*fy$ 4) $Sc = + SismaZ*fz - SismaX*fx - SismaY*fy$ 5) $Sc = - SismaZ*fz + SismaX*fx + SismaY*fy$ 6) $Sc = - SismaZ*fz + SismaX*fx - SismaY*fy$

- 7) $Sc = - SismaZ*fz - SismaX*fx + SismaY*fy$
8) $Sc = - SismaZ*fz - SismaX*fx - SismaY*fy.$

Le ultime quattro sono assenti quando non è richiesto il contributo del sisma in direzione verticale.
Le combinazioni delle azioni sismiche così ottenute vengono combinate con i carichi verticali (come da scenario).

N [kg]	Sforzo Normale
N^*y [kg]	Sforzo Normale x Omega2
N^*z [kg]	Sforzo Normale x Omega3
M_y [kg*m]	Momento flettente dir Y
M^*_y [kg*m]	Momento flettente dir Y x cy
c_y [kg*m]	Coefficiente moltiplicativo momento flettente dir Y per verifica a carico di punta
c_z [kg*m]	Coefficiente moltiplicativo momento flettente dir Z per verifica a carico di punta
M_z [kg*m]	Momento flettente dir Z
M^*_z [kg*m]	Momento flettente dir Z x cz
ϵ_{cmax}	Deformazione massima cls ⁽¹⁾
ϵ_{fmax}	Deformazione massima acciaio ⁽¹⁾
ϵ_{cMy}	Deformazione massima cls int direzione Y per pressoflessione retta ⁽¹⁾
ϵ_{fMy}	Deformazione massima acciaio int direzione Y per pressoflessione retta ⁽¹⁾
ϵ_{cMz}	Deformazione massima cls int direzione Z per pressoflessione retta ⁽¹⁾
ϵ_{fMz}	Deformazione massima acciaio int direzione Z per pressoflessione retta ⁽¹⁾
ΣM_{rtY}	Somma dei momenti resistenti delle travi in direzione Y ⁽²⁾
ΣM_{rtZ}	Somma dei momenti resistenti delle travi in direzione Z ⁽²⁾
$\Sigma M_{yRich.}$	Momento resistente richiesto direzione Y per rispettare la gerarchia ⁽²⁾
$\Sigma M_{zRich.}$	Momento resistente richiesto direzione Z per rispettare la gerarchia ⁽²⁾
T [kg]	Valore del taglio
Dir[Y-Z]	Direzione della componente di taglio
VRdns [kg]	Resistenza a taglio in assenza di armature
VRdns [kg]	Resistenza a taglio in assenza di armature
VRcd [kg]	Resistenza taglio-compressione calcestruzzo
VRsd [kg]	Resistenza taglio-trazione acciaio
VRd [kg]	Resistenza a taglio =min(VRcd,VRsd)
VRd,f [kg]	Resistenza a taglio dovuta alla resistenza a trazione del calcestruzzo ad alte prestazioni (quando presente)(cfr. eq 4.2 CNR204/2006), oppure resistenza rinforzo del composito (quando presente)(cfr. eq 4.19 CNR200/2013), oppure resistenza rinforzo della camicia in acciaio (quando presente)(cfr. eq C8.7.4.5 Circolare NTC)
Ast/m [cmq]	Armatura staffe
Min.Norm.	Valore minimo di norma dell' area delle staffe
$\cot(\theta)$	$\cot(\theta)$ secondo il punto 4.1.2.3.5 delle Norme Tecniche
Fatt.Ampl.Sisma	Fattore moltiplicativo di gruppo per le azioni sismiche (solo se diverso da 1.0)
Cs	Coefficiente di sicurezza definito dal rapporto $ Fr / Fd $ ($Fr=punto$ sul dominio di resistenza ottenuto aumentando proporzionalmente $Fd,Fd=azione$), quando richiesto dal criterio di verifica
ζ_E	Livello di sicurezza sismico definito come rapporto tra l'accelerazione sopportabile e l'accelerazione di progetto(valore stampato quando richiesto dal criterio di verifica)
Verifiche duttilità (quando richieste):	
Zona	Sezione di verifica dell'elemento
Comb.	Combinazione di verifica
N_{max} [kg]	Sforzo Normale massimo
Dir	Direzione di flessione (pilastri=Y o Z, travi =Z, pareti= ortogonale alla base)
M_{ry} [kg*m]	Momento di snervamento corrispondente a N_{max}
Mr_U [kg*m]	Momento ultimo (resistente) corrispondente a N_{max} sulla sezione depurata del calcestruzzo non confinato, considerando il confinamento

$\phi_y[1/m]$	Curvatura allo snervamento ($\phi_y = MrU/Mry * \phi'y$)
$\phi_u[1/m]$	Curvatura allo corrispondente a MrU
μ	Capacità in duttilità della sezione
F.Conf	Fattore di confinamento adottato (= $f_{ck,c}/f_{ck}$)
μ_d	Richiesta in duttilità della sezione
C_s	Livello di sicurezza ($C_s = \mu/\mu_d$)

Note Verifica pilastri:

(¹) le deformazioni sono stampate a meno del fattore 10^{-3}

(²) I momenti resistenti richiesti sono quelli dovuti alla ripartizione della somma dei momenti resistenti delle travi quando nella tabella dei momenti appare '--' significa che la gerarchia in quella direzione non è applicabile a seconda che il pilastro sia al piano terra o all'ultimo piano, oppure, la combinazione corrente non è sismica, oppure, la combinazione è sismica ma la sua direzione non è nella direzione del pilastro considerata. Un valore nullo dei momenti resistenti è relativo a piede o testa di pilastri in fondazione o copertura

Pilastro: 1 [2,102] Sez. R: By=60.0 cm Bz=30.0 cm L=510.0 cm Ln=510.0 cm Criterio:
CLS_Pilastri - Verifica a presso-flessione deviata: **Verificato**

Piede	AfSpigolo = 2.01	Afy = 8.04	Afz = 2.01
Testa	AfSpigolo = 2.01	Afy = 8.04	Afz = 2.01

$$v_{max} = N/(f_{cd}*A) = 0.09 \leq 0.65 \quad [\text{Comb. (5+6)-IV-2(+)}]$$

Zona	C.	N kg	My kg*m	Mz kg*m	Mry+ kg*m	Mrz+ kg*m	Mry- kg*m	Mrz- kg*m	CS
Piede	(5+6)-I-1(-)	-21920	361	12318	14964	29348	14964	29348	2.7
Testa	(5+6)-I-4(+)	-12570	-497	12264	14008	28211	14008	28211	2.5

Verifica a taglio

Dir	C.	MrSup kg*m	MrInf kg*m	T kg	Vrdns kg	Vrcd kg	Vrsd kg	Vrd kg	Ast/m	cot(θ)	Cs
Y	(5+6)-I-1	--	--	11724	--	39887	24739	24739	5.03	2.500	2.1
Z	(5+6)-IV-2	--	--	1733	--	37106	11462	11462	5.03	2.500	6.6

Pilastro: 2 [3,103] Sez. R: By=60.0 cm Bz=30.0 cm L=510.0 cm Ln=510.0 cm Criterio:
CLS_Pilastri - Verifica a presso-flessione deviata: **Verificato**

Piede	AfSpigolo = 2.01	Afy = 8.04	Afz = 2.01
Testa	AfSpigolo = 2.01	Afy = 8.04	Afz = 2.01

$$v_{max} = N/(f_{cd}*A) = 0.093 \leq 0.65 \quad [\text{Comb. (5+6)-II-4(+)}]$$

Zona	C.	N kg	My kg*m	Mz kg*m	Mry+ kg*m	Mrz+ kg*m	Mry- kg*m	Mrz- kg*m	CS
Piede	(5+6)-I-4(-)	-22896	1237	-12603	15062	29465	15062	29465	2.5
Testa	(5+6)-I-1(+)	-11610	272	-12434	13908	28093	13908	28093	2.4

Verifica a taglio

Dir	C.	MrSup kg*m	MrInf kg*m	T kg	Vrdns kg	Vrcd kg	Vrsd kg	Vrd kg	Ast/m	cot(θ)	Cs
Y	(5+6)-I-4	--	--	11951	--	40028	24739	24739	5.03	2.500	2.1
Z	(5+6)-II-4	--	--	2035	--	37219	11462	11462	5.03	2.500	5.6

Pilastro: 3 [4,104] Sez. R: By=60.0 cm Bz=30.0 cm L=510.0 cm Ln=510.0 cm Criterio:
CLS_Pilastri - Verifica a presso-flessione deviata: **Verificato**

Piede	AfSpigolo = 2.01	Afy = 8.04	Afz = 2.01
Testa	AfSpigolo = 2.01	Afy = 8.04	Afz = 2.01

$$v_{max} = N/(f_{cd}*A) = 0.064 \leq 0.65 \quad [\text{Comb. (5+6)-II-4(-)}]$$

Zona	C.	N	My	Mz	Mry+	Mrz+	Mry-	Mrz-	CS
------	----	---	----	----	------	------	------	------	----

Zona	C.	N	My	Mz	Mry+	Mrz+	Mry-	Mrz-	CS
		kg	kg*m	kg*m	kg*m	kg*m	kg*m	kg*m	
Piede	(5+6)-I-1(-)	-15273	-616	9621	14287	28542	14287	28542	3.3
Testa	(5+6)-I-4(+)	-13964	-901	8658	14152	28382	14152	28382	3.6

Verifica a taglio

Dir	C.	MrSup	MrInf	T	Vrdns	Vrcd	Vrsd	Vrd	Ast/m	cot(θ)	Cs
		kg*m	kg*m	kg	kg	kg	kg	kg	cmq/m		
Y	(5+6)-I-4	--	--	8718	--	39068	24739	24739	5.03	2.500	2.8
Z	(5+6)-IV-4	--	--	1245	--	36189	11462	11462	5.03	2.500	9.2

Pilastro: 4 [5,105] Sez. R: By=30.0 cm Bz=60.0 cm L=510.0 cm Ln=510.0 cm Criterio: CLS_Pilastri - Verifica a presso-flessione deviata: **Verificato**

Piede	AfSpigolo = 2.01	Afy = 2.01	Afz = 8.04
Testa	AfSpigolo = 2.01	Afy = 2.01	Afz = 8.04

$$v_{max}=N/(fcd*A)=0.069 <= 0.65 \quad [\text{Comb. (5+6)-VII-4(+)}]$$

Zona	C.	N	My	Mz	Mry+	Mrz+	Mry-	Mrz-	CS
		kg	kg*m	kg*m	kg*m	kg*m	kg*m	kg*m	
Piede	(5+6)-IV-3(-)	-13561	-10788	-78	28332	14111	28332	14111	2.9
Testa	(5+6)-IV-3(+)	-11266	11055	203	28043	13872	28043	13872	2.7

Verifica a taglio

Dir	C.	MrSup	MrInf	T	Vrdns	Vrcd	Vrsd	Vrd	Ast/m	cot(θ)	Cs
		kg*m	kg*m	kg	kg	kg	kg	kg	cmq/m		
Y	(5+6)-I-4	--	--	1089	--	36370	11462	11462	5.03	2.500	11
Z	(5+6)-IV-3	--	--	10679	--	38678	24739	24739	5.03	2.500	2.3

Pilastro: 5 [6,106] Sez. R: By=30.0 cm Bz=60.0 cm L=510.0 cm Ln=510.0 cm Criterio: CLS_Pilastri - Verifica a presso-flessione deviata: **Verificato**

Piede	AfSpigolo = 2.01	Afy = 2.01	Afz = 8.04
Testa	AfSpigolo = 2.01	Afy = 2.01	Afz = 8.04

$$v_{max}=N/(fcd*A)=0.084 <= 0.65 \quad [\text{Comb. (5+6)-III-2(-)}]$$

Zona	C.	N	My	Mz	Mry+	Mrz+	Mry-	Mrz-	CS
		kg	kg*m	kg*m	kg*m	kg*m	kg*m	kg*m	
Piede	(5+6)-IV-3(-)	-16510	-8274	189	28692	14414	28692	14414	4.0
Testa	(5+6)-IV-2(+)	-18197	-7771	-725	28898	14587	28898	14587	4.2

Verifica a taglio

Dir	C.	MrSup	MrInf	T	Vrdns	Vrcd	Vrsd	Vrd	Ast/m	cot(θ)	Cs
		kg*m	kg*m	kg	kg	kg	kg	kg	cmq/m		
Y	(5+6)-I-1	--	--	1835	--	36883	11462	11462	5.03	2.500	6.2
Z	(5+6)-IV-2	--	--	7497	--	39680	24739	24739	5.03	2.500	3.3

Pilastro: 6 [7,107] Sez. R: By=30.0 cm Bz=60.0 cm L=510.0 cm Ln=510.0 cm Criterio: CLS_Pilastri - Verifica a presso-flessione deviata: **Verificato**

Piede	AfSpigolo = 2.01	Afy = 2.01	Afz = 8.04
Testa	AfSpigolo = 2.01	Afy = 2.01	Afz = 8.04

$$v_{max}=N/(fcd*A)=0.077 <= 0.65 \quad [\text{Comb. (5+6)-I-4(-)}]$$

Zona	C.	N	My	Mz	Mry+	Mrz+	Mry-	Mrz-	CS
		kg	kg*m	kg*m	kg*m	kg*m	kg*m	kg*m	
Piede	(5+6)-II-1(-)	-17803	-9691	706	28850	14547	28850	14547	3.3
Testa	(5+6)-II-4(+)	-17181	-8102	1354	28774	14483	28774	14483	3.7

Verifica a taglio

Dir	C.	MrSup	MrInf	T	Vrdns	Vrcd	Vrsd	Vrd	Ast/m	cot(θ)	Cs
		kg*m	kg*m	kg	kg	kg	kg	kg	cmq/m		

Dir	C.	MrSup	MrInf	T	Vrdns	Vrcd	Vrsd	Vrd	Ast/m	cot(θ)	Cs
Y	(5+6)-I-4	--	--	2058	--	36658	11462	11462	5.03	2.500	5.6
Z	(5+6)-II-4	--	--	8424	--	39533	24739	24739	5.03	2.500	2.9

Pilastro: 7 [8,108] Sez. R: By=30.0 cm Bz=60.0 cm L=510.0 cm Ln=510.0 cm Criterio: CLS_Pilastri - Verifica a presso-flessione deviata: **Verificato**

Piede	AfSpigolo = 2.01	Afy = 2.01	Afz = 8.04
Testa	AfSpigolo = 2.01	Afy = 2.01	Afz = 8.04

$$v_{max} = N/(fcd * A) = 0.074 <= 0.65 \quad [\text{Comb. (5+6)-I-1(+)}]$$

Zona	C.	N	My	Mz	Mry+	Mrz+	Mry-	Mrz-	CS
		kg	kg*m	kg*m	kg*m	kg*m	kg*m	kg*m	
Piede	(5+6)-II-1(-)	-17911	-14615	578	28863	14558	28863	14558	2.1
Testa	(5+6)-II-1(+)	-15616	14862	-648	28583	14323	28583	14323	2.0

Verifica a taglio

Dir	C.	MrSup	MrInf	T	Vrdns	Vrcd	Vrsd	Vrd	Ast/m	cot(θ)	Cs
		kg*m	kg*m	kg	kg	kg	kg	kg	cmq/m		
Y	(5+6)-VII-1	--	--	1096	--	36380	11462	11462	5.03	2.500	10
Z	(5+6)-I-1	28698	28977	12440	--	39277	24739	24739	5.03	2.500	2.0

Pilastro: 8 [12,100] Sez. R: By=120.0 cm Bz=30.0 cm L=410.0 cm Ln=410.0 cm Criterio: CLS_Pilastri - Verifica a presso-flessione deviata: **Verificato**

Piede	AfSpigolo = 2.01	Afy = 16.08	Afz = 2.01
Testa	AfSpigolo = 2.01	Afy = 16.08	Afz = 2.01

$$v_{max} = N/(fcd * A) = 0.071 <= 0.65 \quad [\text{Comb. (5+6)-IV-2(-)}]$$

Zona	C.	N	My	Mz	Mry+	Mrz+	Mry-	Mrz-	CS
		kg	kg*m	kg*m	kg*m	kg*m	kg*m	kg*m	
Piede	(5+6)-V-4(-)	-12465	82	-28496	21601	89185	21601	89185	3.4
Testa	(5+6)-V-4(+)	-8775	-83	28496	21203	87992	21203	87992	3.3

Verifica a taglio

Dir	C.	MrSup	MrInf	T	Vrdns	Vrcd	Vrsd	Vrd	Ast/m	cot(θ)	Cs
		kg*m	kg*m	kg	kg	kg	kg	kg	cmq/m		
Y	(5+6)-VII-1	--	--	31699	--	79989	51292	51292	5.03	2.500	1.6
Z	(5+6)-IV-2	--	--	7529	--	72936	11462	11462	5.03	2.500	1.5

Pilastro: 9 [9,109] Sez. R: By=60.0 cm Bz=30.0 cm L=510.0 cm Ln=510.0 cm Criterio: CLS_Pilastri - Verifica a presso-flessione deviata: **Verificato**

Piede	AfSpigolo = 2.01	Afy = 8.04	Afz = 2.01
Testa	AfSpigolo = 2.01	Afy = 8.04	Afz = 2.01

$$v_{max} = N/(fcd * A) = 0.084 <= 0.65 \quad [\text{Comb. (5+6)-III-1(+)}]$$

Zona	C.	N	My	Mz	Mry+	Mrz+	Mry-	Mrz-	CS
		kg	kg*m	kg*m	kg*m	kg*m	kg*m	kg*m	
Piede	(5+6)-III-3(-)	-20082	-1907	-7134	14778	29126	14778	29126	3.9
Testa	(5+6)-VII-1(+)	-19115	1667	-8355	14680	29009	14680	29009	3.5

Verifica a taglio

Dir	C.	MrSup	MrInf	T	Vrdns	Vrcd	Vrsd	Vrd	Ast/m	cot(θ)	Cs
		kg*m	kg*m	kg	kg	kg	kg	kg	cmq/m		
Y	(5+6)-V-1	--	--	7599	--	39812	24739	24739	5.03	2.500	3.3
Z	(5+6)-IV-3	--	--	2782	--	36804	11462	11462	5.03	2.500	4.1

Pilastro: 10 [10,110] Sez. R: By=60.0 cm Bz=30.0 cm L=510.0 cm Ln=510.0 cm Criterio: CLS_Pilastri - Verifica a presso-flessione deviata: **Verificato**

Piede	AfSpigolo = 2.01	Afy = 8.04	Afz = 2.01
Testa	AfSpigolo = 2.01	Afy = 8.04	Afz = 2.01

$v_{max} = N/(fc_d * A) = 0.088 \leq 0.65$ [Comb. (5+6)-IV-4(-)]

Zona	C.	N	My	Mz	Mry+	Mrz+	Mry-	Mrz-	CS
		kg	kg*m	kg*m	kg*m	kg*m	kg*m	kg*m	
Piede	(5+6)-III-4(-)	-22388	1570	-7363	15011	29404	15011	29404	4.0
Testa	(5+6)-III-4(+)	-20093	-2352	7723	14780	29127	14780	29127	3.4

Verifica a taglio

Dir	C.	MrSup	MrInf	T	Vrdns	Vrcd	Vrsd	Vrd	Ast/m	cot(θ)	Cs
		kg*m	kg*m	kg	kg	kg	kg	kg	cmq/m		
Y	(5+6)-V-1	--	--	7437	--	39898	24739	24739	5.03	2.500	3.3
Z	(5+6)-IV-4	--	--	2461	--	37050	11462	11462	5.03	2.500	4.7

Pilastro: 11 [11,111] Sez. R: By=60.0 cm Bz=30.0 cm L=510.0 cm Ln=510.0 cm Criterio:
CLS_Pilastri - Verifica a presso-flessione deviata: **Verificato**

Piede	AfSpigolo = 2.01	Afy = 8.04	Afz = 2.01
Testa	AfSpigolo = 2.01	Afy = 8.04	Afz = 2.01

$v_{max} = N/(fc_d * A) = 0.101 \leq 0.65$ [Comb. (5+6)-II-1(+)]

Zona	C.	N	My	Mz	Mry+	Mrz+	Mry-	Mrz-	CS
		kg	kg*m	kg*m	kg*m	kg*m	kg*m	kg*m	
Piede	(5+6)-I-1(-)	-25657	-1199	8235	15338	29795	15338	29795	3.9
Testa	(5+6)-I-4(+)	-22275	-1544	7469	15000	29390	15000	29390	4.0

Verifica a taglio

Dir	C.	MrSup	MrInf	T	Vrdns	Vrcd	Vrsd	Vrd	Ast/m	cot(θ)	Cs
		kg*m	kg*m	kg	kg	kg	kg	kg	cmq/m		
Y	(5+6)-V-1	--	--	7313	--	40423	24739	24739	5.03	2.500	3.4
Z	(5+6)-II-1	--	--	2494	--	37473	11462	11462	5.03	2.500	4.6

Pilastro: 12 [13,113] Sez. R: By=60.0 cm Bz=30.0 cm L=510.0 cm Ln=510.0 cm Criterio:
CLS_Pilastri - Verifica a presso-flessione deviata: **Verificato**

Piede	AfSpigolo = 2.01	Afy = 8.04	Afz = 2.01
Testa	AfSpigolo = 2.01	Afy = 8.04	Afz = 2.01

$v_{max} = N/(fc_d * A) = 0.069 \leq 0.65$ [Comb. (5+6)-V-3(-)]

Zona	C.	N	My	Mz	Mry+	Mrz+	Mry-	Mrz-	CS
		kg	kg*m	kg*m	kg*m	kg*m	kg*m	kg*m	
Piede	(5+6)-I-1(-)	-14678	-2127	7372	14226	28469	14226	28469	3.5
Testa	(5+6)-I-1(+)	-12383	2368	-8312	13989	28188	13989	28188	3.0

Verifica a taglio

Dir	C.	MrSup	MrInf	T	Vrdns	Vrcd	Vrsd	Vrd	Ast/m	cot(θ)	Cs
		kg*m	kg*m	kg	kg	kg	kg	kg	cmq/m		
Y	(5+6)-V-4	--	--	7480	--	39173	24739	24739	5.03	2.500	3.3
Z	(5+6)-II-1	--	--	3346	--	36221	11462	11462	5.03	2.500	3.4

Pilastro: 13 [14,114] Sez. R: By=60.0 cm Bz=30.0 cm L=510.0 cm Ln=510.0 cm Criterio:
CLS_Pilastri - Verifica a presso-flessione deviata: **Verificato**

Piede	AfSpigolo = 2.01	Afy = 8.04	Afz = 2.01
Testa	AfSpigolo = 2.01	Afy = 8.04	Afz = 2.01

$v_{max} = N/(fc_d * A) = 0.06 \leq 0.65$ [Comb. (5+6)-V-1(-)]

Zona	C.	N	My	Mz	Mry+	Mrz+	Mry-	Mrz-	CS
		kg	kg*m	kg*m	kg*m	kg*m	kg*m	kg*m	
Piede	(5+6)-VII-4(-)	-12438	603	-8794	13994	28195	13994	28195	3.5
Testa	(5+6)-VII-4(+)	-10143	-680	8979	13755	27860	13755	27860	3.3

Verifica a taglio

Dir	C.	MrSup	MrInf	T	Vrdns	Vrcd	Vrsd	Vrd	Ast/m	cot(θ)	Cs
		kg*m	kg*m	kg	kg	kg	kg	kg	cmq/m		
Y	(5+6)-VII-1	--	--	8755	--	38898	24739	24739	5.03	2.500	2.8
Z	(5+6)-IV-2	--	--	2087	--	35989	11462	11462	5.03	2.500	5.5

Pilastro: 14 [15,115] Sez. R: By=60.0 cm Bz=30.0 cm L=510.0 cm Ln=510.0 cm Criterio:
CLS_Pilastri - Verifica a presso-flessione deviata: **Verificato**

Piede	AfSpigolo = 2.01	Afy = 8.04	Afz = 2.01
Testa	AfSpigolo = 2.01	Afy = 8.04	Afz = 2.01

$$v_{max} = N/(fcd*A) = 0.055 \leq 0.65 \quad [\text{Comb. (5+6)-II-4(-)}]$$

Zona	C.	N	My	Mz	Mry+	Mrz+	Mry-	Mrz-	CS
		kg	kg*m	kg*m	kg*m	kg*m	kg*m	kg*m	
Piede	(5+6)-I-4(-)	-13519	1965	-7808	14106	28327	14106	28327	3.4
Testa	(5+6)-I-4(+)	-11224	-2088	7315	13868	28036	13868	28036	3.5

Verifica a taglio

Dir	C.	MrSup	MrInf	T	Vrdns	Vrcd	Vrsd	Vrd	Ast/m	cot(θ)	Cs
		kg*m	kg*m	kg	kg	kg	kg	kg	cmq/m		
Y	(5+6)-V-4	--	--	8329	--	38588	24739	24739	5.03	2.500	3.0
Z	(5+6)-II-4	--	--	2822	--	35918	11462	11462	5.03	2.500	4.1

Pilastro: 15 [16,116] Sez. R: By=60.0 cm Bz=30.0 cm L=510.0 cm Ln=510.0 cm Criterio:
CLS_Pilastri - Verifica a presso-flessione deviata: **Verificato**

Piede	AfSpigolo = 2.01	Afy = 8.04	Afz = 2.01
Testa	AfSpigolo = 2.01	Afy = 8.04	Afz = 2.01

$$v_{max} = N/(fcd*A) = 0.084 \leq 0.65 \quad [\text{Comb. (5+6)-VI-4(-)}]$$

Zona	C.	N	My	Mz	Mry+	Mrz+	Mry-	Mrz-	CS
		kg	kg*m	kg*m	kg*m	kg*m	kg*m	kg*m	
Piede	(5+6)-V-1(-)	-19773	-1165	10936	14747	29089	14747	29089	2.9
Testa	(5+6)-V-1(+)	-17478	2597	-10847	14513	28810	14513	28810	2.5

Verifica a taglio

Dir	C.	MrSup	MrInf	T	Vrdns	Vrcd	Vrsd	Vrd	Ast/m	cot(θ)	Cs
		kg*m	kg*m	kg	kg	kg	kg	kg	cmq/m		
Y	(5+6)-V-4	--	--	10472	--	39774	24739	24739	5.03	2.500	2.4
Z	(5+6)-IV-4	--	--	2141	--	36855	11462	11462	5.03	2.500	5.4

Pilastro: 16 [19,119] Sez. R: By=30.0 cm Bz=60.0 cm L=510.0 cm Ln=510.0 cm Criterio:
CLS_Pilastri - Verifica a presso-flessione deviata: **Verificato**

Piede	AfSpigolo = 2.01	Afy = 2.01	Afz = 8.04
Testa	AfSpigolo = 2.01	Afy = 2.01	Afz = 8.04

$$v_{max} = N/(fcd*A) = 0.07 \leq 0.65 \quad [\text{Comb. (5+6)-V-4(+)}]$$

Zona	C.	N	My	Mz	Mry+	Mrz+	Mry-	Mrz-	CS
		kg	kg*m	kg*m	kg*m	kg*m	kg*m	kg*m	
Piede	(5+6)-IV-2(-)	-13866	11528	151	28370	14142	28370	14142	2.7
Testa	(5+6)-IV-2(+)	-11571	-11837	-14	28088	13904	28088	13904	2.5

Verifica a taglio

Dir	C.	MrSup	MrInf	T	Vrdns	Vrcd	Vrsd	Vrd	Ast/m	cot(θ)	Cs
		kg*m	kg*m	kg	kg	kg	kg	kg	cmq/m		
Y	(5+6)-V-4	--	--	915	--	36433	11462	11462	5.03	2.500	13
Z	(5+6)-IV-3	--	--	11446	--	38776	24739	24739	5.03	2.500	2.2

Pilastro: 17 [20,120] Sez. R: By=60.0 cm Bz=30.0 cm L=510.0 cm Ln=510.0 cm Criterio:
CLS_Pilastri - Verifica a presso-flessione deviata: **Verificato**

Piede	AfSpigolo = 2.01	Afy = 8.04	Afz = 2.01
Testa	AfSpigolo = 2.01	Afy = 8.04	Afz = 2.01

$$v_{max} = N/(fcd*A) = 0.059 \leq 0.65 \quad [\text{Comb. (5+6)-VIII-1(+)}]$$

Zona	C.	N	My	Mz	Mry+	Mrz+	Mry-	Mrz-	CS
		kg	kg*m	kg*m	kg*m	kg*m	kg*m	kg*m	
Piede	(5+6)-V-1(-)	-14947	15	6333	14254	28502	14254	28502	5.4
Testa	(5+6)-III-2(+)	-12536	-1529	-2772	14004	28207	14004	28207	7.6

Verifica a taglio

Dir	C.	MrSup	MrInf	T	Vrdns	Vrcd	Vrsd	Vrd	Ast/m	cot(θ)	Cs
		kg*m	kg*m	kg	kg	kg	kg	kg	cmq/m		
Y	(5+6)-V-1	--	--	4747	--	38878	24739	24739	5.03	2.500	5.2
Z	(5+6)-IV-3	--	--	2304	--	36037	11462	11462	5.03	2.500	5.0

Pilastro: 18 [21,121] Sez. R: By=60.0 cm Bz=30.0 cm L=510.0 cm Ln=510.0 cm Criterio:
CLS_Pilastri - Verifica a presso-flessione deviata: **Verificato**

Piede	AfSpigolo = 2.01	Afy = 8.04	Afz = 2.01
Testa	AfSpigolo = 2.01	Afy = 8.04	Afz = 2.01

$$v_{max} = N/(fcd*A) = 0.065 \leq 0.65 \quad [\text{Comb. (5+6)-VII-1(-)}]$$

Zona	C.	N	My	Mz	Mry+	Mrz+	Mry-	Mrz-	CS
		kg	kg*m	kg*m	kg*m	kg*m	kg*m	kg*m	
Piede	(5+6)-V-4(-)	-15216	514	-7215	14281	28535	14281	28535	4.6
Testa	(5+6)-VIII-4(+)	-13164	-2273	2100	14069	28284	14069	28284	6.6

Verifica a taglio

Dir	C.	MrSup	MrInf	T	Vrdns	Vrcd	Vrsd	Vrd	Ast/m	cot(θ)	Cs
		kg*m	kg*m	kg	kg	kg	kg	kg	cmq/m		
Y	(5+6)-V-1	--	--	5575	--	39126	24739	24739	5.03	2.500	4.4
Z	(5+6)-IV-3	--	--	2206	--	36174	11462	11462	5.03	2.500	5.2

Pilastro: 19 [17,117] Sez. R: By=60.0 cm Bz=30.0 cm L=510.0 cm Ln=510.0 cm Criterio:
CLS_Pilastri - Verifica a presso-flessione deviata: **Verificato**

Piede	AfSpigolo = 2.01	Afy = 8.04	Afz = 2.01
Testa	AfSpigolo = 2.01	Afy = 8.04	Afz = 2.01

$$v_{max} = N/(fcd*A) = 0.065 \leq 0.65 \quad [\text{Comb. (5+6)-V-3(-)}]$$

Zona	C.	N	My	Mz	Mry+	Mrz+	Mry-	Mrz-	CS
		kg	kg*m	kg*m	kg*m	kg*m	kg*m	kg*m	
Piede	(5+6)-I-4(-)	-16235	1878	-5554	14386	28659	14386	28659	4.6
Testa	(5+6)-II-4(+)	-13562	-2895	1747	14111	28332	14111	28332	5.7

Verifica a taglio

Dir	C.	MrSup	MrInf	T	Vrdns	Vrcd	Vrsd	Vrd	Ast/m	cot(θ)	Cs
		kg*m	kg*m	kg	kg	kg	kg	kg	cmq/m		
Y	(5+6)-V-4	--	--	4752	--	39090	24739	24739	5.03	2.500	5.2
Z	(5+6)-II-1	--	--	2653	--	36229	11462	11462	5.03	2.500	4.3

Pilastro: 20 [18,118] Sez. R: By=30.0 cm Bz=60.0 cm L=510.0 cm Ln=510.0 cm Criterio:
CLS_Pilastri - Verifica a presso-flessione deviata: **Verificato**

Piede	AfSpigolo = 2.01	Afy = 2.01	Afz = 8.04
Testa	AfSpigolo = 2.01	Afy = 2.01	Afz = 8.04

$$v_{max} = N/(fcd*A) = 0.072 \leq 0.65 \quad [\text{Comb. (5+6)-V-2(+)}]$$

Zona	C.	N	My	Mz	Mry+	Mrz+	Mry-	Mrz-	CS
		kg	kg*m	kg*m	kg*m	kg*m	kg*m	kg*m	
Piede	(5+6)-II-4(-)	-16673	14222	-678	28712	14431	28712	14431	2.1
Testa	(5+6)-II-1(+)	-9783	14726	-467	27801	13718	27801	13718	2.0

Verifica a taglio

Dir	C.	MrSup	MrInf	T	Vrdns	Vrcd	Vrsd	Vrd	Ast/m	cot(θ)	Cs
		kg*m	kg*m	kg	kg	kg	kg	kg	cmq/m		
Y	(5+6)-VII-1	--	--	1007	--	36331	11462	11462	5.03	2.500	11
Z	(5+6)-V-2	28650	28929	12419	--	39221	24739	24739	5.03	2.500	2.0

Pilastro: 21 [22,122] Sez. R: By=60.0 cm Bz=30.0 cm L=510.0 cm Ln=510.0 cm Criterio:
CLS_Pilastri - Verifica a presso-flessione deviata: **Verificato**

Piede	AfSpigolo = 2.01	Afy = 8.04	Afz = 2.01
Testa	AfSpigolo = 2.01	Afy = 8.04	Afz = 2.01

$$v_{max}=N/(fcd*A)=0.06 \leq 0.65 \quad [\text{Comb. (5+6)-IV-3(-)}]$$

Zona	C.	N	My	Mz	Mry+	Mrz+	Mry-	Mrz-	CS
		kg	kg*m	kg*m	kg*m	kg*m	kg*m	kg*m	
Piede	(5+6)-V-2(-)	-12799	170	9554	14032	28239	14032	28239	3.3
Testa	(5+6)-V-3(+)	-10382	1644	9198	13780	27899	13780	27899	3.0

Verifica a taglio

Dir	C.	MrSup	MrInf	T	Vrdns	Vrcd	Vrsd	Vrd	Ast/m	cot(θ)	Cs
		kg*m	kg*m	kg	kg	kg	kg	kg	cmq/m		
Y	(5+6)-V-2	--	--	9306	--	38568	24739	24739	5.03	2.500	2.7
Z	(5+6)-IV-3	--	--	1736	--	36088	11462	11462	5.03	2.500	6.6

Pilastro: 22 [23,123] Sez. R: By=60.0 cm Bz=30.0 cm L=510.0 cm Ln=510.0 cm Criterio:
CLS_Pilastri - Verifica a presso-flessione deviata: **Verificato**

Piede	AfSpigolo = 2.01	Afy = 8.04	Afz = 2.01
Testa	AfSpigolo = 2.01	Afy = 8.04	Afz = 2.01

$$v_{max}=N/(fcd*A)=0.074 \leq 0.65 \quad [\text{Comb. (5+6)-VIII-1(-)}]$$

Zona	C.	N	My	Mz	Mry+	Mrz+	Mry-	Mrz-	CS
		kg	kg*m	kg*m	kg*m	kg*m	kg*m	kg*m	
Piede	(5+6)-V-3(-)	-14493	-1134	-10298	14207	28446	14207	28446	2.9
Testa	(5+6)-V-3(+)	-12198	1873	10578	13969	28165	13969	28165	2.6

Verifica a taglio

Dir	C.	MrSup	MrInf	T	Vrdns	Vrcd	Vrsd	Vrd	Ast/m	cot(θ)	Cs
		kg*m	kg*m	kg	kg	kg	kg	kg	cmq/m		
Y	(5+6)-V-2	--	--	10071	--	39205	24739	24739	5.03	2.500	2.5
Z	(5+6)-IV-3	--	--	1885	--	36441	11462	11462	5.03	2.500	6.1

Pilastro: 23 [24,124] Sez. R: By=30.0 cm Bz=60.0 cm L=510.0 cm Ln=510.0 cm Criterio:
CLS_Pilastri - Verifica a presso-flessione deviata: **Verificato**

Piede	AfSpigolo = 2.01	Afy = 2.01	Afz = 8.04
Testa	AfSpigolo = 2.01	Afy = 2.01	Afz = 8.04

$$v_{max}=N/(fcd*A)=0.066 \leq 0.65 \quad [\text{Comb. (5+6)-VIII-3(-)}]$$

Zona	C.	N	My	Mz	Mry+	Mrz+	Mry-	Mrz-	CS
		kg	kg*m	kg*m	kg*m	kg*m	kg*m	kg*m	
Piede	(5+6)-VIII-2(-)	-5774	7412	1085	27136	13297	27136	13297	3.7
Testa	(5+6)-VI-2(+)	-4794	-6223	-2234	26972	13193	26972	13193	3.5

Verifica a taglio

Dir	C.	MrSup	MrInf	T	Vrdns	Vrcd	Vrsd	Vrd	Ast/m	cot(θ)	Cs
		kg*m	kg*m	kg	kg	kg	kg	kg	cmq/m		

Dir	C.	MrSup	MrInf	T	Vrdns	Vrcd	Vrsd	Vrd	Ast/m	cot(θ)	Cs
Y	(5+6)-V-3	--	--	2928	--	35877	11462	11462	5.03	2.500	3.9
Z	(5+6)-IV-1	--	--	7212	--	39164	24739	24739	5.03	2.500	3.4

Pilastro: 24 [25,125] Sez. R: By=30.0 cm Bz=60.0 cm L=510.0 cm Ln=510.0 cm Criterio:
CLS_Pilastri - Verifica a presso-flessione deviata: **Verificato**

Piede	AfSpigolo = 2.01	Afy = 2.01	Afz = 8.04
Testa	AfSpigolo = 2.01	Afy = 2.01	Afz = 8.04

$$v_{max} = N/(fcd * A) = 0.067 <= 0.65 \quad [\text{Comb. (5+6)-VI-3(-)}]$$

Zona	C.	N	My	Mz	Mry+	Mrz+	Mry-	Mrz-	CS
		kg	kg*m	kg*m	kg*m	kg*m	kg*m	kg*m	
Piede	(5+6)-II-4(-)	-4505	7758	-1094	26923	13163	26923	13163	3.4
Testa	(5+6)-II-4(+)	-2210	-7597	1241	26533	12919	26533	12919	3.3

Verifica a taglio

Dir	C.	MrSup	MrInf	T	Vrdns	Vrcd	Vrsd	Vrd	Ast/m	cot(θ)	Cs
		kg*m	kg*m	kg	kg	kg	kg	kg	cmq/m		
Y	(5+6)-VII-4	--	--	2541	--	35558	11462	11462	5.03	2.500	4.5
Z	(5+6)-II-1	--	--	7821	--	39168	24739	24739	5.03	2.500	3.2

Pilastro: 25 [26,126] Sez. R: By=60.0 cm Bz=30.0 cm L=510.0 cm Ln=510.0 cm Criterio:
CLS_Pilastri - Verifica a presso-flessione deviata: **Verificato**

Piede	AfSpigolo = 2.01	Afy = 8.04	Afz = 2.01
Testa	AfSpigolo = 2.01	Afy = 8.04	Afz = 2.01

$$v_{max} = N/(fcd * A) = 0.076 <= 0.65 \quad [\text{Comb. (5+6)-VI-3(+)}]$$

Zona	C.	N	My	Mz	Mry+	Mrz+	Mry-	Mrz-	CS
		kg	kg*m	kg*m	kg*m	kg*m	kg*m	kg*m	
Piede	(5+6)-V-4(-)	-14666	-141	-9612	14225	28467	14225	28467	3.3
Testa	(5+6)-V-1(+)	-11979	1104	-9667	13947	28138	13947	28138	3.0

Verifica a taglio

Dir	C.	MrSup	MrInf	T	Vrdns	Vrcd	Vrsd	Vrd	Ast/m	cot(θ)	Cs
		kg*m	kg*m	kg	kg	kg	kg	kg	cmq/m		
Y	(5+6)-V-4	--	--	9303	--	38838	24739	24739	5.03	2.500	2.7
Z	(5+6)-II-1	--	--	1986	--	36622	11462	11462	5.03	2.500	5.8

Verifica delle travi

Scenario di calcolo: Set_NT_SLV_SLD_A2STR/GEO_2018

Simbologia:

- Terreno Nome della stratigrafia per travi Winkler
- L [cm] Lunghezza teorica elemento (distanza tra i nodi)
- Ln [cm] Lunghezza netta elemento (tiene conto dei conci rigidi)
- L2,L3 [cm] Lunghezze libere di inflessione
- Sez. R: Sezione Rettangolare
 - By[cm]: Larghezza (asse locale y)
 - Bz[cm]: Larghezza (asse locale z)
- Sez. T: Sezione a T (rovescia e non)
 - Ba[cm]: Larghezza base inferiore
 - Ha[cm]: Altezza inferiore
 - Bs[cm]: Larghezza superiore
 - Hs[cm]: Altezza superiore

Sez. L: Sezione ad L (rovescia e non)

Ba[cm]: Larghezza base inferiore
 Ha[cm]: Altezza inferiore
 Bs[cm]: Larghezza superiore
 Hs[cm]: Altezza superiore

Sez. C: Sezione circolare

R[cm]: Raggio

Sez. G: Sezione generica

B[cm]: Larghezza
 H[cm]: Altezza

Fatt.Ampl.Sisma Fattore moltiplicativo di gruppo per le azioni sismiche (solo se diverso da 1.0)

X [cm]	Punto di verifica
ILN	Inizio luce netta
CAMP	Punto di massimo momento sia superiore che inferiore ad esclusione degli estremi
FLN	Fine luce netta
M- [kg*m]	Momento negativo massimo di calcolo ⁽¹⁾
N- [kg]	Sforzo normale corrispondente ad M-
M+ [kg*m]	Momento positivo massimo di calcolo ⁽¹⁾
N+ [kg]	Sforzo normale corrispondente ad M+
ΔM- [kg*m]	Incremento di M- per la traslazione del diagramma del momento a causa del taglio
ΔM+ [kg*m]	Incremento di M+ per la traslazione del diagramma del momento a causa del taglio
Afs [cmq]	Area di ferro superiore
Afi [cmq]	Area di ferro inferiore
εsc-	Deformazione nel cls per effetto di M-:N-(⁴)
εsc+	Deformazione nel cls per effetto di M+:N+(⁴)
εsf-	Deformazione nell'acciaio per effetto di M-:N-(⁴)
εsf+	Deformazione nell'acciaio per effetto di M+:N+(⁴)
C-	Combinazione di carico generatore di M-:N-
C+	Combinazione di carico generatore di M+:N+
x- [cm]	Profondità asse neutro per la combinazione C-(⁵)
d- [cm]	Altezza utile della sezione per la combinazione C-(⁶)
x+ [cm]	Profondità asse neutro per la combinazione C+(⁵)
d+ [cm]	Altezza utile della sezione per la combinazione C+(⁶)
Mr- [kg*m]	Momento resistente superiore
Mr+ [kg*m]	Momento resistente inferiore
Stato-	Stato della sezione per la combinazione C-(⁷)
Stato+	Stato della sezione per la combinazione C+(⁷)
Comb	Combinazione di carico: quando Comb non è sismica è individuata dal codice [C], quando è sismica è individuata dal codice [(Cx+Cy) Cm Sc].
- C	Individua la Combinazione di Carico non sismica (1, 2, ecc. come da scenario);
- Cx	Individua la Combinazione di Carico sismica in direzione x (SismaX, come da scenario);
- Cy	Individua la Combinazione di Carico sismica in direzione y (SismaY, come da scenario);
- Cm	Individua la Combinazione spostamento masse (I, II, III, IV, V, ecc. come da Combinazioni Sisma in Spostamento masse impalcato);
- Sc	Individua la sottocombinazione ottenuta mediante la permutazione dei segni (1, 2, 3, 4, 5, 6, 7, 8):
1)	Sc = + SismaZ*fz + SismaX*fx + SismaY*fy
2)	Sc = + SismaZ*fz + SismaX*fx - SismaY*fy
3)	Sc = + SismaZ*fz - SismaX*fx + SismaY*fy
4)	Sc = + SismaZ*fz - SismaX*fx - SismaY*fy.
5)	Sc = - SismaZ*fz + SismaX*fx + SismaY*fy
6)	Sc = - SismaZ*fz + SismaX*fx - SismaY*fy

- 7) $Sc = - SismaZ*fz - SismaX*fx + SismaY*fy$
8) $Sc = - SismaZ*fz - SismaX*fx - SismaY*fy.$

Le ultime quattro sono assenti quando non è richiesto il contributo del sisma in direzione verticale. Le combinazioni delle azioni sismiche così ottenute vengono combinate con i carichi verticali (come da scenario).

Sez	Sezione di verifica [Sinistra/Destra]
Td [kg]	Taglio di verifica ⁽²⁾
VRdns [kg]	Resistenza a taglio in assenza di armature
VRcd [kg]	Resistenza taglio-compressione calcestruzzo
VRsd [kg]	Resistenza taglio-trazione acciaio
VRd [kg]	Resistenza a taglio =min(VRcd,VRsd)
VRd,f [kg]	Resistenza a taglio dovuta alla resistenza a trazione del calcestruzzo ad alte prestazioni (quando presente)(cfr. eq 4.2 CNR204/2006), oppure resistenza rinforzo del composito (quando presente)(cfr. eq 4.19 CNR200/2013), oppure resistenza rinforzo della camicia in acciaio (quando presente)(cfr. eq C8.7.4.5 Circolare NTC)
Mt [kg*m]	Momento torcente
Tpl [kg]	Taglio dovuto ai momenti resistenti alle estremità della trave
Mr [kg*m]	Momento resistente (ultimo) utilizzato per il calcolo di Tpl quando richiesto
Dx [cm]	Distanza dall'estremo da armare con staffe
Staffe [cmq]	Area delle staffe
cot(θ)	cot(θ) secondo il punto 4.1.2.3.5 delle Norme Tecniche
F Par. [cmq]	Area armatura longitudinale di parete ⁽³⁾
Cs	Coefficiente di sicurezza definito dal rapporto Fr/Fd (Fr=resistenza,Fd=azione)
ζ_E	Livello di sicurezza sismico definito come rapporto tra l'accelerazione sopportabile e l'accelerazione di progetto, quando richiesto dal criterio di verifica
Simbologia verifica travi collegamento:	
Comb	Combinazione più gravosa
Nsd [kg]	Azione verticale negli elementi collegati, nella combinazione specificata
α	Coefficiente in funzione della classe di terreno (NTC 7.2.5.1)
a/g	Punto di aggancio dello spettro di accelerazione [a/g=Sa(0)]
N	Sforzo normale di verifica $N=\alpha*Nsd*a/g$
Af [cmq]	Area di ferro complessiva nella sezione
NRd C [kg]	Resistenza a compressione della sezione
NRd T [kg]	Resistenza a trazione della sezione

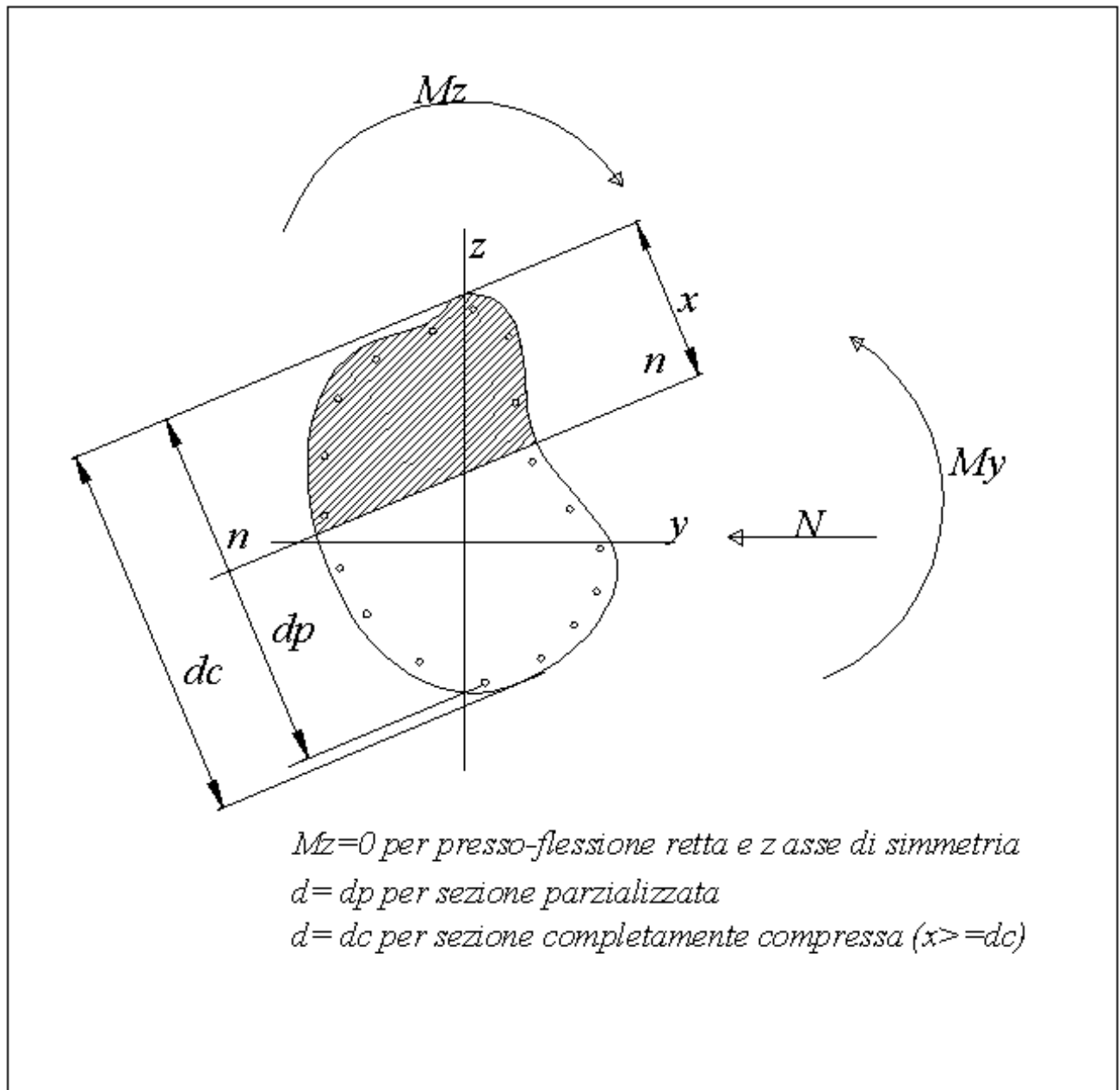
Verifiche duttilità (quando richieste):

Zona	Sezione di verifica dell'elemento
Comb.	Combinazione di verifica
Nmax [kg]	Sforzo Normale massimo
Dir	Direzione di flessione (pilastri=Y o Z, travi =Z, pareti= ortogonale alla base)
Mry [kg*m]	Momento di snervamento corrispondente a Nmax
MrU [kg*m]	Momento ultimo (resistente) corrispondente a Nmax sulla sezione depurata del calcestruzzo non confinato, considerando il confinamento
$\phi_y[1/m]$	Curvatura allo snervamento ($\phi_y= MrU/Mry * \phi'_y$)
$\phi_u[1/m]$	Curvatura allo corrispondente a MrU
μ	Capacità in duttilità della sezione
F.Conf	Fattore di confinamento adottato (= fck,c/fck)
μ_d	Richiesta in duttilità della sezione
Cs	Livello di sicurezza (Cs= μ/μ_d)

Note Verifica travi:

- (¹) il valore del momento di verifica è dato da $M + \Delta M$
(²) Td è il valore di verifica a taglio esso è calcolato in funzione della somma tra taglio da carichi verticali il valore di Tpl ovvero quando la trave è tozza amplificando il taglio di calcolo dovuto

- al sisma per il fattore di comportamento
- (³) armatura necessaria per la sola verifica a torsione
- (⁴) le deformazioni sono stampate a meno del fattore 10^{-3}
- (⁵) distanza tra la fibra di cls compressa piu' lontata e l'asse neutro in direzione ortogonale all'asse neutro
- (⁶) distanza tra le fibre sollecitate piu' lontane dall'asse neutro: nel caso di sezione parzializzata le due fibre sono quella di cls compresso e quella dell'acciaio teso più lontane da n-n, mentre nel caso di sezione completamente compressa le due fibre sono le due di cls compresso più lontane da n-n
- (⁷) Indica lo stato della sezione se: completamente compressa (Compr.), completamente tesa (Tesa), parzializzata (Parz.)



Schema geometrico verifica della sezione

Trave: 101 [153,112], Pilastrate [-,8] Sez. R: By=30.0 cm Bz=100.0 cm L=306.5 cm Ln=426.5 cm
Criterio : CLS_TraviAlte_30x100 - Verifica a flessione : **Verificato**

X	M-	M+	ΔM_-	ΔM_+	Afs	Afi	Mr-	Mr+	C-	C+	CS
cm	kg*m	kg*m	kg*m	kg*m	cmq	cmq	kg*m	kg*m			
ILN	882	939	--	--	10.05	10.05	36452	36452	(7+8)-VIII-4	(5+6)-VIII-1	39
42.6	614	895	268	44	10.05	10.05	36452	36452	(7+8)-VIII-4	(5+6)-VIII-1	39

X	M-	M+	ΔM-	ΔM+	Afs	Afi	Mr-	Mr+	C-	C+	CS
CAMP	1555	715	460	224	10.05	10.05	36452	36452	(5+6)-VIII-1	(5+6)-VIII-1	18
383.8	1717	160	298	750	10.05	10.05	36452	36452	(5+6)-VIII-1	(7+8)-VII-4	18
FLN	2016	-285	--	1104	10.05	10.05	36452	36452	(5+6)-VIII-1	(7+8)-VIII-4	18

X	x-	d-	x-/d-	x+	d+	x+/d+	Mr-	Mr+	C-	C+	Stato-	Stato+
cm	cm	cm		cm	cm		kg*m	kg*m				
ILN	50.0	95.9	0.521	50.0	95.9	0.521	36452	36452	(7+8)-VIII-4	(5+6)-VIII-1	Parz.	Parz.
42.6	50.0	95.9	0.521	50.0	95.9	0.521	36452	36452	(7+8)-VIII-4	(5+6)-VIII-1	Parz.	Parz.
CAMP	50.0	95.9	0.521	50.0	95.9	0.521	36452	36452	(5+6)-VIII-1	(5+6)-VIII-1	Parz.	Parz.
383.8	50.0	95.9	0.521	50.0	95.9	0.521	36452	36452	(5+6)-VIII-1	(7+8)-VII-4	Parz.	Parz.
FLN	50.0	95.9	0.521	50.0	95.9	0.521	36452	36452	(5+6)-VIII-1	(7+8)-VIII-4	Parz.	Parz.

Verifica a taglio: cot(θ) Sin=2.093,cot(θ) Cen=2.500,cot(θ) Des=2.093 Comb: Sin=(7+8)-VII-4
Cen=(5+6)-VII-4 Des=(7+8)-VII-4

Sez	Td	VRdns	VRcd	VRsd	VRd	Tpl	Mr	Dx	Staffe	CS
	kg	kg	kg	kg	kg	kg	kg*m	cm	cmq/m	
Sin	1687	--	71060	71060	71060	0	0	100.0	10.05	42
Cen	3175	--	62991	40794	40794	--	--	--	4.83	13
Des	2035	--	71060	71060	71060	0	0	100.0	10.05	35

Trave: 101 [112,109], Pilastrate [8,9] Sez. R: By=30.0 cm Bz=50.0 cm L=724.7 cm Ln=604.7 cm
Criterio : CLS_TraviAlte - Verifica a flessione : **Verificato**

X	M-	M+	ΔM-	ΔM+	Afs	Afi	Mr-	Mr+	C-	C+	CS
cm	kg*m	kg*m	kg*m	kg*m	cmq	cmq	kg*m	kg*m			
ILN	8448	761	--	1079	6.03	6.03	10212	10212	(5+6)-III-4	(7+8)-III-1	1.2
60.5	5469	2025	2544	680	6.03	6.03	10212	10212	(5+6)-III-4	(7+8)-III-1	1.3
CAMP	2958	3581	2145	--	6.03	6.03	10212	10212	(5+6)-III-4	2	2.0
544.2	4499	1806	2169	484	6.03	6.03	10212	10212	(7+8)-V-1	(7+8)-V-4	1.5
FLN	7039	984	--	704	6.03	6.03	10212	10212	(7+8)-V-1	(5+6)-V-4	1.5

X	x-	d-	x-/d-	x+	d+	x+/d+	Mr-	Mr+	C-	C+	Stato-	Stato+
cm	cm	cm		cm	cm		kg*m	kg*m				
ILN	25.0	45.9	0.545	25.0	45.9	0.545	10212	10212	(5+6)-III-4	(7+8)-III-1	Parz.	Parz.
60.5	25.0	45.9	0.545	25.0	45.9	0.545	10212	10212	(5+6)-III-4	(7+8)-III-1	Parz.	Parz.
CAMP	25.0	45.9	0.545	25.0	45.9	0.545	10212	10212	(5+6)-III-4	2	Parz.	Parz.
544.2	25.0	45.9	0.545	25.0	45.9	0.545	10212	10212	(7+8)-V-1	(7+8)-V-4	Parz.	Parz.
FLN	25.0	45.9	0.545	25.0	45.9	0.545	10212	10212	(7+8)-V-1	(5+6)-V-4	Parz.	Parz.

Verifica a taglio: cot(θ) Sin=2.093,cot(θ) Cen=2.500,cot(θ) Des=2.093 Comb: Sin=(5+6)-I-4
Cen=(5+6)-I-4 Des=(7+8)-I-4

Sez	Td	VRdns	VRcd	VRsd	VRd	Tpl	Mr	Dx	Staffe	CS
	kg	kg	kg	kg	kg	kg	kg*m	cm	cmq/m	
Sin	7464	--	34011	34011	34011	0	0	50.0	10.05	4.6
Cen	6702	--	30149	18514	18514	--	--	--	4.58	2.8
Des	6535	--	34011	34011	34011	0	0	50.0	10.05	5.2

Trave: 101 [109,110], Pilastrate [9,10] Sez. R: By=30.0 cm Bz=50.0 cm L=504.6 cm Ln=504.6 cm
Criterio : CLS_TraviAlte - Verifica a flessione : **Verificato**

X	M-	M+	ΔM-	ΔM+	Afs	Afi	Mr-	Mr+	C-	C+	CS
cm	kg*m	kg*m	kg*m	kg*m	cmq	cmq	kg*m	kg*m			
ILN	11747	--	--	--	8.04	6.03	13494	10211	2	1	1.1
50.5	5809	-1177	5937	2066	8.04	6.03	13494	10211	2	(7+8)-VII-1	1.1
CAMP	1068	4819	4880	--	6.03	6.03	10212	10212	2	2	1.7
454.1	5804	-815	5246	1848	8.04	6.03	13494	10211	2	(5+6)-V-4	1.2
FLN	11051	--	--	--	8.04	6.03	13494	10211	2	1	1.2

X	x-	d-	x-/d-	x+	d+	x+/d+	Mr-	Mr+	C-	C+	Stato-	Stato+
cm	cm	cm		cm	cm		kg*m	kg*m				

X	x-	d-	x-/d-	x+	d+	x+/d+	Mr-	Mr+	C-	C+	Stato-	Stato+
ILN	25.0	45.9	0.545	--	--	--	13494	10211	2	1	Parz.	--
50.5	25.0	45.9	0.545	25.0	45.9	0.545	13494	10211	2	(7+8)-VII-1	Parz.	Parz.
CAMP	25.0	45.9	0.545	25.0	45.9	0.545	10212	10212	2	2	Parz.	Parz.
454.1	25.0	45.9	0.545	25.0	45.9	0.545	13494	10211	2	(5+6)-V-4	Parz.	Parz.
FLN	25.0	45.9	0.545	--	--	--	13494	10211	2	1	Parz.	--

Verifica a taglio: cot(θ) Sin=2.093,cot(θ) Cen=2.500,cot(θ) Des=2.093 Comb: Sin=2 Cen=2 Des=2

Sez	Td	VRdns	VRcd	VRsd	VRd	Tpl	Mr	Dx	Staffe	CS
	kg	kg	kg	kg	kg	kg	kg*m	cm	cmq/m	
Sin	12302	--	34011	34011	34011	0	0	50.0	10.05	2.8
Cen	10775	--	30149	18557	18557	--	--	--	4.59	1.7
Des	10656	--	34011	34011	34011	0	0	50.0	10.05	3.2

Trave: 101 [110,111], Pilastrate [10,11] Sez. R: By=30.0 cm Bz=50.0 cm L=444.7 cm Ln=444.7 cm
Criterio : CLS_TraviAlte - Verifica a flessione : **Verificato**

X	M-	M+	ΔM -	ΔM +	Afs	Afi	Mr-	Mr+	C-	C+	CS
cm	kg*m	kg*m	kg*m	kg*m	cmq	cmq	kg*m	kg*m			
ILN	5600	1441	--	941	6.03	6.03	10212	10212	(5+6)-V-4	(7+8)-V-1	1.8
44.5	3327	2308	2273	472	6.03	6.03	10212	10212	(5+6)-V-4	(7+8)-V-1	1.8
CAMP	2944	3219	2810	--	6.03	6.03	10212	10212	(7+8)-V-1	2	1.8
400.2	4379	308	3684	1050	6.03	6.03	10212	10212	2	(5+6)-V-4	1.3
FLN	8063	-1038	--	1501	6.03	6.03	10212	10212	2	(5+6)-V-4	1.3

X	x-	d-	x-/d-	x+	d+	x+/d+	Mr-	Mr+	C-	C+	Stato-	Stato+
cm	cm	cm		cm	cm		kg*m	kg*m				
ILN	25.0	45.9	0.545	25.0	45.9	0.545	10212	10212	(5+6)-V-4	(7+8)-V-1	Parz.	Parz.
44.5	25.0	45.9	0.545	25.0	45.9	0.545	10212	10212	(5+6)-V-4	(7+8)-V-1	Parz.	Parz.
CAMP	25.0	45.9	0.545	25.0	45.9	0.545	10212	10212	(7+8)-V-1	2	Parz.	Parz.
400.2	25.0	45.9	0.545	25.0	45.9	0.545	10212	10212	2	(5+6)-V-4	Parz.	Parz.
FLN	25.0	45.9	0.545	25.0	45.9	0.545	10212	10212	2	(5+6)-V-4	Parz.	Parz.

Verifica a taglio: cot(θ) Sin=2.093,cot(θ) Cen=2.500,cot(θ) Des=2.093 Comb: Sin=(5+6)-V-4
Cen=(7+8)-V-4 Des=(7+8)-V-4

Sez	Td	VRdns	VRcd	VRsd	VRd	Tpl	Mr	Dx	Staffe	CS
	kg	kg	kg	kg	kg	kg	kg*m	cm	cmq/m	
Sin	7962	--	34011	34011	34011	0	0	50.0	10.05	4.3
Cen	7264	--	30149	18551	18551	--	--	--	4.59	2.6
Des	8831	--	34011	34011	34011	0	0	50.0	10.05	3.9

Trave: 101 [111,113], Pilastrate [11,12] Sez. R: By=30.0 cm Bz=50.0 cm L=606.2 cm Ln=606.2 cm
Criterio : CLS_TraviAlte - Verifica a flessione : **Verificato**

X	M-	M+	ΔM -	ΔM +	Afs	Afi	Mr-	Mr+	C-	C+	CS
cm	kg*m	kg*m	kg*m	kg*m	cmq	cmq	kg*m	kg*m			
ILN	6151	-320	--	989	6.03	6.03	10212	10212	(5+6)-V-4	(7+8)-V-1	1.7
60.6	3827	841	1979	779	6.03	6.03	10212	10212	(5+6)-V-4	(7+8)-V-1	1.8
CAMP	1750	3980	1769	--	6.03	6.03	10212	10212	(5+6)-V-4	2	2.6
545.6	3412	1223	2221	828	6.03	6.03	10212	10212	(7+8)-V-1	(5+6)-V-4	1.8
FLN	6019	-221	--	1230	6.03	6.03	10212	10212	(7+8)-V-1	(5+6)-V-4	1.7

X	x-	d-	x-/d-	x+	d+	x+/d+	Mr-	Mr+	C-	C+	Stato-	Stato+
cm	cm	cm		cm	cm		kg*m	kg*m				
ILN	25.0	45.9	0.545	25.0	45.9	0.545	10212	10212	(5+6)-V-4	(7+8)-V-1	Parz.	Parz.
60.6	25.0	45.9	0.545	25.0	45.9	0.545	10212	10212	(5+6)-V-4	(7+8)-V-1	Parz.	Parz.
CAMP	25.0	45.9	0.545	25.0	45.9	0.545	10212	10212	(5+6)-V-4	2	Parz.	Parz.
545.6	25.0	45.9	0.545	25.0	45.9	0.545	10212	10212	(7+8)-V-1	(5+6)-V-4	Parz.	Parz.
FLN	25.0	45.9	0.545	25.0	45.9	0.545	10212	10212	(7+8)-V-1	(5+6)-V-4	Parz.	Parz.

Verifica a taglio: cot(θ) Sin=2.093,cot(θ) Cen=2.500,cot(θ) Des=2.093 Comb: Sin=(5+6)-V-4
Cen=(7+8)-V-4 Des=2

Sez	Td	VRdns	VRcd	VRsd	VRd	Tpl	Mr	Dx	Staffe	CS
	kg	kg	kg	kg	kg	kg	kg*m	cm	cmq/m	
Sin	5452	--	34011	34011	34011	0	0	50.0	10.05	6.2
Cen	5368	--	30149	18467	18467	--	--	--	4.57	3.4
Des	6470	--	34011	34011	34011	0	0	50.0	10.05	5.3

Trave: 101 [113,152], Pilastrate [12,--] Sez. R: By=30.0 cm Bz=50.0 cm L=395.0 cm Ln=395.0 cm
Criterio : CLS_TraviAlte - Verifica a flessione : **Verificato**

X	M-	M+	ΔM-	ΔM+	Afs	Afi	Mr-	Mr+	C-	C+	CS
cm	kg*m	kg*m	kg*m	kg*m	cmq	cmq	kg*m	kg*m			
ILN	8256	700	--	181	6.03	6.03	10212	10212	(5+6)-V-4	(5+6)-V-1	1.2
39.5	6082	929	2174	--	6.03	6.03	10212	10212	(5+6)-V-4	(7+8)-V-1	1.2
CAMP	4007	4311	2743	834	6.03	6.03	10212	10212	(5+6)-V-4	(5+6)-V-4	1.5
355.5	4236	4996	1546	485	6.03	6.03	10212	10212	(7+8)-V-1	(5+6)-V-4	1.8
FLN	5782	5481	--	--	6.03	6.03	10212	10212	(7+8)-V-1	(5+6)-V-4	1.8

X	x-	d-	x-/d-	x+	d+	x+/d+	Mr-	Mr+	C-	C+	Stato-	Stato+
cm	cm	cm		cm	cm		kg*m	kg*m				
ILN	25.0	45.9	0.545	25.0	45.9	0.545	10212	10212	(5+6)-V-4	(5+6)-V-1	Parz.	Parz.
39.5	25.0	45.9	0.545	25.0	45.9	0.545	10212	10212	(5+6)-V-4	(7+8)-V-1	Parz.	Parz.
CAMP	25.0	45.9	0.545	25.0	45.9	0.545	10212	10212	(5+6)-V-4	(5+6)-V-4	Parz.	Parz.
355.5	25.0	45.9	0.545	25.0	45.9	0.545	10212	10212	(7+8)-V-1	(5+6)-V-4	Parz.	Parz.
FLN	25.0	45.9	0.545	25.0	45.9	0.545	10212	10212	(7+8)-V-1	(5+6)-V-4	Parz.	Parz.

Verifica a taglio: cot(θ) Sin=2.093,cot(θ) Cen=2.500,cot(θ) Des=2.093 Comb: Sin=(7+8)-VIII-4
Cen=(7+8)-VIII-4 Des=(7+8)-VIII-4

Sez	Td	VRdns	VRcd	VRsd	VRd	Tpl	Mr	Dx	Staffe	CS
	kg	kg	kg	kg	kg	kg	kg*m	cm	cmq/m	
Sin	7789	--	34011	34011	34011	5688	10212	50.0	10.05	4.4
Cen	7242	--	30149	19017	19017	--	--	--	4.71	2.6
Des	8192	--	34011	34011	34011	5688	10212	50.0	10.05	4.2

Trave: 102 [156,157], Pilastrate [--,--] Sez. R: By=30.0 cm Bz=100.0 cm L=174.4 cm Ln=174.4 cm
Criterio : CLS_TraviAlte_30x100 - Verifica a flessione : **Verificato**

X	M-	M+	ΔM-	ΔM+	Afs	Afi	Mr-	Mr+	C-	C+	CS
cm	kg*m	kg*m	kg*m	kg*m	cmq	cmq	kg*m	kg*m			
ILN	1361	1669	--	--	10.05	10.05	36452	36452	(7+8)-III-3	(5+6)-III-2	22
17.4	997	1295	364	374	10.05	10.05	36452	36452	(7+8)-III-3	(5+6)-III-2	22
CAMP	1214	-261	1046	1930	10.05	10.05	36452	36452	(5+6)-III-2	(5+6)-III-2	16
157.0	1726	1281	534	314	10.05	10.05	36452	36452	(5+6)-III-2	(7+8)-III-3	16
FLN	2260	1595	--	--	10.05	10.05	36452	36452	(5+6)-III-2	(7+8)-III-3	16

X	x-	d-	x-/d-	x+	d+	x+/d+	Mr-	Mr+	C-	C+	Stato-	Stato+
cm	cm	cm		cm	cm		kg*m	kg*m				
ILN	50.0	95.9	0.521	50.0	95.9	0.521	36452	36452	(7+8)-III-3	(5+6)-III-2	Parz.	Parz.
17.4	50.0	95.9	0.521	50.0	95.9	0.521	36452	36452	(7+8)-III-3	(5+6)-III-2	Parz.	Parz.
CAMP	50.0	95.9	0.521	50.0	95.9	0.521	36452	36452	(5+6)-III-2	(5+6)-III-2	Parz.	Parz.
157.0	50.0	95.9	0.521	50.0	95.9	0.521	36452	36452	(5+6)-III-2	(7+8)-III-3	Parz.	Parz.
FLN	50.0	95.9	0.521	50.0	95.9	0.521	36452	36452	(5+6)-III-2	(7+8)-III-3	Parz.	Parz.

Verifica a taglio: cot(θ) =2.093 Comb: (5+6)-III-3

Sez	Td	VRdns	VRcd	VRsd	VRd	Tpl	Mr	Dx	Staffe	CS
	kg	kg	kg	kg	kg	kg	kg*m	cm	cmq/m	
Sin	6782	--	71060	71060	71060	0	0	174.4	10.05	10
Des								0		

Trave: 103 [105,144], Pilastrate [4,--] Sez. R: By=30.0 cm Bz=100.0 cm L=324.5 cm Ln=324.5 cm
Criterio : CLS_TraviAlte_30x100 - Verifica a flessione : **Verificato**

X	M-	M+	ΔM_-	ΔM_+	Afs	Afi	Mr-	Mr+	C-	C+	CS
cm	kg*m	kg*m	kg*m	kg*m	cmq	cmq	kg*m	kg*m			
ILN	11314	2137	--	--	10.05	10.05	36452	36452	(5+6)-IV-3	(7+8)-IV-2	3.2
32.4	8057	2127	3257	11	10.05	10.05	36452	36452	(5+6)-IV-3	(7+8)-IV-2	3.2
CAMP	2235	7721	9078	2088	10.05	10.05	36452	36452	(5+6)-IV-3	(5+6)-IV-3	3.2
292.0	6558	8898	2211	911	10.05	10.05	36452	36452	(7+8)-IV-2	(5+6)-IV-3	3.7
FLN	8769	9809	--	--	10.05	10.05	36452	36452	(7+8)-IV-2	(5+6)-IV-3	3.7

X	x-	d-	x-/d-	x+	d+	x+/d+	Mr-	Mr+	C-	C+	Stato-	Stato+
cm	cm	cm		cm	cm		kg*m	kg*m				
ILN	50.0	95.9	0.521	50.0	95.9	0.521	36452	36452	(5+6)-IV-3	(7+8)-IV-2	Parz.	Parz.
32.4	50.0	95.9	0.521	50.0	95.9	0.521	36452	36452	(5+6)-IV-3	(7+8)-IV-2	Parz.	Parz.
CAMP	50.0	95.9	0.521	50.0	95.9	0.521	36452	36452	(5+6)-IV-3	(5+6)-IV-3	Parz.	Parz.
292.0	50.0	95.9	0.521	50.0	95.9	0.521	36452	36452	(7+8)-IV-2	(5+6)-IV-3	Parz.	Parz.
FLN	50.0	95.9	0.521	50.0	95.9	0.521	36452	36452	(7+8)-IV-2	(5+6)-IV-3	Parz.	Parz.

Verifica a taglio: $\cot(\theta) \sin=2.093, \cot(\theta) \text{Cen}=2.500, \cot(\theta) \text{Des}=2.093$ Comb: Sin=(5+6)-IV-3
Cen=(5+6)-IV-3 Des=(5+6)-IV-3

Sez	Td	VRdns	VRcd	VRsd	VRd	Tpl	Mr	Dx	Staffe	CS
	kg	kg	kg	kg	kg	kg	kg*m	cm	cmq/m	
Sin	17606	--	71060	71060	71060	0	0	100.0	10.05	4.0
Cen	14715	--	62991	41879	41879	--	--	--	4.96	2.8
Des	14663	--	71060	71060	71060	0	0	100.0	10.05	4.8

Trave: 103 [147,105], Pilastri [-,4] Sez. R: By=30.0 cm Bz=100.0 cm L=246.9 cm Ln=246.9 cm
Criterio : CLS_TraviAlte_30x100 - Verifica a flessione : **Verificato**

X	M-	M+	ΔM_-	ΔM_+	Afs	Afi	Mr-	Mr+	C-	C+	CS
cm	kg*m	kg*m	kg*m	kg*m	cmq	cmq	kg*m	kg*m			
ILN	6849	7248	--	--	10.05	10.05	36452	36452	(5+6)-IV-3	(7+8)-IV-2	5.0
24.7	5151	6516	1698	732	10.05	10.05	36452	36452	(5+6)-IV-3	(7+8)-IV-2	5.0
CAMP	3021	3468	4079	3779	10.05	10.05	36452	36452	(5+6)-VIII-4	(7+8)-IV-2	5.0
222.2	4983	3261	2117	379	10.05	10.05	36452	36452	(5+6)-VIII-4	(7+8)-VIII-1	5.1
FLN	7100	3639	--	--	10.05	10.05	36452	36452	(5+6)-VIII-4	(7+8)-VIII-1	5.1

X	x-	d-	x-/d-	x+	d+	x+/d+	Mr-	Mr+	C-	C+	Stato-	Stato+
cm	cm	cm		cm	cm		kg*m	kg*m				
ILN	50.0	95.9	0.521	50.0	95.9	0.521	36452	36452	(5+6)-IV-3	(7+8)-IV-2	Parz.	Parz.
24.7	50.0	95.9	0.521	50.0	95.9	0.521	36452	36452	(5+6)-IV-3	(7+8)-IV-2	Parz.	Parz.
CAMP	50.0	95.9	0.521	50.0	95.9	0.521	36452	36452	(5+6)-VIII-4	(7+8)-IV-2	Parz.	Parz.
222.2	50.0	95.9	0.521	50.0	95.9	0.521	36452	36452	(5+6)-VIII-4	(7+8)-VIII-1	Parz.	Parz.
FLN	50.0	95.9	0.521	50.0	95.9	0.521	36452	36452	(5+6)-VIII-4	(7+8)-VIII-1	Parz.	Parz.

Verifica a taglio: $\cot(\theta) \sin=2.093, \cot(\theta) \text{Cen}=2.500, \cot(\theta) \text{Des}=2.093$ Comb: Sin=(5+6)-VIII-4
Cen=(5+6)-VIII-4 Des=(5+6)-VIII-4

Sez	Td	VRdns	VRcd	VRsd	VRd	Tpl	Mr	Dx	Staffe	CS
	kg	kg	kg	kg	kg	kg	kg*m	cm	cmq/m	
Sin	14745	--	71060	71060	71060	0	0	100.0	10.05	4.8
Cen	13244	--	62991	38731	38731	--	--	--	4.59	2.9
Des	16384	--	71060	71060	71060	0	0	100.0	10.05	4.3

Trave: 104 [131,102], Pilastri [-,1] Sez. R: By=30.0 cm Bz=100.0 cm L=426.5 cm Ln=426.5 cm
Criterio : CLS_TraviAlte_30x100 - Verifica a flessione : **Verificato**

X	M-	M+	ΔM_-	ΔM_+	Afs	Afi	Mr-	Mr+	C-	C+	CS
cm	kg*m	kg*m	kg*m	kg*m	cmq	cmq	kg*m	kg*m			
ILN	9053	10361	--	--	10.05	10.05	36452	36452	(5+6)-I-4	(7+8)-I-1	3.5
42.6	6948	9056	2105	1305	10.05	10.05	36452	36452	(5+6)-I-4	(7+8)-I-1	3.5
CAMP	7235	7523	7147	2838	10.05	10.05	36452	36452	(5+6)-III-2	(7+8)-I-1	2.5
383.8	10666	709	3716	--	10.05	10.05	36452	36452	(5+6)-III-2	(7+8)-III-3	2.5
FLN	14382	609	--	--	10.05	10.05	36452	36452	(5+6)-III-2	(7+8)-III-3	2.5

X	x-	d-	x-/d-	x+	d+	x+/d+	Mr-	Mr+	C-	C+	Stato-	Stato+
cm	cm	cm		cm	cm		kg*m	kg*m				
ILN	50.0	95.9	0.521	50.0	95.9	0.521	36452	36452	(5+6)-I-4	(7+8)-I-1	Parz.	Parz.
42.6	50.0	95.9	0.521	50.0	95.9	0.521	36452	36452	(5+6)-I-4	(7+8)-I-1	Parz.	Parz.
CAMP	50.0	95.9	0.521	50.0	95.9	0.521	36452	36452	(5+6)-III-2	(7+8)-I-1	Parz.	Parz.
383.8	50.0	95.9	0.521	50.0	95.9	0.521	36452	36452	(5+6)-III-2	(7+8)-III-3	Parz.	Parz.
FLN	50.0	95.9	0.521	50.0	95.9	0.521	36452	36452	(5+6)-III-2	(7+8)-III-3	Parz.	Parz.

Verifica a taglio: $\cot(\theta) \sin=2.093, \cot(\theta) \text{Cen}=2.500, \cot(\theta) \text{Des}=2.093$ Comb: Sin=(5+6)-III-3

Cen=(5+6)-III-3 Des=(5+6)-III-3

Sez	Td	VRdns	VRcd	VRsd	VRd	Tpl	Mr	Dx	Staffe	CS
	kg	kg	kg	kg	kg	kg	kg*m	cm	cmq/m	
Sin	11188	--	71060	71060	71060	0	0	100.0	10.05	6.4
Cen	12943	--	62991	38583	38583	--	--	--	4.57	3.0
Des	14931	--	71060	71060	71060	0	0	100.0	10.05	4.8

Trave: 104 [102,132], Pilastriate [1,--] Sez. R: By=30.0 cm Bz=100.0 cm L=634.7 cm Ln=634.7 cm
Criterio : CLS_TraviAlte_30x100 - Verifica a flessione : **Verificato**

X	M-	M+	$\Delta M-$	$\Delta M+$	Afs	Afi	Mr-	Mr+	C-	C+	CS
cm	kg*m	kg*m	kg*m	kg*m	cmq	cmq	kg*m	kg*m			
ILN	10748	2916	--	2760	10.05	10.05	36452	36452	(5+6)-I-4	(5+6)-I-1	3.4
63.5	6618	4798	4130	1698	10.05	10.05	36452	36452	(5+6)-I-4	(5+6)-I-1	3.4
CAMP	3115	7581	6393	--	10.05	10.05	36452	36452	(5+6)-I-4	2	3.8
571.2	2740	754	3749	4691	10.05	10.05	36452	36452	(5+6)-I-1	2	5.6
FLN	6489	2428	--	2131	10.05	10.05	36452	36452	(5+6)-I-1	(5+6)-I-4	5.6

X	x-	d-	x-/d-	x+	d+	x+/d+	Mr-	Mr+	C-	C+	Stato-	Stato+
cm	cm	cm		cm	cm		kg*m	kg*m				
ILN	50.0	95.9	0.521	50.0	95.9	0.521	36452	36452	(5+6)-I-4	(5+6)-I-1	Parz.	Parz.
63.5	50.0	95.9	0.521	50.0	95.9	0.521	36452	36452	(5+6)-I-4	(5+6)-I-1	Parz.	Parz.
CAMP	50.0	95.9	0.521	50.0	95.9	0.521	36452	36452	(5+6)-I-4	2	Parz.	Parz.
571.2	50.0	95.9	0.521	50.0	95.9	0.521	36452	36452	(5+6)-I-1	2	Parz.	Parz.
FLN	50.0	95.9	0.521	50.0	95.9	0.521	36452	36452	(5+6)-I-1	(5+6)-I-4	Parz.	Parz.

Verifica a taglio: $\cot(\theta) \sin=2.093, \cot(\theta) \text{Cen}=2.500, \cot(\theta) \text{Des}=2.093$ Comb: Sin=(5+6)-I-4
Cen=(5+6)-I-4 Des=(5+6)-I-4

Sez	Td	VRdns	VRcd	VRsd	VRd	Tpl	Mr	Dx	Staffe	CS
	kg	kg	kg	kg	kg	kg	kg*m	cm	cmq/m	
Sin	9701	--	71060	71060	71060	0	0	100.0	10.05	7.3
Cen	7728	--	62991	38583	38583	--	--	--	4.57	5.0
Des	9106	--	71060	71060	71060	0	0	100.0	10.05	7.8

Trave: 105 [145,104], Pilastriate [--,3] Sez. R: By=30.0 cm Bz=50.0 cm L=475.5 cm Ln=476.5 cm
Criterio : CLS_TraviAlte - Verifica a flessione : **Verificato**

X	M-	M+	$\Delta M-$	$\Delta M+$	Afs	Afi	Mr-	Mr+	C-	C+	CS
cm	kg*m	kg*m	kg*m	kg*m	cmq	cmq	kg*m	kg*m			
ILN	4029	1317	--	1211	6.03	6.03	10212	10212	(5+6)-I-4	(7+8)-I-1	2.5
47.6	1537	895	2491	2534	6.03	6.03	10212	10212	(5+6)-I-4	2	2.5
CAMP	2448	5243	4762	--	6.03	6.03	10212	10212	2	2	1.4
428.8	6780	-622	5141	1762	8.04	6.03	13494	10211	2	(7+8)-I-4	1.1
FLN	11921	--	--	--	8.04	6.03	13494	10211	2	1	1.1

X	x-	d-	x-/d-	x+	d+	x+/d+	Mr-	Mr+	C-	C+	Stato-	Stato+
cm	cm	cm		cm	cm		kg*m	kg*m				
ILN	25.0	45.9	0.545	25.0	45.9	0.545	10212	10212	(5+6)-I-4	(7+8)-I-1	Parz.	Parz.
47.6	25.0	45.9	0.545	25.0	45.9	0.545	10212	10212	(5+6)-I-4	2	Parz.	Parz.
CAMP	25.0	45.9	0.545	25.0	45.9	0.545	10212	10212	2	2	Parz.	Parz.
428.8	25.0	45.9	0.545	25.0	45.9	0.545	13494	10211	2	(7+8)-I-4	Parz.	Parz.
FLN	25.0	45.9	0.545	--	--	--	13494	10211	2	1	Parz.	--

Verifica a taglio: cot(θ) Sin=2.093,cot(θ) Cen=2.500,cot(θ) Des=2.093 Comb: Sin=2 Cen=2 Des=2

Sez	Td	VRdns	VRcd	VRsd	VRd	Tpl	Mr	Dx	Staffe	CS
	kg	kg	kg	kg	kg	kg	kg*m	cm	cmq/m	
Sin	8097	--	34011	34011	34011	0	0	50.0	10.05	4.2
Cen	8080	--	30149	18467	18467	--	--	--	4.57	2.3
Des	11127	--	34011	34011	34011	0	0	50.0	10.05	3.1

Trave: 105 [104,146], Pilastriate [3,--] Sez. R: By=30.0 cm Bz=50.0 cm L=415.8 cm Ln=416.9 cm
Criterio : CLS_TraviAlte - Verifica a flessione : **Verificato**

X	M-	M+	ΔM -	ΔM +	Afs	Afi	Mr-	Mr+	C-	C+	CS
cm	kg*m	kg*m	kg*m	kg*m	cmq	cmq	kg*m	kg*m			
ILN	7949	334	--	1542	6.03	6.03	10212	10212	(5+6)-I-4	(7+8)-I-1	1.3
41.7	5163	1654	2786	1061	6.03	6.03	10212	10212	(5+6)-I-4	(7+8)-I-1	1.3
CAMP	2784	4716	3044	--	6.03	6.03	10212	10212	(5+6)-I-4		1.8
375.2	1775	645	2250	2418	6.03	6.03	10212	10212	(5+6)-I-1		2.5
FLN	4025	1576	--	995	6.03	6.03	10212	10212	(5+6)-I-1	(5+6)-I-4	2.5

X	x-	d-	x-/d-	x+	d+	x+/d+	Mr-	Mr+	C-	C+	Stato-	Stato+
cm	cm	cm		cm	cm		kg*m	kg*m				
ILN	25.0	45.9	0.545	25.0	45.9	0.545	10212	10212	(5+6)-I-4	(7+8)-I-1	Parz.	Parz.
41.7	25.0	45.9	0.545	25.0	45.9	0.545	10212	10212	(5+6)-I-4	(7+8)-I-1	Parz.	Parz.
CAMP	25.0	45.9	0.545	25.0	45.9	0.545	10212	10212	(5+6)-I-4	2	Parz.	Parz.
375.2	25.0	45.9	0.545	25.0	45.9	0.545	10212	10212	(5+6)-I-1	2	Parz.	Parz.
FLN	25.0	45.9	0.545	25.0	45.9	0.545	10212	10212	(5+6)-I-1	(5+6)-I-4	Parz.	Parz.

Verifica a taglio: cot(θ) Sin=2.093,cot(θ) Cen=2.500,cot(θ) Des=2.093 Comb: Sin=2 Cen=(5+6)-I-4 Des=(5+6)-I-4

Sez	Td	VRdns	VRcd	VRsd	VRd	Tpl	Mr	Dx	Staffe	CS
	kg	kg	kg	kg	kg	kg	kg*m	cm	cmq/m	
Sin	10012	--	34011	34011	34011	0	0	50.0	10.05	3.4
Cen	7712	--	30149	18467	18467	--	--	--	4.57	2.4
Des	8380	--	34011	34011	34011	0	0	50.0	10.05	4.1

Trave: 106 [133,103], Pilastriate [--,2] Sez. R: By=30.0 cm Bz=100.0 cm L=636.2 cm Ln=636.2 cm
Criterio : CLS_TraviAlte_30x100 - Verifica a flessione : **Verificato**

X	M-	M+	ΔM -	ΔM +	Afs	Afi	Mr-	Mr+	C-	C+	CS
cm	kg*m	kg*m	kg*m	kg*m	cmq	cmq	kg*m	kg*m			
ILN	6273	2318	--	2286	10.05	10.05	36452	36452	(5+6)-I-4	(5+6)-I-1	5.8
63.6	2605	905	3668	4662	10.05	10.05	36452	36452	(5+6)-I-4	2	5.8
CAMP	2785	7663	6275	--	10.05	10.05	36452	36452	(5+6)-III-2	2	4.0
572.6	6227	4428	4071	1854	10.05	10.05	36452	36452	(5+6)-III-2	(5+6)-III-3	3.5
FLN	10298	2449	--	2919	10.05	10.05	36452	36452	(5+6)-III-2	(5+6)-III-3	3.5

X	x-	d-	x-/d-	x+	d+	x+/d+	Mr-	Mr+	C-	C+	Stato-	Stato+
cm	cm	cm		cm	cm		kg*m	kg*m				
ILN	50.0	95.9	0.521	50.0	95.9	0.521	36452	36452	(5+6)-I-4	(5+6)-I-1	Parz.	Parz.
63.6	50.0	95.9	0.521	50.0	95.9	0.521	36452	36452	(5+6)-I-4	2	Parz.	Parz.
CAMP	50.0	95.9	0.521	50.0	95.9	0.521	36452	36452	(5+6)-III-2	2	Parz.	Parz.
572.6	50.0	95.9	0.521	50.0	95.9	0.521	36452	36452	(5+6)-III-2	(5+6)-III-3	Parz.	Parz.
FLN	50.0	95.9	0.521	50.0	95.9	0.521	36452	36452	(5+6)-III-2	(5+6)-III-3	Parz.	Parz.

Verifica a taglio: cot(θ) Sin=2.093,cot(θ) Cen=2.500,cot(θ) Des=2.093 Comb: Sin=(5+6)-III-4 Cen=(5+6)-III-4 Des=(5+6)-III-4

Sez	Td	VRdns	VRcd	VRsd	VRd	Tpl	Mr	Dx	Staffe	CS
	kg	kg	kg	kg	kg	kg	kg*m	cm	cmq/m	
Sin	8788	--	71060	71060	71060	0	0	100.0	10.05	8.1
Cen	7423	--	62991	38583	38583	--	--	--	4.57	5.2
Des	9401	--	71060	71060	71060	0	0	100.0	10.05	7.6

Trave: 106 [103,134], Pilastriate [2,--] Sez. R: By=30.0 cm Bz=100.0 cm L=425.0 cm Ln=425.0 cm
Criterio : CLS_TraviAlte_30x100 - Verifica a flessione : **Verificato**

X	M-	M+	ΔM-	ΔM+	Afs	Afi	Mr-	Mr+	C-	C+	CS
cm	kg*m	kg*m	kg*m	kg*m	cmq	cmq	kg*m	kg*m			
ILN	15162	1397	--	--	10.05	10.05	36452	36452	(5+6)-I-4	(7+8)-I-1	2.4
42.5	11259	1280	3903	117	10.05	10.05	36452	36452	(5+6)-I-4	(7+8)-I-1	2.4
CAMP	7638	8228	7524	3035	10.05	10.05	36452	36452	(5+6)-I-4	(5+6)-I-4	2.4
382.5	7914	9885	2176	1377	10.05	10.05	36452	36452	(7+8)-I-1	(5+6)-I-4	3.2
FLN	10089	11262	--	--	10.05	10.05	36452	36452	(7+8)-I-1	(5+6)-I-4	3.2

X	x-	d-	x-/d-	x+	d+	x+/d+	Mr-	Mr+	C-	C+	Stato-	Stato+
cm	cm	cm		cm	cm		kg*m	kg*m				
ILN	50.0	95.9	0.521	50.0	95.9	0.521	36452	36452	(5+6)-I-4	(7+8)-I-1	Parz.	Parz.
42.5	50.0	95.9	0.521	50.0	95.9	0.521	36452	36452	(5+6)-I-4	(7+8)-I-1	Parz.	Parz.
CAMP	50.0	95.9	0.521	50.0	95.9	0.521	36452	36452	(5+6)-I-4	(5+6)-I-4	Parz.	Parz.
382.5	50.0	95.9	0.521	50.0	95.9	0.521	36452	36452	(7+8)-I-1	(5+6)-I-4	Parz.	Parz.
FLN	50.0	95.9	0.521	50.0	95.9	0.521	36452	36452	(7+8)-I-1	(5+6)-I-4	Parz.	Parz.

Verifica a taglio: cot(θ) Sin=2.093,cot(θ) Cen=2.500,cot(θ) Des=2.093 Comb: Sin=(5+6)-I-4
Cen=(5+6)-I-4 Des=(5+6)-I-4

Sez	Td	VRdns	VRcd	VRsd	VRd	Tpl	Mr	Dx	Staffe	CS
	kg	kg	kg	kg	kg	kg	kg*m	cm	cmq/m	
Sin	16100	--	71060	71060	71060	0	0	100.0	10.05	4.4
Cen	14118	--	62991	38583	38583	--	--	--	4.57	2.7
Des	12330	--	71060	71060	71060	0	0	100.0	10.05	5.8

Trave: 107 [143,108], Pilastriate [--,7] Sez. R: By=30.0 cm Bz=100.0 cm L=326.0 cm Ln=326.0 cm
Criterio : CLS_TraviAlte_30x100 - Verifica a flessione : **Verificato**

X	M-	M+	ΔM-	ΔM+	Afs	Afi	Mr-	Mr+	C-	C+	CS
cm	kg*m	kg*m	kg*m	kg*m	cmq	cmq	kg*m	kg*m			
ILN	10550	12233	--	--	10.05	10.05	36452	36452	(7+8)-II-4	(5+6)-II-1	3.0
32.6	8006	11165	2544	1068	10.05	10.05	36452	36452	(7+8)-II-4	(5+6)-II-1	3.0
CAMP	5097	8097	7382	4136	10.05	10.05	36452	36452	(5+6)-II-1	(5+6)-II-1	2.9
293.4	8661	2278	3818	78	10.05	10.05	36452	36452	(5+6)-II-1	(7+8)-II-4	2.9
FLN	12479	2355	--	--	10.05	10.05	36452	36452	(5+6)-II-1	(7+8)-II-4	2.9

X	x-	d-	x-/d-	x+	d+	x+/d+	Mr-	Mr+	C-	C+	Stato-	Stato+
cm	cm	cm		cm	cm		kg*m	kg*m				
ILN	50.0	95.9	0.521	50.0	95.9	0.521	36452	36452	(7+8)-II-4	(5+6)-II-1	Parz.	Parz.
32.6	50.0	95.9	0.521	50.0	95.9	0.521	36452	36452	(7+8)-II-4	(5+6)-II-1	Parz.	Parz.
CAMP	50.0	95.9	0.521	50.0	95.9	0.521	36452	36452	(5+6)-II-1	(5+6)-II-1	Parz.	Parz.
293.4	50.0	95.9	0.521	50.0	95.9	0.521	36452	36452	(5+6)-II-1	(7+8)-II-4	Parz.	Parz.
FLN	50.0	95.9	0.521	50.0	95.9	0.521	36452	36452	(5+6)-II-1	(7+8)-II-4	Parz.	Parz.

Verifica a taglio: cot(θ) Sin=2.093,cot(θ) Cen=2.500,cot(θ) Des=2.093 Comb: Sin=(5+6)-II-4
Cen=(5+6)-II-4 Des=(5+6)-II-4

Sez	Td	VRdns	VRcd	VRsd	VRd	Tpl	Mr	Dx	Staffe	CS
	kg	kg	kg	kg	kg	kg	kg*m	cm	cmq/m	
Sin	17132	--	71060	71060	71060	0	0	100.0	10.05	4.1
Cen	17179	--	62991	40657	40657	--	--	--	4.82	2.4
Des	20608	--	71060	71060	71060	0	0	100.0	10.05	3.4

Trave: 107 [108,151], Pilastriate [7,--] Sez. R: By=30.0 cm Bz=100.0 cm L=346.7 cm Ln=346.7 cm
Criterio : CLS_TraviAlte_30x100 - Verifica a flessione : **Verificato**

X	M-	M+	ΔM-	ΔM+	Afs	Afi	Mr-	Mr+	C-	C+	CS
cm	kg*m	kg*m	kg*m	kg*m	cmq	cmq	kg*m	kg*m			
ILN	10046	7289	--	--	10.05	10.05	36452	36452	(5+6)-VI-2	(7+8)-VI-3	3.6

X	M-	M+	ΔM-	ΔM+	Afs	Afi	Mr-	Mr+	C-	C+	CS
34.7	7854	7500	2193	--	10.05	10.05	36452	36452	(5+6)-VI-2	(7+8)-VI-3	3.6
CAMP	4227	5823	5820	1642	10.05	10.05	36452	36452	(5+6)-VI-2	(7+8)-VI-3	3.6
312.0	-60	186	2016	4705	10.05	10.05	36452	36452	(5+6)-VI-3	(7+8)-II-1	7.5
FLN	1957	-1903	--	5535	10.05	10.05	36452	36452	(5+6)-VI-3	(7+8)-II-1	10

X	x-	d-	x-/d-	x+	d+	x+/d+	Mr-	Mr+	C-	C+	Stato-	Stato+
cm	cm	cm		cm	cm		kg*m	kg*m				
ILN	50.0	95.9	0.521	50.0	95.9	0.521	36452	36452	(5+6)-VI-2	(7+8)-VI-3	Parz.	Parz.
34.7	50.0	95.9	0.521	50.0	95.9	0.521	36452	36452	(5+6)-VI-2	(7+8)-VI-3	Parz.	Parz.
CAMP	50.0	95.9	0.521	50.0	95.9	0.521	36452	36452	(5+6)-VI-2	(7+8)-VI-3	Parz.	Parz.
312.0	50.0	95.9	0.521	50.0	95.9	0.521	36452	36452	(5+6)-VI-3	(7+8)-II-1	Parz.	Parz.
FLN	50.0	95.9	0.521	50.0	95.9	0.521	36452	36452	(5+6)-VI-3	(7+8)-II-1	Parz.	Parz.

Verifica a taglio: cot(θ) Sin=2.093, cot(θ) Cen=2.500, cot(θ) Des=2.093 Comb: Sin=(5+6)-VI-3
Cen=(5+6)-VI-3 Des=(7+8)-VI-3

Sez	Td	VRdns	VRcd	VRsd	VRd	Tpl	Mr	Dx	Staffe	CS
	kg	kg	kg	kg	kg	kg	kg*m	cm	cmq/m	
Sin	11006	--	71060	71060	71060	0	0	100.0	10.05	6.5
Cen	8821	--	62991	38583	38583	--	--	--	4.57	4.4
Des	10473	--	71060	71060	71060	0	0	100.0	10.05	6.8

Trave: 108 [152,161], Pilastri [-,--] Sez. R: By=30.0 cm Bz=100.0 cm L=303.1 cm Ln=303.1 cm
Criterio : CLS_TraviAlte_30x100 - Verifica a flessione : **Verificato**

X	M-	M+	ΔM-	ΔM+	Afs	Afi	Mr-	Mr+	C-	C+	CS
cm	kg*m	kg*m	kg*m	kg*m	cmq	cmq	kg*m	kg*m			
ILN	544	-258	--	398	10.05	10.05	36452	36452	2	(7+8)-VII-3	67
30.3	318	-203	226	354	10.05	10.05	36452	36452	2	1	67
CAMP	310	285	312	--	10.05	10.05	36452	36452	(5+6)-II-1	(5+6)-II-4	59
272.8	431	-249	191	396	10.05	10.05	36452	36452	(5+6)-II-1	3	59
FLN	622	-322	--	441	10.05	10.05	36452	36452	(5+6)-II-1	(5+6)-III-3	59

X	x-	d-	x-/d-	x+	d+	x+/d+	Mr-	Mr+	C-	C+	Stato-	Stato+
cm	cm	cm		cm	cm		kg*m	kg*m				
ILN	50.0	95.9	0.521	50.0	95.9	0.521	36452	36452	2	(7+8)-VII-3	Parz.	Parz.
30.3	50.0	95.9	0.521	50.0	95.9	0.521	36452	36452	2	1	Parz.	Parz.
CAMP	50.0	95.9	0.521	50.0	95.9	0.521	36452	36452	(5+6)-II-1	(5+6)-II-4	Parz.	Parz.
272.8	50.0	95.9	0.521	50.0	95.9	0.521	36452	36452	(5+6)-II-1	3	Parz.	Parz.
FLN	50.0	95.9	0.521	50.0	95.9	0.521	36452	36452	(5+6)-II-1	(5+6)-III-3	Parz.	Parz.

Verifica a taglio: cot(θ) Sin=2.093, cot(θ) Cen=2.500, cot(θ) Des=2.093 Comb: Sin=(5+6)-II-4
Cen=(7+8)-II-4 Des=(7+8)-II-4

Sez	Td	VRdns	VRcd	VRsd	VRd	Tpl	Mr	Dx	Staffe	CS
	kg	kg	kg	kg	kg	kg	kg*m	cm	cmq/m	
Sin	1124	--	71060	71060	71060	0	0	100.0	10.05	63
Cen	1032	--	62991	41165	41165	--	--	--	4.88	40
Des	1259	--	71060	71060	71060	0	0	100.0	10.05	56

Trave: 109 [162,118], Pilastri [--,20] Sez. R: By=30.0 cm Bz=100.0 cm L=351.2 cm Ln=351.2 cm
Criterio : CLS_TraviAlte_30x100 - Verifica a flessione : **Verificato**

X	M-	M+	ΔM-	ΔM+	Afs	Afi	Mr-	Mr+	C-	C+	CS
cm	kg*m	kg*m	kg*m	kg*m	cmq	cmq	kg*m	kg*m			
ILN	2188	-1419	--	5758	10.05	10.05	36452	36452	(5+6)-II-4	2	8.4
35.1	-259	259	2447	5490	10.05	10.05	36452	36452	(5+6)-II-4	(5+6)-II-4	6.3
CAMP	5891	8035	5041	--	10.05	10.05	36452	36452	(5+6)-II-1	(5+6)-II-4	3.3
316.1	8240	7770	2692	--	10.05	10.05	36452	36452	(5+6)-II-1	(5+6)-II-4	3.3
FLN	10932	7194	--	--	10.05	10.05	36452	36452	(5+6)-II-1	(7+8)-II-4	3.3

X	x-	d-	x-/d-	x+	d+	x+/d+	Mr-	Mr+	C-	C+	Stato-	Stato+
---	----	----	-------	----	----	-------	-----	-----	----	----	--------	--------

X	x-	d-	x-/d-	x+	d+	x+/d+	Mr-	Mr+	C-	C+	Stato-	Stato+
cm	cm	cm		cm	cm		kg*m	kg*m				
ILN	50.0	95.9	0.521	50.0	95.9	0.521	36452	36452	(5+6)-II-4	2	Parz.	Parz.
35.1	50.0	95.9	0.521	50.0	95.9	0.521	36452	36452	(5+6)-II-4	(5+6)-II-4	Parz.	Parz.
CAMP	50.0	95.9	0.521	50.0	95.9	0.521	36452	36452	(5+6)-II-1	(5+6)-II-4	Parz.	Parz.
316.1	50.0	95.9	0.521	50.0	95.9	0.521	36452	36452	(5+6)-II-1	(5+6)-II-4	Parz.	Parz.
FLN	50.0	95.9	0.521	50.0	95.9	0.521	36452	36452	(5+6)-II-1	(7+8)-II-4	Parz.	Parz.

Verifica a taglio: cot(θ) Sin=2.093, cot(θ) Cen=2.500, cot(θ) Des=2.093 Comb: Sin=(5+6)-II-4
Cen=(5+6)-II-4 Des=(5+6)-II-4

Sez	Td	VRdns	VRcd	VRsd	VRd	Tpl	Mr	Dx	Staffe	CS
	kg	kg	kg	kg	kg	kg	kg*m	cm	cmq/m	
Sin	11923	--	71060	71060	71060	0	0	100.0	10.05	6.0
Cen	9732	--	62991	42021	42021	--	--	--	4.98	4.3
Des	12662	--	71060	71060	71060	0	0	100.0	10.05	5.6

Trave: 109 [118,181], Pilastrate [20,--] Sez. R: By=30.0 cm Bz=100.0 cm L=335.2 cm Ln=335.2 cm Criterio : CLS_TraviAlte_30x100 - Verifica a flessione : **Verificato**

X	M-	M+	ΔM -	ΔM +	Afs	Afi	Mr-	Mr+	C-	C+	CS
cm	kg*m	kg*m	kg*m	kg*m	cmq	cmq	kg*m	kg*m			
ILN	11989	2346	--	--	10.05	10.05	36452	36452	(5+6)-VI-2	(7+8)-VI-3	3.0
33.5	8333	2286	3656	60	10.05	10.05	36452	36452	(5+6)-VI-2	(7+8)-VI-3	3.0
CAMP	1882	9182	10106	2321	10.05	10.05	36452	36452	(5+6)-VI-2	(7+8)-II-4	3.0
301.7	8346	10480	2660	1022	10.05	10.05	36452	36452	(5+6)-II-1	(7+8)-II-4	3.2
FLN	11006	11502	--	--	10.05	10.05	36452	36452	(5+6)-II-1	(7+8)-II-4	3.2

X	x-	d-	x-/d-	x+	d+	x+/d+	Mr-	Mr+	C-	C+	Stato-	Stato+
cm	cm	cm		cm	cm		kg*m	kg*m				
ILN	50.0	95.9	0.521	50.0	95.9	0.521	36452	36452	(5+6)-VI-2	(7+8)-VI-3	Parz.	Parz.
33.5	50.0	95.9	0.521	50.0	95.9	0.521	36452	36452	(5+6)-VI-2	(7+8)-VI-3	Parz.	Parz.
CAMP	50.0	95.9	0.521	50.0	95.9	0.521	36452	36452	(5+6)-VI-2	(7+8)-II-4	Parz.	Parz.
301.7	50.0	95.9	0.521	50.0	95.9	0.521	36452	36452	(5+6)-II-1	(7+8)-II-4	Parz.	Parz.
FLN	50.0	95.9	0.521	50.0	95.9	0.521	36452	36452	(5+6)-II-1	(7+8)-II-4	Parz.	Parz.

Verifica a taglio: cot(θ) Sin=2.093, cot(θ) Cen=2.500, cot(θ) Des=2.093 Comb: Sin=(5+6)-II-4
Cen=(5+6)-II-4 Des=(5+6)-II-4

Sez	Td	VRdns	VRcd	VRsd	VRd	Tpl	Mr	Dx	Staffe	CS
	kg	kg	kg	kg	kg	kg	kg*m	cm	cmq/m	
Sin	19326	--	71060	71060	71060	0	0	100.0	10.05	3.7
Cen	16853	--	62991	38583	38583	--	--	--	4.57	2.3
Des	16520	--	71060	71060	71060	0	0	100.0	10.05	4.3

Trave: 110 [126,125], Pilastrate [25,24] Sez. R: By=30.0 cm Bz=100.0 cm L=423.1 cm Ln=423.1 cm Criterio : CLS_TraviAlte_30x100 - Verifica a flessione : **Verificato**

X	M-	M+	ΔM -	ΔM +	Afs	Afi	Mr-	Mr+	C-	C+	CS
cm	kg*m	kg*m	kg*m	kg*m	cmq	cmq	kg*m	kg*m			
ILN	7966	2183	--	1532	10.05	10.05	36452	36452	(5+6)-VII-1	(5+6)-VIII-4	4.6
42.3	5577	3017	2389	810	10.05	10.05	36452	36452	(5+6)-VII-1	(5+6)-VIII-4	4.6
CAMP	3474	3835	4492	--	10.05	10.05	36452	36452	(5+6)-VII-1	(5+6)-VIII-4	4.6
380.8	2015	3429	1840	--	10.05	10.05	36452	36452	(5+6)-V-4	(5+6)-V-1	9.5
FLN	3855	3247	--	--	10.05	10.05	36452	36452	(5+6)-V-4	(7+8)-V-1	9.5

X	x-	d-	x-/d-	x+	d+	x+/d+	Mr-	Mr+	C-	C+	Stato-	Stato+
cm	cm	cm		cm	cm		kg*m	kg*m				
ILN	50.0	95.9	0.521	50.0	95.9	0.521	36452	36452	(5+6)-VII-1	(5+6)-VIII-4	Parz.	Parz.
42.3	50.0	95.9	0.521	50.0	95.9	0.521	36452	36452	(5+6)-VII-1	(5+6)-VIII-4	Parz.	Parz.
CAMP	50.0	95.9	0.521	50.0	95.9	0.521	36452	36452	(5+6)-VII-1	(5+6)-VIII-4	Parz.	Parz.
380.8	50.0	95.9	0.521	50.0	95.9	0.521	36452	36452	(5+6)-V-4	(5+6)-V-1	Parz.	Parz.
FLN	50.0	95.9	0.521	50.0	95.9	0.521	36452	36452	(5+6)-V-4	(7+8)-V-1	Parz.	Parz.

Verifica a taglio: cot(θ) Sin=2.093,cot(θ) Cen=2.500,cot(θ) Des=2.093 Comb: Sin=(5+6)-VII-4
Cen=(5+6)-VII-4 Des=(5+6)-VII-4

Sez	Td	VRdns	VRcd	VRsd	VRd	Tpl	Mr	Dx	Staffe	CS
	kg	kg	kg	kg	kg	kg	kg*m	cm	cmq/m	
Sin	9171	--	71060	71060	71060	0	0	100.0	10.05	7.7
Cen	7156	--	62991	39562	39562	--	--	--	4.69	5.5
Des	8115	--	71060	71060	71060	0	0	100.0	10.05	8.8

Trave: 110 [190,126], Pilastri [-,25] Sez. R: By=30.0 cm Bz=100.0 cm L=382.2 cm Ln=382.2 cm Criterio : CLS_TraviAlte_30x100 - Verifica a flessione : **Verificato**

X	M-	M+	ΔM -	ΔM +	Afs	Afi	Mr-	Mr+	C-	C+	CS
cm	kg*m	kg*m	kg*m	kg*m	cmq	cmq	kg*m	kg*m			
ILN	7157	8736	--	--	10.05	10.05	36452	36452	(7+8)-V-2	(5+6)-V-3	4.2
38.2	5649	7231	1508	1505	10.05	10.05	36452	36452	(7+8)-V-2	(5+6)-V-3	4.2
CAMP	7225	5619	4840	3117	10.05	10.05	36452	36452	(5+6)-VI-3	(5+6)-V-3	3.0
344.0	9590	3312	2476	508	10.05	10.05	36452	36452	(5+6)-VI-3	(7+8)-VI-2	3.0
FLN	12066	3820	--	--	10.05	10.05	36452	36452	(5+6)-VI-3	(7+8)-VI-2	3.0

X	x-	d-	x-/d-	x+	d+	x+/d+	Mr-	Mr+	C-	C+	Stato-	Stato+
cm	cm	cm		cm	cm		kg*m	kg*m				
ILN	50.0	95.9	0.521	50.0	95.9	0.521	36452	36452	(7+8)-V-2	(5+6)-V-3	Parz.	Parz.
38.2	50.0	95.9	0.521	50.0	95.9	0.521	36452	36452	(7+8)-V-2	(5+6)-V-3	Parz.	Parz.
CAMP	50.0	95.9	0.521	50.0	95.9	0.521	36452	36452	(5+6)-VI-3	(5+6)-V-3	Parz.	Parz.
344.0	50.0	95.9	0.521	50.0	95.9	0.521	36452	36452	(5+6)-VI-3	(7+8)-VI-2	Parz.	Parz.
FLN	50.0	95.9	0.521	50.0	95.9	0.521	36452	36452	(5+6)-VI-3	(7+8)-VI-2	Parz.	Parz.

Verifica a taglio: cot(θ) Sin=2.093,cot(θ) Cen=2.500,cot(θ) Des=2.093 Comb: Sin=(5+6)-V-3
Cen=(5+6)-V-3 Des=(5+6)-V-3

Sez	Td	VRdns	VRcd	VRsd	VRd	Tpl	Mr	Dx	Staffe	CS
	kg	kg	kg	kg	kg	kg	kg*m	cm	cmq/m	
Sin	10260	--	71060	71060	71060	0	0	100.0	10.05	6.9
Cen	11693	--	62991	38583	38583	--	--	--	4.57	3.3
Des	12553	--	71060	71060	71060	0	0	100.0	10.05	5.7

Trave: 111 [125,179], Pilastri [24,--] Sez. R: By=30.0 cm Bz=100.0 cm L=405.2 cm Ln=405.2 cm Criterio : CLS_TraviAlte_30x100 - Verifica a flessione : **Verificato**

X	M-	M+	ΔM -	ΔM +	Afs	Afi	Mr-	Mr+	C-	C+	CS
cm	kg*m	kg*m	kg*m	kg*m	cmq	cmq	kg*m	kg*m			
ILN	12626	9226	--	--	10.05	10.05	36452	36452	(5+6)-II-1	(7+8)-II-4	2.9
40.5	8226	8815	4401	412	10.05	10.05	36452	36452	(5+6)-II-1	(7+8)-II-4	2.9
CAMP	5268	9756	8145	1476	10.05	10.05	36452	36452	(5+6)-II-4	(7+8)-II-1	2.7
364.7	9112	10698	4301	534	10.05	10.05	36452	36452	(5+6)-II-4	(7+8)-II-1	2.7
FLN	13412	11232	--	--	10.05	10.05	36452	36452	(5+6)-II-4	(7+8)-II-1	2.7

X	x-	d-	x-/d-	x+	d+	x+/d+	Mr-	Mr+	C-	C+	Stato-	Stato+
cm	cm	cm		cm	cm		kg*m	kg*m				
ILN	50.0	95.9	0.521	50.0	95.9	0.521	36452	36452	(5+6)-II-1	(7+8)-II-4	Parz.	Parz.
40.5	50.0	95.9	0.521	50.0	95.9	0.521	36452	36452	(5+6)-II-1	(7+8)-II-4	Parz.	Parz.
CAMP	50.0	95.9	0.521	50.0	95.9	0.521	36452	36452	(5+6)-II-4	(7+8)-II-1	Parz.	Parz.
364.7	50.0	95.9	0.521	50.0	95.9	0.521	36452	36452	(5+6)-II-4	(7+8)-II-1	Parz.	Parz.
FLN	50.0	95.9	0.521	50.0	95.9	0.521	36452	36452	(5+6)-II-4	(7+8)-II-1	Parz.	Parz.

Verifica a taglio: cot(θ) Sin=2.093,cot(θ) Cen=2.500,cot(θ) Des=2.093 Comb: Sin=(5+6)-II-4
Cen=(5+6)-II-4 Des=(5+6)-II-4

Sez	Td	VRdns	VRcd	VRsd	VRd	Tpl	Mr	Dx	Staffe	CS
	kg	kg	kg	kg	kg	kg	kg*m	cm	cmq/m	
Sin	19913	--	71060	71060	71060	0	0	100.0	10.05	3.6
Cen	16709	--	62991	40921	40921	--	--	--	4.85	2.4
Des	19812	--	71060	71060	71060	0	0	100.0	10.05	3.6

Trave: 112 [116,175], Pilastriate [15,--] Sez. R: By=30.0 cm Bz=100.0 cm L=474.6 cm Ln=474.6 cm Criterio : CLS_TraviAlte_30x100 - Verifica a flessione : **Verificato**

X	M-	M+	ΔM-	ΔM+	Afs	Afi	Mr-	Mr+	C-	C+	CS
cm	kg*m	kg*m	kg*m	kg*m	cmq	cmq	kg*m	kg*m			
ILN	9401	2748	--	1366	10.05	10.05	36452	36452	(5+6)-V-2	(5+6)-VII-3	3.9
47.5	6372	3591	3029	558	10.05	10.05	36452	36452	(5+6)-V-2	(5+6)-VII-3	3.9
CAMP	3702	3981	5700	1110	10.05	10.05	36452	36452	(5+6)-V-2	(5+6)-VII-1	3.9
427.1	2897	5120	2406	--	10.05	10.05	36452	36452	(5+6)-V-4	(5+6)-V-1	6.9
FLN	5303	4989	--	--	10.05	10.05	36452	36452	(5+6)-V-4	(7+8)-V-1	6.9

X	x-	d-	x-/d-	x+	d+	x+/d+	Mr-	Mr+	C-	C+	Stato-	Stato+
cm	cm	cm		cm	cm		kg*m	kg*m				
ILN	50.0	95.9	0.521	50.0	95.9	0.521	36452	36452	(5+6)-V-2	(5+6)-VII-3	Parz.	Parz.
47.5	50.0	95.9	0.521	50.0	95.9	0.521	36452	36452	(5+6)-V-2	(5+6)-VII-3	Parz.	Parz.
CAMP	50.0	95.9	0.521	50.0	95.9	0.521	36452	36452	(5+6)-V-2	(5+6)-VII-1	Parz.	Parz.
427.1	50.0	95.9	0.521	50.0	95.9	0.521	36452	36452	(5+6)-V-4	(5+6)-V-1	Parz.	Parz.
FLN	50.0	95.9	0.521	50.0	95.9	0.521	36452	36452	(5+6)-V-4	(7+8)-V-1	Parz.	Parz.

Verifica a taglio: cot(θ) Sin=2.093,cot(θ) Cen=2.500,cot(θ) Des=2.093 Comb: Sin=(5+6)-V-4 Cen=(5+6)-V-4 Des=(5+6)-V-4

Sez	Td	VRdns	VRcd	VRsd	VRd	Tpl	Mr	Dx	Staffe	CS
	kg	kg	kg	kg	kg	kg	kg*m	cm	cmq/m	
Sin	10367	--	71060	71060	71060	0	0	100.0	10.05	6.9
Cen	8107	--	62991	39554	39554	--	--	--	4.68	4.9
Des	9108	--	71060	71060	71060	0	0	100.0	10.05	7.8

Trave: 112 [176,116], Pilastriate [--,15] Sez. R: By=30.0 cm Bz=100.0 cm L=414.6 cm Ln=414.6 cm Criterio : CLS_TraviAlte_30x100 - Verifica a flessione : **Verificato**

X	M-	M+	ΔM-	ΔM+	Afs	Afi	Mr-	Mr+	C-	C+	CS
cm	kg*m	kg*m	kg*m	kg*m	cmq	cmq	kg*m	kg*m			
ILN	5064	4911	--	--	10.05	10.05	36452	36452	(5+6)-V-1	(7+8)-V-4	7.2
41.5	2990	5045	2074	--	10.05	10.05	36452	36452	(5+6)-V-1	(5+6)-V-4	7.2
CAMP	2220	3322	4429	1682	10.05	10.05	36452	36452	(5+6)-VII-4	(5+6)-V-4	5.5
373.1	4297	4564	2352	--	10.05	10.05	36452	36452	(5+6)-VII-4	(5+6)-VII-1	5.5
FLN	6649	4465	--	--	10.05	10.05	36452	36452	(5+6)-VII-4	(7+8)-VII-1	5.5

X	x-	d-	x-/d-	x+	d+	x+/d+	Mr-	Mr+	C-	C+	Stato-	Stato+
cm	cm	cm		cm	cm		kg*m	kg*m				
ILN	50.0	95.9	0.521	50.0	95.9	0.521	36452	36452	(5+6)-V-1	(7+8)-V-4	Parz.	Parz.
41.5	50.0	95.9	0.521	50.0	95.9	0.521	36452	36452	(5+6)-V-1	(5+6)-V-4	Parz.	Parz.
CAMP	50.0	95.9	0.521	50.0	95.9	0.521	36452	36452	(5+6)-VII-4	(5+6)-V-4	Parz.	Parz.
373.1	50.0	95.9	0.521	50.0	95.9	0.521	36452	36452	(5+6)-VII-4	(5+6)-VII-1	Parz.	Parz.
FLN	50.0	95.9	0.521	50.0	95.9	0.521	36452	36452	(5+6)-VII-4	(7+8)-VII-1	Parz.	Parz.

Verifica a taglio: cot(θ) Sin=2.093,cot(θ) Cen=2.500,cot(θ) Des=2.093 Comb: Sin=(5+6)-VII-4 Cen=(5+6)-VII-4 Des=(5+6)-VII-4

Sez	Td	VRdns	VRcd	VRsd	VRd	Tpl	Mr	Dx	Staffe	CS
	kg	kg	kg	kg	kg	kg	kg*m	cm	cmq/m	
Sin	9191	--	71060	71060	71060	0	0	100.0	10.05	7.7
Cen	7756	--	62991	39554	39554	--	--	--	4.68	5.1
Des	9730	--	71060	71060	71060	0	0	100.0	10.05	7.3

Trave: 113 [180,124], Pilastriate [--,23] Sez. R: By=30.0 cm Bz=100.0 cm L=400.6 cm Ln=400.6 cm Criterio : CLS_TraviAlte_30x100 - Verifica a flessione : **Verificato**

X	M-	M+	ΔM-	ΔM+	Afs	Afi	Mr-	Mr+	C-	C+	CS
cm	kg*m	kg*m	kg*m	kg*m	cmq	cmq	kg*m	kg*m			
ILN	12753	10050	--	--	10.05	10.05	36452	36452	(5+6)-IV-4	(7+8)-IV-1	2.9

X	M-	M+	ΔM-	ΔM+	Afs	Afi	Mr-	Mr+	C-	C+	CS
40.1	8562	9831	4191	219	10.05	10.05	36452	36452	(5+6)-IV-4	(7+8)-IV-1	2.9
CAMP	4843	9189	7910	861	10.05	10.05	36452	36452	(5+6)-IV-4	(7+8)-IV-1	2.9
360.5	7121	7950	4214	163	10.05	10.05	36452	36452	(5+6)-IV-1	(7+8)-IV-4	3.2
FLN	11336	8112	--	--	10.05	10.05	36452	36452	(5+6)-IV-1	(7+8)-IV-4	3.2

X	x-	d-	x-/d-	x+	d+	x+/d+	Mr-	Mr+	C-	C+	Stato-	Stato+
cm	cm	cm		cm	cm		kg*m	kg*m				
ILN	50.0	95.9	0.521	50.0	95.9	0.521	36452	36452	(5+6)-IV-4	(7+8)-IV-1	Parz.	Parz.
40.1	50.0	95.9	0.521	50.0	95.9	0.521	36452	36452	(5+6)-IV-4	(7+8)-IV-1	Parz.	Parz.
CAMP	50.0	95.9	0.521	50.0	95.9	0.521	36452	36452	(5+6)-IV-4	(7+8)-IV-1	Parz.	Parz.
360.5	50.0	95.9	0.521	50.0	95.9	0.521	36452	36452	(5+6)-IV-1	(7+8)-IV-4	Parz.	Parz.
FLN	50.0	95.9	0.521	50.0	95.9	0.521	36452	36452	(5+6)-IV-1	(7+8)-IV-4	Parz.	Parz.

Verifica a taglio: cot(θ) Sin=2.093, cot(θ) Cen=2.500, cot(θ) Des=2.093 Comb: Sin=(5+6)-IV-4
Cen=(5+6)-IV-4 Des=(5+6)-IV-4

Sez	Td	VRdns	VRcd	VRsd	VRd	Tpl	Mr	Dx	Staffe	CS
	kg	kg	kg	kg	kg	kg	kg*m	cm	cmq/m	
Sin	18975	--	71060	71060	71060	0	0	100.0	10.05	3.7
Cen	15541	--	62991	38583	38583	--	--	--	4.57	2.5
Des	18869	--	71060	71060	71060	0	0	100.0	10.05	3.8

Trave: 114 [122,189], Pilastrate [21,--] Sez. R: By=30.0 cm Bz=100.0 cm L=327.6 cm Ln=327.6 cm Criterio : CLS_TraviAlte_30x100 - Verifica a flessione : **Verificato**

X	M-	M+	ΔM-	ΔM+	Afs	Afi	Mr-	Mr+	C-	C+	CS
cm	kg*m	kg*m	kg*m	kg*m	cmq	cmq	kg*m	kg*m			
ILN	7077	1584	--	--	10.05	10.05	36452	36452	(5+6)-VII-1	(7+8)-VII-4	5.2
32.8	4849	1447	2229	137	10.05	10.05	36452	36452	(5+6)-VII-1	(7+8)-VII-4	5.2
CAMP	907	6092	6170	1544	10.05	10.05	36452	36452	(5+6)-VII-1	(5+6)-V-1	4.8
294.8	4726	6949	1373	687	10.05	10.05	36452	36452	(7+8)-V-4	(5+6)-V-1	4.8
FLN	6099	7636	--	--	10.05	10.05	36452	36452	(7+8)-V-4	(5+6)-V-1	4.8

X	x-	d-	x-/d-	x+	d+	x+/d+	Mr-	Mr+	C-	C+	Stato-	Stato+
cm	cm	cm		cm	cm		kg*m	kg*m				
ILN	50.0	95.9	0.521	50.0	95.9	0.521	36452	36452	(5+6)-VII-1	(7+8)-VII-4	Parz.	Parz.
32.8	50.0	95.9	0.521	50.0	95.9	0.521	36452	36452	(5+6)-VII-1	(7+8)-VII-4	Parz.	Parz.
CAMP	50.0	95.9	0.521	50.0	95.9	0.521	36452	36452	(5+6)-VII-1	(5+6)-V-1	Parz.	Parz.
294.8	50.0	95.9	0.521	50.0	95.9	0.521	36452	36452	(7+8)-V-4	(5+6)-V-1	Parz.	Parz.
FLN	50.0	95.9	0.521	50.0	95.9	0.521	36452	36452	(7+8)-V-4	(5+6)-V-1	Parz.	Parz.

Verifica a taglio: cot(θ) Sin=2.093, cot(θ) Cen=2.500, cot(θ) Des=2.093 Comb: Sin=(5+6)-VII-4
Cen=(5+6)-VII-4 Des=(5+6)-VII-4

Sez	Td	VRdns	VRcd	VRsd	VRd	Tpl	Mr	Dx	Staffe	CS
	kg	kg	kg	kg	kg	kg	kg*m	cm	cmq/m	
Sin	12095	--	71060	71060	71060	0	0	100.0	10.05	5.9
Cen	10014	--	62991	39460	39460	--	--	--	4.67	3.9
Des	9785	--	71060	71060	71060	0	0	100.0	10.05	7.3

Trave: 114 [123,122], Pilastrate [22,21] Sez. R: By=30.0 cm Bz=100.0 cm L=315.9 cm Ln=315.9 cm Criterio : CLS_TraviAlte_30x100 - Verifica a flessione : **Verificato**

X	M-	M+	ΔM-	ΔM+	Afs	Afi	Mr-	Mr+	C-	C+	CS
cm	kg*m	kg*m	kg*m	kg*m	cmq	cmq	kg*m	kg*m			
ILN	7669	2727	--	--	10.05	10.05	36452	36452	(5+6)-VII-1	(7+8)-VII-4	4.8
31.6	5766	2428	1903	300	10.05	10.05	36452	36452	(5+6)-VII-1	(7+8)-VII-4	4.8
CAMP	2446	4100	5223	1356	10.05	10.05	36452	36452	(5+6)-VII-1	(7+8)-V-2	4.8
284.3	5681	4839	1596	617	10.05	10.05	36452	36452	(5+6)-V-3	(7+8)-V-2	5.0
FLN	7278	5456	--	--	10.05	10.05	36452	36452	(5+6)-V-3	(7+8)-V-2	5.0

X	x-	d-	x-/d-	x+	d+	x+/d+	Mr-	Mr+	C-	C+	Stato-	Stato+
---	----	----	-------	----	----	-------	-----	-----	----	----	--------	--------

X	x-	d-	x-/d-	x+	d+	x+/d+	Mr-	Mr+	C-	C+	Stato-	Stato+
cm	cm	cm		cm	cm		kg*m	kg*m				
ILN	50.0	95.9	0.521	50.0	95.9	0.521	36452	36452	(5+6)-VII-1	(7+8)-VII-4	Parz.	Parz.
31.6	50.0	95.9	0.521	50.0	95.9	0.521	36452	36452	(5+6)-VII-1	(7+8)-VII-4	Parz.	Parz.
CAMP	50.0	95.9	0.521	50.0	95.9	0.521	36452	36452	(5+6)-VII-1	(7+8)-V-2	Parz.	Parz.
284.3	50.0	95.9	0.521	50.0	95.9	0.521	36452	36452	(5+6)-V-3	(7+8)-V-2	Parz.	Parz.
FLN	50.0	95.9	0.521	50.0	95.9	0.521	36452	36452	(5+6)-V-3	(7+8)-V-2	Parz.	Parz.

Verifica a taglio: $\cot(\theta) \sin=2.093$, $\cot(\theta) \text{Cen}=2.500$, $\cot(\theta) \text{Des}=2.093$ Comb: Sin=(5+6)-V-4
Cen=(5+6)-V-4 Des=(5+6)-V-4

Sez	Td	VRdns	VRcd	VRsd	VRd	Tpl	Mr	Dx	Staffe	CS
	kg	kg	kg	kg	kg	kg	kg*m	cm	cmq/m	
Sin	11540	--	71060	71060	71060	0	0	100.0	10.05	6.2
Cen	9534	--	62991	38583	38583	--	--	--	4.57	4.0
Des	10499	--	71060	71060	71060	0	0	100.0	10.05	6.8

Trave: 114 [124,123], Pilastrate [23,22] Sez. R: By=30.0 cm Bz=100.0 cm L=539.7 cm Ln=539.7 cm Criterio : CLS_TraviAlte_30x100 - Verifica a flessione : **Verificato**

X	M-	M+	ΔM-	ΔM+	Afs	Afi	Mr-	Mr+	C-	C+	CS
cm	kg*m	kg*m	kg*m	kg*m	cmq	cmq	kg*m	kg*m			
ILN	4442	2320	--	1326	10.05	10.05	36452	36452	(5+6)-V-2	(5+6)-III-4	8.2
54.0	1880	1669	2562	2774	10.05	10.05	36452	36452	(5+6)-V-2		8.2
CAMP	4854	4757	6704	--	10.05	10.05	36452	36452	(5+6)-V-3		3.2
485.7	7976	1794	3585	2120	10.05	10.05	36452	36452	(5+6)-V-3	(5+6)-VI-2	3.2
FLN	11561	1468	--	1850	10.05	10.05	36452	36452	(5+6)-V-3	(7+8)-V-2	3.2

X	x-	d-	x-/d-	x+	d+	x+/d+	Mr-	Mr+	C-	C+	Stato-	Stato+
cm	cm	cm		cm	cm		kg*m	kg*m				
ILN	50.0	95.9	0.521	50.0	95.9	0.521	36452	36452	(5+6)-V-2	(5+6)-III-4	Parz.	Parz.
54.0	50.0	95.9	0.521	50.0	95.9	0.521	36452	36452	(5+6)-V-2	2	Parz.	Parz.
CAMP	50.0	95.9	0.521	50.0	95.9	0.521	36452	36452	(5+6)-V-3	2	Parz.	Parz.
485.7	50.0	95.9	0.521	50.0	95.9	0.521	36452	36452	(5+6)-V-3	(5+6)-VI-2	Parz.	Parz.
FLN	50.0	95.9	0.521	50.0	95.9	0.521	36452	36452	(5+6)-V-3	(7+8)-V-2	Parz.	Parz.

Verifica a taglio: $\cot(\theta) \sin=2.093$, $\cot(\theta) \text{Cen}=2.500$, $\cot(\theta) \text{Des}=2.093$ Comb: Sin=(5+6)-V-3
Cen=(5+6)-V-3 Des=(5+6)-V-3

Sez	Td	VRdns	VRcd	VRsd	VRd	Tpl	Mr	Dx	Staffe	CS
	kg	kg	kg	kg	kg	kg	kg*m	cm	cmq/m	
Sin	7998	--	71060	71060	71060	0	0	100.0	10.05	8.9
Cen	8169	--	62991	38583	38583	--	--	--	4.57	4.7
Des	9883	--	71060	71060	71060	0	0	100.0	10.05	7.2

Trave: 115 [119,172], Pilastrate [16,--] Sez. R: By=30.0 cm Bz=100.0 cm L=255.9 cm Ln=255.9 cm Criterio : CLS_TraviAlte_30x100 - Verifica a flessione : **Verificato**

X	M-	M+	ΔM-	ΔM+	Afs	Afi	Mr-	Mr+	C-	C+	CS
cm	kg*m	kg*m	kg*m	kg*m	cmq	cmq	kg*m	kg*m			
ILN	7476	4437	--	--	10.05	10.05	36452	36452	(5+6)-IV-3	(7+8)-IV-2	4.9
25.6	5063	4023	2413	414	10.05	10.05	36452	36452	(5+6)-IV-3	(7+8)-IV-2	4.9
CAMP	3497	5868	4011	1593	10.05	10.05	36452	36452	(5+6)-IV-2	(7+8)-IV-3	4.9
230.3	5401	6751	2108	711	10.05	10.05	36452	36452	(5+6)-IV-2	(7+8)-IV-3	4.9
FLN	7509	7461	--	--	10.05	10.05	36452	36452	(5+6)-IV-2	(7+8)-IV-3	4.9

X	x-	d-	x-/d-	x+	d+	x+/d+	Mr-	Mr+	C-	C+	Stato-	Stato+
cm	cm	cm		cm	cm		kg*m	kg*m				
ILN	50.0	95.9	0.521	50.0	95.9	0.521	36452	36452	(5+6)-IV-3	(7+8)-IV-2	Parz.	Parz.
25.6	50.0	95.9	0.521	50.0	95.9	0.521	36452	36452	(5+6)-IV-3	(7+8)-IV-2	Parz.	Parz.
CAMP	50.0	95.9	0.521	50.0	95.9	0.521	36452	36452	(5+6)-IV-2	(7+8)-IV-3	Parz.	Parz.
230.3	50.0	95.9	0.521	50.0	95.9	0.521	36452	36452	(5+6)-IV-2	(7+8)-IV-3	Parz.	Parz.
FLN	50.0	95.9	0.521	50.0	95.9	0.521	36452	36452	(5+6)-IV-2	(7+8)-IV-3	Parz.	Parz.

Verifica a taglio: $\cot(\theta) \text{ Sin}=2.093$, $\cot(\theta) \text{ Cen}=2.500$, $\cot(\theta) \text{ Des}=2.093$ Comb: Sin=(5+6)-IV-3
Cen=(5+6)-IV-3 Des=(5+6)-IV-3

Sez	Td	VRdns	VRcd	VRsd	VRd	Tpl	Mr	Dx	Staffe	CS
	kg	kg	kg	kg	kg	kg	kg*m	cm	cmq/m	
Sin	17799	--	71060	71060	71060	0	0	100.0	10.05	4.0
Cen	14597	--	62991	38583	38583	--	--	--	4.57	2.6
Des	16602	--	71060	71060	71060	0	0	100.0	10.05	4.3

Trave: 115 [182,119], Pilastri [-,16] Sez. R: By=30.0 cm Bz=100.0 cm L=332.0 cm Ln=332.0 cm Criterio : CLS_TraviAlte_30x100 - Verifica a flessione : **Verificato**

X	M-	M+	ΔM_-	ΔM_+	Afs	Afi	Mr-	Mr+	C-	C+	CS
cm	kg*m	kg*m	kg*m	kg*m	cmq	cmq	kg*m	kg*m			
ILN	8624	9428	--	--	10.05	10.05	36452	36452	(5+6)-IV-3	(7+8)-IV-2	3.9
33.2	6414	8587	2211	841	10.05	10.05	36452	36452	(5+6)-IV-3	(7+8)-IV-2	3.9
CAMP	3519	6314	7180	3114	10.05	10.05	36452	36452	(5+6)-IV-2	(7+8)-IV-2	3.4
298.8	7254	-4756	3445	8729	10.05	10.05	36452	36452	(5+6)-IV-2	(5+6)-II-4	3.4
FLN	10699	-1771	--	3345	10.05	10.05	36452	36452	(5+6)-IV-2	(5+6)-VII-1	3.4

X	x-	d-	x-/d-	x+	d+	x+/d+	Mr-	Mr+	C-	C+	Stato-	Stato+
cm	cm	cm		cm	cm		kg*m	kg*m				
ILN	50.0	95.9	0.521	50.0	95.9	0.521	36452	36452	(5+6)-IV-3	(7+8)-IV-2	Parz.	Parz.
33.2	50.0	95.9	0.521	50.0	95.9	0.521	36452	36452	(5+6)-IV-3	(7+8)-IV-2	Parz.	Parz.
CAMP	50.0	95.9	0.521	50.0	95.9	0.521	36452	36452	(5+6)-IV-2	(7+8)-IV-2	Parz.	Parz.
298.8	50.0	95.9	0.521	50.0	95.9	0.521	36452	36452	(5+6)-IV-2	(5+6)-II-4	Parz.	Parz.
FLN	50.0	95.9	0.521	50.0	95.9	0.521	36452	36452	(5+6)-IV-2	(5+6)-VII-1	Parz.	Parz.

Verifica a taglio: $\cot(\theta) \text{ Sin}=2.093$, $\cot(\theta) \text{ Cen}=2.500$, $\cot(\theta) \text{ Des}=2.093$ Comb: Sin=(5+6)-IV-3
Cen=(5+6)-IV-3 Des=(5+6)-IV-3

Sez	Td	VRdns	VRcd	VRsd	VRd	Tpl	Mr	Dx	Staffe	CS
	kg	kg	kg	kg	kg	kg	kg*m	cm	cmq/m	
Sin	13755	--	71060	71060	71060	0	0	100.0	10.05	5.2
Cen	13672	--	62991	38583	38583	--	--	--	4.57	2.8
Des	17554	--	71060	71060	71060	0	0	100.0	10.05	4.0

Trave: 116 [176,174], Pilastri [--,--] Sez. R: By=30.0 cm Bz=50.0 cm L=119.8 cm Ln=119.8 cm Criterio : CLS_TraviAlte - Verifica a flessione : **Verificato**

X	M-	M+	ΔM_-	ΔM_+	Afs	Afi	Mr-	Mr+	C-	C+	CS
cm	kg*m	kg*m	kg*m	kg*m	cmq	cmq	kg*m	kg*m			
ILN	7634	9617	--	--	6.03	6.03	10212	10212	(7+8)-VI-3	(5+6)-VI-2	1.1
12.0	6154	8045	1480	1572	6.03	6.03	10212	10212	(7+8)-VI-3	(5+6)-VI-2	1.1
CAMP	4102	3134	3813	6483	6.03	6.03	10212	10212	(5+6)-VI-2	(5+6)-VI-2	1.1
107.8	5989	4294	1926	1127	6.03	6.03	10212	10212	(5+6)-VI-2	(7+8)-VI-3	1.3
FLN	7915	5421	--	--	6.03	6.03	10212	10212	(5+6)-VI-2	(7+8)-VI-3	1.3

X	x-	d-	x-/d-	x+	d+	x+/d+	Mr-	Mr+	C-	C+	Stato-	Stato+
cm	cm	cm		cm	cm		kg*m	kg*m				
ILN	25.0	45.9	0.545	25.0	45.9	0.545	10212	10212	(7+8)-VI-3	(5+6)-VI-2	Parz.	Parz.
12.0	25.0	45.9	0.545	25.0	45.9	0.545	10212	10212	(7+8)-VI-3	(5+6)-VI-2	Parz.	Parz.
CAMP	25.0	45.9	0.545	25.0	45.9	0.545	10212	10212	(5+6)-VI-2	(5+6)-VI-2	Parz.	Parz.
107.8	25.0	45.9	0.545	25.0	45.9	0.545	10212	10212	(5+6)-VI-2	(7+8)-VI-3	Parz.	Parz.
FLN	25.0	45.9	0.545	25.0	45.9	0.545	10212	10212	(5+6)-VI-2	(7+8)-VI-3	Parz.	Parz.

Verifica a taglio: $\cot(\theta) =2.058$ Comb: (7+8)-VIII-4

Sez	Td	VRdns	VRcd	VRsd	VRd	Tpl	Mr	Dx	Staffe	CS
	kg	kg	kg	kg	kg	kg	kg*m	cm	cmq/m	
Sin	20407	--	34373	34373	34373	18754	10212	119.8	10.33	1.7
Des								10212		

Trave: 117 [160,115], Pilastri [--,14] Sez. R: By=30.0 cm Bz=50.0 cm L=323.1 cm Ln=323.1 cm

Criterio : CLS_TraviAlte - Verifica a flessione : **Verificato**

X	M-	M+	ΔM_-	ΔM_+	Afs	Afi	Mr-	Mr+	C-	C+	CS
cm	kg*m	kg*m	kg*m	kg*m	cmq	cmq	kg*m	kg*m			
ILN	6826	4746	--	--	6.03	6.03	10212	10212	(7+8)-V-3	(5+6)-V-2	1.5
32.3	5130	4270	1696	476	6.03	6.03	10212	10212	(7+8)-V-3	(5+6)-V-2	1.5
CAMP	3568	3660	2576	894	6.03	6.03	10212	10212	(7+8)-V-3	(5+6)-V-2	1.7
290.8	4365	3615	1682	490	6.03	6.03	10212	10212	(5+6)-V-1	(7+8)-V-4	1.7
FLN	6047	4105	--	--	6.03	6.03	10212	10212	(5+6)-V-1	(7+8)-V-4	1.7

X	x-	d-	x-/d-	x+	d+	x+/d+	Mr-	Mr+	C-	C+	Stato-	Stato+
cm	cm	cm		cm	cm		kg*m	kg*m				
ILN	25.0	45.9	0.545	25.0	45.9	0.545	10212	10212	(7+8)-V-3	(5+6)-V-2	Parz.	Parz.
32.3	25.0	45.9	0.545	25.0	45.9	0.545	10212	10212	(7+8)-V-3	(5+6)-V-2	Parz.	Parz.
CAMP	25.0	45.9	0.545	25.0	45.9	0.545	10212	10212	(7+8)-V-3	(5+6)-V-2	Parz.	Parz.
290.8	25.0	45.9	0.545	25.0	45.9	0.545	10212	10212	(5+6)-V-1	(7+8)-V-4	Parz.	Parz.
FLN	25.0	45.9	0.545	25.0	45.9	0.545	10212	10212	(5+6)-V-1	(7+8)-V-4	Parz.	Parz.

Verifica a taglio: $\cot(\theta) \sin=2.093, \cot(\theta) \text{Cen}=2.500, \cot(\theta) \text{Des}=2.093$ Comb: Sin=(7+8)-VIII-4
Cen=(7+8)-VIII-4 Des=(7+8)-VIII-4

Sez	Td	VRdns	VRcd	VRsd	VRd	Tpl	Mr	Dx	Staffe	CS
	kg	kg	kg	kg	kg	kg	kg*m	cm	cmq/m	
Sin	9028	--	34011	34011	34011	6953	10212	50.0	10.05	3.8
Cen	8199	--	30149	18467	18467	--	--	--	4.57	2.3
Des	9011	--	34011	34011	34011	6953	10212	50.0	10.05	3.8

Trave: 117 [115,161], Pilastriate [14,--] Sez. R: By=30.0 cm Bz=50.0 cm L=352.2 cm Ln=352.2 cm
Criterio : CLS_TraviAlte - Verifica a flessione : **Verificato**

X	M-	M+	ΔM_-	ΔM_+	Afs	Afi	Mr-	Mr+	C-	C+	CS
cm	kg*m	kg*m	kg*m	kg*m	cmq	cmq	kg*m	kg*m			
ILN	6736	1683	--	--	6.03	6.03	10212	10212	(5+6)-V-4	(7+8)-V-1	1.5
35.2	4789	1576	1947	107	6.03	6.03	10212	10212	(5+6)-V-4	(7+8)-V-1	1.5
CAMP	2962	4685	2735	973	6.03	6.03	10212	10212	(5+6)-V-4	(5+6)-V-4	1.8
317.0	4707	5399	1501	555	6.03	6.03	10212	10212	(7+8)-V-1	(5+6)-V-4	1.6
FLN	6208	5954	--	--	6.03	6.03	10212	10212	(7+8)-V-1	(5+6)-V-4	1.6

X	x-	d-	x-/d-	x+	d+	x+/d+	Mr-	Mr+	C-	C+	Stato-	Stato+
cm	cm	cm		cm	cm		kg*m	kg*m				
ILN	25.0	45.9	0.545	25.0	45.9	0.545	10212	10212	(5+6)-V-4	(7+8)-V-1	Parz.	Parz.
35.2	25.0	45.9	0.545	25.0	45.9	0.545	10212	10212	(5+6)-V-4	(7+8)-V-1	Parz.	Parz.
CAMP	25.0	45.9	0.545	25.0	45.9	0.545	10212	10212	(5+6)-V-4	(5+6)-V-4	Parz.	Parz.
317.0	25.0	45.9	0.545	25.0	45.9	0.545	10212	10212	(7+8)-V-1	(5+6)-V-4	Parz.	Parz.
FLN	25.0	45.9	0.545	25.0	45.9	0.545	10212	10212	(7+8)-V-1	(5+6)-V-4	Parz.	Parz.

Verifica a taglio: $\cot(\theta) \sin=2.093, \cot(\theta) \text{Cen}=2.500, \cot(\theta) \text{Des}=2.093$ Comb: Sin=(7+8)-VIII-4
Cen=(7+8)-VIII-4 Des=(7+8)-VIII-4

Sez	Td	VRdns	VRcd	VRsd	VRd	Tpl	Mr	Dx	Staffe	CS
	kg	kg	kg	kg	kg	kg	kg*m	cm	cmq/m	
Sin	8380	--	34011	34011	34011	6379	10212	50.0	10.05	4.1
Cen	7748	--	30149	19024	19024	--	--	--	4.71	2.5
Des	8629	--	34011	34011	34011	6379	10212	50.0	10.05	3.9

Trave: 118 [158,114], Pilastriate [--,13] Sez. R: By=30.0 cm Bz=50.0 cm L=315.9 cm Ln=315.9 cm
Criterio : CLS_TraviAlte - Verifica a flessione : **Verificato**

X	M-	M+	ΔM_-	ΔM_+	Afs	Afi	Mr-	Mr+	C-	C+	CS
cm	kg*m	kg*m	kg*m	kg*m	cmq	cmq	kg*m	kg*m			
ILN	6856	6023	--	--	6.03	6.03	10212	10212	(7+8)-VII-4	(5+6)-VII-1	1.5
31.6	5237	5323	1619	701	6.03	6.03	10212	10212	(7+8)-VII-4	(5+6)-VII-1	1.5
CAMP	3746	4494	2518	1273	6.03	6.03	10212	10212	(7+8)-VII-4	(5+6)-VII-1	1.6
284.3	4913	3116	1849	459	6.03	6.03	10212	10212	(5+6)-V-1	(7+8)-V-4	1.5

X	M-	M+	ΔM-	ΔM+	Afs	Afi	Mr-	Mr+	C-	C+	CS
FLN	6761	3575	--	--	6.03	6.03	10212	10212	(5+6)-V-1	(7+8)-V-4	1.5

X	x-	d-	x-/d-	x+	d+	x+/d+	Mr-	Mr+	C-	C+	Stato-	Stato+
cm	cm	cm		cm	cm		kg*m	kg*m				
ILN	25.0	45.9	0.545	25.0	45.9	0.545	10212	10212	(7+8)-VII-4	(5+6)-VII-1	Parz.	Parz.
31.6	25.0	45.9	0.545	25.0	45.9	0.545	10212	10212	(7+8)-VII-4	(5+6)-VII-1	Parz.	Parz.
CAMP	25.0	45.9	0.545	25.0	45.9	0.545	10212	10212	(7+8)-VII-4	(5+6)-VII-1	Parz.	Parz.
284.3	25.0	45.9	0.545	25.0	45.9	0.545	10212	10212	(5+6)-V-1	(7+8)-V-4	Parz.	Parz.
FLN	25.0	45.9	0.545	25.0	45.9	0.545	10212	10212	(5+6)-V-1	(7+8)-V-4	Parz.	Parz.

Verifica a taglio: cot(θ) Sin=2.093,cot(θ) Cen=2.500,cot(θ) Des=2.093 Comb: Sin=(7+8)-VIII-4
Cen=(7+8)-VIII-4 Des=(7+8)-VIII-4

Sez	Td	VRdns	VRcd	VRsd	VRd	Tpl	Mr	Dx	Staffe	CS
	kg	kg	kg	kg	kg	kg	kg*m	cm	cmq/m	
Sin	9141	--	34011	34011	34011	7112	10212	50.0	10.05	3.7
Cen	8329	--	30149	18817	18817	--	--	--	4.66	2.3
Des	9141	--	34011	34011	34011	7112	10212	50.0	10.05	3.7

Trave: 118 [114,159], Pilastre [13,--] Sez. R: By=30.0 cm Bz=50.0 cm L=439.7 cm Ln=439.7 cm
Criterio : CLS_TraviAlte - Verifica a flessione : **Verificato**

X	M-	M+	ΔM-	ΔM+	Afs	Afi	Mr-	Mr+	C-	C+	CS
cm	kg*m	kg*m	kg*m	kg*m	cmq	cmq	kg*m	kg*m			
ILN	6113	1918	--	--	6.03	6.03	10212	10212	(5+6)-VII-4	(7+8)-VII-1	1.7
44.0	4393	1815	1720	103	6.03	6.03	10212	10212	(5+6)-VII-4	(7+8)-VII-1	1.7
CAMP	2955	3601	1864	278	6.03	6.03	10212	10212	(7+8)-VII-1	(5+6)-VII-4	2.1
395.7	4505	3874	1798	25	6.03	6.03	10212	10212	(7+8)-VII-1	(5+6)-VII-4	1.6
FLN	6303	3899	--	--	6.03	6.03	10212	10212	(7+8)-VII-1	(5+6)-VII-4	1.6

X	x-	d-	x-/d-	x+	d+	x+/d+	Mr-	Mr+	C-	C+	Stato-	Stato+
cm	cm	cm		cm	cm		kg*m	kg*m				
ILN	25.0	45.9	0.545	25.0	45.9	0.545	10212	10212	(5+6)-VII-4	(7+8)-VII-1	Parz.	Parz.
44.0	25.0	45.9	0.545	25.0	45.9	0.545	10212	10212	(5+6)-VII-4	(7+8)-VII-1	Parz.	Parz.
CAMP	25.0	45.9	0.545	25.0	45.9	0.545	10212	10212	(7+8)-VII-1	(5+6)-VII-4	Parz.	Parz.
395.7	25.0	45.9	0.545	25.0	45.9	0.545	10212	10212	(7+8)-VII-1	(5+6)-VII-4	Parz.	Parz.
FLN	25.0	45.9	0.545	25.0	45.9	0.545	10212	10212	(7+8)-VII-1	(5+6)-VII-4	Parz.	Parz.

Verifica a taglio: cot(θ) Sin=2.093,cot(θ) Cen=2.500,cot(θ) Des=2.093 Comb: Sin=(5+6)-VII-4
Cen=(5+6)-VII-4 Des=(7+8)-VII-4

Sez	Td	VRdns	VRcd	VRsd	VRd	Tpl	Mr	Dx	Staffe	CS
	kg	kg	kg	kg	kg	kg	kg*m	cm	cmq/m	
Sin	7125	--	34011	34011	34011	0	0	50.0	10.05	4.8
Cen	6714	--	30149	19092	19092	--	--	--	4.72	2.8
Des	7501	--	34011	34011	34011	0	0	50.0	10.05	4.5

Trave: 119 [173,175], Pilastre [--,--] Sez. R: By=30.0 cm Bz=50.0 cm L=119.8 cm Ln=119.8 cm
Criterio : CLS_TraviAlte - Verifica a flessione : **Verificato**

X	M-	M+	ΔM-	ΔM+	Afs	Afi	Mr-	Mr+	C-	C+	CS
cm	kg*m	kg*m	kg*m	kg*m	cmq	cmq	kg*m	kg*m			
ILN	6832	4588	--	--	6.03	6.03	10212	10212	(5+6)-VIII-4	(7+8)-VIII-1	1.5
12.0	5129	3641	1703	947	6.03	6.03	10212	10212	(5+6)-VIII-4	(7+8)-VIII-1	1.5
CAMP	4256	5773	2592	2704	6.03	6.03	10212	10212	(7+8)-IV-1	(5+6)-IV-4	1.2
107.8	5529	7145	1319	1333	6.03	6.03	10212	10212	(7+8)-IV-1	(5+6)-IV-4	1.2
FLN	6848	8478	--	--	6.03	6.03	10212	10212	(7+8)-IV-1	(5+6)-IV-4	1.2

X	x-	d-	x-/d-	x+	d+	x+/d+	Mr-	Mr+	C-	C+	Stato-	Stato+
cm	cm	cm		cm	cm		kg*m	kg*m				
ILN	25.0	45.9	0.545	25.0	45.9	0.545	10212	10212	(5+6)-VIII-4	(7+8)-VIII-1	Parz.	Parz.
12.0	25.0	45.9	0.545	25.0	45.9	0.545	10212	10212	(5+6)-VIII-4	(7+8)-VIII-1	Parz.	Parz.

X	x-	d-	x-/d-	x+	d+	x+/d+	Mr-	Mr+	C-	C+	Stato-	Stato+
CAMP	25.0	45.9	0.545	25.0	45.9	0.545	10212	10212	(7+8)-IV-1	(5+6)-IV-4	Parz.	Parz.
107.8	25.0	45.9	0.545	25.0	45.9	0.545	10212	10212	(7+8)-IV-1	(5+6)-IV-4	Parz.	Parz.
FLN	25.0	45.9	0.545	25.0	45.9	0.545	10212	10212	(7+8)-IV-1	(5+6)-IV-4	Parz.	Parz.

Verifica a taglio: $\cot(\theta) = 2.057$ Comb: (7+8)-VIII-4

Sez	Td	VRdns	VRcd	VRsd	VRd	Tpl	Mr	Dx	Staffe	CS
	kg	kg	kg	kg	kg	kg	kg*m	cm	cmq/m	
Sin	20487	--	34377	34377	34377	18754	10212	119.8	10.34	1.7
Des							10212			

Trave: 120 [102,106], Pilastriate [1,5] Sez. R: By=30.0 cm Bz=50.0 cm L=424.5 cm Ln=424.5 cm

Criterio : CLS_TraviAlte - Verifica a flessione : **Verificato**

X	M-	M+	ΔM_-	ΔM_+	Afs	Afi	Mr-	Mr+	C-	C+	CS
cm	kg*m	kg*m	kg*m	kg*m	cmq	cmq	kg*m	kg*m			
ILN	5090	667	--	2013	6.03	6.03	10212	10212	(7+8)-IV-2	(5+6)-IV-3	2.0
42.4	2299	2427	2791	1283	6.03	6.03	10212	10212	(7+8)-IV-2	(5+6)-IV-3	2.0
CAMP	2406	6006	6317	--	6.03	6.03	10212	10212	2	2	1.2
382.0	7414	-2241	6049	2571	8.04	6.03	13494	10211	2	(7+8)-VIII-4	1.0
FLN	13463	--	--	--	8.04	6.03	13494	10211	2	1	1.0

X	x-	d-	x-/d-	x+	d+	x+/d+	Mr-	Mr+	C-	C+	Stato-	Stato+
cm	cm	cm		cm	cm		kg*m	kg*m				
ILN	25.0	45.9	0.545	25.0	45.9	0.545	10212	10212	(7+8)-IV-2	(5+6)-IV-3	Parz.	Parz.
42.4	25.0	45.9	0.545	25.0	45.9	0.545	10212	10212	(7+8)-IV-2	(5+6)-IV-3	Parz.	Parz.
CAMP	25.0	45.9	0.545	25.0	45.9	0.545	10212	10212	2	2	Parz.	Parz.
382.0	25.0	45.9	0.545	25.0	45.9	0.545	13494	10211	2	(7+8)-VIII-4	Parz.	Parz.
FLN	25.0	45.9	0.545	--	--	--	13494	10211	2	1	Parz.	--

Verifica a taglio: $\cot(\theta) \sin=2.093, \cot(\theta) \text{Cen}=2.500, \cot(\theta) \text{Des}=2.093$ Comb: Sin=2 Cen=2 Des=2

Sez	Td	VRdns	VRcd	VRsd	VRd	Tpl	Mr	Dx	Staffe	CS
	kg	kg	kg	kg	kg	kg	kg*m	cm	cmq/m	
Sin	10688	--	34011	34011	34011	0	0	50.0	10.05	3.2
Cen	10429	--	30149	19057	19057	--	--	--	4.72	1.8
Des	14956	--	34011	34011	34011	0	0	50.0	10.05	2.3

Trave: 121 [106,112], Pilastriate [5,8] Sez. R: By=30.0 cm Bz=50.0 cm L=367.0 cm Ln=346.8 cm

Criterio : CLS_TraviAlte - Verifica a flessione : **Verificato**

X	M-	M+	ΔM_-	ΔM_+	Afs	Afi	Mr-	Mr+	C-	C+	CS
cm	kg*m	kg*m	kg*m	kg*m	cmq	cmq	kg*m	kg*m			
ILN	8488	1015	--	1383	6.03	6.03	10212	10212	(5+6)-IV-2	(7+8)-IV-3	1.2
34.7	5601	2080	2887	765	6.03	6.03	10212	10212	(5+6)-IV-2	(7+8)-IV-3	1.2
CAMP	3131	3644	3881	--	6.03	6.03	10212	10212	(5+6)-IV-2	2	1.5
312.1	4696	2796	2624	534	6.03	6.03	10212	10212	(7+8)-III-3	(5+6)-III-2	1.4
FLN	7321	1904	--	1134	6.03	6.03	10212	10212	(7+8)-III-3	(5+6)-III-2	1.4

X	x-	d-	x-/d-	x+	d+	x+/d+	Mr-	Mr+	C-	C+	Stato-	Stato+
cm	cm	cm		cm	cm		kg*m	kg*m				
ILN	25.0	45.9	0.545	25.0	45.9	0.545	10212	10212	(5+6)-IV-2	(7+8)-IV-3	Parz.	Parz.
34.7	25.0	45.9	0.545	25.0	45.9	0.545	10212	10212	(5+6)-IV-2	(7+8)-IV-3	Parz.	Parz.
CAMP	25.0	45.9	0.545	25.0	45.9	0.545	10212	10212	(5+6)-IV-2	2	Parz.	Parz.
312.1	25.0	45.9	0.545	25.0	45.9	0.545	10212	10212	(7+8)-III-3	(5+6)-III-2	Parz.	Parz.
FLN	25.0	45.9	0.545	25.0	45.9	0.545	10212	10212	(7+8)-III-3	(5+6)-III-2	Parz.	Parz.

Verifica a taglio: $\cot(\theta) \sin=2.093, \cot(\theta) \text{Cen}=2.500, \cot(\theta) \text{Des}=2.093$ Comb: Sin=(7+8)-VIII-4

Cen=(7+8)-VIII-4 Des=(7+8)-VIII-4

Sez	Td	VRdns	VRcd	VRsd	VRd	Tpl	Mr	Dx	Staffe	CS
	kg	kg	kg	kg	kg	kg	kg*m	cm	cmq/m	
Sin	12481	--	34011	34011	34011	6478	10212	50.0	10.05	2.7
Cen	10093	--	30149	18739	18739	--	--	--	4.64	1.9

Sez	Td	VRdns	VRcd	VRsd	VRd	Tpl	Mr	Dx	Staffe	CS
Des	12173	--	34011	34011	34011	6478	10212	50.0	10.05	2.8

Trave: 122 [145,109], Pilastriate [--,9] Sez. R: By=30.0 cm Bz=50.0 cm L=611.9 cm Ln=612.7 cm
Criterio : CLS_TraviAlte - Verifica a flessione : **Verificato**

X	M-	M+	ΔM-	ΔM+	Afs	Afi	Mr-	Mr+	C-	C+	CS
cm	kg*m	kg*m	kg*m	kg*m	cmq	cmq	kg*m	kg*m			
ILN	10147	-1727	--	2481	6.03	6.03	10212	10212	2	(5+6)-IV-1	1.0
61.3	3655	1217	5472	1815	6.03	6.03	10212	10212	2	(5+6)-IV-1	1.1
CAMP	1784	7931	2850	--	6.03	6.03	10212	10212	(7+8)-IV-4	2	1.3
551.4	3486	-244	5399	1818	6.03	6.03	10212	10212	2	(7+8)-IV-4	1.1
FLN	9891	--	--	--	6.03	6.03	10212	10212	2		1.0

X	x-	d-	x-/d-	x+	d+	x+/d+	Mr-	Mr+	C-	C+	Stato-	Stato+
cm	cm	cm		cm	cm		kg*m	kg*m				
ILN	25.0	45.9	0.545	25.0	45.9	0.545	10212	10212	2	(5+6)-IV-1	Parz.	Parz.
61.3	25.0	45.9	0.545	25.0	45.9	0.545	10212	10212	2	(5+6)-IV-1	Parz.	Parz.
CAMP	25.0	45.9	0.545	25.0	45.9	0.545	10212	10212	(7+8)-IV-4	2	Parz.	Parz.
551.4	25.0	45.9	0.545	25.0	45.9	0.545	10212	10212	2	(7+8)-IV-4	Parz.	Parz.
FLN	25.0	45.9	0.545	--	--	--	10212	10212	2	1	Parz.	--

Verifica a taglio: cot(θ) Sin=2.093,cot(θ) Cen=2.500,cot(θ) Des=2.093 Comb: Sin=2 Cen=2 Des=2

Sez	Td	VRdns	VRcd	VRsd	VRd	Tpl	Mr	Dx	Staffe	CS
	kg	kg	kg	kg	kg	kg	kg*m	cm	cmq/m	
Sin	11771	--	34011	34011	34011	0	0	50.0	10.05	2.9
Cen	9423	--	30149	18574	18574	--	--	--	4.60	2.0
Des	11169	--	34011	34011	34011	0	0	50.0	10.05	3.0

Trave: 123 [146,111], Pilastriate [--,11] Sez. R: By=30.0 cm Bz=50.0 cm L=611.9 cm Ln=612.7 cm
Criterio : CLS_TraviAlte - Verifica a flessione : **Verificato**

X	M-	M+	ΔM-	ΔM+	Afs	Afi	Mr-	Mr+	C-	C+	CS
cm	kg*m	kg*m	kg*m	kg*m	cmq	cmq	kg*m	kg*m			
ILN	8384	-769	--	2188	6.03	6.03	10212	10212	2	(5+6)-II-1	1.2
61.3	4486	1828	3192	1520	6.03	6.03	10212	10212	(7+8)-II-4	(5+6)-II-1	1.3
CAMP	1920	6467	4786	--	6.03	6.03	10212	10212	2	2	1.5
551.4	7599	--	5966	--	10.05	6.03	16750	10211	2	1	1.2
FLN	14678	--	--	--	10.05	6.03	16750	10211	2	1	1.1

X	x-	d-	x-/d-	x+	d+	x+/d+	Mr-	Mr+	C-	C+	Stato-	Stato+
cm	cm	cm		cm	cm		kg*m	kg*m				
ILN	25.0	45.9	0.545	25.0	45.9	0.545	10212	10212	2	(5+6)-II-1	Parz.	Parz.
61.3	25.0	45.9	0.545	25.0	45.9	0.545	10212	10212	(7+8)-II-4	(5+6)-II-1	Parz.	Parz.
CAMP	25.0	45.9	0.545	25.0	45.9	0.545	10212	10212	2	2	Parz.	Parz.
551.4	25.0	45.9	0.545	--	--	--	16750	10211	2	1	Parz.	--
FLN	25.0	45.9	0.545	--	--	--	16750	10211	2	1	Parz.	--

Verifica a taglio: cot(θ) Sin=2.093,cot(θ) Cen=2.500,cot(θ) Des=2.093 Comb: Sin=2 Cen=2 Des=2

Sez	Td	VRdns	VRcd	VRsd	VRd	Tpl	Mr	Dx	Staffe	CS
	kg	kg	kg	kg	kg	kg	kg*m	cm	cmq/m	
Sin	10730	--	34011	34011	34011	0	0	50.0	10.05	3.2
Cen	10445	--	30149	18574	18574	--	--	--	4.60	1.8
Des	12270	--	34011	34011	34011	0	0	50.0	10.05	2.8

Trave: 124 [103,107], Pilastriate [2,6] Sez. R: By=30.0 cm Bz=50.0 cm L=424.5 cm Ln=424.5 cm
Criterio : CLS_TraviAlte - Verifica a flessione : **Verificato**

X	M-	M+	ΔM-	ΔM+	Afs	Afi	Mr-	Mr+	C-	C+	CS
cm	kg*m	kg*m	kg*m	kg*m	cmq	cmq	kg*m	kg*m			
ILN	5620	1271	--	1840	6.03	6.03	10212	10212	(7+8)-II-4	(5+6)-II-1	1.8
42.4	2699	2889	2921	1109	6.03	6.03	10212	10212	(7+8)-II-4	(5+6)-II-1	1.8

X	M-	M+	ΔM_-	ΔM_+	Afs	Afi	Mr-	Mr+	C-	C+	CS
CAMP	2522	5992	6351	--	6.03	6.03	10212	10212	2	2	1.2
382.0	7557	-1705	6080	2379	10.05	6.03	16750	10211	2	(7+8)-II-4	1.2
FLN	13637	--	--	--	10.05	6.03	16750	10211	2	1	1.2

X	x-	d-	x-/d-	x+	d+	x+/d+	Mr-	Mr+	C-	C+	Stato-	Stato+
cm	cm	cm		cm	cm		kg*m	kg*m				
ILN	25.0	45.9	0.545	25.0	45.9	0.545	10212	10212	(7+8)-II-4	(5+6)-II-1	Parz.	Parz.
42.4	25.0	45.9	0.545	25.0	45.9	0.545	10212	10212	(7+8)-II-4	(5+6)-II-1	Parz.	Parz.
CAMP	25.0	45.9	0.545	25.0	45.9	0.545	10212	10212	2	2	Parz.	Parz.
382.0	25.0	45.9	0.545	25.0	45.9	0.545	16750	10211	2	(7+8)-II-4	Parz.	Parz.
FLN	25.0	45.9	0.545	--	--	--	16750	10211	2	1	Parz.	--

Verifica a taglio: $\cot(\theta) \sin=2.093, \cot(\theta) \text{Cen}=2.500, \cot(\theta) \text{Des}=2.093$ Comb: Sin=2 Cen=2 Des=2

Sez	Td	VRdns	VRcd	VRsd	VRd	Tpl	Mr	Dx	Staffe	CS
	kg	kg	kg	kg	kg	kg	kg*m	cm	cmq/m	
Sin	10642	--	34011	34011	34011	0	0	50.0	10.05	3.2
Cen	10492	--	30149	19057	19057	--	--	--	4.72	1.8
Des	15185	--	34011	34011	34011	0	0	50.0	10.05	2.2

Trave: 124 [107,113], Pilastriate [6,12] Sez. R: By=30.0 cm Bz=50.0 cm L=346.8 cm Ln=346.8 cm
Criterio : CLS_TraviAlte - Verifica a flessione : **Verificato**

X	M-	M+	ΔM_-	ΔM_+	Afs	Afi	Mr-	Mr+	C-	C+	CS
cm	kg*m	kg*m	kg*m	kg*m	cmq	cmq	kg*m	kg*m			
ILN	7792	1108	--	1656	6.03	6.03	10212	10212	(5+6)-II-4	(7+8)-II-1	1.3
34.7	5119	2357	2673	1036	6.03	6.03	10212	10212	(5+6)-II-4	(7+8)-II-1	1.3
CAMP	2862	4368	3564	--	6.03	6.03	10212	10212	(5+6)-II-4	2	1.6
312.1	2656	-1166	2464	3413	6.03	6.03	10212	10212	(5+6)-II-1	2	2.0
FLN	5120	243	--	1364	6.03	6.03	10212	10212	(5+6)-II-1	(7+8)-II-4	2.0

X	x-	d-	x-/d-	x+	d+	x+/d+	Mr-	Mr+	C-	C+	Stato-	Stato+
cm	cm	cm		cm	cm		kg*m	kg*m				
ILN	25.0	45.9	0.545	25.0	45.9	0.545	10212	10212	(5+6)-II-4	(7+8)-II-1	Parz.	Parz.
34.7	25.0	45.9	0.545	25.0	45.9	0.545	10212	10212	(5+6)-II-4	(7+8)-II-1	Parz.	Parz.
CAMP	25.0	45.9	0.545	25.0	45.9	0.545	10212	10212	(5+6)-II-4	2	Parz.	Parz.
312.1	25.0	45.9	0.545	25.0	45.9	0.545	10212	10212	(5+6)-II-1	2	Parz.	Parz.
FLN	25.0	45.9	0.545	25.0	45.9	0.545	10212	10212	(5+6)-II-1	(7+8)-II-4	Parz.	Parz.

Verifica a taglio: $\cot(\theta) \sin=2.093, \cot(\theta) \text{Cen}=2.500, \cot(\theta) \text{Des}=2.093$ Comb: Sin=2 Cen=(5+6)-II-4 Des=(7+8)-II-4

Sez	Td	VRdns	VRcd	VRsd	VRd	Tpl	Mr	Dx	Staffe	CS
	kg	kg	kg	kg	kg	kg	kg*m	cm	cmq/m	
Sin	11666	--	34011	34011	34011	0	0	50.0	10.05	2.9
Cen	9027	--	30149	18739	18739	--	--	--	4.64	2.1
Des	10465	--	34011	34011	34011	0	0	50.0	10.05	3.3

Trave: 124 [113,115], Pilastriate [12,14] Sez. R: By=85.0 cm Bz=25.0 cm L=306.1 cm Ln=335.8 cm
Criterio : CLS_TraviSpessore - Verifica a flessione : **Verificato**

X	M-	M+	ΔM_-	ΔM_+	Afs	Afi	Mr-	Mr+	C-	C+	CS
cm	kg*m	kg*m	kg*m	kg*m	cmq	cmq	kg*m	kg*m			
ILN	1765	-11	--	66	9.05	9.05	6889	6889	(5+6)-II-4	(7+8)-II-1	3.9
33.6	1224	83	378	15	9.05	9.05	6889	6889	(5+6)-II-4	(7+8)-II-1	4.3
CAMP	1303	516	343	--	9.05	9.05	6889	6889	(7+8)-II-1	(5+6)-II-4	4.2
302.3	1793	473	394	34	9.05	9.05	6889	6889	(7+8)-II-1	(5+6)-II-4	3.1
FLN	2356	357	--	81	9.05	9.05	6889	6889	(7+8)-II-1	(5+6)-II-4	2.9

X	x-	d-	x-/d-	x+	d+	x+/d+	Mr-	Mr+	C-	C+	Stato-	Stato+
cm	cm	cm		cm	cm		kg*m	kg*m				
ILN	12.5	20.9	0.598	12.5	20.9	0.598	6889	6889	(5+6)-II-4	(7+8)-II-1	Parz.	Parz.

X	x-	d-	x-/d-	x+	d+	x+/d+	Mr-	Mr+	C-	C+	Stato-	Stato+
cm	cm	cm		cm	cm		kg*m	kg*m				
33.6	12.5	20.9	0.598	12.5	20.9	0.598	6889	6889	(5+6)-II-4	(7+8)-II-1	Parz.	Parz.
CAMP	12.5	20.9	0.598	12.5	20.9	0.598	6889	6889	(7+8)-II-1	(5+6)-II-4	Parz.	Parz.
302.3	12.5	20.9	0.598	12.5	20.9	0.598	6889	6889	(7+8)-II-1	(5+6)-II-4	Parz.	Parz.
FLN	12.5	20.9	0.598	12.5	20.9	0.598	6889	6889	(7+8)-II-1	(5+6)-II-4	Parz.	Parz.

Verifica a taglio: cot(θ) Sin=2.500,cot(θ) Cen=2.500,cot(θ) Des=2.500 Comb: Sin=(7+8)-VIII-4
Cen=(7+8)-VIII-4 Des=(7+8)-VIII-4

Sez	Td	VRdns	VRcd	VRsd	VRd	Tpl	Mr	Dx	Staffe	CS
	kg	kg	kg	kg	kg	kg	kg*m	cm	cmq/m	
Sin	5599	--	38896	36998	36998	4513	6889	25.0	20.11	6.6
Cen	5382	--	38896	26427	26427	--	--	--	14.36	4.9
Des	5599	--	38896	36998	36998	4513	6889	25.0	20.11	6.6

Trave: 124 [115,117], Pilastriate [14,19] Sez. R: By=85.0 cm Bz=25.0 cm L=351.2 cm Ln=351.2 cm
Criterio : CLS_TraviSpessore - Verifica a flessione : **Verificato**

X	M-	M+	ΔM -	ΔM +	Afs	Afi	Mr-	Mr+	C-	C+	CS
cm	kg*m	kg*m	kg*m	kg*m	cmq	cmq	kg*m	kg*m			
ILN	3601	-732	--	790	9.05	9.05	6889	6889	2	(5+6)-II-1	1.9
35.1	996	448	1744	549	9.05	9.05	6889	6889	2	(5+6)-II-1	2.5
CAMP	1137	2883	1781	--	9.05	9.05	6889	6889	2		2.4
316.1	3797	--	2222	--	11.06	9.05	8231	6891	2	1	1.4
FLN	7116	--	--	--	11.06	13.07	8230	9565	2	1	1.2

X	x-	d-	x-/d-	x+	d+	x+/d+	Mr-	Mr+	C-	C+	Stato-	Stato+
cm	cm	cm		cm	cm		kg*m	kg*m				
ILN	12.5	20.9	0.598	12.5	20.9	0.598	6889	6889	2	(5+6)-II-1	Parz.	Parz.
35.1	12.5	20.9	0.598	12.5	20.9	0.598	6889	6889	2	(5+6)-II-1	Parz.	Parz.
CAMP	12.5	20.9	0.598	12.5	20.9	0.598	6889	6889	2	2	Parz.	Parz.
316.1	12.5	20.9	0.598	--	--	--	8231	6891	2	1	Parz.	--
FLN	12.5	20.9	0.598	--	--	--	8230	9565	2	1	Parz.	--

Verifica a taglio: cot(θ) Sin=2.500,cot(θ) Cen=2.500,cot(θ) Des=2.500 Comb: Sin=(7+8)-VIII-4
Cen=(7+8)-VIII-4 Des=2

Sez	Td	VRdns	VRcd	VRsd	VRd	Tpl	Mr	Dx	Staffe	CS
	kg	kg	kg	kg	kg	kg	kg*m	cm	cmq/m	
Sin	10292	--	38896	36998	36998	5154	6889	25.0	20.11	3.6
Cen	9293	--	38896	26602	26602	--	--	--	14.46	2.9
Des	10264	--	38896	36998	36998	5154	9565	25.0	20.11	3.6

Trave: 124 [117,126], Pilastriate [19,25] Sez. R: By=85.0 cm Bz=25.0 cm L=435.2 cm Ln=420.2 cm
Criterio : CLS_TraviSpessore - Verifica a flessione : **Verificato**

X	M-	M+	ΔM -	ΔM +	Afs	Afi	Mr-	Mr+	C-	C+	CS
cm	kg*m	kg*m	kg*m	kg*m	cmq	cmq	kg*m	kg*m			
ILN	8129	--	--	--	13.07	13.07	9564	9564	2	1	1.2
42.0	3718	--	2468	--	9.05	9.05	6889	6889	2	1	1.1
CAMP	238	4584	1947	--	9.05	9.05	6889	6889	2	2	1.5
378.2	2106	43	2217	812	9.05	9.05	6889	6889	2	(5+6)-II-4	1.6
FLN	6069	--	--	--	9.05	9.05	6889	6889	2	1	1.1

X	x-	d-	x-/d-	x+	d+	x+/d+	Mr-	Mr+	C-	C+	Stato-	Stato+
cm	cm	cm		cm	cm		kg*m	kg*m				
ILN	12.5	20.9	0.598	--	--	--	9564	9564	2	1	Parz.	--
42.0	12.5	20.9	0.598	--	--	--	6889	6889	2	1	Parz.	--
CAMP	12.5	20.9	0.598	12.5	20.9	0.598	6889	6889	2	2	Parz.	Parz.
378.2	12.5	20.9	0.598	12.5	20.9	0.598	6889	6889	2	(5+6)-II-4	Parz.	Parz.
FLN	12.5	20.9	0.598	--	--	--	6889	6889	2	1	Parz.	--

Verifica a taglio: cot(θ) Sin=2.500,cot(θ) Cen=2.500,cot(θ) Des=2.500 Comb: Sin=2 Cen=2

Des=(5+6)-VIII-4

Sez	Td	VRdns	VRcd	VRsd	VRd	Tpl	Mr	Dx	Staffe	CS
	kg	kg	kg	kg	kg	kg	kg*m	cm	cmq/m	
Sin	11486	--	38896	36998	36998	4307	9564	25.0	20.11	3.2
Cen	9396	--	38896	26427	26427	--	--	--	14.36	2.8
Des	10088	--	38896	36998	36998	4307	6889	25.0	20.11	3.7

Trave: 125 [0,0], Pilastrate [--,--] Sez. R: By=90.0 cm Bz=20.0 cm L=331.3 cm Ln=331.3 cm

Criterio : CLS_TraviSpessore - Verifica a flessione : **Verificato**

X	M-	M+	ΔM-	ΔM+	Afs	Afi	Mr-	Mr+	C-	C+	CS
cm	kg*m	kg*m	kg*m	kg*m	cmq	cmq	kg*m	kg*m			
ILN	3341	84	--	267	7.04	7.04	4203	4203	(5+6)-IV-2	(7+8)-IV-3	1.3
33.1	1951	579	751	176	7.04	7.04	4203	4203	(5+6)-IV-2	(7+8)-IV-3	1.6
CAMP	906	1996	671	--	7.04	7.04	4203	4203	(5+6)-IV-3	2	2.1
298.2	2148	463	817	210	7.04	7.04	4203	4203	(5+6)-IV-3	(7+8)-IV-2	1.4
FLN	3699	-117	--	313	7.04	7.04	4203	4203		2	(7+8)-IV-2
											1.1

X	x-	d-	x-/d-	x+	d+	x+/d+	Mr-	Mr+	C-	C+	Stato-	Stato+
cm	cm	cm		cm	cm		kg*m	kg*m				
ILN	10.0	15.9	0.629	10.0	15.9	0.629	4203	4203	(5+6)-IV-2	(7+8)-IV-3	Parz.	Parz.
33.1	10.0	15.9	0.629	10.0	15.9	0.629	4203	4203	(5+6)-IV-2	(7+8)-IV-3	Parz.	Parz.
CAMP	10.0	15.9	0.629	10.0	15.9	0.629	4203	4203	(5+6)-IV-3	2	Parz.	Parz.
298.2	10.0	15.9	0.629	10.0	15.9	0.629	4203	4203	(5+6)-IV-3	(7+8)-IV-2	Parz.	Parz.
FLN	10.0	15.9	0.629	10.0	15.9	0.629	4203	4203		2	(7+8)-IV-2	Parz.
												Parz.

Verifica a taglio: cot(θ) Sin=2.248,cot(θ) Cen=2.500,cot(θ) Des=2.248 Comb: Sin=(5+6)-VIII-4

Cen=(5+6)-VIII-4 Des=2

Sez	Td	VRdns	VRcd	VRsd	VRd	Tpl	Mr	Dx	Staffe	CS
	kg	kg	kg	kg	kg	kg	kg*m	cm	cmq/m	
Sin	6553	--	33743	33743	33743	2791	4203	20.0	26.81	5.1
Cen	6005	--	31331	20290	20290	--	--	--	14.49	3.4
Des	6797	--	33743	33743	33743	2791	4203	20.0	26.81	5.0

Trave: 126 [98,96], Pilastrate [--,--] Sez. R: By=80.0 cm Bz=20.0 cm L=303.2 cm Ln=303.2 cm

Criterio : CLS_TraviSpessore - Verifica a flessione : **Verificato**

X	M-	M+	ΔM-	ΔM+	Afs	Afi	Mr-	Mr+	C-	C+	CS
cm	kg*m	kg*m	kg*m	kg*m	cmq	cmq	kg*m	kg*m			
ILN	2163	324	--	153	7.04	7.04	4113	4113	(5+6)-II-4	(7+8)-II-1	1.9
30.3	1323	584	495	89	7.04	7.04	4113	4113	(5+6)-II-4	(7+8)-II-1	2.3
CAMP	633	1121	417	--	7.04	7.04	4113	4113	(5+6)-II-1	2	3.7
272.9	1340	568	497	92	7.04	7.04	4113	4113	(5+6)-II-1	(7+8)-II-4	2.2
FLN	2183	304	--	156	7.04	7.04	4113	4113	(5+6)-II-1	(7+8)-II-4	1.9

X	x-	d-	x-/d-	x+	d+	x+/d+	Mr-	Mr+	C-	C+	Stato-	Stato+
cm	cm	cm		cm	cm		kg*m	kg*m				
ILN	10.0	15.9	0.629	10.0	15.9	0.629	4113	4113	(5+6)-II-4	(7+8)-II-1	Parz.	Parz.
30.3	10.0	15.9	0.629	10.0	15.9	0.629	4113	4113	(5+6)-II-4	(7+8)-II-1	Parz.	Parz.
CAMP	10.0	15.9	0.629	10.0	15.9	0.629	4113	4113	(5+6)-II-1	2	Parz.	Parz.
272.9	10.0	15.9	0.629	10.0	15.9	0.629	4113	4113	(5+6)-II-1	(7+8)-II-4	Parz.	Parz.
FLN	10.0	15.9	0.629	10.0	15.9	0.629	4113	4113	(5+6)-II-1	(7+8)-II-4	Parz.	Parz.

Verifica a taglio: cot(θ) Sin=2.093,cot(θ) Cen=2.500,cot(θ) Des=2.093 Comb: Sin=(5+6)-VIII-4

Cen=(5+6)-VIII-4 Des=(5+6)-VIII-4

Sez	Td	VRdns	VRcd	VRsd	VRd	Tpl	Mr	Dx	Staffe	CS
	kg	kg	kg	kg	kg	kg	kg*m	cm	cmq/m	
Sin	5233	--	31418	31418	31418	2984	4113	20.0	26.81	6.0
Cen	4783	--	27850	17645	17645	--	--	--	12.60	3.7
Des	5233	--	31418	31418	31418	2984	4113	20.0	26.81	6.0

Trave: 127 [112,157], Pilastrate [8,--] Sez. R: By=30.0 cm Bz=100.0 cm L=303.1 cm Ln=303.1 cm
 Criterio : CLS_TraviAlte_30x100 - Verifica a flessione : **Verificato**

X	M-	M+	ΔM-	ΔM+	Afs	Afi	Mr-	Mr+	C-	C+	CS
cm	kg*m	kg*m	kg*m	kg*m	cmq	cmq	kg*m	kg*m			
ILN	2640	377	--	--	10.05	10.05	36452	36452	(5+6)-VII-3	(7+8)-VII-2	14
30.3	1549	380	1090	--	10.05	10.05	36452	36452	(5+6)-VII-3	(5+6)-III-2	14
CAMP	-84	690	2723	619	10.05	10.05	36452	36452	(5+6)-VII-3	(7+8)-VIII-4	14
272.8	1249	1034	686	276	10.05	10.05	36452	36452	(5+6)-VIII-1	(7+8)-VIII-4	19
FLN	1935	1310	--	--	10.05	10.05	36452	36452	(5+6)-VIII-1	(7+8)-VIII-4	19

X	x-	d-	x-/d-	x+	d+	x+/d+	Mr-	Mr+	C-	C+	Stato-	Stato+
cm	cm	cm		cm	cm		kg*m	kg*m				
ILN	50.0	95.9	0.521	50.0	95.9	0.521	36452	36452	(5+6)-VII-3	(7+8)-VII-2	Parz.	Parz.
30.3	50.0	95.9	0.521	50.0	95.9	0.521	36452	36452	(5+6)-VII-3	(5+6)-III-2	Parz.	Parz.
CAMP	50.0	95.9	0.521	50.0	95.9	0.521	36452	36452	(5+6)-VII-3	(7+8)-VIII-4	Parz.	Parz.
272.8	50.0	95.9	0.521	50.0	95.9	0.521	36452	36452	(5+6)-VIII-1	(7+8)-VIII-4	Parz.	Parz.
FLN	50.0	95.9	0.521	50.0	95.9	0.521	36452	36452	(5+6)-VIII-1	(7+8)-VIII-4	Parz.	Parz.

Verifica a taglio: cot(θ) Sin=2.093, cot(θ) Cen=2.500, cot(θ) Des=2.093 Comb: Sin=(5+6)-V-4
 Cen=(5+6)-VIII-4 Des=(5+6)-IV-3

Sez	Td	VRdns	VRcd	VRsd	VRd	Tpl	Mr	Dx	Staffe	CS
	kg	kg	kg	kg	kg	kg	kg*m	cm	cmq/m	
Sin	6594	--	71060	71060	71060	0	0	100.0	10.05	11
Cen	2573	--	62991	41465	41465	--	--	--	4.91	16
Des	4866	--	71060	71060	71060	0	0	100.0	10.05	15

Trave: 128 [119,120], Pilastrate [16,17] Sez. R: By=55.0 cm Bz=25.0 cm L=427.6 cm Ln=397.8 cm
 Criterio : CLS_TraviSpessore - Verifica a flessione : **Verificato**

X	M-	M+	ΔM-	ΔM+	Afs	Afi	Mr-	Mr+	C-	C+	CS
cm	kg*m	kg*m	kg*m	kg*m	cmq	cmq	kg*m	kg*m			
ILN	1253	652	--	26	7.04	7.04	5247	5247	(7+8)-VII-4	(5+6)-VII-1	4.2
39.8	831	697	249	--	7.04	7.04	5247	5247	(7+8)-VII-4	(5+6)-VII-1	4.9
CAMP	673	682	256	9	7.04	7.04	5247	5247	(5+6)-V-1	(5+6)-VII-1	5.6
358.0	1106	418	291	31	7.04	7.04	5247	5247	(5+6)-V-1	(7+8)-V-4	3.8
FLN	1599	305	--	67	7.04	7.04	5247	5247	(5+6)-V-1	(7+8)-V-4	3.3

X	x-	d-	x-/d-	x+	d+	x+/d+	Mr-	Mr+	C-	C+	Stato-	Stato+
cm	cm	cm		cm	cm		kg*m	kg*m				
ILN	12.5	20.9	0.598	12.5	20.9	0.598	5247	5247	(7+8)-VII-4	(5+6)-VII-1	Parz.	Parz.
39.8	12.5	20.9	0.598	12.5	20.9	0.598	5247	5247	(7+8)-VII-4	(5+6)-VII-1	Parz.	Parz.
CAMP	12.5	20.9	0.598	12.5	20.9	0.598	5247	5247	(5+6)-V-1	(5+6)-VII-1	Parz.	Parz.
358.0	12.5	20.9	0.598	12.5	20.9	0.598	5247	5247	(5+6)-V-1	(7+8)-V-4	Parz.	Parz.
FLN	12.5	20.9	0.598	12.5	20.9	0.598	5247	5247	(5+6)-V-1	(7+8)-V-4	Parz.	Parz.

Verifica a taglio: cot(θ) Sin=1.983, cot(θ) Cen=2.500, cot(θ) Des=1.983 Comb: Sin=(7+8)-VIII-4
 Cen=(7+8)-VIII-4 Des=(7+8)-VIII-4

Sez	Td	VRdns	VRcd	VRsd	VRd	Tpl	Mr	Dx	Staffe	CS
	kg	kg	kg	kg	kg	kg	kg*m	cm	cmq/m	
Sin	3646	--	29345	29345	29345	2902	5247	25.0	20.11	8.0
Cen	3501	--	25168	15497	15497	--	--	--	8.42	4.4
Des	3651	--	29345	29345	29345	2902	5247	25.0	20.11	8.0

Trave: 128 [120,121], Pilastrate [17,18] Sez. R: By=55.0 cm Bz=25.0 cm L=315.9 cm Ln=375.9 cm
 Criterio : CLS_TraviSpessore - Verifica a flessione : **Verificato**

X	M-	M+	ΔM-	ΔM+	Afs	Afi	Mr-	Mr+	C-	C+	CS
cm	kg*m	kg*m	kg*m	kg*m	cmq	cmq	kg*m	kg*m			
ILN	2090	1368	--	--	7.04	7.04	5247	5247	(5+6)-V-4	(7+8)-V-1	2.5
37.6	1540	1231	344	86	7.04	7.04	5247	5247	(5+6)-V-4	(7+8)-V-1	2.8

X	M-	M+	ΔM-	ΔM+	Afs	Afi	Mr-	Mr+	C-	C+	CS
CAMP	1088	1045	329	116	7.04	7.04	5247	5247	(5+6)-V-1	(7+8)-V-1	3.7
338.3	1614	1115	359	71	7.04	7.04	5247	5247	(5+6)-V-1	(7+8)-V-4	2.7
FLN	2187	1228	--	--	7.04	7.04	5247	5247	(5+6)-V-1	(7+8)-V-4	2.4

X	x-	d-	x-/d-	x+	d+	x+/d+	Mr-	Mr+	C-	C+	Stato-	Stato+
cm	cm	cm		cm	cm		kg*m	kg*m				
ILN	12.5	20.9	0.598	12.5	20.9	0.598	5247	5247	(5+6)-V-4	(7+8)-V-1	Parz.	Parz.
37.6	12.5	20.9	0.598	12.5	20.9	0.598	5247	5247	(5+6)-V-4	(7+8)-V-1	Parz.	Parz.
CAMP	12.5	20.9	0.598	12.5	20.9	0.598	5247	5247	(5+6)-V-1	(7+8)-V-1	Parz.	Parz.
338.3	12.5	20.9	0.598	12.5	20.9	0.598	5247	5247	(5+6)-V-1	(7+8)-V-4	Parz.	Parz.
FLN	12.5	20.9	0.598	12.5	20.9	0.598	5247	5247	(5+6)-V-1	(7+8)-V-4	Parz.	Parz.

Verifica a taglio: $\cot(\theta) \sin=1.983, \cot(\theta) \text{Cen}=2.500, \cot(\theta) \text{Des}=1.983$ Comb: Sin=(7+8)-VIII-4 Cen=(7+8)-VIII-4 Des=(7+8)-VIII-4

Sez	Td	VRdns	VRcd	VRsd	VRd	Tpl	Mr	Dx	Staffe	CS
	kg	kg	kg	kg	kg	kg	kg*m	cm	cmq/m	
Sin	3717	--	29345	29345	29345	3071	5247	25.0	20.11	7.9
Cen	3588	--	25168	15416	15416	--	--	--	8.38	4.3
Des	3717	--	29345	29345	29345	3071	5247	25.0	20.11	7.9

Trave: 128 [121,180], Pilastriate [18,--] Sez. R: By=55.0 cm Bz=25.0 cm L=540.5 cm Ln=511.4 cm Criterio : CLS_TraviSpessore - Verifica a flessione : **Verificato**

X	M-	M+	ΔM-	ΔM+	Afs	Afi	Mr-	Mr+	C-	C+	CS
cm	kg*m	kg*m	kg*m	kg*m	cmq	cmq	kg*m	kg*m			
ILN	2174	303	--	113	7.04	7.04	5247	5247	(5+6)-V-4	(7+8)-V-1	2.4
51.1	1476	549	321	68	7.04	7.04	5247	5247	(5+6)-V-4	(7+8)-V-1	2.9
CAMP	876	746	276	--	7.04	7.04	5247	5247	(5+6)-V-4	(7+8)-V-1	4.6
460.2	1030	561	295	42	7.04	7.04	5247	5247	(7+8)-V-1	(5+6)-V-4	4.0
FLN	1670	372	--	87	7.04	7.04	5247	5247	(7+8)-V-1	(5+6)-V-4	3.1

X	x-	d-	x-/d-	x+	d+	x+/d+	Mr-	Mr+	C-	C+	Stato-	Stato+
cm	cm	cm		cm	cm		kg*m	kg*m				
ILN	12.5	20.9	0.598	12.5	20.9	0.598	5247	5247	(5+6)-V-4	(7+8)-V-1	Parz.	Parz.
51.1	12.5	20.9	0.598	12.5	20.9	0.598	5247	5247	(5+6)-V-4	(7+8)-V-1	Parz.	Parz.
CAMP	12.5	20.9	0.598	12.5	20.9	0.598	5247	5247	(5+6)-V-4	(7+8)-V-1	Parz.	Parz.
460.2	12.5	20.9	0.598	12.5	20.9	0.598	5247	5247	(7+8)-V-1	(5+6)-V-4	Parz.	Parz.
FLN	12.5	20.9	0.598	12.5	20.9	0.598	5247	5247	(7+8)-V-1	(5+6)-V-4	Parz.	Parz.

Verifica a taglio: $\cot(\theta) \sin=1.983, \cot(\theta) \text{Cen}=2.500, \cot(\theta) \text{Des}=1.983$ Comb: Sin=(7+8)-VIII-4 Cen=(7+8)-VIII-4 Des=(7+8)-VIII-4

Sez	Td	VRdns	VRcd	VRsd	VRd	Tpl	Mr	Dx	Staffe	CS
	kg	kg	kg	kg	kg	kg	kg*m	cm	cmq/m	
Sin	3221	--	29345	29345	29345	2257	5247	25.0	20.11	9.1
Cen	3028	--	25168	15416	15416	--	--	--	8.38	5.1
Des	3221	--	29345	29345	29345	2257	5247	25.0	20.11	9.1

Trave: 129 [179,117], Pilastriate [--,19] Sez. R: By=55.0 cm Bz=25.0 cm L=424.2 cm Ln=455.2 cm Criterio : CLS_TraviSpessore - Verifica a flessione : **Verificato**

X	M-	M+	ΔM-	ΔM+	Afs	Afi	Mr-	Mr+	C-	C+	CS
cm	kg*m	kg*m	kg*m	kg*m	cmq	cmq	kg*m	kg*m			
ILN	1482	450	--	57	7.04	7.04	5247	5247	(7+8)-VII-4	(5+6)-VII-1	3.5
45.5	935	560	283	17	7.04	7.04	5247	5247	(7+8)-VII-4	(5+6)-VII-1	4.3
CAMP	849	711	265	--	7.04	7.04	5247	5247	(5+6)-VII-1	(7+8)-VII-4	4.7
409.7	1362	634	305	40	7.04	7.04	5247	5247	(5+6)-VII-1	(7+8)-VII-4	3.1
FLN	1954	479	--	80	7.04	7.04	5247	5247	(5+6)-VII-1	(7+8)-VII-4	2.7

X	x-	d-	x-/d-	x+	d+	x+/d+	Mr-	Mr+	C-	C+	Stato-	Stato+
cm	cm	cm		cm	cm		kg*m	kg*m				

X	x-	d-	x-/d-	x+	d+	x+/d+	Mr-	Mr+	C-	C+	Stato-	Stato+
ILN	12.5	20.9	0.598	12.5	20.9	0.598	5247	5247	(7+8)-VII-4	(5+6)-VII-1	Parz.	Parz.
45.5	12.5	20.9	0.598	12.5	20.9	0.598	5247	5247	(7+8)-VII-4	(5+6)-VII-1	Parz.	Parz.
CAMP	12.5	20.9	0.598	12.5	20.9	0.598	5247	5247	(5+6)-VII-1	(7+8)-VII-4	Parz.	Parz.
409.7	12.5	20.9	0.598	12.5	20.9	0.598	5247	5247	(5+6)-VII-1	(7+8)-VII-4	Parz.	Parz.
FLN	12.5	20.9	0.598	12.5	20.9	0.598	5247	5247	(5+6)-VII-1	(7+8)-VII-4	Parz.	Parz.

Verifica a taglio: $\cot(\theta) \sin=1.983, \cot(\theta) \text{Cen}=2.500, \cot(\theta) \text{Des}=1.983$ Comb: Sin=(5+6)-VIII-4
Cen=(7+8)-VIII-4 Des=(7+8)-VIII-4

Sez	Td	VRdns	VRcd	VRsd	VRd	Tpl	Mr	Dx	Staffe	CS
	kg	kg	kg	kg	kg	kg	kg*m	cm	cmq/m	
Sin	3393	--	29345	29345	29345	2536	5247	25.0	20.11	8.6
Cen	3221	--	25168	15680	15680	--	--	--	8.52	4.9
Des	3392	--	29345	29345	29345	2536	5247	25.0	20.11	8.7

Trave: 129 [117,118], Pilastrate [19,20] Sez. R: By=55.0 cm Bz=25.0 cm L=482.2 cm Ln=452.4 cm
Criterio : CLS_TraviSpessore - Verifica a flessione : **Verificato**

X	M-	M+	ΔM-	ΔM+	Afs	Afi	Mr-	Mr+	C-	C+	CS
cm	kg*m	kg*m	kg*m	kg*m	cmq	cmq	kg*m	kg*m			
ILN	2086	381	--	74	7.04	7.04	5247	5247	(5+6)-V-4	(7+8)-V-1	2.5
45.2	1444	523	334	34	7.04	7.04	5247	5247	(5+6)-V-4	(7+8)-V-1	3.0
CAMP	878	899	294	14	7.04	7.04	5247	5247	(5+6)-V-4	(5+6)-V-4	4.5
407.1	1115	926	286	--	7.04	7.04	5247	5247	(7+8)-V-1	(5+6)-V-4	3.7
FLN	1666	875	--	26	7.04	7.04	5247	5247	(7+8)-V-1	(5+6)-V-4	3.1

X	x-	d-	x-/d-	x+	d+	x+/d+	Mr-	Mr+	C-	C+	Stato-	Stato+
cm	cm	cm		cm	cm		kg*m	kg*m				
ILN	12.5	20.9	0.598	12.5	20.9	0.598	5247	5247	(5+6)-V-4	(7+8)-V-1	Parz.	Parz.
45.2	12.5	20.9	0.598	12.5	20.9	0.598	5247	5247	(5+6)-V-4	(7+8)-V-1	Parz.	Parz.
CAMP	12.5	20.9	0.598	12.5	20.9	0.598	5247	5247	(5+6)-V-4	(5+6)-V-4	Parz.	Parz.
407.1	12.5	20.9	0.598	12.5	20.9	0.598	5247	5247	(7+8)-V-1	(5+6)-V-4	Parz.	Parz.
FLN	12.5	20.9	0.598	12.5	20.9	0.598	5247	5247	(7+8)-V-1	(5+6)-V-4	Parz.	Parz.

Verifica a taglio: $\cot(\theta) \sin=1.983, \cot(\theta) \text{Cen}=2.500, \cot(\theta) \text{Des}=1.983$ Comb: Sin=(7+8)-VIII-4
Cen=(7+8)-VIII-4 Des=(7+8)-VIII-4

Sez	Td	VRdns	VRcd	VRsd	VRd	Tpl	Mr	Dx	Staffe	CS
	kg	kg	kg	kg	kg	kg	kg*m	cm	cmq/m	
Sin	3404	--	29345	29345	29345	2552	5247	25.0	20.11	8.6
Cen	3233	--	25168	15416	15416	--	--	--	8.38	4.8
Des	3399	--	29345	29345	29345	2552	5247	25.0	20.11	8.6

Trave: 130 [158,120], Pilastrate [--,17] Sez. R: By=85.0 cm Bz=25.0 cm L=355.9 cm Ln=371.1 cm
Criterio : CLS_TraviSpessore - Verifica a flessione : **Verificato**

X	M-	M+	ΔM-	ΔM+	Afs	Afi	Mr-	Mr+	C-	C+	CS
cm	kg*m	kg*m	kg*m	kg*m	cmq	cmq	kg*m	kg*m			
ILN	3611	--	--	--	9.05	9.05	6889	6889	2	1	1.9
37.1	1064	170	1613	550	9.05	9.05	6889	6889	2	(5+6)-VIII-1	2.6
CAMP	1044	2824	1635	--	9.05	9.05	6889	6889	2	2	2.4
334.0	3623	--	2043	--	9.05	9.05	6889	6889	2	1	1.2
FLN	6849	--	--	--	11.06	11.06	8230	8230	2	1	1.2

X	x-	d-	x-/d-	x+	d+	x+/d+	Mr-	Mr+	C-	C+	Stato-	Stato+
cm	cm	cm		cm	cm		kg*m	kg*m				
ILN	12.5	20.9	0.598	--	--	--	6889	6889	2	1	Parz.	--
37.1	12.5	20.9	0.598	12.5	20.9	0.598	6889	6889	2	(5+6)-VIII-1	Parz.	Parz.
CAMP	12.5	20.9	0.598	12.5	20.9	0.598	6889	6889	2	2	Parz.	Parz.
334.0	12.5	20.9	0.598	--	--	--	6889	6889	2	1	Parz.	--
FLN	12.5	20.9	0.598	--	--	--	8230	8230	2	1	Parz.	--

Verifica a taglio: $\cot(\theta) \sin=2.500, \cot(\theta) \text{Cen}=2.500, \cot(\theta) \text{Des}=2.500$ Comb: Sin=(7+8)-VIII-4

Cen=(7+8)-VIII-4 Des=2

Sez	Td	VRdns	VRcd	VRsd	VRd	Tpl	Mr	Dx	Staffe	CS
	kg	kg	kg	kg	kg	kg	kg*m	cm	cmq/m	
Sin	9044	--	38896	36998	36998	4481	6889	25.0	20.11	4.1
Cen	8357	--	38896	26427	26427	--	--	--	14.36	3.2
Des	9560	--	38896	36998	36998	4481	8230	25.0	20.11	3.9

Trave: 130 [120,122], Pilastrate [17,21] Sez. R: By=85.0 cm Bz=25.0 cm L=430.5 cm Ln=415.5 cm
Criterio : CLS_TraviSpessore - Verifica a flessione : **Verificato**

X	M-	M+	ΔM-	ΔM+	Afs	Afi	Mr-	Mr+	C-	C+	CS
cm	kg*m	kg*m	kg*m	kg*m	cmq	cmq	kg*m	kg*m			
ILN	7462	--	--	--	11.06	11.06	8230	8230	2	1	1.1
41.5	3538	--	2220	--	9.05	9.05	6889	6889	2	1	1.2
CAMP	419	4080	1765	--	9.05	9.05	6889	6889	2	2	1.7
373.9	1275	480	1878	666	9.05	9.05	6889	6889	2	(5+6)-IV-2	2.2
FLN	4594	--	--	--	9.05	9.05	6889	6889	2	1	1.5

X	x-	d-	x-/d-	x+	d+	x+/d+	Mr-	Mr+	C-	C+	Stato-	Stato+
cm	cm	cm		cm	cm		kg*m	kg*m				
ILN	12.5	20.9	0.598	--	--	--	8230	8230	2	1	Parz.	--
41.5	12.5	20.9	0.598	--	--	--	6889	6889	2	1	Parz.	--
CAMP	12.5	20.9	0.598	12.5	20.9	0.598	6889	6889	2	2	Parz.	Parz.
373.9	12.5	20.9	0.598	12.5	20.9	0.598	6889	6889	2	(5+6)-IV-2	Parz.	Parz.
FLN	12.5	20.9	0.598	--	--	--	6889	6889	2	1	Parz.	--

Verifica a taglio: cot(θ) Sin=2.500,cot(θ) Cen=2.500,cot(θ) Des=2.500 Comb: Sin=2 Cen=2 Des=(7+8)-VIII-4

Sez	Td	VRdns	VRcd	VRsd	VRd	Tpl	Mr	Dx	Staffe	CS
	kg	kg	kg	kg	kg	kg	kg*m	cm	cmq/m	
Sin	10308	--	38896	36998	36998	4003	8230	25.0	20.11	3.6
Cen	8481	--	38896	26427	26427	--	--	--	14.43	3.1
Des	9104	--	38896	36998	36998	4003	6889	25.0	20.11	4.1

Trave: 131 [114,121], Pilastrate [13,18] Sez. R: By=85.0 cm Bz=25.0 cm L=355.9 cm Ln=355.9 cm
Criterio : CLS_TraviSpessore - Verifica a flessione : **Verificato**

X	M-	M+	ΔM-	ΔM+	Afs	Afi	Mr-	Mr+	C-	C+	CS
cm	kg*m	kg*m	kg*m	kg*m	cmq	cmq	kg*m	kg*m			
ILN	4158	--	--	--	9.05	9.05	6889	6889	2	1	1.7
35.6	1403	134	1820	612	9.05	9.05	6889	6889	2	(5+6)-IV-1	2.1
CAMP	1055	2851	1759	--	9.05	9.05	6889	6889	2	2	2.4
320.3	3717	--	2203	--	9.05	9.05	6889	6889	2	1	1.2
FLN	7052	--	--	--	13.07	13.07	9564	9564	2	1	1.4

X	x-	d-	x-/d-	x+	d+	x+/d+	Mr-	Mr+	C-	C+	Stato-	Stato+
cm	cm	cm		cm	cm		kg*m	kg*m				
ILN	12.5	20.9	0.598	--	--	--	6889	6889	2	1	Parz.	--
35.6	12.5	20.9	0.598	12.5	20.9	0.598	6889	6889	2	(5+6)-IV-1	Parz.	Parz.
CAMP	12.5	20.9	0.598	12.5	20.9	0.598	6889	6889	2	2	Parz.	Parz.
320.3	12.5	20.9	0.598	--	--	--	6889	6889	2	1	Parz.	--
FLN	12.5	20.9	0.598	--	--	--	9564	9564	2	1	Parz.	--

Verifica a taglio: cot(θ) Sin=2.500,cot(θ) Cen=2.500,cot(θ) Des=2.500 Comb: Sin=(7+8)-VIII-4
Cen=(7+8)-VIII-4 Des=(7+8)-VIII-4

Sez	Td	VRdns	VRcd	VRsd	VRd	Tpl	Mr	Dx	Staffe	CS
	kg	kg	kg	kg	kg	kg	kg*m	cm	cmq/m	
Sin	10308	--	38896	36998	36998	5085	6889	25.0	20.11	3.6
Cen	9281	--	38896	26427	26427	--	--	--	14.36	2.8
Des	10244	--	38896	36998	36998	5085	9564	25.0	20.11	3.6

Trave: 131 [121,123], Pilastrate [18,22] Sez. R: By=85.0 cm Bz=25.0 cm L=430.5 cm Ln=400.5 cm
 Criterio : CLS_TraviSpessore - Verifica a flessione : **Verificato**

X	M-	M+	ΔM-	ΔM+	Afs	Afi	Mr-	Mr+	C-	C+	CS
cm	kg*m	kg*m	kg*m	kg*m	cmq	cmq	kg*m	kg*m			
ILN	8007	--	--	--	13.07	13.07	9564	9564	2	1	1.2
40.0	3830	--	2452	--	13.07	13.07	9564	9564	2	1	1.5
CAMP	500	4411	1955	--	9.05	9.05	6889	6889	2	2	1.6
360.4	896	574	2022	706	9.05	9.05	6889	6889	2	(5+6)-IV-2	2.4
FLN	4340	--	--	--	9.05	9.05	6889	6889	2	1	1.6

X	x-	d-	x-/d-	x+	d+	x+/d+	Mr-	Mr+	C-	C+	Stato-	Stato+
cm	cm	cm		cm	cm		kg*m	kg*m				
ILN	12.5	20.9	0.598	--	--	--	9564	9564	2	1	Parz.	--
40.0	12.5	20.9	0.598	--	--	--	9564	9564	2	1	Parz.	--
CAMP	12.5	20.9	0.598	12.5	20.9	0.598	6889	6889	2	2	Parz.	Parz.
360.4	12.5	20.9	0.598	12.5	20.9	0.598	6889	6889	2	(5+6)-IV-2	Parz.	Parz.
FLN	12.5	20.9	0.598	--	--	--	6889	6889	2	1	Parz.	--

Verifica a taglio: cot(θ) Sin=2.500,cot(θ) Cen=2.500,cot(θ) Des=2.500 Comb: Sin=2 Cen=2 Des=(7+8)-VIII-4

Sez	Td	VRdns	VRcd	VRsd	VRd	Tpl	Mr	Dx	Staffe	CS
	kg	kg	kg	kg	kg	kg	kg*m	cm	cmq/m	
Sin	11486	--	38896	36998	36998	4519	9564	25.0	20.11	3.2
Cen	9372	--	38896	26551	26551	--	--	--	14.43	2.8
Des	10342	--	38896	36998	36998	4519	6889	25.0	20.11	3.6

Trave: 132 [107,108], Pilastrate [6,7] Sez. R: By=85.0 cm Bz=25.0 cm L=525.0 cm Ln=525.0 cm
 Criterio : CLS_TraviSpessore - Verifica a flessione : **Verificato**

X	M-	M+	ΔM-	ΔM+	Afs	Afi	Mr-	Mr+	C-	C+	CS
cm	kg*m	kg*m	kg*m	kg*m	cmq	cmq	kg*m	kg*m			
ILN	2485	55	--	182	9.05	9.05	6889	6889	(5+6)-I-4	(7+8)-I-1	2.8
52.5	1517	460	434	116	9.05	9.05	6889	6889	(5+6)-I-4	(7+8)-I-1	3.5
CAMP	803	1221	343	--	9.05	9.05	6889	6889	(7+8)-I-1	(5+6)-I-4	5.6
472.5	1569	961	409	91	9.05	9.05	6889	6889	(7+8)-I-1	(5+6)-I-4	3.5
FLN	2481	612	--	157	9.05	9.05	6889	6889	(7+8)-I-1	(5+6)-I-4	2.8

X	x-	d-	x-/d-	x+	d+	x+/d+	Mr-	Mr+	C-	C+	Stato-	Stato+
cm	cm	cm		cm	cm		kg*m	kg*m				
ILN	12.5	20.9	0.598	12.5	20.9	0.598	6889	6889	(5+6)-I-4	(7+8)-I-1	Parz.	Parz.
52.5	12.5	20.9	0.598	12.5	20.9	0.598	6889	6889	(5+6)-I-4	(7+8)-I-1	Parz.	Parz.
CAMP	12.5	20.9	0.598	12.5	20.9	0.598	6889	6889	(7+8)-I-1	(5+6)-I-4	Parz.	Parz.
472.5	12.5	20.9	0.598	12.5	20.9	0.598	6889	6889	(7+8)-I-1	(5+6)-I-4	Parz.	Parz.
FLN	12.5	20.9	0.598	12.5	20.9	0.598	6889	6889	(7+8)-I-1	(5+6)-I-4	Parz.	Parz.

Verifica a taglio: cot(θ) Sin=2.500,cot(θ) Cen=2.500,cot(θ) Des=2.500 Comb: Sin=(7+8)-VIII-4
 Cen=(7+8)-VIII-4 Des=(7+8)-VIII-4

Sez	Td	VRdns	VRcd	VRsd	VRd	Tpl	Mr	Dx	Staffe	CS
	kg	kg	kg	kg	kg	kg	kg*m	cm	cmq/m	
Sin	4281	--	38896	36998	36998	2887	6889	25.0	20.11	8.6
Cen	4002	--	38896	26427	26427	--	--	--	14.36	6.6
Des	4281	--	38896	36998	36998	2887	6889	25.0	20.11	8.6

Trave: 133 [105,106], Pilastrate [4,5] Sez. R: By=85.0 cm Bz=25.0 cm L=526.5 cm Ln=526.5 cm
 Criterio : CLS_TraviSpessore - Verifica a flessione : **Verificato**

X	M-	M+	ΔM-	ΔM+	Afs	Afi	Mr-	Mr+	C-	C+	CS
cm	kg*m	kg*m	kg*m	kg*m	cmq	cmq	kg*m	kg*m			
ILN	2187	203	--	186	9.05	9.05	6889	6889	(7+8)-I-4	(5+6)-I-1	3.1
52.6	1313	619	390	120	9.05	9.05	6889	6889	(7+8)-I-4	(5+6)-I-1	4.0

X	M-	M+	ΔM-	ΔM+	Afs	Afi	Mr-	Mr+	C-	C+	CS
CAMP	598	1010	341	--	9.05	9.05	6889	6889	(5+6)-I-1	(5+6)-III-2	6.8
473.8	1361	382	406	136	9.05	9.05	6889	6889	(5+6)-I-1	(7+8)-I-4	3.9
FLN	2271	-69	--	201	9.05	9.05	6889	6889	(5+6)-I-1	(7+8)-I-4	3.0

X	x-	d-	x-/d-	x+	d+	x+/d+	Mr-	Mr+	C-	C+	Stato-	Stato+
cm	cm	cm		cm	cm		kg*m	kg*m				
ILN	12.5	20.9	0.598	12.5	20.9	0.598	6889	6889	(7+8)-I-4	(5+6)-I-1	Parz.	Parz.
52.6	12.5	20.9	0.598	12.5	20.9	0.598	6889	6889	(7+8)-I-4	(5+6)-I-1	Parz.	Parz.
CAMP	12.5	20.9	0.598	12.5	20.9	0.598	6889	6889	(5+6)-I-1	(5+6)-III-2	Parz.	Parz.
473.8	12.5	20.9	0.598	12.5	20.9	0.598	6889	6889	(5+6)-I-1	(7+8)-I-4	Parz.	Parz.
FLN	12.5	20.9	0.598	12.5	20.9	0.598	6889	6889	(5+6)-I-1	(7+8)-I-4	Parz.	Parz.

Verifica a taglio: cot(θ) Sin=2.500,cot(θ) Cen=2.500,cot(θ) Des=2.500 Comb: Sin=(7+8)-VIII-4
Cen=(5+6)-VIII-4 Des=(5+6)-VIII-4

Sez	Td	VRdns	VRcd	VRsd	VRd	Tpl	Mr	Dx	Staffe	CS
	kg	kg	kg	kg	kg	kg	kg*m	cm	cmq/m	
Sin	4277	--	38896	36998	36998	2879	6889	25.0	20.11	8.7
Cen	3997	--	38896	26427	26427	--	--	--	14.36	6.6
Des	4277	--	38896	36998	36998	2879	6889	25.0	20.11	8.7

Trave: 134 [104,110], Pilastrate [3,10] Sez. R: By=85.0 cm Bz=25.0 cm L=641.2 cm Ln=626.2 cm
Criterio : CLS_TraviSpessore - Verifica a flessione : **Verificato**

X	M-	M+	ΔM-	ΔM+	Afs	Afi	Mr-	Mr+	C-	C+	CS
cm	kg*m	kg*m	kg*m	kg*m	cmq	cmq	kg*m	kg*m			
ILN	1773	414	--	194	9.05	9.05	6889	6889	(7+8)-IV-4	(5+6)-IV-1	3.9
62.6	886	930	333	116	9.05	9.05	6889	6889	(7+8)-IV-4	(5+6)-IV-1	5.7
CAMP	1580	1338	506	--	9.05	9.05	6889	6889	2	(5+6)-IV-1	3.3
563.6	2926	--	607	--	9.05	9.05	6889	6889	2	1	1.9
FLN	4544	--	--	--	9.05	9.05	6889	6889	2	1	1.5

X	x-	d-	x-/d-	x+	d+	x+/d+	Mr-	Mr+	C-	C+	Stato-	Stato+
cm	cm	cm		cm	cm		kg*m	kg*m				
ILN	12.5	20.9	0.598	12.5	20.9	0.598	6889	6889	(7+8)-IV-4	(5+6)-IV-1	Parz.	Parz.
62.6	12.5	20.9	0.598	12.5	20.9	0.598	6889	6889	(7+8)-IV-4	(5+6)-IV-1	Parz.	Parz.
CAMP	12.5	20.9	0.598	12.5	20.9	0.598	6889	6889	2	(5+6)-IV-1	Parz.	Parz.
563.6	12.5	20.9	0.598	--	--	--	6889	6889	2	1	Parz.	--
FLN	12.5	20.9	0.598	--	--	--	6889	6889	2	1	Parz.	--

Verifica a taglio: cot(θ) Sin=2.500,cot(θ) Cen=2.500,cot(θ) Des=2.500 Comb: Sin=(7+8)-VIII-4
Cen=(7+8)-VIII-4 Des=(7+8)-VIII-4

Sez	Td	VRdns	VRcd	VRsd	VRd	Tpl	Mr	Dx	Staffe	CS
	kg	kg	kg	kg	kg	kg	kg*m	cm	cmq/m	
Sin	4084	--	38896	36998	36998	2420	6889	25.0	20.11	9.1
Cen	3751	--	38896	26467	26467	--	--	--	14.38	7.1
Des	4084	--	38896	36998	36998	2420	6889	25.0	20.11	9.1

Trave: 135 [110,167], Pilastrate [10,--] Sez. R: By=85.0 cm Bz=25.0 cm L=414.2 cm Ln=409.3 cm
Criterio : CLS_TraviSpessore - Verifica a flessione : **Verificato**

X	M-	M+	ΔM-	ΔM+	Afs	Afi	Mr-	Mr+	C-	C+	CS
cm	kg*m	kg*m	kg*m	kg*m	cmq	cmq	kg*m	kg*m			
ILN	1979	457	--	232	9.05	9.05	6889	6889	(5+6)-VIII-2	(7+8)-VIII-3	3.5
40.9	1051	862	533	168	9.05	9.05	6889	6889	(5+6)-VIII-2	(7+8)-VIII-3	4.3
CAMP	733	2089	652	--	9.05	9.05	6889	6889	(5+6)-VIII-3	2	3.3
368.4	1868	415	822	351	9.05	9.05	6889	6889	(5+6)-VIII-3	(7+8)-VIII-2	2.6
FLN	3301	-493	--	521	9.05	9.05	6889	6889	2	(7+8)-VIII-2	2.1

X	x-	d-	x-/d-	x+	d+	x+/d+	Mr-	Mr+	C-	C+	Stato-	Stato+
cm	cm	cm		cm	cm		kg*m	kg*m				

X	x-	d-	x-/d-	x+	d+	x+/d+	Mr-	Mr+	C-	C+	Stato-	Stato+
ILN	12.5	20.9	0.598	12.5	20.9	0.598	6889	6889	(5+6)-VIII-2	(7+8)-VIII-3	Parz.	Parz.
40.9	12.5	20.9	0.598	12.5	20.9	0.598	6889	6889	(5+6)-VIII-2	(7+8)-VIII-3	Parz.	Parz.
CAMP	12.5	20.9	0.598	12.5	20.9	0.598	6889	6889	(5+6)-VIII-3	2	Parz.	Parz.
368.4	12.5	20.9	0.598	12.5	20.9	0.598	6889	6889	(5+6)-VIII-3	(7+8)-VIII-2	Parz.	Parz.
FLN	12.5	20.9	0.598	12.5	20.9	0.598	6889	6889	2	(7+8)-VIII-2	Parz.	Parz.

Verifica a taglio: cot(θ) Sin=2.500,cot(θ) Cen=2.500,cot(θ) Des=2.500 Comb: Sin=(5+6)-VIII-4
Cen=(7+8)-VIII-4 Des=(7+8)-VIII-4

Sez	Td	VRdns	VRcd	VRsd	VRd	Tpl	Mr	Dx	Staffe	CS
	kg	kg	kg	kg	kg	kg	kg*m	cm	cmq/m	
Sin	5726	--	38896	36998	36998	3703	6889	25.0	20.11	6.5
Cen	5911	--	38896	26427	26427	--	--	--	14.36	4.5
Des	6662	--	38896	36998	36998	3703	6889	25.0	20.11	5.6

Trave: 136 [110,116], Pilastrate [10,15] Sez. R: By=85.0 cm Bz=25.0 cm L=582.3 cm Ln=623.0 cm
Criterio : CLS_TraviSpessore - Verifica a flessione : **Verificato**

X	M-	M+	ΔM -	ΔM +	Afs	Afi	Mr-	Mr+	C-	C+	CS
cm	kg*m	kg*m	kg*m	kg*m	cmq	cmq	kg*m	kg*m			
ILN	9676	--	--	--	15.08	15.08	10892	10892	2	1	1.1
62.3	4154	--	2084	--	11.06	13.07	8230	9565	2	1	1.3
CAMP	-238	6305	1657	--	11.06	13.07	8230	9565	2	2	1.5
560.7	2976	--	1991	--	11.06	13.07	8230	9565	2	1	1.7
FLN	8251	--	--	--	13.07	13.07	9564	9564	2	1	1.2

X	x-	d-	x-/d-	x+	d+	x+/d+	Mr-	Mr+	C-	C+	Stato-	Stato+
cm	cm	cm		cm	cm		kg*m	kg*m				
ILN	12.5	20.9	0.598	--	--	--	10892	10892	2	1	Parz.	--
62.3	12.5	20.9	0.598	--	--	--	8230	9565	2	1	Parz.	--
CAMP	12.5	20.9	0.598	12.5	20.9	0.598	8230	9565	2	2	Parz.	Parz.
560.7	12.5	20.9	0.598	--	--	--	8230	9565	2	1	Parz.	--
FLN	12.5	20.9	0.598	--	--	--	9564	9564	2	1	Parz.	--

Verifica a taglio: cot(θ) Sin=2.500,cot(θ) Cen=2.500,cot(θ) Des=2.500 Comb: Sin=2
Cen=(7+8)-VIII-4 Des=2

Sez	Td	VRdns	VRcd	VRsd	VRd	Tpl	Mr	Dx	Staffe	CS
	kg	kg	kg	kg	kg	kg	kg*m	cm	cmq/m	
Sin	9753	--	38896	36998	36998	3612	10892	25.0	20.11	3.8
Cen	8096	--	38896	26427	26427	--	--	--	14.36	3.3
Des	9066	--	38896	36998	36998	3612	9564	25.0	20.11	4.1

Trave: 137 [116,111], Pilastrate [15,11] Sez. R: By=85.0 cm Bz=25.0 cm L=556.0 cm Ln=598.5 cm
Criterio : CLS_TraviSpessore - Verifica a flessione : **Verificato**

X	M-	M+	ΔM -	ΔM +	Afs	Afi	Mr-	Mr+	C-	C+	CS
cm	kg*m	kg*m	kg*m	kg*m	cmq	cmq	kg*m	kg*m			
ILN	6982	--	--	--	11.06	11.06	8230	8230	2	1	1.2
59.9	2121	-711	1910	810	9.05	11.06	6891	8231	2	(5+6)-VIII-2	1.7
CAMP	968	5842	1794	--	9.05	11.06	6891	8231	2	2	1.4
538.7	5536	--	2220	--	17.09	17.09	12216	12216	2	1	1.6
FLN	11187	--	--	--	17.09	17.09	12216	12216	2	1	1.1

X	x-	d-	x-/d-	x+	d+	x+/d+	Mr-	Mr+	C-	C+	Stato-	Stato+
cm	cm	cm		cm	cm		kg*m	kg*m				
ILN	12.5	20.9	0.598	--	--	--	8230	8230	2	1	Parz.	--
59.9	12.5	20.9	0.598	12.5	20.9	0.598	6891	8231	2	(5+6)-VIII-2	Parz.	Parz.
CAMP	12.5	20.9	0.598	12.5	20.9	0.598	6891	8231	2	2	Parz.	Parz.
538.7	12.5	20.9	0.598	--	--	--	12216	12216	2	1	Parz.	--
FLN	12.5	20.9	0.598	--	--	--	12216	12216	2	1	Parz.	--

Verifica a taglio: cot(θ) Sin=2.500,cot(θ) Cen=2.500,cot(θ) Des=2.500 Comb: Sin=(5+6)-VIII-4

Cen=2 Des=2

Sez	Td	VRdns	VRcd	VRsd	VRd	Tpl	Mr	Dx	Staffe	CS
	kg	kg	kg	kg	kg	kg	kg*m	cm	cmq/m	
Sin	9156	--	38896	36998	36998	3758	8230	25.0	20.11	4.0
Cen	8548	--	38896	26595	26595	--	--	--	14.45	3.1
Des	10325	--	38896	36998	36998	3758	12216	25.0	20.11	3.6

Trave: 138 [111,168], Pilastrate [11,--] Sez. R: By=85.0 cm Bz=25.0 cm L=418.7 cm Ln=449.2 cm
Criterio : CLS_TraviSpessore - Verifica a flessione : **Verificato**

X	M-	M+	ΔM-	ΔM+	Afs	Afi	Mr-	Mr+	C-	C+	CS
cm	kg*m	kg*m	kg*m	kg*m	cmq	cmq	kg*m	kg*m			
ILN	2815	--	--	--	9.05	9.05	6889	6889	2	1	2.4
44.9	1609	49	606	293	9.05	9.05	6889	6889	(5+6)-I-4	(7+8)-I-1	3.1
CAMP	565	2093	632	--	9.05	9.05	6889	6889	(7+8)-II-1	2	3.3
404.3	1773	314	826	396	9.05	9.05	6889	6889	(7+8)-II-1	(5+6)-II-4	2.7
FLN	3529	--	--	--	9.05	9.05	6889	6889	2	1	2.0

X	x-	d-	x-/d-	x+	d+	x+/d+	Mr-	Mr+	C-	C+	Stato-	Stato+
cm	cm	cm		cm	cm		kg*m	kg*m				
ILN	12.5	20.9	0.598	--	--	--	6889	6889	2	1	Parz.	--
44.9	12.5	20.9	0.598	12.5	20.9	0.598	6889	6889	(5+6)-I-4	(7+8)-I-1	Parz.	Parz.
CAMP	12.5	20.9	0.598	12.5	20.9	0.598	6889	6889	(7+8)-II-1	2	Parz.	Parz.
404.3	12.5	20.9	0.598	12.5	20.9	0.598	6889	6889	(7+8)-II-1	(5+6)-II-4	Parz.	Parz.
FLN	12.5	20.9	0.598	--	--	--	6889	6889	2	1	Parz.	--

Verifica a taglio: cot(θ) Sin=2.500,cot(θ) Cen=2.500,cot(θ) Des=2.500 Comb: Sin=(7+8)-VIII-4
Cen=(7+8)-VIII-4 Des=(7+8)-VIII-4

Sez	Td	VRdns	VRcd	VRsd	VRd	Tpl	Mr	Dx	Staffe	CS
	kg	kg	kg	kg	kg	kg	kg*m	cm	cmq/m	
Sin	5650	--	38896	36998	36998	3374	6889	25.0	20.11	6.5
Cen	5877	--	38896	26608	26608	--	--	--	14.46	4.5
Des	6733	--	38896	36998	36998	3374	6889	25.0	20.11	5.5

Trave: 139 [109,114], Pilastrate [9,13] Sez. R: By=85.0 cm Bz=25.0 cm L=395.3 cm Ln=395.3 cm
Criterio : CLS_TraviSpessore - Verifica a flessione : **Verificato**

X	M-	M+	ΔM-	ΔM+	Afs	Afi	Mr-	Mr+	C-	C+	CS
cm	kg*m	kg*m	kg*m	kg*m	cmq	cmq	kg*m	kg*m			
ILN	3509	--	--	--	9.05	9.05	6889	6889	2	1	2.0
39.5	2124	--	824	--	9.05	9.05	6889	6889	2	1	2.3
CAMP	1024	702	655	--	9.05	9.05	6889	6889	2	(7+8)-IV-2	4.1
355.8	1502	23	522	238	9.05	9.05	6889	6889	(7+8)-IV-3	(7+8)-IV-2	3.4
FLN	2444	--	--	--	9.05	9.05	6889	6889	2	1	2.8

X	x-	d-	x-/d-	x+	d+	x+/d+	Mr-	Mr+	C-	C+	Stato-	Stato+
cm	cm	cm		cm	cm		kg*m	kg*m				
ILN	12.5	20.9	0.598	--	--	--	6889	6889	2	1	Parz.	--
39.5	12.5	20.9	0.598	--	--	--	6889	6889	2	1	Parz.	--
CAMP	12.5	20.9	0.598	12.5	20.9	0.598	6889	6889	2	(7+8)-IV-2	Parz.	Parz.
355.8	12.5	20.9	0.598	12.5	20.9	0.598	6889	6889	(7+8)-IV-3	(7+8)-IV-2	Parz.	Parz.
FLN	12.5	20.9	0.598	--	--	--	6889	6889	2	1	Parz.	--

Verifica a taglio: cot(θ) Sin=2.500,cot(θ) Cen=2.500,cot(θ) Des=2.500 Comb: Sin=(7+8)-VIII-4
Cen=(7+8)-VIII-4 Des=(7+8)-VIII-4

Sez	Td	VRdns	VRcd	VRsd	VRd	Tpl	Mr	Dx	Staffe	CS
	kg	kg	kg	kg	kg	kg	kg*m	cm	cmq/m	
Sin	6038	--	38896	36998	36998	3834	6889	25.0	20.11	6.1
Cen	5597	--	38896	26527	26527	--	--	--	14.42	4.7
Des	6038	--	38896	36998	36998	3834	6889	25.0	20.11	6.1

Verifica dei Muri in calcestruzzo

Scenario di calcolo: Set_NT_SLV_SLD_A2STR/GEO_2018

Simbologia:

Muro	Indice del muro in verifica
Nodi	[n1-n2-n3-n4...] Indici dei nodi di attacco del muro
Pann.X	Numero di pannelli in direzione locale X del muro(per muri a pannelli)
Pann.Y	Numero di pannelli in direzione locale Y del muro(per muri a pannelli)
Pann	Numero totale di pannelli (per muri a mesh)
Spess [cm]	Spessore del muro
Criterio	Criterio di verifica adottato per la verifica
Pannello	Indice del pannello
Nx [kg]	Sforzo in direzione x locale per metro lineare ($Nx=sxx*\text{spessore}$)
<td>Sforzo in direzione y locale per metro lineare ($Ny=syy*\text{spessore}$)</td>	Sforzo in direzione y locale per metro lineare ($Ny=syy*\text{spessore}$)
Nxy [kg]	Sforzo tagliante locale per metro lineare ($Nxy=sxy*\text{spessore}$)
Mx [kg*m]	Momento in direzione x locale per metro lineare
My [kg*m]	Momento in direzione y locale per metro lineare
Mxy [kg*m]	Momento torcente locale per metro lineare
Ax [mq]	Armatura totale pannello in direzione x locale ⁽¹⁾
Ay [mq]	Armatura totale pannello in direzione y locale ⁽¹⁾
ϵ_c	Deformazione nel cls ⁽²⁾
ϵ_f	Deformazione nell'acciaio ⁽²⁾
Massimi	Armature massime riscontrate nel muro
Massimo	massima sigma ideale riscontrata nel muro
$\sigma_{id+}, \sigma_{id-}$ [kg/cmq]	$(\sigma_x^2 + \sigma_y^2 - \sigma_x * \sigma_y + 3 * \tau_{xy}^2)^{1/2}$ Tensioni ideali ai letti della lastra (Acciaio)
$\sigma_{id+}, \sigma_{id-}$ [kg/cmq]	$(\sigma_x^2 + \sigma_y^2 - \sigma_x * \sigma_y + 3 * \tau_{xy}^2)^{1/2}$ Tensioni ideali ai letti della lastra (Legno)
Fatt.Ampl.Sisma	Fattore moltiplicativo di gruppo per le azioni sismiche (solo se diverso da 1.0)
Cs	Coefficiente di sicurezza definito dal rapporto $ Mr(N) / Md $ ($Mr(N)=$ Momento resistente corrispondente allo sforzo normale N, $Md=$ momento agente), quando richiesto dal criterio di verifica
ζ_E	Livello di sicurezza sismico definito come rapporto tra l'accelerazione sopportabile e l'accelerazione di progetto, quando richiesto dal criterio di verifica

Note Verifica muri:

⁽¹⁾: Le armature Ax ed Ay vanno intese come a metro lineare di pannello.

⁽²⁾: Le deformazioni sono stampate a meno del fattore 10^{-3} ; esse si riferiscono alla verifica considerando quali sollecitazioni di progetto $Mx,d=Mx +/- |Mxy|, My,d=My +/- |Mxy|$ scegliendo il segno in modo tale da rendere massimo in valore assoluto il relativo momento flettente, le sollecitazioni stampate si riferiscono alle sollecitazioni in una data combinazione riferite al sistema locale del pannello

Muro : 2 - Nodi: [35-37-137-135]Pann=12Spess.=30 cm, Terreno=--, Criterio=CLS_Muri, Materiale=C25/30: **Verificato**

Armatura a maglia doppia

Pann.	Nx	Ny	Nxy	Mx	My	Mxy	Ax	Ay	C	Cs
	kg	kg	kg	kg*m	kg*m	kg*m	cmq	cmq		
1	5505	22647	2527	-222	-2623	-230	13.40	16.08	(5+6)-VIII-1	1.9
2	123	18309	2237	-31	-1510	-107	13.40	16.08	(5+6)-VIII-1	3.6
3	1879	13387	6734	-27	-536	-249	13.40	16.08	(5+6)-IV-3	8.2
4	-2710	2065	9964	50	-392	-443	13.40	16.08	(5+6)-I-4	9.3
5	1203	4378	-4153	99	-1165	91	13.40	16.08	(5+6)-VIII-4	6.0
6	35095	-2291	7528	422	1324	-828	13.40	16.08	(5+6)-III-2	2.0
7	1574	19994	1417	-243	-2627	-222	13.40	16.08	(5+6)-VIII-1	2.0
8	-4949	15938	4138	-46	-1519	-159	13.40	16.08	(5+6)-VIII-1	3.7
9	2617	1336	-11485	-8	-507	467	13.40	16.08	(5+6)-I-1	8.1

Pann.	Nx	<th>Nxy</th> <th>Mx</th> <th>My</th> <th>Mxy</th> <th>Ax</th> <th>Ay</th> <th>C</th> <th>Cs</th>	Nxy	Mx	My	Mxy	Ax	Ay	C	Cs
10	5532	591	10384	19	-387	-446	13.40	16.08	(5+6)-I-4	9.6
11	-5348	6060	-5437	53	-1193	167	13.40	16.08	(5+6)-VIII-4	5.4
12	-9803	9952	-5949	-118	-1549	662	13.40	16.08	(5+6)-V-4	3.1
Massimi/minimi										
1							13.40			
1								16.08		
1										1.9

Muro : 3 - Nodi: [37-39-139-137]Pann=12Spess.=30 cm, Terreno=--,Criterio=CLS_Muri, Materiale=C25/30: **Verificato**

Armatura a maglia doppia

Pann.	Nx	Ny	Nxy	Mx	My	Mxy	Ax	Ay	C	Cs
	kg	kg	kg	kg*m	kg*m	kg*m	cmq	cmq		
1	-739	17194	-729	-253	-2568	112	13.40	16.08	(5+6)-VII-1	2.2
2	-10240	10087	-11784	-57	-1344	441	13.40	16.08	(5+6)-I-1	3.8
3	-2966	3100	-10884	-19	-649	454	13.40	16.08	(5+6)-I-1	6.9
4	-5200	-1827	10081	5	-386	-434	13.40	16.08	(5+6)-I-4	10
5	-9748	4228	11402	38	-947	-491	13.40	16.08	(5+6)-I-4	5.2
6	-4842	8865	-4359	-64	-1452	639	13.40	16.08	(5+6)-V-4	3.3
7	10338	28492	-3471	-183	-2202	463	13.40	16.08	(5+6)-I-1	1.7
8	5164	24034	-10203	-32	-1310	382	13.40	16.08	(5+6)-I-1	3.1
9	2034	11075	-9664	-36	-635	382	13.40	16.08	(5+6)-I-1	6.6
10	-3432	-365	-10540	42	-374	356	13.40	16.08	(5+6)-IV-2	11
11	3387	5772	10328	181	-917	-437	13.40	16.08	(5+6)-I-4	5.4
12	24509	-6382	-7744	356	1422	867	13.40	16.08	(5+6)-IV-3	3.2
Massimi/minimi										
1							13.40			
1								16.08		
7										1.7

Muro : 6 - Nodi: [48-49-149-148]Pann=12Spess.=30 cm, Terreno=--,Criterio=CLS_Muri, Materiale=C25/30: **Verificato**

Armatura a maglia doppia

Pann.	Nx	Ny	Nxy	Mx	My	Mxy	Ax	Ay	C	Cs
	kg	kg	kg	kg*m	kg*m	kg*m	cmq	cmq		
1	8174	21280	4737	-247	-2804	-239	13.40	16.08	(5+6)-I-1	1.8
2	-1236	12418	9906	-13	-1323	51	13.40	16.08	(5+6)-I-1	4.8
3	-677	-5522	-18634	-78	-667	-106	13.40	16.08	(5+6)-IV-4	11
4	4841	6785	-11639	-288	-1042	159	13.40	16.08	(5+6)-VII-4	6.0
5	-763	17468	-2332	-333	-1284	412	13.40	16.08	(5+6)-VII-4	3.5
6	22719	1954	19302	51	1705	563	13.40	16.08	(5+6)-IV-2	3.4
7	8106	21449	1329	-258	-2960	-152	13.40	16.08	(5+6)-III-2	1.8
8	-2154	14089	2536	-18	-1402	-143	13.40	16.08	(5+6)-III-2	4.1
9	1698	-3444	-20012	-114	-662	-55	13.40	16.08	(5+6)-VIII-4	12
10	9081	-12186	15716	328	1351	-197	13.40	16.08	(5+6)-VII-1	6.1
11	35319	-6125	7610	1050	928	-652	13.40	16.08	(5+6)-VIII-1	1.4
12	438	7546	-24944	388	-1410	-694	13.40	16.08	(5+6)-IV-3	3.4
Massimi/minimi										
1							13.40			
1								16.08		
11										1.4

Muro : 7 - Nodi: [49-50-150-149]Pann=12Spess.=30 cm, Terreno=--,Criterio=CLS_Muri, Materiale=C25/30: **Verificato**

Armatura a maglia doppia

Pann.	Nx	<th>Nxy</th> <th>Mx</th> <th>My</th> <th>Mxy</th> <th>Ax</th> <th>Ay</th> <th>C</th> <th>Cs</th>	Nxy	Mx	My	Mxy	Ax	Ay	C	Cs
	kg	kg	kg	kg*m	kg*m	kg*m	cmq	cmq		
1	-4712	19446	-6335	-274	-3356	118	13.40	16.08	(5+6)-IV-2	1.6
2	-11744	14233	-13116	-37	-1792	-168	13.40	16.08	(5+6)-IV-2	3.2
3	-1083	-5301	-17568	-146	-702	-105	13.40	16.08	(5+6)-VIII-4	11
4	-2442	-8297	3889	15	1231	-102	13.40	16.08	(5+6)-III-2	6.8
5	4437	5575	5977	658	-1626	-590	13.40	16.08	(5+6)-IV-3	3.3
6	4242	11363	-23647	354	-1721	-968	13.40	16.08	(5+6)-IV-3	2.5
7	14459	33630	-7412	-291	-3412	117	13.40	16.08	(5+6)-IV-2	1.1
8	2929	19376	-9077	1	-1737	-322	13.40	16.08	(5+6)-IV-2	2.8
9	-1640	-14111	-13448	-173	-733	-396	13.40	16.08	(5+6)-VIII-4	8.6
10	3459	9130	11168	241	1316	128	13.40	16.08	(5+6)-I-1	4.8
11	29334	24610	5234	35	-1981	-409	13.40	16.08	(5+6)-IV-3	2.1
12	12402	16435	-21190	13	-1638	-1060	13.40	16.08	(5+6)-IV-3	2.3
Massimi/minimi										
1							13.40			
1								16.08		
7										1.1

Muro : 10 - Nodi: [75-80-180-175]Pann=12Spess.=30 cm, Terreno=--, Criterio=CLS_Muri, Materiale=C25/30: **Verificato**

Armatura a maglia doppia

Pann.	Nx	<th>Nxy</th> <th>Mx</th> <th>My</th> <th>Mxy</th> <th>Ax</th> <th>Ay</th> <th>C</th> <th>Cs</th>	Nxy	Mx	My	Mxy	Ax	Ay	C	Cs
	kg	kg	kg	kg*m	kg*m	kg*m	cmq	cmq		
1	2065	5390	896	265	3115	-7	13.40	16.08	(5+6)-VII-3	2.4
2	-535	2026	3536	41	1956	-157	13.40	16.08	(5+6)-VII-3	3.7
3	65	-8782	-1532	12	886	-249	13.40	16.08	(5+6)-V-4	8.0
4	-49	-5030	-1601	19	-458	-269	13.40	16.08	(5+6)-V-4	12
5	-465	-3975	-1392	141	-1823	-281	13.40	16.08	(5+6)-V-4	4.0
6	-3421	-1823	1652	-177	-3700	1225	13.40	16.08	(5+6)-V-4	1.7
7	3879	7382	-2614	253	3000	-328	13.40	16.08	(5+6)-I-4	2.2
8	-503	3022	-4507	38	1894	-254	13.40	16.08	(5+6)-I-4	3.6
9	-182	-2362	-4491	11	761	-229	13.40	16.08	(5+6)-I-4	8.4
10	68	-8877	-4428	17	-375	-214	13.40	16.08	(5+6)-I-4	15
11	153	-12027	-1740	189	-1655	47	13.40	16.08	(5+6)-V-4	5.5
12	-8284	-7742	-4896	-6	2294	289	13.40	16.08	(5+6)-V-1	3.5
Massimi/minimi										
1							13.40			
1								16.08		
6										1.7

Muro : 13 - Nodi: [79-76-176-179]Pann=12Spess.=30 cm, Terreno=--, Criterio=CLS_Muri, Materiale=C25/30: **Verificato**

Armatura a maglia doppia

Pann.	Nx	<th>Nxy</th> <th>Mx</th> <th>My</th> <th>Mxy</th> <th>Ax</th> <th>Ay</th> <th>C</th> <th>Cs</th>	Nxy	Mx	My	Mxy	Ax	Ay	C	Cs
	kg	kg	kg	kg*m	kg*m	kg*m	cmq	cmq		
1	3591	8593	2472	250	2936	238	13.40	16.08	(5+6)-VII-2	2.2
2	-492	10161	6253	-27	-1615	-184	13.40	16.08	(5+6)-I-4	3.8
3	-314	2263	6190	-9	-661	-175	13.40	16.08	(5+6)-I-4	9.3
4	-186	-13788	-5369	13	-404	221	13.40	16.08	(5+6)-I-1	15
5	-82	-9747	-791	173	-1611	-94	13.40	16.08	(5+6)-VII-1	5.4
6	-14054	-8955	6097	-8	2107	-183	13.40	16.08	(5+6)-VII-4	4.0
7	4632	13750	-2616	257	2935	134	13.40	16.08	(5+6)-I-1	2.1
8	-553	8012	-5476	39	1783	290	13.40	16.08	(5+6)-I-1	3.4
9	-291	1415	-5393	8	695	330	13.40	16.08	(5+6)-I-1	7.7
10	134	-6122	-5312	13	-405	345	13.40	16.08	(5+6)-I-1	12
11	-152	-7036	-1134	131	-1754	264	13.40	16.08	(5+6)-VII-1	4.4

Pann.	Nx	<th>Nxy</th> <th>Mx</th> <th>My</th> <th>Mxy</th> <th>Ax</th> <th>Ay</th> <th>C</th> <th>Cs</th>	Nxy	Mx	My	Mxy	Ax	Ay	C	Cs
12	14936	4797	-523	-153	-3123	-970	13.40	16.08	(5+6)-V-2	1.8
									Massimi/minimi	
1							13.40			
1								16.08		
12										1.8

Muro : 14 - Nodi: [32-45-145-132]Pann=12Spess.=30 cm, Terreno=--, Criterio=CLS_Muri, Materiale=C25/30: **Verificato**

Armatura a maglia doppia

Pann.	Nx	Ny	Nxy	Mx	My	Mxy	Ax	Ay	C	Cs
	kg	kg	kg	kg*m	kg*m	kg*m	cmq	cmq		
1	-860	10105	-2172	-342	-4048	264	13.40	16.08	(5+6)-I-1	1.6
2	-299	8156	1956	-45	-2503	408	13.40	16.08	(5+6)-I-1	2.4
3	-141	6974	1782	-12	-993	458	13.40	16.08	(5+6)-I-1	5.0
4	-97	-282	-1966	21	-805	-217	13.40	16.08	(5+6)-I-4	7.9
5	-264	844	-1756	237	-2501	-379	13.40	16.08	(5+6)-I-4	2.8
6	-2832	-2560	9052	220	4450	-1559	13.40	16.08	(5+6)-I-1	1.4
7	-794	-14114	286	367	4502	-130	13.40	16.08	(5+6)-I-4	2.1
8	-354	-16294	-2054	43	2811	-45	13.40	16.08	(5+6)-I-4	3.5
9	156	-33512	1611	-12	-994	308	13.40	16.08	(5+6)-I-1	9.2
10	14	-20108	-2219	20	-775	71	13.40	16.08	(5+6)-III-4	12
11	872	-26397	-2020	207	-2589	159	13.40	16.08	(5+6)-I-4	4.0
12	-34171	-18007	-5974	-163	-4583	-1236	13.40	16.08	(5+6)-I-4	1.7
									Massimi/minimi	
1							13.40			
1								16.08		
6										1.4

Muro : 15 - Nodi: [46-33-133-146]Pann=12Spess.=30 cm, Terreno=--, Criterio=CLS_Muri, Materiale=C25/30: **Verificato**

Armatura a maglia doppia

Pann.	Nx	Ny	Nxy	Mx	My	Mxy	Ax	Ay	C	Cs
	kg	kg	kg	kg*m	kg*m	kg*m	cmq	cmq		
1	503	-10858	390	-329	-3970	-425	13.40	16.08	(5+6)-I-4	2.1
2	-194	-12857	2168	-42	-2489	-318	13.40	16.08	(5+6)-I-4	3.4
3	-101	-15056	2111	-13	-963	-283	13.40	16.08	(5+6)-I-4	7.9
4	12	-17728	2051	-20	569	-264	13.40	16.08	(5+6)-I-4	12
5	486	-27023	-1868	204	-2556	-149	13.40	16.08	(5+6)-I-1	4.1
6	-14946	-18895	1684	-166	-4558	1255	13.40	16.08	(5+6)-I-1	1.8
7	-2878	12615	3970	412	4754	-200	13.40	16.08	(5+6)-I-1	1.3
8	-582	10061	-2419	57	2826	123	13.40	16.08	(5+6)-I-1	2.3
9	-167	8250	-2235	13	1019	187	13.40	16.08	(5+6)-I-1	5.8
10	53	5505	-2111	20	-781	216	13.40	16.08	(5+6)-I-1	7.4
11	-624	3186	-2307	235	-2460	380	13.40	16.08	(5+6)-I-1	2.7
12	-2259	-3582	-7603	200	4389	1442	13.40	16.08	(5+6)-I-4	1.4
									Massimi/minimi	
1							13.40			
1								16.08		
7										1.3

Muro : 17 - Nodi: [36-38-138-136]Pann=12Spess.=30 cm, Terreno=--, Criterio=CLS_Muri, Materiale=C25/30: **Verificato**

Armatura a maglia doppia

Pann.	Nx	Ny	Nxy	Mx	My	Mxy	Ax	Ay	C	Cs
-------	----	----	-----	----	----	-----	----	----	---	----

Pann.	Nx	<th>Nxy</th> <th>Mx</th> <th>My</th> <th>Mxy</th> <th>Ax</th> <th>Ay</th> <th>C</th> <th>Cs</th>	Nxy	Mx	My	Mxy	Ax	Ay	C	Cs
	kg	kg	kg	kg*m	kg*m	kg*m	cmq	cmq		
1	9399	31818	2921	226	2932	411	13.40	16.08	(5+6)-VI-3	1.3
2	2327	26873	6845	9	1718	329	13.40	16.08	(5+6)-VI-3	2.4
3	2093	14628	11353	41	601	461	13.40	16.08	(5+6)-II-1	5.9
4	-3062	1597	12168	-33	273	477	13.40	16.08	(5+6)-I-1	10
5	3336	7422	-8564	-172	1179	-312	13.40	16.08	(5+6)-VI-2	4.8
6	26203	-4028	8705	-413	-1188	1016	13.40	16.08	(5+6)-I-4	2.6
7	-3335	13705	848	286	2975	402	13.40	16.08	(5+6)-VI-3	1.9
8	-6874	10320	9368	63	1753	396	13.40	16.08	(5+6)-VI-3	3.2
9	-2018	2811	8493	19	821	390	13.40	16.08	(5+6)-VI-3	6.4
10	-5759	-2516	-13697	-22	359	-500	13.40	16.08	(5+6)-II-4	9.7
11	-6194	3782	-10009	-20	1217	-406	13.40	16.08	(5+6)-VI-2	4.7
12	-8812	7752	5934	112	1803	626	13.40	16.08	(5+6)-VI-2	2.9
Massimi/minimi										
1							13.40			
1								16.08		
1										1.3

Muro : 21 - Nodi: [84-86-186-184]Pann=12Spess.=30 cm, Terreno=--, Criterio=CLS_Muri, Materiale=C25/30: **Verificato**

Armatura a maglia doppia

Pann.	Nx	Ny	Nxy	Mx	My	Mxy	Ax	Ay	C	Cs
	kg	kg	kg	kg*m	kg*m	kg*m	cmq	cmq		
1	5979	23225	2636	208	2556	192	13.40	16.08	(5+6)-VII-4	1.9
2	765	16264	2869	4	1499	95	13.40	16.08	(5+6)-VII-4	3.8
3	-1466	322	-5843	9	735	-300	13.40	16.08	(5+6)-I-4	7.7
4	-3497	1219	13077	-50	447	476	13.40	16.08	(5+6)-II-1	8.5
5	-2807	-6521	13716	189	1158	551	13.40	16.08	(5+6)-II-1	5.2
6	34778	-4685	7804	-480	-1789	1123	13.40	16.08	(5+6)-VI-2	1.6
7	3730	17950	-623	248	2678	-303	13.40	16.08	(5+6)-I-4	2.0
8	4390	13463	-6420	44	1564	-288	13.40	16.08	(5+6)-I-4	3.5
9	2053	3106	-11202	8	630	-469	13.40	16.08	(5+6)-II-4	7.0
10	5456	-358	13052	-4	431	464	13.40	16.08	(5+6)-II-1	9.0
11	12302	6773	15021	-36	1114	540	13.40	16.08	(5+6)-II-1	4.4
12	-8365	12798	-9741	77	1676	-709	13.40	16.08	(5+6)-II-1	2.7
Massimi/minimi										
1							13.40			
1								16.08		
6										1.6

Muro : 25 - Nodi: [87-85-185-187]Pann=12Spess.=30 cm, Terreno=--, Criterio=CLS_Muri, Materiale=C25/30: **Verificato**

Armatura a maglia doppia

Pann.	Nx	Ny	Nxy	Mx	My	Mxy	Ax	Ay	C	Cs
	kg	kg	kg	kg*m	kg*m	kg*m	cmq	cmq		
1	6799	28351	3094	201	2549	379	13.40	16.08	(5+6)-IV-2	1.6
2	1195	24012	3959	9	1501	254	13.40	16.08	(5+6)-IV-2	3.0
3	813	12025	3635	24	707	216	13.40	16.08	(5+6)-IV-2	7.2
4	-1084	-500	4477	-16	463	-189	13.40	16.08	(5+6)-I-4	12
5	-288	4886	1283	-7	1284	-185	13.40	16.08	(5+6)-III-3	5.1
6	-12550	4829	-3898	181	2077	-516	13.40	16.08	(5+6)-V-3	2.9
7	-1101	15705	1325	247	2573	372	13.40	16.08	(5+6)-IV-2	2.1
8	-4854	12795	5945	56	1526	315	13.40	16.08	(5+6)-IV-2	3.5
9	-1306	4735	5351	14	718	306	13.40	16.08	(5+6)-IV-2	7.3
10	-3064	-2848	-6470	0	461	-250	13.40	16.08	(5+6)-IV-3	12
11	1055	6526	1104	-40	1290	-250	13.40	16.08	(5+6)-III-3	4.7
12	-6861	10702	-1584	81	1751	-361	13.40	16.08	(5+6)-VII-3	3.2
Massimi/minimi										
1							13.40			
1								16.08		
1										1.6

Muro : 26 - Nodi: [85-83-183-185]Pann=12Spess.=30 cm, Terreno=--, Criterio=CLS_Muri, Materiale=C25/30: **Verificato**

Armatura a maglia doppia

Pann.	Nx	<th>Nxy</th> <th>Mx</th> <th>My</th> <th>Mxy</th> <th>Ax</th> <th>Ay</th> <th>C</th> <th>Cs</th>	Nxy	Mx	My	Mxy	Ax	Ay	C	Cs
	kg	kg	kg	kg*m	kg*m	kg*m	cmq	cmq		
1	34	17562	-1812	228	2427	-221	13.40	16.08	(5+6)-V-2	2.2
2	-3483	13796	-2363	38	1435	-183	13.40	16.08	(5+6)-V-2	4.0
3	-436	2977	5636	10	638	293	13.40	16.08	(5+6)-III-2	8.3
4	4019	-407	-9553	-19	441	-322	13.40	16.08	(5+6)-IV-3	11
5	7501	5481	-7595	-18	1207	-284	13.40	16.08	(5+6)-III-3	5.0
6	-11845	10669	7986	126	1709	524	13.40	16.08	(5+6)-IV-3	3.0
7	2498	13395	-2814	211	2416	-227	13.40	16.08	(5+6)-V-2	2.4
8	-1007	10086	-943	26	1425	-124	13.40	16.08	(5+6)-V-2	4.4
9	-1764	-275	5698	8	644	296	13.40	16.08	(5+6)-III-2	8.6
10	-2851	-1973	-9681	-43	452	-307	13.40	16.08	(5+6)-IV-3	11
11	-360	-2071	-6921	54	1210	-295	13.40	16.08	(5+6)-III-3	5.5
12	32730	-4874	-6256	-402	-2204	-800	13.40	16.08	(5+6)-IV-2	2.3
Massimi/minimi										
1							13.40			
1								16.08		
1										2.2

Muro : 29 - Nodi: [69-66-166-169]Pann=12Spess.=30 cm, Terreno=--, Criterio=CLS_Muri, Materiale=C25/30: **Verificato**

Armatura a maglia doppia

Pann.	Nx	<th>Nxy</th> <th>Mx</th> <th>My</th> <th>Mxy</th> <th>Ax</th> <th>Ay</th> <th>C</th> <th>Cs</th>	Nxy	Mx	My	Mxy	Ax	Ay	C	Cs
	kg	kg	kg	kg*m	kg*m	kg*m	cmq	cmq		
1	15282	28766	7294	147	2192	271	13.40	16.08	(5+6)-V-1	1.9
2	-694	16809	1416	-34	1062	212	13.40	16.08	(5+6)-VII-1	4.7
3	-435	966	-15239	75	541	178	13.40	16.08	(5+6)-VIII-1	11
4	-665	-5000	3643	40	-862	177	13.40	16.08	(5+6)-V-1	8.3
5	-588	15764	-3524	505	-869	-823	13.40	16.08	(5+6)-VIII-1	3.6
6	21369	5185	27509	42	-1750	-722	13.40	16.08	(5+6)-IV-3	3.0
7	13595	21005	-5273	240	2724	-43	13.40	16.08	(5+6)-VIII-1	2.0
8	10656	14625	-15065	30	1404	229	13.40	16.08	(5+6)-VIII-1	3.9
9	1025	3525	-14584	101	528	225	13.40	16.08	(5+6)-VIII-1	10
10	2038	-181	5348	5	-930	251	13.40	16.08	(5+6)-V-1	6.8
11	35205	2494	8761	-895	366	773	13.40	16.08	(5+6)-IV-2	1.5
12	-1666	10869	-28936	-376	1569	750	13.40	16.08	(5+6)-IV-2	2.9
Massimi/minimi										
1							13.40			
1								16.08		
11										1.5

Muro : 30 - Nodi: [66-63-163-166]Pann=12Spess.=30 cm, Terreno=--, Criterio=CLS_Muri, Materiale=C25/30: **Verificato**

Armatura a maglia doppia

Pann.	Nx	<th>Nxy</th> <th>Mx</th> <th>My</th> <th>Mxy</th> <th>Ax</th> <th>Ay</th> <th>C</th> <th>Cs</th>	Nxy	Mx	My	Mxy	Ax	Ay	C	Cs
	kg	kg	kg	kg*m	kg*m	kg*m	cmq	cmq		
1	-3214	23744	-6753	326	3577	-51	13.40	16.08	(5+6)-VIII-1	1.4
2	-11510	18392	-11855	60	1784	280	13.40	16.08	(5+6)-VIII-1	2.8
3	-719	3074	-10734	129	570	280	13.40	16.08	(5+6)-VIII-1	9.0
4	-3237	5363	13070	-12	-831	246	13.40	16.08	(5+6)-V-1	6.9
5	4051	6079	4556	-525	1800	535	13.40	16.08	(5+6)-VIII-4	3.1
6	2080	15109	-25737	-334	1900	1009	13.40	16.08	(5+6)-IV-2	2.1
7	19109	38705	-10066	267	2877	-160	13.40	16.08	(5+6)-IV-3	1.1

Pann.	Nx	<th>Nxy</th> <th>Mx</th> <th>My</th> <th>Mxy</th> <th>Ax</th> <th>Ay</th> <th>C</th> <th>Cs</th>	Nxy	Mx	My	Mxy	Ax	Ay	C	Cs
8	2493	21103	-7681	20	1744	409	13.40	16.08	(5+6)-VIII-1	2.6
9	-1440	900	-6661	197	590	542	13.40	16.08	(5+6)-VIII-1	7.0
10	2804	24062	15279	-145	-748	205	13.40	16.08	(5+6)-I-1	5.4
11	35434	38780	7430	32	2183	506	13.40	16.08	(5+6)-IV-2	1.3
12	11015	23710	-21400	93	1768	1081	13.40	16.08	(5+6)-IV-2	1.8
Massimi/minimi										
1							13.40			
1								16.08		
7										1.1

Muro : 33 - Nodi: [65-67-167-165]Pann=12Spess.=30 cm, Terreno=--, Criterio=CLS_Muri, Materiale=C25/30: **Verificato**

Armatura a maglia doppia

Pann.	Nx	Ny	Nxy	Mx	My	Mxy	Ax	Ay	C	Cs
	kg	kg	kg	kg*m	kg*m	kg*m	cmq	cmq		
1	6548	22060	4468	245	2861	245	13.40	16.08	(5+6)-VIII-3	1.7
2	-96	16572	1854	16	1476	49	13.40	16.08	(5+6)-VIII-3	4.0
3	1822	-6830	5551	2	-689	128	13.40	16.08	(5+6)-VII-2	11
4	-1453	-2081	4742	-40	-311	211	13.40	16.08	(5+6)-II-1	16
5	786	-14669	2733	-42	-1272	150	13.40	16.08	(5+6)-VIII-3	6.9
6	-10371	-15833	139	-102	-2185	-668	13.40	16.08	(5+6)-VIII-3	3.5
7	1902	19504	2975	239	2826	236	13.40	16.08	(5+6)-VIII-3	1.9
8	-5459	15083	3997	16	1489	109	13.40	16.08	(5+6)-VIII-3	3.9
9	-1578	4061	3586	3	554	137	13.40	16.08	(5+6)-VIII-3	11
10	4816	-4319	7910	-11	-360	254	13.40	16.08	(5+6)-IV-1	14
11	-6065	-3034	-5534	-40	1155	-164	13.40	16.08	(5+6)-VIII-2	6.4
12	-5316	-21001	-2609	-426	-2853	-1248	13.40	16.08	(5+6)-VIII-3	2.6
Massimi/minimi										
1							13.40			
1								16.08		
1										1.7

Muro : 34 - Nodi: [67-70-170-167]Pann=12Spess.=30 cm, Terreno=--, Criterio=CLS_Muri, Materiale=C25/30: **Verificato**

Armatura a maglia doppia

Pann.	Nx	Ny	Nxy	Mx	My	Mxy	Ax	Ay	C	Cs
	kg	kg	kg	kg*m	kg*m	kg*m	cmq	cmq		
1	1570	14666	-483	283	2890	-175	13.40	16.08	(5+6)-VII-3	2.1
2	-4970	10091	-5001	71	1691	-67	13.40	16.08	(5+6)-VII-3	3.9
3	-2357	-4578	-9029	11	741	-185	13.40	16.08	(5+6)-V-4	9.3
4	-3144	-8039	7381	4	-314	254	13.40	16.08	(5+6)-II-1	16
5	-5631	-16238	6187	-186	-1227	156	13.40	16.08	(5+6)-VIII-3	7.2
6	-10021	-20418	2096	-341	-2805	681	13.40	16.08	(5+6)-VII-3	3.0
7	6441	22889	-1719	252	2892	-183	13.40	16.08	(5+6)-V-3	1.7
8	1412	17807	-3210	38	1669	126	13.40	16.08	(5+6)-V-3	3.3
9	917	6580	-2948	21	733	107	13.40	16.08	(5+6)-V-3	8.6
10	1611	-8720	5154	-14	-378	276	13.40	16.08	(5+6)-VI-3	14
11	4219	-6827	6792	-156	-1258	98	13.40	16.08	(5+6)-VIII-3	6.5
12	6829	-6854	-2994	-421	-2671	-252	13.40	16.08	(5+6)-VIII-3	3.0
Massimi/minimi										
1							13.40			
1								16.08		
7										1.7

Muro : 37 - Nodi: [71-68-168-171]Pann=12Spess.=30 cm, Terreno=--, Criterio=CLS_Muri, Materiale=C25/30: **Verificato**

Armatura a maglia doppia

Pann.	Nx	<th>Nxy</th> <th>Mx</th> <th>My</th> <th>Mxy</th> <th>Ax</th> <th>Ay</th> <th>C</th> <th>Cs</th>	Nxy	Mx	My	Mxy	Ax	Ay	C	Cs
	kg	kg	kg	kg*m	kg*m	kg*m	cmq	cmq		
1	6234	31163	2723	252	2869	229	13.40	16.08	(5+6)-V-1	1.4
2	1073	24146	3231	44	1613	55	13.40	16.08	(5+6)-V-1	3.1
3	-1465	6947	1116	16	668	40	13.40	16.08	(5+6)-I-1	10
4	2922	-6452	-6680	-15	-470	-182	13.40	16.08	(5+6)-IV-1	13
5	6300	-5808	-8392	-202	-1384	1	13.40	16.08	(5+6)-II-1	6.3
6	10509	-14152	3078	-467	-2854	511	13.40	16.08	(5+6)-II-1	2.9
7	3401	17037	563	284	2992	176	13.40	16.08	(5+6)-I-1	1.9
8	-3264	11891	3371	58	1680	140	13.40	16.08	(5+6)-I-1	3.6
9	-940	1267	2959	10	670	143	13.40	16.08	(5+6)-I-1	9.7
10	-3913	-7992	-9137	-0	-428	-187	13.40	16.08	(5+6)-VIII-3	15
11	-4586	-16858	-5512	-197	-1299	-135	13.40	16.08	(5+6)-IV-1	7.0
12	-10228	-20986	-3196	-252	-2839	-807	13.40	16.08	(5+6)-VII-1	2.9
Massimi/minimi										
1							13.40			
1								16.08		
1										1.4

Muro : 38 - Nodi: [68-64-164-168]Pann=12Spess.=30 cm, Terreno=--, Criterio=CLS_Muri, Materiale=C25/30: **Verificato**

Armatura a maglia doppia

Pann.	Nx	<th>Nxy</th> <th>Mx</th> <th>My</th> <th>Mxy</th> <th>Ax</th> <th>Ay</th> <th>C</th> <th>Cs</th>	Nxy	Mx	My	Mxy	Ax	Ay	C	Cs
	kg	kg	kg	kg*m	kg*m	kg*m	cmq	cmq		
1	2537	21942	-3226	270	3130	-228	13.40	16.08	(5+6)-II-1	1.6
2	-6070	18434	-5514	50	1627	166	13.40	16.08	(5+6)-II-1	3.3
3	-1575	6412	-4876	4	591	-45	13.40	16.08	(5+6)-II-1	11
4	2795	-5264	-4903	-9	-475	169	13.40	16.08	(5+6)-II-1	13
5	6363	-16473	-5724	-215	-1469	211	13.40	16.08	(5+6)-II-1	5.9
6	-5576	-20500	93	-459	-2924	1395	13.40	16.08	(5+6)-II-1	2.4
7	14906	40316	-6024	171	2135	-396	13.40	16.08	(5+6)-VI-3	1.3
8	1049	21349	-2645	46	1605	132	13.40	16.08	(5+6)-II-1	3.2
9	1025	9889	-2477	13	582	154	13.40	16.08	(5+6)-II-1	9.3
10	-800	-336	-2467	-43	-481	156	13.40	16.08	(5+6)-II-1	13
11	3270	-5758	5158	-84	1173	-223	13.40	16.08	(5+6)-II-4	6.2
12	5424	-9792	-3633	-310	-2523	637	13.40	16.08	(5+6)-I-1	2.9
Massimi/minimi										
1							13.40			
1								16.08		
7										1.3

Muro : 41 - Nodi: [99-100-112-157]Pann=8Spess.=30 cm, Terreno=--, Criterio=CLS_Muri, Materiale=C25/30: **Verificato**

Armatura a maglia doppia

Pann.	Nx	<th>Nxy</th> <th>Mx</th> <th>My</th> <th>Mxy</th> <th>Ax</th> <th>Ay</th> <th>C</th> <th>Cs</th>	Nxy	Mx	My	Mxy	Ax	Ay	C	Cs
	kg	kg	kg	kg*m	kg*m	kg*m	cmq	cmq		
1	2219	4269	-2822	67	265	173	13.40	16.08	(5+6)-V-4	17
2	-624	2146	-894	50	263	184	13.40	16.08	(5+6)-VII-4	17
3	300	984	-17421	2	115	-298	13.40	16.08	(5+6)-VIII-1	19
4	-125	94	-19292	2	137	-256	13.40	16.08	(5+6)-IV-3	20
5	-653	1113	-16813	42	149	-289	13.40	16.08	(5+6)-VIII-1	18
6	-449	1969	-15660	46	178	-273	13.40	16.08	(5+6)-VIII-1	17
7	2505	7194	-4601	58	344	-121	13.40	16.08	(5+6)-I-4	15
8	-2072	12259	-8008	55	279	-143	13.40	16.08	(5+6)-III-3	16
Massimi/minimi										
1							13.40			
1								16.08		
7										15

Muro : 42 - Nodi: [97-95-161-152]Pann=8Spess.=30 cm, Terreno=--, Criterio=CLS_Muri, Materiale=C25/30: **Verificato**

Armatura a maglia doppia

Pann.	Nx	<th>Nxy</th> <th>Mx</th> <th>My</th> <th>Mxy</th> <th>Ax</th> <th>Ay</th> <th>C</th> <th>Cs</th>	Nxy	Mx	My	Mxy	Ax	Ay	C	Cs
	kg	kg	kg	kg*m	kg*m	kg*m	cmq	cmq		
1	-6704	8199	4617	141	321	185	13.40	16.08	(5+6)-I-1	14
2	-3497	688	-656	365	2136	154	13.40	16.08	(5+6)-I-1	3.5
3	219	97	-4917	-55	-500	-267	13.40	16.08	(5+6)-I-4	10
4	-595	442	3276	171	1455	158	13.40	16.08	(5+6)-I-1	4.9
5	-714	387	-4286	-48	-482	-237	13.40	16.08	(5+6)-I-4	11
6	-412	-197	4721	160	1394	198	13.40	16.08	(5+6)-I-1	5.1
7	-5345	8672	-4353	-132	-302	-299	13.40	16.08	(5+6)-I-4	12
8	-328	-1916	2234	385	2211	10	13.40	16.08	(5+6)-V-1	3.7
Massimi/minimi										
1							13.40			
1								16.08		
2										3.5

Muro : 43 - Nodi: [100-0-153-112]Pann=8Spess.=30 cm, Terreno=--, Criterio=CLS_Muri, Materiale=C25/30: **Verificato**

Armatura a maglia doppia

Pann.	Nx	<th>Nxy</th> <th>Mx</th> <th>My</th> <th>Mxy</th> <th>Ax</th> <th>Ay</th> <th>C</th> <th>Cs</th>	Nxy	Mx	My	Mxy	Ax	Ay	C	Cs
	kg	kg	kg	kg*m	kg*m	kg*m	cmq	cmq		
1	-3070	17115	7345	-53	-468	243	13.40	16.08	(5+6)-VIII-4	8.5
2	-3760	12119	-426	-32	-304	380	13.40	16.08	(5+6)-VIII-4	9.6
3	148	-618	-7910	16	128	-268	13.40	16.08	(5+6)-VIII-1	20
4	-2088	2005	-9226	55	423	-293	13.40	16.08	(5+6)-VIII-1	11
5	885	-644	-6191	-92	190	-406	13.40	16.08	(5+6)-VIII-1	13
6	1095	-992	-8369	-58	482	-153	13.40	16.08	(5+6)-VIII-1	13
7	5164	15314	-6429	502	1884	-693	13.40	16.08	(5+6)-VIII-1	2.4
8	2603	6857	-6072	388	741	-267	13.40	16.08	(5+6)-VIII-1	7.2
Massimi/minimi										
1							13.40			
1								16.08		
7										2.4

Muro : 44 - Nodi: [0-99-157-156]Pann=4Spess.=30 cm, Terreno=--, Criterio=CLS_Muri, Materiale=C25/30: **Verificato**

Armatura a maglia doppia

Pann.	Nx	<th>Nxy</th> <th>Mx</th> <th>My</th> <th>Mxy</th> <th>Ax</th> <th>Ay</th> <th>C</th> <th>Cs</th>	Nxy	Mx	My	Mxy	Ax	Ay	C	Cs
	kg	kg	kg	kg*m	kg*m	kg*m	cmq	cmq		
1	6744	9112	4835	462	1860	568	13.40	16.08	(5+6)-IV-2	2.9
2	2641	6961	4441	333	834	165	13.40	16.08	(5+6)-IV-2	7.2
3	-907	6840	421	-28	-339	-315	13.40	16.08	(5+6)-IV-3	11
4	-1018	-1171	887	-49	-438	-197	13.40	16.08	(5+6)-IV-3	13
Massimi/minimi										
1							13.40			
1								16.08		
1										2.9

Verifiche stato limite di esercizio

Verifica delle travi (Stati limite esercizio)

Scenario di calcolo: Set_NT_SLV_SLD_A2STR/GEO_2018

Simbologia

Terreno	Nome della stratigrafia per travi Winkler
L [cm]	Lunghezza teorica elemento (distanza tra i nodi)
Ln [cm]	Lunghezza netta elemento (tiene conto dei conci rigidi)
L2,L3 [cm]	Lunghezze libere di inflessione
Sez. R: Sezione Rettangolare	
	By[cm]: Larghezza (asse locale y)
	Bz[cm]: Larghezza (asse locale z)
Sez. T: Sezione a T (rovescia e non)	
	Ba[cm]: Larghezza base inferiore
	Ha[cm]: Altezza inferiore
	Bs[cm]: Larghezza superiore
	Hs[cm]: Altezza superiore
Sez. L: Sezione ad L (rovescia e non)	
	Ba[cm]: Larghezza base inferiore
	Ha[cm]: Altezza inferiore
	Bs[cm]: Larghezza superiore
	Hs[cm]: Altezza superiore
Sez. C: Sezione circolare	
	R[cm]: Raggio
Sez. G: Sezione generica	
	B[cm]: Larghezza
	H[cm]: Altezza
X [cm]	Punto di verifica
σ_{ca} [kg/cmq]	Tensione ammissibile nel cls
σ_{fa} [kg/cmq]	Tensione ammissibile nell'acciaio
σ_{cta} [kg/cmq]	Tensione ammissibile a trazione (quando richiesto dalla verifica)
M- [kg^*m]	Momento negativo massimo di calcolo
M+ [kg^*m]	Momento positivo massimo di calcolo
M [kg^*m]	Momento di calcolo (travi a flessione, pilastri circolari)
M_y [kg^*m]	Momento calcolo per verifiche a pressoflessione
M_z [kg^*m]	Momento calcolo per verifiche a pressoflessione (Sez. L,Pilastri)
N [kg]	Sforzo normale corrispondente ad My (e Mz per Sez. L,Pilastri)
Afsup [cmq]	Area di ferro superiore
Afinf [cmq]	Area di ferro inferiore
Afsin [cmq]	Area di ferro sinistra (Sez. L)
Afdes [cmq]	Area di ferro destra (Sez. L)
σ_{c-} [kg/cmq]	Tensione nel cls compresso per effetto di M-
σ_{cy} [kg/cmq]	Tensione nel cls compresso per effetto di (N,My) in caso di pressoflessione retta
σ_{cz} [kg/cmq]	Tensione nel cls compresso per effetto di (N,Mz) in caso di pressoflessione retta
σ_{c+} [kg/cmq]	Tensione nel cls compresso per effetto di M+
σ_{ct-} [kg/cmq]	Tensione nel cls tesio per effetto di M-
σ_{ct+} [kg/cmq]	Tensione nel cls tesio per effetto di M+
σ_{f-} [kg/cmq]	Tensione nell'acciaio per effetto di M-
σ_{f+} [kg/cmq]	Tensione nell'acciaio per effetto di M+
σ_{fy} [kg/cmq]	Tensione nel acciaio per effetto di (N,My) in caso di pressoflessione retta
$\sigma_{ fz}$ [kg/cmq]	Tensione nel acciaio per effetto di (N,Mz) in caso di pressoflessione retta
Cb-	Combinazione di carico generatore di M-

Cb+	Combinazione di carico generatore di M+
σ_c [kg/cmq]	Tensione nel cls per effetto di N My
σ_f [kg/cmq]	Tensione nell'acciaio per effetto di N My
Cb	Combinazione di carico generatore di N My
Act [mq]	Area di calcestruzzo tesو
Aft [cmq]	Area di acciaio tesو
pAft [cm]	Perimetro area di acciaio tesو
S _{r,max} [cm]	Distanza massima delle fessure
σ_{sfmed} [kg/cmq]	Tensione media dell'acciaio
Wd [mm]	Apertura delle fessure
Wk [mm]	Apertura caratteristica delle fessure
Wamm_Freq [mm]	Apertura ammissibile delle fessure per combinazione Frequentе
Wamm_Qp [mm]	Apertura ammissibile delle fessure per combinazione Quasi Permanente
Wamm_Rara [mm]	Apertura ammissibile delle fessure per combinazione Rara
Cs	Coefficiente di sicurezza definito come minimo di σ_{Amm}/σ tra acciaio e calcestruzzо oppure Wamm/Wk

Trave: 101 [153,112], Pilastrate [-,8] Sez. R: By=30.0 cm Bz=100.0 cm L=306.5 cm Ln=426.5 cm
Criterio: CLS_TraviAlte_30x100

Combinazione Rara: σ_{ca} [kg/cmq]=149 σ_{fa} [kg/cmq]=3600

X	M+	M-	Afsup	Afinf	σ_{c+}	σ_{f+}	σ_{c-}	σ_{f-}	Cb+	Cb-.	Ver.	CS
cm	kg*m	kg*m	cmq	cmq	kg/cmq	kg/cmq	kg/cmq	kg/cmq				
0.0	65	--	10.05	10.05	-0	7	--	--	9	10	Si	>100
42.6	164	--	10.05	10.05	-0	18	--	--	9	10	Si	>100
213.2	80	--	10.05	10.05	-0	9	--	--	10	9	Si	>100
383.8	--	903	10.05	10.05	--	--	-2	101	10	9	Si	36
426.5	--	1357	10.05	10.05	--	--	-3	151	10	9	Si	24

Combinazione QP: σ_{ca} [kg/cmq]=112 σ_{fa} [kg/cmq]=3600

X	M+	M-	Afsup	Afinf	σ_{c+}	σ_{f+}	σ_{c-}	σ_{f-}	Cb+	Cb-.	Ver.	CS
cm	kg*m	kg*m	cmq	cmq	kg/cmq	kg/cmq	kg/cmq	kg/cmq				
0.0	47	--	10.05	10.05	-0	5	--	--	15	15	Si	>100
42.6	156	--	10.05	10.05	-0	17	--	--	15	15	Si	>100
213.2	81	--	10.05	10.05	-0	9	--	--	15	15	Si	>100
383.8	--	715	10.05	10.05	--	--	-2	80	15	15	Si	45
426.5	--	1155	10.05	10.05	--	--	-3	129	15	15	Si	28

Trave: 101 [112,109], Pilastrate [8,9] Sez. R: By=30.0 cm Bz=50.0 cm L=724.7 cm Ln=604.7 cm
Criterio: CLS_TraviAlte

Combinazione Rara: σ_{ca} [kg/cmq]=149 σ_{fa} [kg/cmq]=3600

X	M+	M-	Afsup	Afinf	σ_{c+}	σ_{f+}	σ_{c-}	σ_{f-}	Cb+	Cb-.	Ver.	CS
cm	kg*m	kg*m	cmq	cmq	kg/cmq	kg/cmq	kg/cmq	kg/cmq				
0.0	--	4822	6.03	6.03	--	--	-47	1913	10	9	Si	1.9
60.5	--	2159	6.03	6.03	--	--	-21	857	10	9	Si	4.2
302.4	2589	--	6.03	6.03	-25	1027	--	--	9	10	Si	3.5
544.2	--	1725	6.03	6.03	--	--	-17	685	10	9	Si	5.3
604.7	--	3808	6.03	6.03	--	--	-37	1511	10	9	Si	2.4

Combinazione QP: σ_{ca} [kg/cmq]=112 σ_{fa} [kg/cmq]=3600

X	M+	M-	Afsup	Afinf	σ_{c+}	σ_{f+}	σ_{c-}	σ_{f-}	Cb+	Cb-.	Ver.	CS
cm	kg*m	kg*m	cmq	cmq	kg/cmq	kg/cmq	kg/cmq	kg/cmq				
0.0	--	3855	6.03	6.03	--	--	-38	1529	15	15	Si	2.4
60.5	--	1732	6.03	6.03	--	--	-17	687	15	15	Si	5.2
302.4	2072	--	6.03	6.03	-20	822	--	--	15	15	Si	4.4
544.2	--	1345	6.03	6.03	--	--	-13	534	15	15	Si	6.7
604.7	--	3026	6.03	6.03	--	--	-29	1201	15	15	Si	3.0

Trave: 101 [109,110], Pilastrate [9,10] Sez. R: By=30.0 cm Bz=50.0 cm L=504.6 cm Ln=504.6 cm
Criterio: CLS_TraviAlte

Combinazione Rara: $\sigma_{ca}[\text{kg/cmq}] = 149$ $\sigma_{fa}[\text{kg/cmq}] = 3600$

X	M+	M-	Afsup	Afinf	σ_{c+}	σ_{f+}	σ_{c-}	σ_{f-}	Cb+	Cb-	Ver.	CS
cm	kg*m	kg*m	cmq	cmq	kg/cmq	kg/cmq	kg/cmq	kg/cmq				
0.0	--	8419	8.04	6.03	--	--	-74	2531	10	9	Si	1.4
50.5	--	4177	8.04	6.03	--	--	-37	1256	10	9	Si	2.9
252.3	3426	--	6.03	6.03	-33	1359	--	--	9	10	Si	2.6
454.1	--	4134	8.04	6.03	--	--	-36	1243	10	9	Si	2.9
504.6	--	7876	8.04	6.03	--	--	-69	2368	10	9	Si	1.5

Combinazione QP: $\sigma_{ca}[\text{kg/cmq}] = 112$ $\sigma_{fa}[\text{kg/cmq}] = 3600$

X	M+	M-	Afsup	Afinf	σ_{c+}	σ_{f+}	σ_{c-}	σ_{f-}	Cb+	Cb-	Ver.	CS
cm	kg*m	kg*m	cmq	cmq	kg/cmq	kg/cmq	kg/cmq	kg/cmq				
0.0	--	6523	8.04	6.03	--	--	-57	1961	15	15	Si	1.8
50.5	--	3285	8.04	6.03	--	--	-29	988	15	15	Si	3.6
252.3	2558	--	6.03	6.03	-25	1015	--	--	15	15	Si	3.5
454.1	--	3106	8.04	6.03	--	--	-27	934	15	15	Si	3.9
504.6	--	5942	8.04	6.03	--	--	-52	1786	15	15	Si	2.0

Trave: 101 [110,111], Pilastre [10,11] Sez. R: By=30.0 cm Bz=50.0 cm L=444.7 cm Ln=444.7 cm
Criterio: CLS_TraviAlte

Combinazione Rara: $\sigma_{ca}[\text{kg/cmq}] = 149$ $\sigma_{fa}[\text{kg/cmq}] = 3600$

X	M+	M-	Afsup	Afinf	σ_{c+}	σ_{f+}	σ_{c-}	σ_{f-}	Cb+	Cb-	Ver.	CS
cm	kg*m	kg*m	cmq	cmq	kg/cmq	kg/cmq	kg/cmq	kg/cmq				
0.0	--	2777	6.03	6.03	--	--	-27	1102	10	9	Si	3.3
44.5	--	720	6.03	6.03	--	--	-7	285	10	9	Si	13
222.4	2262	--	6.03	6.03	-22	898	--	--	9	10	Si	4.0
400.2	--	3156	6.03	6.03	--	--	-31	1252	10	9	Si	2.9
444.7	--	5797	6.03	6.03	--	--	-56	2300	10	9	Si	1.6

Combinazione QP: $\sigma_{ca}[\text{kg/cmq}] = 112$ $\sigma_{fa}[\text{kg/cmq}] = 3600$

X	M+	M-	Afsup	Afinf	σ_{c+}	σ_{f+}	σ_{c-}	σ_{f-}	Cb+	Cb-	Ver.	CS
cm	kg*m	kg*m	cmq	cmq	kg/cmq	kg/cmq	kg/cmq	kg/cmq				
0.0	--	2088	6.03	6.03	--	--	-20	828	15	15	Si	4.3
44.5	--	516	6.03	6.03	--	--	-5	205	15	15	Si	18
222.4	1728	--	6.03	6.03	-17	686	--	--	15	15	Si	5.2
400.2	--	2493	6.03	6.03	--	--	-24	989	15	15	Si	3.6
444.7	--	4540	6.03	6.03	--	--	-44	1801	15	15	Si	2.0

Trave: 101 [111,113], Pilastre [11,12] Sez. R: By=30.0 cm Bz=50.0 cm L=606.2 cm Ln=606.2 cm
Criterio: CLS_TraviAlte

Combinazione Rara: $\sigma_{ca}[\text{kg/cmq}] = 149$ $\sigma_{fa}[\text{kg/cmq}] = 3600$

X	M+	M-	Afsup	Afinf	σ_{c+}	σ_{f+}	σ_{c-}	σ_{f-}	Cb+	Cb-	Ver.	CS
cm	kg*m	kg*m	cmq	cmq	kg/cmq	kg/cmq	kg/cmq	kg/cmq				
0.0	--	4075	6.03	6.03	--	--	-40	1617	10	9	Si	2.2
60.6	--	1916	6.03	6.03	--	--	-19	760	10	9	Si	4.7
303.1	2873	--	6.03	6.03	-28	1140	--	--	9	10	Si	3.2
545.6	--	1325	6.03	6.03	--	--	-13	526	10	9	Si	6.8
606.2	--	3860	6.03	6.03	--	--	-38	1532	10	9	Si	2.4

Combinazione QP: $\sigma_{ca}[\text{kg/cmq}] = 112$ $\sigma_{fa}[\text{kg/cmq}] = 3600$

X	M+	M-	Afsup	Afinf	σ_{c+}	σ_{f+}	σ_{c-}	σ_{f-}	Cb+	Cb-	Ver.	CS
cm	kg*m	kg*m	cmq	cmq	kg/cmq	kg/cmq	kg/cmq	kg/cmq				
0.0	--	3242	6.03	6.03	--	--	-32	1286	15	15	Si	2.8
60.6	--	1499	6.03	6.03	--	--	-15	595	15	15	Si	6.1
303.1	2289	--	6.03	6.03	-22	908	--	--	15	15	Si	4.0
545.6	--	1092	6.03	6.03	--	--	-11	433	15	15	Si	8.3
606.2	--	3117	6.03	6.03	--	--	-30	1237	15	15	Si	2.9

Trave: 101 [113,152], Pilastre [12,--] Sez. R: By=30.0 cm Bz=50.0 cm L=395.0 cm Ln=395.0 cm
Criterio: CLS_TraviAlte

Combinazione Rara: $\sigma_{ca}[\text{kg/cmq}] = 149$ $\sigma_{fa}[\text{kg/cmq}] = 3600$

X	M+	M-	Afsup	Afinf	σ_{c+}	σ_{f+}	σ_{c-}	σ_{f-}	Cb+	Cb-	Ver.	CS
cm	kg*m	kg*m	cmq	cmq	kg/cmq	kg/cmq	kg/cmq	kg/cmq				

X	M+	M-	Afsup	Afinf	σ_{c+}	σ_{f+}	σ_{c-}	σ_{f-}	Cb+	Cb-	Ver.	CS
cm	kg*m	kg*m	cmq	cmq	kg/cmq	kg/cmq	kg/cmq	kg/cmq				
0.0	--	4573	6.03	6.03	--	--	-45	1814	10	9	Si	2.0
39.5	--	3153	6.03	6.03	--	--	-31	1251	10	9	Si	2.9
197.5	611	--	6.03	6.03	-6	242	--	--	9	10	Si	15
355.5	431	--	6.03	6.03	-4	171	--	--	10	9	Si	21
395.0	--	341	6.03	6.03	--	--	-3	135	10	9	Si	27

Combinazione QP: $\sigma_{ca}[\text{kg}/\text{cmq}] = 112$ $\sigma_{fa}[\text{kg}/\text{cmq}] = 3600$

X	M+	M-	Afsup	Afinf	σ_{c+}	σ_{f+}	σ_{c-}	σ_{f-}	Cb+	Cb-	Ver.	CS
cm	kg*m	kg*m	cmq	cmq	kg/cmq	kg/cmq	kg/cmq	kg/cmq				
0.0	--	3778	6.03	6.03	--	--	-37	1499	15	15	Si	2.4
39.5	--	2610	6.03	6.03	--	--	-25	1035	15	15	Si	3.5
197.5	501	--	6.03	6.03	-5	199	--	--	15	15	Si	18
355.5	418	--	6.03	6.03	-4	166	--	--	15	15	Si	22
395.0	--	104	6.03	6.03	--	--	-1	41	15	15	Si	88

Trave: 102 [156,157], Pilastrate [--,--] Sez. R: By=30.0 cm Bz=100.0 cm L=174.4 cm Ln=174.4 cm
Criterio: CLS_TraviAlte_30x100

Combinazione Rara: $\sigma_{ca}[\text{kg}/\text{cmq}] = 149$ $\sigma_{fa}[\text{kg}/\text{cmq}] = 3600$

X	M+	M-	Afsup	Afinf	σ_{c+}	σ_{f+}	σ_{c-}	σ_{f-}	Cb+	Cb-	Ver.	CS
cm	kg*m	kg*m	cmq	cmq	kg/cmq	kg/cmq	kg/cmq	kg/cmq				
0.0	215	--	10.05	10.05	-1	24	--	--	9	10	Si	>100
17.4	187	--	10.05	10.05	-0	21	--	--	9	10	Si	>100
87.2	--	37	10.05	10.05	--	--	-0	4	10	9	Si	>100
157.0	--	310	10.05	10.05	--	--	-1	35	10	9	Si	>100
174.4	--	435	10.05	10.05	--	--	-1	49	10	9	Si	74

Combinazione QP: $\sigma_{ca}[\text{kg}/\text{cmq}] = 112$ $\sigma_{fa}[\text{kg}/\text{cmq}] = 3600$

X	M+	M-	Afsup	Afinf	σ_{c+}	σ_{f+}	σ_{c-}	σ_{f-}	Cb+	Cb-	Ver.	CS
cm	kg*m	kg*m	cmq	cmq	kg/cmq	kg/cmq	kg/cmq	kg/cmq				
0.0	185	--	10.05	10.05	-0	21	--	--	15	15	Si	>100
17.4	171	--	10.05	10.05	-0	19	--	--	15	15	Si	>100
87.2	--	12	10.05	10.05	--	--	-0	1	15	15	Si	>100
157.0	--	245	10.05	10.05	--	--	-1	27	15	15	Si	>100
174.4	--	361	10.05	10.05	--	--	-1	40	15	15	Si	89

Trave: 103 [147,105], Pilastrate [--,4] Sez. R: By=30.0 cm Bz=100.0 cm L=246.9 cm Ln=246.9 cm
Criterio: CLS_TraviAlte_30x100

Combinazione Rara: $\sigma_{ca}[\text{kg}/\text{cmq}] = 149$ $\sigma_{fa}[\text{kg}/\text{cmq}] = 3600$

X	M+	M-	Afsup	Afinf	σ_{c+}	σ_{f+}	σ_{c-}	σ_{f-}	Cb+	Cb-	Ver.	CS
cm	kg*m	kg*m	cmq	cmq	kg/cmq	kg/cmq	kg/cmq	kg/cmq				
0.0	190	--	10.05	10.05	-0	21	--	--	9	10	Si	>100
24.7	828	--	10.05	10.05	-2	92	--	--	9	10	Si	39
123.5	1462	--	10.05	10.05	-3	163	--	--	9	10	Si	22
222.2	--	970	10.05	10.05	--	--	-2	108	10	9	Si	33
246.9	--	2057	10.05	10.05	--	--	-5	230	10	9	Si	16

Combinazione QP: $\sigma_{ca}[\text{kg}/\text{cmq}] = 112$ $\sigma_{fa}[\text{kg}/\text{cmq}] = 3600$

X	M+	M-	Afsup	Afinf	σ_{c+}	σ_{f+}	σ_{c-}	σ_{f-}	Cb+	Cb-	Ver.	CS
cm	kg*m	kg*m	cmq	cmq	kg/cmq	kg/cmq	kg/cmq	kg/cmq				
0.0	185	--	10.05	10.05	-0	21	--	--	15	15	Si	>100
24.7	680	--	10.05	10.05	-2	76	--	--	15	15	Si	47
123.5	1111	--	10.05	10.05	-3	124	--	--	15	15	Si	29
222.2	--	939	10.05	10.05	--	--	-2	105	15	15	Si	34
246.9	--	1839	10.05	10.05	--	--	-4	205	15	15	Si	18

Trave: 103 [105,144], Pilastrate [4,--) Sez. R: By=30.0 cm Bz=100.0 cm L=324.5 cm Ln=324.5 cm
Criterio: CLS_TraviAlte_30x100

Combinazione Rara: $\sigma_{ca}[\text{kg}/\text{cmq}] = 149$ $\sigma_{fa}[\text{kg}/\text{cmq}] = 3600$

X	M+	M-	Afsup	Afinf	σ_{c+}	σ_{f+}	σ_{c-}	σ_{f-}	Cb+	Cb-	Ver.	CS
cm	kg*m	kg*m	cmq	cmq	kg/cmq	kg/cmq	kg/cmq	kg/cmq				
0.0	--	5678	10.05	10.05	--	--	-13	634	10	9	Si	5.7
32.4	--	3632	10.05	10.05	--	--	-9	405	10	9	Si	8.9
162.2	1580	--	10.05	10.05	-4	176	--	--	9	10	Si	20

X	M+	M-	Afsup	Afinf	σ_{c+}	σ_{f+}	σ_{c-}	σ_{f-}	Cb+	Cb-	Ver.	CS
cm	kg*m	kg*m	cmq	cmq	kg/cmq	kg/cmq	kg/cmq	kg/cmq				
292.0	1498	--	10.05	10.05	-4	167	--	--	9	10	Si	22
324.5	651	--	10.05	10.05	-2	73	--	--	9	10	Si	50

Combinazione QP: $\sigma_{ca}[\text{kg/cmq}] = 112$ $\sigma_{fa}[\text{kg/cmq}] = 3600$

X	M+	M-	Afsup	Afinf	σ_{c+}	σ_{f+}	σ_{c-}	σ_{f-}	Cb+	Cb-	Ver.	CS
cm	kg*m	kg*m	cmq	cmq	kg/cmq	kg/cmq	kg/cmq	kg/cmq				
0.0	--	4809	10.05	10.05	--	--	-11	537	15	15	Si	6.7
32.4	--	3123	10.05	10.05	--	--	-7	349	15	15	Si	10
162.2	1192	--	10.05	10.05	-3	133	--	--	15	15	Si	27
292.0	1226	--	10.05	10.05	-3	137	--	--	15	15	Si	26
324.5	566	--	10.05	10.05	-1	63	--	--	15	15	Si	57

Trave: 104 [131,102], Pilastri [-,1] Sez. R: By=30.0 cm Bz=100.0 cm L=426.5 cm Ln=426.5 cm
Criterio: CLS_TraviAlte_30x100

Combinazione Rara: $\sigma_{ca}[\text{kg/cmq}] = 149$ $\sigma_{fa}[\text{kg/cmq}] = 3600$

X	M+	M-	Afsup	Afinf	σ_{c+}	σ_{f+}	σ_{c-}	σ_{f-}	Cb+	Cb-	Ver.	CS
cm	kg*m	kg*m	cmq	cmq	kg/cmq	kg/cmq	kg/cmq	kg/cmq				
0.0	645	--	10.05	10.05	-2	72	--	--	9	10	Si	50
42.6	1189	--	10.05	10.05	-3	133	--	--	9	10	Si	27
213.2	187	--	10.05	10.05	-0	21	--	--	9	10	Si	>100
383.8	--	5896	10.05	10.05	--	--	-14	658	10	9	Si	5.5
426.5	--	8211	10.05	10.05	--	--	-20	916	10	9	Si	3.9

Combinazione QP: $\sigma_{ca}[\text{kg/cmq}] = 112$ $\sigma_{fa}[\text{kg/cmq}] = 3600$

X	M+	M-	Afsup	Afinf	σ_{c+}	σ_{f+}	σ_{c-}	σ_{f-}	Cb+	Cb-	Ver.	CS
cm	kg*m	kg*m	cmq	cmq	kg/cmq	kg/cmq	kg/cmq	kg/cmq				
0.0	605	--	10.05	10.05	-1	67	--	--	15	15	Si	53
42.6	1078	--	10.05	10.05	-3	120	--	--	15	15	Si	30
213.2	147	--	10.05	10.05	-0	16	--	--	15	15	Si	>100
383.8	--	5307	10.05	10.05	--	--	-13	592	15	15	Si	6.1
426.5	--	7378	10.05	10.05	--	--	-18	823	15	15	Si	4.4

Trave: 104 [102,132], Pilastri [1,--] Sez. R: By=30.0 cm Bz=100.0 cm L=634.7 cm Ln=634.7 cm
Criterio: CLS_TraviAlte_30x100

Combinazione Rara: $\sigma_{ca}[\text{kg/cmq}] = 149$ $\sigma_{fa}[\text{kg/cmq}] = 3600$

X	M+	M-	Afsup	Afinf	σ_{c+}	σ_{f+}	σ_{c-}	σ_{f-}	Cb+	Cb-	Ver.	CS
cm	kg*m	kg*m	cmq	cmq	kg/cmq	kg/cmq	kg/cmq	kg/cmq				
0.0	--	4177	10.05	10.05	--	--	-10	466	10	9	Si	7.7
63.5	--	924	10.05	10.05	--	--	-2	103	9	10	Si	35
317.4	5491	--	10.05	10.05	-13	613	--	--	9	10	Si	5.9
571.2	631	--	10.05	10.05	-1	70	--	--	10	9	Si	51
634.7	--	2425	10.05	10.05	--	--	-6	271	10	9	Si	13

Combinazione QP: $\sigma_{ca}[\text{kg/cmq}] = 112$ $\sigma_{fa}[\text{kg/cmq}] = 3600$

X	M+	M-	Afsup	Afinf	σ_{c+}	σ_{f+}	σ_{c-}	σ_{f-}	Cb+	Cb-	Ver.	CS
cm	kg*m	kg*m	cmq	cmq	kg/cmq	kg/cmq	kg/cmq	kg/cmq				
0.0	--	3916	10.05	10.05	--	--	-9	437	15	15	Si	8.2
63.5	--	910	10.05	10.05	--	--	-2	102	15	15	Si	35
317.4	4852	--	10.05	10.05	-12	542	--	--	15	15	Si	6.6
571.2	598	--	10.05	10.05	-1	67	--	--	15	15	Si	54
634.7	--	2030	10.05	10.05	--	--	-5	227	15	15	Si	16

Trave: 105 [145,104], Pilastri [--,3] Sez. R: By=30.0 cm Bz=50.0 cm L=475.5 cm Ln=476.5 cm
Criterio: CLS_TraviAlte

Combinazione Rara: $\sigma_{ca}[\text{kg/cmq}] = 149$ $\sigma_{fa}[\text{kg/cmq}] = 3600$

X	M+	M-	Afsup	Afinf	σ_{c+}	σ_{f+}	σ_{c-}	σ_{f-}	Cb+	Cb-	Ver.	CS
cm	kg*m	kg*m	cmq	cmq	kg/cmq	kg/cmq	kg/cmq	kg/cmq				
0.0	--	1775	6.03	6.03	--	--	-17	704	10	9	Si	5.1
47.6	635	--	6.03	6.03	-6	252	--	--	9	10	Si	14
238.2	3398	--	6.03	6.03	-33	1348	--	--	9	10	Si	2.7
428.8	--	4839	8.04	6.03	--	--	-43	1455	10	9	Si	2.5
476.5	--	8508	8.04	6.03	--	--	-75	2558	10	9	Si	1.4

Combinazione QP: $\sigma_{ca}[\text{kg/cmq}] = 112$ $\sigma_{fa}[\text{kg/cmq}] = 3600$

X	M+	M-	Afsup	Afinf	σ_{c+}	σ_{f+}	σ_{c-}	σ_{f-}	Cb+	Cb-	Ver.	CS
cm	kg*m	kg*m	cmq	cmq	kg/cmq	kg/cmq	kg/cmq	kg/cmq				
0.0	--	1408	6.03	6.03	--	--	-14	559	15	15	Si	6.4
47.6	463	--	6.03	6.03	-5	184	--	--	15	15	Si	20
238.2	2621	--	6.03	6.03	-26	1040	--	--	15	15	Si	3.5
428.8	--	3740	8.04	6.03	--	--	-33	1124	15	15	Si	3.2
476.5	--	6581	8.04	6.03	--	--	-58	1979	15	15	Si	1.8

Trave: 105 [104,146], Pilastrate [3,--] Sez. R: By=30.0 cm Bz=50.0 cm L=415.8 cm Ln=416.9 cm

Criterio: CLS_TraviAlte

Combinazione Rara: $\sigma_{ca}[\text{kg/cmq}] = 149$ $\sigma_{fa}[\text{kg/cmq}] = 3600$

X	M+	M-	Afsup	Afinf	σ_{c+}	σ_{f+}	σ_{c-}	σ_{f-}	Cb+	Cb-	Ver.	CS
cm	kg*m	kg*m	cmq	cmq	kg/cmq	kg/cmq	kg/cmq	kg/cmq				
0.0	--	5033	6.03	6.03	--	--	-49	1997	10	9	Si	1.8
41.7	--	2318	6.03	6.03	--	--	-23	920	10	9	Si	3.9
208.4	3280	--	6.03	6.03	-32	1301	--	--	9	10	Si	2.8
375.2	458	--	6.03	6.03	-4	182	--	--	9	10	Si	20
416.9	--	1563	6.03	6.03	--	--	-15	620	10	9	Si	5.8

Combinazione QP: $\sigma_{ca}[\text{kg/cmq}] = 112$ $\sigma_{fa}[\text{kg/cmq}] = 3600$

X	M+	M-	Afsup	Afinf	σ_{c+}	σ_{f+}	σ_{c-}	σ_{f-}	Cb+	Cb-	Ver.	CS
cm	kg*m	kg*m	cmq	cmq	kg/cmq	kg/cmq	kg/cmq	kg/cmq				
0.0	--	3907	6.03	6.03	--	--	-38	1550	15	15	Si	2.3
41.7	--	1805	6.03	6.03	--	--	-18	716	15	15	Si	5.0
208.4	2528	--	6.03	6.03	-25	1003	--	--	15	15	Si	3.6
375.2	341	--	6.03	6.03	-3	135	--	--	15	15	Si	27
416.9	--	1224	6.03	6.03	--	--	-12	486	15	15	Si	7.4

Trave: 106 [133,103], Pilastrate [--,2] Sez. R: By=30.0 cm Bz=100.0 cm L=636.2 cm Ln=636.2 cm

Criterio: CLS_TraviAlte_30x100

Combinazione Rara: $\sigma_{ca}[\text{kg/cmq}] = 149$ $\sigma_{fa}[\text{kg/cmq}] = 3600$

X	M+	M-	Afsup	Afinf	σ_{c+}	σ_{f+}	σ_{c-}	σ_{f-}	Cb+	Cb-	Ver.	CS
cm	kg*m	kg*m	cmq	cmq	kg/cmq	kg/cmq	kg/cmq	kg/cmq				
0.0	--	2317	10.05	10.05	--	--	-6	259	10	9	Si	14
63.6	685	--	10.05	10.05	-2	76	--	--	10	9	Si	47
318.1	5552	--	10.05	10.05	-13	620	--	--	9	10	Si	5.8
572.6	--	907	10.05	10.05	--	--	-2	101	9	10	Si	36
636.2	--	4247	10.05	10.05	--	--	-10	474	10	9	Si	7.6

Combinazione QP: $\sigma_{ca}[\text{kg/cmq}] = 112$ $\sigma_{fa}[\text{kg/cmq}] = 3600$

X	M+	M-	Afsup	Afinf	σ_{c+}	σ_{f+}	σ_{c-}	σ_{f-}	Cb+	Cb-	Ver.	CS
cm	kg*m	kg*m	cmq	cmq	kg/cmq	kg/cmq	kg/cmq	kg/cmq				
0.0	--	1977	10.05	10.05	--	--	-5	221	15	15	Si	16
63.6	658	--	10.05	10.05	-2	73	--	--	15	15	Si	49
318.1	4911	--	10.05	10.05	-12	548	--	--	15	15	Si	6.6
572.6	--	900	10.05	10.05	--	--	-2	100	15	15	Si	36
636.2	--	3925	10.05	10.05	--	--	-9	438	15	15	Si	8.2

Trave: 106 [103,134], Pilastrate [2,--] Sez. R: By=30.0 cm Bz=100.0 cm L=425.0 cm Ln=425.0 cm

Criterio: CLS_TraviAlte_30x100

Combinazione Rara: $\sigma_{ca}[\text{kg/cmq}] = 149$ $\sigma_{fa}[\text{kg/cmq}] = 3600$

X	M+	M-	Afsup	Afinf	σ_{c+}	σ_{f+}	σ_{c-}	σ_{f-}	Cb+	Cb-	Ver.	CS
cm	kg*m	kg*m	cmq	cmq	kg/cmq	kg/cmq	kg/cmq	kg/cmq				
0.0	--	8224	10.05	10.05	--	--	-20	918	10	9	Si	3.9
42.5	--	5927	10.05	10.05	--	--	-14	662	10	9	Si	5.4
212.5	111	--	10.05	10.05	-0	12	--	--	9	10	Si	>100
382.5	1102	--	10.05	10.05	-3	123	--	--	9	10	Si	29
425.0	588	--	10.05	10.05	-1	66	--	--	10	9	Si	55

Combinazione QP: $\sigma_{ca}[\text{kg/cmq}] = 112$ $\sigma_{fa}[\text{kg/cmq}] = 3600$

X	M+	M-	Afsup	Afinf	σ_{c+}	σ_{f+}	σ_{c-}	σ_{f-}	Cb+	Cb-	Ver.	CS
cm	kg*m	kg*m	cmq	cmq	kg/cmq	kg/cmq	kg/cmq	kg/cmq				

X	M+	M-	Afsup	Afinf	σ_{c+}	σ_{f+}	σ_{c-}	σ_{f-}	Cb+	Cb-	Ver.	CS
cm	kg*m	kg*m	cmq	cmq	kg/cmq	kg/cmq	kg/cmq	kg/cmq				
0.0	--	7423	10.05	10.05	--	--	-18	828	15	15	Si	4.3
42.5	--	5358	10.05	10.05	--	--	-13	598	15	15	Si	6.0
212.5	91	--	10.05	10.05	-0	10	--	--	15	15	Si	>100
382.5	1050	--	10.05	10.05	-2	117	--	--	15	15	Si	31
425.0	588	--	10.05	10.05	-1	66	--	--	15	15	Si	55

Trave: 107 [143,108], Pilastri [-,7] Sez. R: By=30.0 cm Bz=100.0 cm L=326.0 cm Ln=326.0 cm
Criterio: CLS_TraviAlte_30x100

Combinazione Rara: $\sigma_{ca}[\text{kg}/\text{cmq}] = 149$ $\sigma_{fa}[\text{kg}/\text{cmq}] = 3600$

X	M+	M-	Afsup	Afinf	σ_{c+}	σ_{f+}	σ_{c-}	σ_{f-}	Cb+	Cb-	Ver.	CS
cm	kg*m	kg*m	cmq	cmq	kg/cmq	kg/cmq	kg/cmq	kg/cmq				
0.0	1040	--	10.05	10.05	-2	116	--	--	9	10	Si	31
32.6	2033	--	10.05	10.05	-5	227	--	--	9	10	Si	16
163.0	2141	--	10.05	10.05	-5	239	--	--	9	10	Si	15
293.4	--	3935	10.05	10.05	--	--	-9	439	10	9	Si	8.2
326.0	--	6337	10.05	10.05	--	--	-15	707	10	9	Si	5.1

Combinazione QP: $\sigma_{ca}[\text{kg}/\text{cmq}] = 112$ $\sigma_{fa}[\text{kg}/\text{cmq}] = 3600$

X	M+	M-	Afsup	Afinf	σ_{c+}	σ_{f+}	σ_{c-}	σ_{f-}	Cb+	Cb-	Ver.	CS
cm	kg*m	kg*m	cmq	cmq	kg/cmq	kg/cmq	kg/cmq	kg/cmq				
0.0	901	--	10.05	10.05	-2	101	--	--	15	15	Si	36
32.6	1682	--	10.05	10.05	-4	188	--	--	15	15	Si	19
163.0	1681	--	10.05	10.05	-4	188	--	--	15	15	Si	19
293.4	--	3321	10.05	10.05	--	--	-8	371	15	15	Si	9.7
326.0	--	5292	10.05	10.05	--	--	-13	591	15	15	Si	6.1

Trave: 107 [108,151], Pilastri [7,--] Sez. R: By=30.0 cm Bz=100.0 cm L=346.7 cm Ln=346.7 cm
Criterio: CLS_TraviAlte_30x100

Combinazione Rara: $\sigma_{ca}[\text{kg}/\text{cmq}] = 149$ $\sigma_{fa}[\text{kg}/\text{cmq}] = 3600$

X	M+	M-	Afsup	Afinf	σ_{c+}	σ_{f+}	σ_{c-}	σ_{f-}	Cb+	Cb-	Ver.	CS
cm	kg*m	kg*m	cmq	cmq	kg/cmq	kg/cmq	kg/cmq	kg/cmq				
0.0	--	1668	10.05	10.05	--	--	-4	186	10	9	Si	19
34.7	--	245	10.05	10.05	--	--	-1	27	9	10	Si	>100
173.4	2613	--	10.05	10.05	-6	292	--	--	9	10	Si	12
312.0	421	--	10.05	10.05	-1	47	--	--	9	10	Si	77
346.7	--	892	10.05	10.05	--	--	-2	100	10	9	Si	36

Combinazione QP: $\sigma_{ca}[\text{kg}/\text{cmq}] = 112$ $\sigma_{fa}[\text{kg}/\text{cmq}] = 3600$

X	M+	M-	Afsup	Afinf	σ_{c+}	σ_{f+}	σ_{c-}	σ_{f-}	Cb+	Cb-	Ver.	CS
cm	kg*m	kg*m	cmq	cmq	kg/cmq	kg/cmq	kg/cmq	kg/cmq				
0.0	--	1436	10.05	10.05	--	--	-3	160	15	15	Si	22
34.7	--	228	10.05	10.05	--	--	-1	25	15	15	Si	>100
173.4	2078	--	10.05	10.05	-5	232	--	--	15	15	Si	16
312.0	342	--	10.05	10.05	-1	38	--	--	15	15	Si	94
346.7	--	712	10.05	10.05	--	--	-2	79	15	15	Si	45

Trave: 108 [152,161], Pilastri [--,--] Sez. R: By=30.0 cm Bz=100.0 cm L=303.1 cm Ln=303.1 cm
Criterio: CLS_TraviAlte_30x100

Combinazione Rara: $\sigma_{ca}[\text{kg}/\text{cmq}] = 149$ $\sigma_{fa}[\text{kg}/\text{cmq}] = 3600$

X	M+	M-	Afsup	Afinf	σ_{c+}	σ_{f+}	σ_{c-}	σ_{f-}	Cb+	Cb-	Ver.	CS
cm	kg*m	kg*m	cmq	cmq	kg/cmq	kg/cmq	kg/cmq	kg/cmq				
0.0	--	390	10.05	10.05	--	--	-1	44	10	9	Si	83
30.3	--	221	10.05	10.05	--	--	-1	25	10	9	Si	>100
151.6	121	--	10.05	10.05	-0	14	--	--	10	9	Si	>100
272.8	--	258	10.05	10.05	--	--	-1	29	10	9	Si	>100
303.1	--	443	10.05	10.05	--	--	-1	49	10	9	Si	73

Combinazione QP: $\sigma_{ca}[\text{kg}/\text{cmq}] = 112$ $\sigma_{fa}[\text{kg}/\text{cmq}] = 3600$

X	M+	M-	Afsup	Afinf	σ_{c+}	σ_{f+}	σ_{c-}	σ_{f-}	Cb+	Cb-	Ver.	CS
cm	kg*m	kg*m	cmq	cmq	kg/cmq	kg/cmq	kg/cmq	kg/cmq				
0.0	--	305	10.05	10.05	--	--	-1	34	15	15	Si	>100
30.3	--	149	10.05	10.05	--	--	-0	17	15	15	Si	>100

X	M+	M-	Afsup	Afinf	σ_{c+}	σ_{f+}	σ_{c-}	σ_{f-}	Cb+	Cb-	Ver.	CS
cm	kg*m	kg*m	cmq	cmq	kg/cmq	kg/cmq	kg/cmq	kg/cmq				
151.6	121	--	10.05	10.05	-0	14	--	--	15	15	Si	>100
272.8	--	178	10.05	10.05	--	--	-0	20	15	15	Si	>100
303.1	--	346	10.05	10.05	--	--	-1	39	15	15	Si	93

Trave: 109 [162,118], Pilastrate [--,20] Sez. R: By=30.0 cm Bz=100.0 cm L=351.2 cm Ln=351.2 cm Criterio: CLS_TraviAlte_30x100

Combinazione Rara: $\sigma_{ca}[\text{kg/cmq}] = 149$ $\sigma_{fa}[\text{kg/cmq}] = 3600$

X	M+	M-	Afsup	Afinf	σ_{c+}	σ_{f+}	σ_{c-}	σ_{f-}	Cb+	Cb-	Ver.	CS
cm	kg*m	kg*m	cmq	cmq	kg/cmq	kg/cmq	kg/cmq	kg/cmq				
0.0	--	1014	10.05	10.05	--	--	-2	113	10	9	Si	32
35.1	757	--	10.05	10.05	-2	84	--	--	9	10	Si	43
175.6	3677	--	10.05	10.05	-9	410	--	--	9	10	Si	8.8
316.1	--	213	10.05	10.05	--	--	-1	24	9	10	Si	>100
351.2	--	2160	10.05	10.05	--	--	-5	241	10	9	Si	15

Combinazione QP: $\sigma_{ca}[\text{kg/cmq}] = 112$ $\sigma_{fa}[\text{kg/cmq}] = 3600$

X	M+	M-	Afsup	Afinf	σ_{c+}	σ_{f+}	σ_{c-}	σ_{f-}	Cb+	Cb-	Ver.	CS
cm	kg*m	kg*m	cmq	cmq	kg/cmq	kg/cmq	kg/cmq	kg/cmq				
0.0	--	809	10.05	10.05	--	--	-2	90	15	15	Si	40
35.1	618	--	10.05	10.05	-1	69	--	--	15	15	Si	52
175.6	2936	--	10.05	10.05	-7	328	--	--	15	15	Si	11
316.1	--	235	10.05	10.05	--	--	-1	26	15	15	Si	>100
351.2	--	1885	10.05	10.05	--	--	-4	210	15	15	Si	17

Trave: 109 [118,181], Pilastrate [20,--] Sez. R: By=30.0 cm Bz=100.0 cm L=335.2 cm Ln=335.2 cm Criterio: CLS_TraviAlte_30x100

Combinazione Rara: $\sigma_{ca}[\text{kg/cmq}] = 149$ $\sigma_{fa}[\text{kg/cmq}] = 3600$

X	M+	M-	Afsup	Afinf	σ_{c+}	σ_{f+}	σ_{c-}	σ_{f-}	Cb+	Cb-	Ver.	CS
cm	kg*m	kg*m	cmq	cmq	kg/cmq	kg/cmq	kg/cmq	kg/cmq				
0.0	--	5856	10.05	10.05	--	--	-14	654	10	9	Si	5.5
33.5	--	3576	10.05	10.05	--	--	-8	399	10	9	Si	9.0
167.6	1941	--	10.05	10.05	-5	217	--	--	9	10	Si	17
301.7	1313	--	10.05	10.05	-3	147	--	--	9	10	Si	25
335.2	212	--	10.05	10.05	-1	24	--	--	10	9	Si	>100

Combinazione QP: $\sigma_{ca}[\text{kg/cmq}] = 112$ $\sigma_{fa}[\text{kg/cmq}] = 3600$

X	M+	M-	Afsup	Afinf	σ_{c+}	σ_{f+}	σ_{c-}	σ_{f-}	Cb+	Cb-	Ver.	CS
cm	kg*m	kg*m	cmq	cmq	kg/cmq	kg/cmq	kg/cmq	kg/cmq				
0.0	--	4981	10.05	10.05	--	--	-12	556	15	15	Si	6.5
33.5	--	3094	10.05	10.05	--	--	-7	345	15	15	Si	10
167.6	1504	--	10.05	10.05	-4	168	--	--	15	15	Si	21
301.7	1102	--	10.05	10.05	-3	123	--	--	15	15	Si	29
335.2	221	--	10.05	10.05	-1	25	--	--	15	15	Si	>100

Trave: 110 [190,126], Pilastrate [--,25] Sez. R: By=30.0 cm Bz=100.0 cm L=382.2 cm Ln=382.2 cm Criterio: CLS_TraviAlte_30x100

Combinazione Rara: $\sigma_{ca}[\text{kg/cmq}] = 149$ $\sigma_{fa}[\text{kg/cmq}] = 3600$

X	M+	M-	Afsup	Afinf	σ_{c+}	σ_{f+}	σ_{c-}	σ_{f-}	Cb+	Cb-	Ver.	CS
cm	kg*m	kg*m	cmq	cmq	kg/cmq	kg/cmq	kg/cmq	kg/cmq				
0.0	879	--	10.05	10.05	-2	98	--	--	9	10	Si	37
38.2	818	--	10.05	10.05	-2	91	--	--	9	10	Si	39
191.1	--	520	10.05	10.05	--	--	-1	58	10	9	Si	62
344.0	--	3611	10.05	10.05	--	--	-9	403	10	9	Si	8.9
382.2	--	4657	10.05	10.05	--	--	-11	520	10	9	Si	6.9

Combinazione QP: $\sigma_{ca}[\text{kg/cmq}] = 112$ $\sigma_{fa}[\text{kg/cmq}] = 3600$

X	M+	M-	Afsup	Afinf	σ_{c+}	σ_{f+}	σ_{c-}	σ_{f-}	Cb+	Cb-	Ver.	CS
cm	kg*m	kg*m	cmq	cmq	kg/cmq	kg/cmq	kg/cmq	kg/cmq				
0.0	812	--	10.05	10.05	-2	91	--	--	15	15	Si	40
38.2	785	--	10.05	10.05	-2	88	--	--	15	15	Si	41
191.1	--	419	10.05	10.05	--	--	-1	47	15	15	Si	77
344.0	--	3376	10.05	10.05	--	--	-8	377	15	15	Si	9.6
382.2	--	4389	10.05	10.05	--	--	-10	490	15	15	Si	7.3

Trave: 110 [126,125], Pilastri [25,24] Sez. R: By=30.0 cm Bz=100.0 cm L=423.1 cm Ln=423.1 cm Criterio: CLS_TraviAlte_30x100

Combinazione Rara: $\sigma_{ca}[\text{kg/cmq}] = 149$ $\sigma_{fa}[\text{kg/cmq}] = 3600$

X	M+	M-	Afsup	Afinf	σ_{c+}	σ_{f+}	σ_{c-}	σ_{f-}	Cb+	Cb-	Ver.	CS
cm	kg*m	kg*m	cmq	cmq	kg/cmq	kg/cmq	kg/cmq	kg/cmq				
0.0	--	2800	10.05	10.05	--	--	-7	313	10	9	Si	12
42.3	--	1120	10.05	10.05	--	--	-3	125	10	9	Si	29
211.6	2403	--	10.05	10.05	-6	268	--	--	9	10	Si	13
380.8	805	--	10.05	10.05	-2	90	--	--	9	10	Si	40
423.1	--	394	10.05	10.05	--	--	-1	44	10	9	Si	82

Combinazione QP: $\sigma_{ca}[\text{kg/cmq}] = 112$ $\sigma_{fa}[\text{kg/cmq}] = 3600$

X	M+	M-	Afsup	Afinf	σ_{c+}	σ_{f+}	σ_{c-}	σ_{f-}	Cb+	Cb-	Ver.	CS
cm	kg*m	kg*m	cmq	cmq	kg/cmq	kg/cmq	kg/cmq	kg/cmq				
0.0	--	2582	10.05	10.05	--	--	-6	288	15	15	Si	12
42.3	--	1079	10.05	10.05	--	--	-3	120	15	15	Si	30
211.6	2087	--	10.05	10.05	-5	233	--	--	15	15	Si	15
380.8	707	--	10.05	10.05	-2	79	--	--	15	15	Si	46
423.1	--	348	10.05	10.05	--	--	-1	39	15	15	Si	93

Trave: 111 [125,179], Pilastri [24,--] Sez. R: By=30.0 cm Bz=100.0 cm L=405.2 cm Ln=405.2 cm Criterio: CLS_TraviAlte_30x100

Combinazione Rara: $\sigma_{ca}[\text{kg/cmq}] = 149$ $\sigma_{fa}[\text{kg/cmq}] = 3600$

X	M+	M-	Afsup	Afinf	σ_{c+}	σ_{f+}	σ_{c-}	σ_{f-}	Cb+	Cb-	Ver.	CS
cm	kg*m	kg*m	cmq	cmq	kg/cmq	kg/cmq	kg/cmq	kg/cmq				
0.0	--	2197	10.05	10.05	--	--	-5	245	10	9	Si	15
40.5	392	--	10.05	10.05	-1	44	--	--	9	10	Si	82
202.6	5201	--	10.05	10.05	-12	581	--	--	9	10	Si	6.2
364.7	1022	--	10.05	10.05	-2	114	--	--	9	10	Si	32
405.2	--	1427	10.05	10.05	--	--	-3	159	10	9	Si	23

Combinazione QP: $\sigma_{ca}[\text{kg/cmq}] = 112$ $\sigma_{fa}[\text{kg/cmq}] = 3600$

X	M+	M-	Afsup	Afinf	σ_{c+}	σ_{f+}	σ_{c-}	σ_{f-}	Cb+	Cb-	Ver.	CS
cm	kg*m	kg*m	cmq	cmq	kg/cmq	kg/cmq	kg/cmq	kg/cmq				
0.0	--	1788	10.05	10.05	--	--	-4	200	15	15	Si	18
40.5	312	--	10.05	10.05	-1	35	--	--	15	15	Si	>100
202.6	4195	--	10.05	10.05	-10	468	--	--	15	15	Si	7.7
364.7	766	--	10.05	10.05	-2	86	--	--	15	15	Si	42
405.2	--	1233	10.05	10.05	--	--	-3	138	15	15	Si	26

Trave: 112 [176,116], Pilastri [--,15] Sez. R: By=30.0 cm Bz=100.0 cm L=414.6 cm Ln=414.6 cm Criterio: CLS_TraviAlte_30x100

Combinazione Rara: $\sigma_{ca}[\text{kg/cmq}] = 149$ $\sigma_{fa}[\text{kg/cmq}] = 3600$

X	M+	M-	Afsup	Afinf	σ_{c+}	σ_{f+}	σ_{c-}	σ_{f-}	Cb+	Cb-	Ver.	CS
cm	kg*m	kg*m	cmq	cmq	kg/cmq	kg/cmq	kg/cmq	kg/cmq				
0.0	--	92	10.05	10.05	--	--	-0	10	9	10	Si	>100
41.5	1176	--	10.05	10.05	-3	131	--	--	9	10	Si	27
207.3	3146	--	10.05	10.05	-7	351	--	--	9	10	Si	10
373.1	200	--	10.05	10.05	-0	22	--	--	9	10	Si	>100
414.6	--	1304	10.05	10.05	--	--	-3	146	10	9	Si	25

Combinazione QP: $\sigma_{ca}[\text{kg/cmq}] = 112$ $\sigma_{fa}[\text{kg/cmq}] = 3600$

X	M+	M-	Afsup	Afinf	σ_{c+}	σ_{f+}	σ_{c-}	σ_{f-}	Cb+	Cb-	Ver.	CS
cm	kg*m	kg*m	cmq	cmq	kg/cmq	kg/cmq	kg/cmq	kg/cmq				
0.0	--	88	10.05	10.05	--	--	-0	10	15	15	Si	>100
41.5	1028	--	10.05	10.05	-2	115	--	--	15	15	Si	31
207.3	2764	--	10.05	10.05	-7	308	--	--	15	15	Si	12
373.1	133	--	10.05	10.05	-0	15	--	--	15	15	Si	>100
414.6	--	1207	10.05	10.05	--	--	-3	135	15	15	Si	27

Trave: 112 [116,175], Pilastri [15,--] Sez. R: By=30.0 cm Bz=100.0 cm L=474.6 cm Ln=474.6 cm Criterio: CLS_TraviAlte_30x100

Combinazione Rara: $\sigma_{ca}[\text{kg/cmq}] = 149$ $\sigma_{fa}[\text{kg/cmq}] = 3600$

X	M+	M-	Afsup	Afinf	σ_{c+}	σ_{f+}	σ_{c-}	σ_{f-}	Cb+	Cb-	Ver.	CS
cm	kg*m	kg*m	cmq	cmq	kg/cmq	kg/cmq	kg/cmq	kg/cmq				
0.0	--	3501	10.05	10.05	--	--	-8	391	10	9	Si	9.2
47.5	--	1354	10.05	10.05	--	--	-3	151	10	9	Si	24
237.3	3207	--	10.05	10.05	-8	358	--	--	9	10	Si	10
427.1	1327	--	10.05	10.05	-3	148	--	--	9	10	Si	24
474.6	--	212	10.05	10.05	--	--	-1	24	9	10	Si	>100

Combinazione QP: $\sigma_{ca}[\text{kg/cmq}] = 112$ $\sigma_{fa}[\text{kg/cmq}] = 3600$

X	M+	M-	Afsup	Afinf	σ_{c+}	σ_{f+}	σ_{c-}	σ_{f-}	Cb+	Cb-	Ver.	CS
cm	kg*m	kg*m	cmq	cmq	kg/cmq	kg/cmq	kg/cmq	kg/cmq				
0.0	--	3187	10.05	10.05	--	--	-8	356	15	15	Si	10
47.5	--	1279	10.05	10.05	--	--	-3	143	15	15	Si	25
237.3	2777	--	10.05	10.05	-7	310	--	--	15	15	Si	12
427.1	1112	--	10.05	10.05	-3	124	--	--	15	15	Si	29
474.6	--	199	10.05	10.05	--	--	-0	22	15	15	Si	>100

Trave: 113 [180,124], Pilastre [--,23] Sez. R: By=30.0 cm Bz=100.0 cm L=400.6 cm Ln=400.6 cm Criterio: CLS_TraviAlte_30x100

Combinazione Rara: $\sigma_{ca}[\text{kg/cmq}] = 149$ $\sigma_{fa}[\text{kg/cmq}] = 3600$

X	M+	M-	Afsup	Afinf	σ_{c+}	σ_{f+}	σ_{c-}	σ_{f-}	Cb+	Cb-	Ver.	CS
cm	kg*m	kg*m	cmq	cmq	kg/cmq	kg/cmq	kg/cmq	kg/cmq				
0.0	--	1779	10.05	10.05	--	--	-4	199	10	9	Si	18
40.1	812	--	10.05	10.05	-2	91	--	--	9	10	Si	40
200.3	5348	--	10.05	10.05	-13	597	--	--	9	10	Si	6.0
360.5	555	--	10.05	10.05	-1	62	--	--	9	10	Si	58
400.6	--	2080	10.05	10.05	--	--	-5	232	10	9	Si	16

Combinazione QP: $\sigma_{ca}[\text{kg/cmq}] = 112$ $\sigma_{fa}[\text{kg/cmq}] = 3600$

X	M+	M-	Afsup	Afinf	σ_{c+}	σ_{f+}	σ_{c-}	σ_{f-}	Cb+	Cb-	Ver.	CS
cm	kg*m	kg*m	cmq	cmq	kg/cmq	kg/cmq	kg/cmq	kg/cmq				
0.0	--	1511	10.05	10.05	--	--	-4	169	15	15	Si	21
40.1	592	--	10.05	10.05	-1	66	--	--	15	15	Si	55
200.3	4286	--	10.05	10.05	-10	478	--	--	15	15	Si	7.5
360.5	436	--	10.05	10.05	-1	49	--	--	15	15	Si	74
400.6	--	1690	10.05	10.05	--	--	-4	189	15	15	Si	19

Trave: 114 [124,123], Pilastre [23,22] Sez. R: By=30.0 cm Bz=100.0 cm L=539.7 cm Ln=539.7 cm Criterio: CLS_TraviAlte_30x100

Combinazione Rara: $\sigma_{ca}[\text{kg/cmq}] = 149$ $\sigma_{fa}[\text{kg/cmq}] = 3600$

X	M+	M-	Afsup	Afinf	σ_{c+}	σ_{f+}	σ_{c-}	σ_{f-}	Cb+	Cb-	Ver.	CS
cm	kg*m	kg*m	cmq	cmq	kg/cmq	kg/cmq	kg/cmq	kg/cmq				
0.0	--	562	10.05	10.05	--	--	-1	63	10	9	Si	57
54.0	1223	--	10.05	10.05	-3	136	--	--	9	10	Si	26
269.9	3153	--	10.05	10.05	-7	352	--	--	9	10	Si	10
485.7	--	3247	10.05	10.05	--	--	-8	362	10	9	Si	9.9
539.7	--	6149	10.05	10.05	--	--	-15	686	10	9	Si	5.2

Combinazione QP: $\sigma_{ca}[\text{kg/cmq}] = 112$ $\sigma_{fa}[\text{kg/cmq}] = 3600$

X	M+	M-	Afsup	Afinf	σ_{c+}	σ_{f+}	σ_{c-}	σ_{f-}	Cb+	Cb-	Ver.	CS
cm	kg*m	kg*m	cmq	cmq	kg/cmq	kg/cmq	kg/cmq	kg/cmq				
0.0	--	459	10.05	10.05	--	--	-1	51	15	15	Si	70
54.0	1113	--	10.05	10.05	-3	124	--	--	15	15	Si	29
269.9	2778	--	10.05	10.05	-7	310	--	--	15	15	Si	12
485.7	--	2955	10.05	10.05	--	--	-7	330	15	15	Si	11
539.7	--	5545	10.05	10.05	--	--	-13	619	15	15	Si	5.8

Trave: 114 [123,122], Pilastre [22,21] Sez. R: By=30.0 cm Bz=100.0 cm L=315.9 cm Ln=315.9 cm Criterio: CLS_TraviAlte_30x100

Combinazione Rara: $\sigma_{ca}[\text{kg/cmq}] = 149$ $\sigma_{fa}[\text{kg/cmq}] = 3600$

X	M+	M-	Afsup	Afinf	σ_{c+}	σ_{f+}	σ_{c-}	σ_{f-}	Cb+	Cb-	Ver.	CS
cm	kg*m	kg*m	cmq	cmq	kg/cmq	kg/cmq	kg/cmq	kg/cmq				

X	M+	M-	Afsup	Afinf	σ_{c+}	σ_{f+}	σ_{c-}	σ_{f-}	Cb+	Cb-	Ver.	CS
cm	kg*m	kg*m	cmq	cmq	kg/cmq	kg/cmq	kg/cmq	kg/cmq				
0.0	--	2948	10.05	10.05	--	--	-7	329	10	9	Si	11
31.6	--	1956	10.05	10.05	--	--	-5	218	10	9	Si	16
157.9	230	--	10.05	10.05	-1	26	--	--	9	10	Si	>100
284.3	--	507	10.05	10.05	--	--	-1	57	9	10	Si	64
315.9	--	1075	10.05	10.05	--	--	-3	120	9	10	Si	30

Combinazione QP: $\sigma_{ca}[\text{kg}/\text{cmq}] = 112$ $\sigma_{fa}[\text{kg}/\text{cmq}] = 3600$

X	M+	M-	Afsup	Afinf	σ_{c+}	σ_{f+}	σ_{c-}	σ_{f-}	Cb+	Cb-	Ver.	CS
cm	kg*m	kg*m	cmq	cmq	kg/cmq	kg/cmq	kg/cmq	kg/cmq				
0.0	--	2677	10.05	10.05	--	--	-6	299	15	15	Si	12
31.6	--	1800	10.05	10.05	--	--	-4	201	15	15	Si	18
157.9	125	--	10.05	10.05	-0	14	--	--	15	15	Si	>100
284.3	--	485	10.05	10.05	--	--	-1	54	15	15	Si	66
315.9	--	1034	10.05	10.05	--	--	-2	115	15	15	Si	31

Trave: 114 [122,189], Pilastrate [21,--] Sez. R: By=30.0 cm Bz=100.0 cm L=327.6 cm Ln=327.6 cm Criterio: CLS_TraviAlte_30x100

Combinazione Rara: $\sigma_{ca}[\text{kg}/\text{cmq}] = 149$ $\sigma_{fa}[\text{kg}/\text{cmq}] = 3600$

X	M+	M-	Afsup	Afinf	σ_{c+}	σ_{f+}	σ_{c-}	σ_{f-}	Cb+	Cb-	Ver.	CS
cm	kg*m	kg*m	cmq	cmq	kg/cmq	kg/cmq	kg/cmq	kg/cmq				
0.0	--	3226	10.05	10.05	--	--	-8	360	10	9	Si	10.0
32.8	--	1951	10.05	10.05	--	--	-5	218	10	9	Si	17
163.8	1230	--	10.05	10.05	-3	137	--	--	9	10	Si	26
294.8	1341	--	10.05	10.05	-3	150	--	--	9	10	Si	24
327.6	890	--	10.05	10.05	-2	99	--	--	9	10	Si	36

Combinazione QP: $\sigma_{ca}[\text{kg}/\text{cmq}] = 112$ $\sigma_{fa}[\text{kg}/\text{cmq}] = 3600$

X	M+	M-	Afsup	Afinf	σ_{c+}	σ_{f+}	σ_{c-}	σ_{f-}	Cb+	Cb-	Ver.	CS
cm	kg*m	kg*m	cmq	cmq	kg/cmq	kg/cmq	kg/cmq	kg/cmq				
0.0	--	3005	10.05	10.05	--	--	-7	335	15	15	Si	11
32.8	--	1860	10.05	10.05	--	--	-4	208	15	15	Si	17
163.8	1016	--	10.05	10.05	-2	113	--	--	15	15	Si	32
294.8	1167	--	10.05	10.05	-3	130	--	--	15	15	Si	28
327.6	778	--	10.05	10.05	-2	87	--	--	15	15	Si	41

Trave: 115 [182,119], Pilastrate [--,16] Sez. R: By=30.0 cm Bz=100.0 cm L=332.0 cm Ln=332.0 cm Criterio: CLS_TraviAlte_30x100

Combinazione Rara: $\sigma_{ca}[\text{kg}/\text{cmq}] = 149$ $\sigma_{fa}[\text{kg}/\text{cmq}] = 3600$

X	M+	M-	Afsup	Afinf	σ_{c+}	σ_{f+}	σ_{c-}	σ_{f-}	Cb+	Cb-	Ver.	CS
cm	kg*m	kg*m	cmq	cmq	kg/cmq	kg/cmq	kg/cmq	kg/cmq				
0.0	400	--	10.05	10.05	-1	45	--	--	9	10	Si	81
33.2	1326	--	10.05	10.05	-3	148	--	--	9	10	Si	24
166.0	2260	--	10.05	10.05	-5	252	--	--	9	10	Si	14
298.8	--	3213	10.05	10.05	--	--	-8	359	10	9	Si	10
332.0	--	5587	10.05	10.05	--	--	-13	624	10	9	Si	5.8

Combinazione QP: $\sigma_{ca}[\text{kg}/\text{cmq}] = 112$ $\sigma_{fa}[\text{kg}/\text{cmq}] = 3600$

X	M+	M-	Afsup	Afinf	σ_{c+}	σ_{f+}	σ_{c-}	σ_{f-}	Cb+	Cb-	Ver.	CS
cm	kg*m	kg*m	cmq	cmq	kg/cmq	kg/cmq	kg/cmq	kg/cmq				
0.0	370	--	10.05	10.05	-1	41	--	--	15	15	Si	87
33.2	1101	--	10.05	10.05	-3	123	--	--	15	15	Si	29
166.0	1746	--	10.05	10.05	-4	195	--	--	15	15	Si	18
298.8	--	2845	10.05	10.05	--	--	-7	318	15	15	Si	11
332.0	--	4819	10.05	10.05	--	--	-11	538	15	15	Si	6.7

Trave: 115 [119,172], Pilastrate [16,--) Sez. R: By=30.0 cm Bz=100.0 cm L=255.9 cm Ln=255.9 cm Criterio: CLS_TraviAlte_30x100

Combinazione Rara: $\sigma_{ca}[\text{kg}/\text{cmq}] = 149$ $\sigma_{fa}[\text{kg}/\text{cmq}] = 3600$

X	M+	M-	Afsup	Afinf	σ_{c+}	σ_{f+}	σ_{c-}	σ_{f-}	Cb+	Cb-	Ver.	CS
cm	kg*m	kg*m	cmq	cmq	kg/cmq	kg/cmq	kg/cmq	kg/cmq				
0.0	--	1668	10.05	10.05	--	--	-4	186	10	9	Si	19
25.6	--	455	10.05	10.05	--	--	-1	51	9	10	Si	71
128.0	2243	--	10.05	10.05	-5	250	--	--	9	10	Si	14

X	M+	M-	Afsup	Afinf	σ_{c+}	σ_{f+}	σ_{c-}	σ_{f-}	Cb+	Cb-	Ver.	CS
cm	kg*m	kg*m	cmq	cmq	kg/cmq	kg/cmq	kg/cmq	kg/cmq				
230.3	868	--	10.05	10.05	-2	97	--	--	9	10	Si	37
255.9	--	99	10.05	10.05	--	--	-0	11	10	9	Si	>100

Combinazione QP: $\sigma_{ca}[\text{kg/cmq}] = 112$ $\sigma_{fa}[\text{kg/cmq}] = 3600$

X	M+	M-	Afsup	Afinf	σ_{c+}	σ_{f+}	σ_{c-}	σ_{f-}	Cb+	Cb-	Ver.	CS
cm	kg*m	kg*m	cmq	cmq	kg/cmq	kg/cmq	kg/cmq	kg/cmq				
0.0	--	1544	10.05	10.05	--	--	-4	172	15	15	Si	21
25.6	--	471	10.05	10.05	--	--	-1	53	15	15	Si	68
128.0	1771	--	10.05	10.05	-4	198	--	--	15	15	Si	18
230.3	742	--	10.05	10.05	-2	83	--	--	15	15	Si	43
255.9	--	25	10.05	10.05	--	--	-0	3	15	15	Si	>100

Trave: 116 [176,174], Pilastrate [--,--] Sez. R: By=30.0 cm Bz=50.0 cm L=119.8 cm Ln=119.8 cm

Criterio: CLS_TraviAlte

Combinazione Rara: $\sigma_{ca}[\text{kg/cmq}] = 149$ $\sigma_{fa}[\text{kg/cmq}] = 3600$

X	M+	M-	Afsup	Afinf	σ_{c+}	σ_{f+}	σ_{c-}	σ_{f-}	Cb+	Cb-	Ver.	CS
cm	kg*m	kg*m	cmq	cmq	kg/cmq	kg/cmq	kg/cmq	kg/cmq				
0.0	1196	--	6.03	6.03	-12	474	--	--	9	10	Si	7.6
12.0	1159	--	6.03	6.03	-11	460	--	--	9	10	Si	7.8
59.9	487	--	6.03	6.03	-5	193	--	--	9	10	Si	19
107.8	--	1014	6.03	6.03	--	--	-10	402	10	9	Si	9.0
119.8	--	1515	6.03	6.03	--	--	-15	601	10	9	Si	6.0

Combinazione QP: $\sigma_{ca}[\text{kg/cmq}] = 112$ $\sigma_{fa}[\text{kg/cmq}] = 3600$

X	M+	M-	Afsup	Afinf	σ_{c+}	σ_{f+}	σ_{c-}	σ_{f-}	Cb+	Cb-	Ver.	CS
cm	kg*m	kg*m	cmq	cmq	kg/cmq	kg/cmq	kg/cmq	kg/cmq				
0.0	1051	--	6.03	6.03	-10	417	--	--	15	15	Si	8.6
12.0	994	--	6.03	6.03	-10	394	--	--	15	15	Si	9.1
59.9	368	--	6.03	6.03	-4	146	--	--	15	15	Si	25
107.8	--	888	6.03	6.03	--	--	-9	352	15	15	Si	10
119.8	--	1298	6.03	6.03	--	--	-13	515	15	15	Si	7.0

Trave: 117 [160,115], Pilastrate [--,14] Sez. R: By=30.0 cm Bz=50.0 cm L=323.1 cm Ln=323.1 cm

Criterio: CLS_TraviAlte

Combinazione Rara: $\sigma_{ca}[\text{kg/cmq}] = 149$ $\sigma_{fa}[\text{kg/cmq}] = 3600$

X	M+	M-	Afsup	Afinf	σ_{c+}	σ_{f+}	σ_{c-}	σ_{f-}	Cb+	Cb-	Ver.	CS
cm	kg*m	kg*m	cmq	cmq	kg/cmq	kg/cmq	kg/cmq	kg/cmq				
0.0	--	1309	6.03	6.03	--	--	-13	519	10	9	Si	6.9
32.3	--	538	6.03	6.03	--	--	-5	214	10	9	Si	17
161.6	857	--	6.03	6.03	-8	340	--	--	9	10	Si	11
290.8	--	449	6.03	6.03	--	--	-4	178	10	9	Si	20
323.1	--	1196	6.03	6.03	--	--	-12	475	10	9	Si	7.6

Combinazione QP: $\sigma_{ca}[\text{kg/cmq}] = 112$ $\sigma_{fa}[\text{kg/cmq}] = 3600$

X	M+	M-	Afsup	Afinf	σ_{c+}	σ_{f+}	σ_{c-}	σ_{f-}	Cb+	Cb-	Ver.	CS
cm	kg*m	kg*m	cmq	cmq	kg/cmq	kg/cmq	kg/cmq	kg/cmq				
0.0	--	1033	6.03	6.03	--	--	-10	410	15	15	Si	8.8
32.3	--	425	6.03	6.03	--	--	-4	169	15	15	Si	21
161.6	666	--	6.03	6.03	-6	264	--	--	15	15	Si	14
290.8	--	388	6.03	6.03	--	--	-4	154	15	15	Si	23
323.1	--	986	6.03	6.03	--	--	-10	391	15	15	Si	9.2

Trave: 117 [115,161], Pilastrate [14,--] Sez. R: By=30.0 cm Bz=50.0 cm L=352.2 cm Ln=352.2 cm

Criterio: CLS_TraviAlte

Combinazione Rara: $\sigma_{ca}[\text{kg/cmq}] = 149$ $\sigma_{fa}[\text{kg/cmq}] = 3600$

X	M+	M-	Afsup	Afinf	σ_{c+}	σ_{f+}	σ_{c-}	σ_{f-}	Cb+	Cb-	Ver.	CS
cm	kg*m	kg*m	cmq	cmq	kg/cmq	kg/cmq	kg/cmq	kg/cmq				
0.0	--	3050	6.03	6.03	--	--	-30	1210	10	9	Si	3.0
35.2	--	1922	6.03	6.03	--	--	-19	763	10	9	Si	4.7
176.1	806	--	6.03	6.03	-8	320	--	--	9	10	Si	11
317.0	412	--	6.03	6.03	-4	163	--	--	10	9	Si	22
352.2	--	298	6.03	6.03	--	--	-3	118	10	9	Si	30

Combinazione QP: $\sigma_{ca}[\text{kg/cmq}] = 112$ $\sigma_{fa}[\text{kg/cmq}] = 3600$

X	M+	M-	Afsup	Afinf	σ_{c+}	σ_{f+}	σ_{c-}	σ_{f-}	Cb+	Cb-	Ver.	CS
cm	kg*m	kg*m	cmq	cmq	kg/cmq	kg/cmq	kg/cmq	kg/cmq				
0.0	--	2589	6.03	6.03	--	--	-25	1027	15	15	Si	3.5
35.2	--	1656	6.03	6.03	--	--	-16	657	15	15	Si	5.5
176.1	644	--	6.03	6.03	-6	256	--	--	15	15	Si	14
317.0	395	--	6.03	6.03	-4	157	--	--	15	15	Si	23
352.2	--	65	6.03	6.03	--	--	-1	26	15	15	Si	>100

Trave: 118 [158,114], Pilastrate [--,13] Sez. R: By=30.0 cm Bz=50.0 cm L=315.9 cm Ln=315.9 cm

Criterio: CLS_TraviAlte

Combinazione Rara: $\sigma_{ca}[\text{kg/cmq}] = 149$ $\sigma_{fa}[\text{kg/cmq}] = 3600$

X	M+	M-	Afsup	Afinf	σ_{c+}	σ_{f+}	σ_{c-}	σ_{f-}	Cb+	Cb-	Ver.	CS
cm	kg*m	kg*m	cmq	cmq	kg/cmq	kg/cmq	kg/cmq	kg/cmq				
0.0	--	628	6.03	6.03	--	--	-6	249	10	9	Si	14
31.6	58	27	6.03	6.03	-1	23	-0	11	10	9	Si	>100
157.9	761	--	6.03	6.03	-7	302	--	--	9	10	Si	12
284.3	--	1035	6.03	6.03	--	--	-10	410	10	9	Si	8.8
315.9	--	1887	6.03	6.03	--	--	-18	749	10	9	Si	4.8

Combinazione QP: $\sigma_{ca}[\text{kg/cmq}] = 112$ $\sigma_{fa}[\text{kg/cmq}] = 3600$

X	M+	M-	Afsup	Afinf	σ_{c+}	σ_{f+}	σ_{c-}	σ_{f-}	Cb+	Cb-	Ver.	CS
cm	kg*m	kg*m	cmq	cmq	kg/cmq	kg/cmq	kg/cmq	kg/cmq				
0.0	--	400	6.03	6.03	--	--	-4	159	15	15	Si	23
31.6	54	--	6.03	6.03	-1	22	--	--	15	15	Si	>100
157.9	591	--	6.03	6.03	-6	234	--	--	15	15	Si	15
284.3	--	924	6.03	6.03	--	--	-9	366	15	15	Si	9.8
315.9	--	1623	6.03	6.03	--	--	-16	644	15	15	Si	5.6

Trave: 118 [114,159], Pilastrate [13,--] Sez. R: By=30.0 cm Bz=50.0 cm L=439.7 cm Ln=439.7 cm

Criterio: CLS_TraviAlte

Combinazione Rara: $\sigma_{ca}[\text{kg/cmq}] = 149$ $\sigma_{fa}[\text{kg/cmq}] = 3600$

X	M+	M-	Afsup	Afinf	σ_{c+}	σ_{f+}	σ_{c-}	σ_{f-}	Cb+	Cb-	Ver.	CS
cm	kg*m	kg*m	cmq	cmq	kg/cmq	kg/cmq	kg/cmq	kg/cmq				
0.0	--	2524	6.03	6.03	--	--	-25	1001	10	9	Si	3.6
44.0	--	1562	6.03	6.03	--	--	-15	620	10	9	Si	5.8
219.9	949	--	6.03	6.03	-9	376	--	--	9	10	Si	9.6
395.7	--	418	6.03	6.03	--	--	-4	166	10	9	Si	22
439.7	--	1534	6.03	6.03	--	--	-15	609	10	9	Si	5.9

Combinazione QP: $\sigma_{ca}[\text{kg/cmq}] = 112$ $\sigma_{fa}[\text{kg/cmq}] = 3600$

X	M+	M-	Afsup	Afinf	σ_{c+}	σ_{f+}	σ_{c-}	σ_{f-}	Cb+	Cb-	Ver.	CS
cm	kg*m	kg*m	cmq	cmq	kg/cmq	kg/cmq	kg/cmq	kg/cmq				
0.0	--	2133	6.03	6.03	--	--	-21	846	15	15	Si	4.3
44.0	--	1319	6.03	6.03	--	--	-13	523	15	15	Si	6.9
219.9	769	--	6.03	6.03	-7	305	--	--	15	15	Si	12
395.7	--	292	6.03	6.03	--	--	-3	116	15	15	Si	31
439.7	--	1173	6.03	6.03	--	--	-11	465	15	15	Si	7.7

Trave: 119 [173,175], Pilastrate [--,--] Sez. R: By=30.0 cm Bz=50.0 cm L=119.8 cm Ln=119.8 cm

Criterio: CLS_TraviAlte

Combinazione Rara: $\sigma_{ca}[\text{kg/cmq}] = 149$ $\sigma_{fa}[\text{kg/cmq}] = 3600$

X	M+	M-	Afsup	Afinf	σ_{c+}	σ_{f+}	σ_{c-}	σ_{f-}	Cb+	Cb-	Ver.	CS
cm	kg*m	kg*m	cmq	cmq	kg/cmq	kg/cmq	kg/cmq	kg/cmq				
0.0	--	1368	6.03	6.03	--	--	-13	543	10	9	Si	6.6
12.0	--	892	6.03	6.03	--	--	-9	354	10	9	Si	10
59.9	474	--	6.03	6.03	-5	188	--	--	9	10	Si	19
107.8	971	--	6.03	6.03	-9	385	--	--	9	10	Si	9.3
119.8	958	--	6.03	6.03	-9	380	--	--	9	10	Si	9.5

Combinazione QP: $\sigma_{ca}[\text{kg/cmq}] = 112$ $\sigma_{fa}[\text{kg/cmq}] = 3600$

X	M+	M-	Afsup	Afinf	σ_{c+}	σ_{f+}	σ_{c-}	σ_{f-}	Cb+	Cb-	Ver.	CS
cm	kg*m	kg*m	cmq	cmq	kg/cmq	kg/cmq	kg/cmq	kg/cmq				

X	M+	M-	Afsup	Afinf	σ_{c+}	σ_{f+}	σ_{c-}	σ_{f-}	Cb+	Cb-	Ver.	CS
cm	kg*m	kg*m	cmq	cmq	kg/cmq	kg/cmq	kg/cmq	kg/cmq				
0.0	--	1183	6.03	6.03	--	--	-12	469	15	15	Si	7.7
12.0	--	793	6.03	6.03	--	--	-8	314	15	15	Si	11
59.9	363	--	6.03	6.03	-4	144	--	--	15	15	Si	25
107.8	860	--	6.03	6.03	-8	341	--	--	15	15	Si	11
119.8	879	--	6.03	6.03	-9	349	--	--	15	15	Si	10

Trave: 120 [102,106], Pilastriate [1,5] Sez. R: By=30.0 cm Bz=50.0 cm L=424.5 cm Ln=424.5 cm
Criterio: CLS_TraviAlte

Combinazione Rara: $\sigma_{ca}[\text{kg}/\text{cmq}] = 149$ $\sigma_{fa}[\text{kg}/\text{cmq}] = 3600$

X	M+	M-	Afsup	Afinf	σ_{c+}	σ_{f+}	σ_{c-}	σ_{f-}	Cb+	Cb-	Ver.	CS
cm	kg*m	kg*m	cmq	cmq	kg/cmq	kg/cmq	kg/cmq	kg/cmq				
0.0	--	2991	6.03	6.03	--	--	-29	1186	10	9	Si	3.0
42.4	118	--	6.03	6.03	-1	47	--	--	10	9	Si	77
212.2	4014	--	6.03	6.03	-39	1592	--	--	9	10	Si	2.3
382.0	--	5310	8.04	6.03	--	--	-47	1596	10	9	Si	2.3
424.5	--	9625	8.04	6.03	--	--	-85	2893	10	9	Si	1.2

Combinazione QP: $\sigma_{ca}[\text{kg}/\text{cmq}] = 112$ $\sigma_{fa}[\text{kg}/\text{cmq}] = 3600$

X	M+	M-	Afsup	Afinf	σ_{c+}	σ_{f+}	σ_{c-}	σ_{f-}	Cb+	Cb-	Ver.	CS
cm	kg*m	kg*m	cmq	cmq	kg/cmq	kg/cmq	kg/cmq	kg/cmq				
0.0	--	2158	6.03	6.03	--	--	-21	856	15	15	Si	4.2
42.4	105	--	6.03	6.03	-1	42	--	--	15	15	Si	87
212.2	2988	--	6.03	6.03	-29	1185	--	--	15	15	Si	3.0
382.0	--	4147	8.04	6.03	--	--	-37	1247	15	15	Si	2.9
424.5	--	7428	8.04	6.03	--	--	-65	2233	15	15	Si	1.6

Trave: 121 [106,112], Pilastriate [5,8] Sez. R: By=30.0 cm Bz=50.0 cm L=367.0 cm Ln=346.8 cm
Criterio: CLS_TraviAlte

Combinazione Rara: $\sigma_{ca}[\text{kg}/\text{cmq}] = 149$ $\sigma_{fa}[\text{kg}/\text{cmq}] = 3600$

X	M+	M-	Afsup	Afinf	σ_{c+}	σ_{f+}	σ_{c-}	σ_{f-}	Cb+	Cb-	Ver.	CS
cm	kg*m	kg*m	cmq	cmq	kg/cmq	kg/cmq	kg/cmq	kg/cmq				
0.0	--	4766	6.03	6.03	--	--	-46	1891	10	9	Si	1.9
34.7	--	2188	6.03	6.03	--	--	-21	868	10	9	Si	4.1
173.4	2601	--	6.03	6.03	-25	1032	--	--	9	10	Si	3.5
312.1	--	1458	6.03	6.03	--	--	-14	578	10	9	Si	6.2
346.8	--	3833	6.03	6.03	--	--	-37	1521	10	9	Si	2.4

Combinazione QP: $\sigma_{ca}[\text{kg}/\text{cmq}] = 112$ $\sigma_{fa}[\text{kg}/\text{cmq}] = 3600$

X	M+	M-	Afsup	Afinf	σ_{c+}	σ_{f+}	σ_{c-}	σ_{f-}	Cb+	Cb-	Ver.	CS
cm	kg*m	kg*m	cmq	cmq	kg/cmq	kg/cmq	kg/cmq	kg/cmq				
0.0	--	3762	6.03	6.03	--	--	-37	1492	15	15	Si	2.4
34.7	--	1782	6.03	6.03	--	--	-17	707	15	15	Si	5.1
173.4	1974	--	6.03	6.03	-19	783	--	--	15	15	Si	4.6
312.1	--	940	6.03	6.03	--	--	-9	373	15	15	Si	9.7
346.8	--	2694	6.03	6.03	--	--	-26	1069	15	15	Si	3.4

Trave: 122 [145,109], Pilastriate [--,9] Sez. R: By=30.0 cm Bz=50.0 cm L=611.9 cm Ln=612.7 cm
Criterio: CLS_TraviAlte

Combinazione Rara: $\sigma_{ca}[\text{kg}/\text{cmq}] = 149$ $\sigma_{fa}[\text{kg}/\text{cmq}] = 3600$

X	M+	M-	Afsup	Afinf	σ_{c+}	σ_{f+}	σ_{c-}	σ_{f-}	Cb+	Cb-	Ver.	CS
cm	kg*m	kg*m	cmq	cmq	kg/cmq	kg/cmq	kg/cmq	kg/cmq				
0.0	--	7248	6.03	6.03	--	--	-71	2876	10	9	Si	1.3
61.3	--	2606	6.03	6.03	--	--	-25	1034	10	9	Si	3.5
306.3	5672	--	6.03	6.03	-55	2250	--	--	9	10	Si	1.6
551.4	--	2511	6.03	6.03	--	--	-24	996	10	9	Si	3.6
612.7	--	7098	6.03	6.03	--	--	-69	2816	10	9	Si	1.3

Combinazione QP: $\sigma_{ca}[\text{kg}/\text{cmq}] = 112$ $\sigma_{fa}[\text{kg}/\text{cmq}] = 3600$

X	M+	M-	Afsup	Afinf	σ_{c+}	σ_{f+}	σ_{c-}	σ_{f-}	Cb+	Cb-	Ver.	CS
cm	kg*m	kg*m	cmq	cmq	kg/cmq	kg/cmq	kg/cmq	kg/cmq				
0.0	--	5505	6.03	6.03	--	--	-54	2184	15	15	Si	1.6
61.3	--	1952	6.03	6.03	--	--	-19	774	15	15	Si	4.6

X	M+	M-	Afsup	Afinf	σ_{c+}	σ_{f+}	σ_{c-}	σ_{f-}	Cb+	Cb-	Ver.	CS
cm	kg*m	kg*m	cmq	cmq	kg/cmq	kg/cmq	kg/cmq	kg/cmq				
306.3	4351	--	6.03	6.03	-42	1726	--	--	15	15	Si	2.1
551.4	--	1997	6.03	6.03	--	--	-19	792	15	15	Si	4.5
612.7	--	5539	6.03	6.03	--	--	-54	2197	15	15	Si	1.6

Trave: 123 [146,111], Pilastri [-,11] Sez. R: By=30.0 cm Bz=50.0 cm L=611.9 cm Ln=612.7 cm

Criterio: CLS_TraviAlte

Combinazione Rara: $\sigma_{ca}[\text{kg/cmq}] = 149$ $\sigma_{fa}[\text{kg/cmq}] = 3600$

X	M+	M-	Afsup	Afinf	σ_{c+}	σ_{f+}	σ_{c-}	σ_{f-}	Cb+	Cb-	Ver.	CS
cm	kg*m	kg*m	cmq	cmq	kg/cmq	kg/cmq	kg/cmq	kg/cmq				
0.0	--	5977	6.03	6.03	--	--	-58	2371	10	9	Si	1.5
61.3	--	1795	6.03	6.03	--	--	-17	712	10	9	Si	5.1
306.3	4617	--	6.03	6.03	-45	1832	--	--	9	10	Si	2.0
551.4	--	5476	10.05	6.03	--	--	-45	1329	10	9	Si	2.7
612.7	--	10548	10.05	6.03	--	--	-86	2560	10	9	Si	1.4

Combinazione QP: $\sigma_{ca}[\text{kg/cmq}] = 112$ $\sigma_{fa}[\text{kg/cmq}] = 3600$

X	M+	M-	Afsup	Afinf	σ_{c+}	σ_{f+}	σ_{c-}	σ_{f-}	Cb+	Cb-	Ver.	CS
cm	kg*m	kg*m	cmq	cmq	kg/cmq	kg/cmq	kg/cmq	kg/cmq				
0.0	--	4492	6.03	6.03	--	--	-44	1782	15	15	Si	2.0
61.3	--	1306	6.03	6.03	--	--	-13	518	15	15	Si	6.9
306.3	3513	--	6.03	6.03	-34	1394	--	--	15	15	Si	2.6
551.4	--	4352	10.05	6.03	--	--	-36	1056	15	15	Si	3.1
612.7	--	8279	10.05	6.03	--	--	-68	2009	15	15	Si	1.7

Trave: 124 [103,107], Pilastri [2,6] Sez. R: By=30.0 cm Bz=50.0 cm L=424.5 cm Ln=424.5 cm

Criterio: CLS_TraviAlte

Combinazione Rara: $\sigma_{ca}[\text{kg/cmq}] = 149$ $\sigma_{fa}[\text{kg/cmq}] = 3600$

X	M+	M-	Afsup	Afinf	σ_{c+}	σ_{f+}	σ_{c-}	σ_{f-}	Cb+	Cb-	Ver.	CS
cm	kg*m	kg*m	cmq	cmq	kg/cmq	kg/cmq	kg/cmq	kg/cmq				
0.0	--	2942	6.03	6.03	--	--	-29	1167	10	9	Si	3.1
42.4	150	--	6.03	6.03	-1	59	--	--	10	9	Si	61
212.2	3991	--	6.03	6.03	-39	1584	--	--	9	10	Si	2.3
382.0	--	5402	10.05	6.03	--	--	-44	1311	10	9	Si	2.7
424.5	--	9738	10.05	6.03	--	--	-80	2363	10	9	Si	1.5

Combinazione QP: $\sigma_{ca}[\text{kg/cmq}] = 112$ $\sigma_{fa}[\text{kg/cmq}] = 3600$

X	M+	M-	Afsup	Afinf	σ_{c+}	σ_{f+}	σ_{c-}	σ_{f-}	Cb+	Cb-	Ver.	CS
cm	kg*m	kg*m	cmq	cmq	kg/cmq	kg/cmq	kg/cmq	kg/cmq				
0.0	--	2121	6.03	6.03	--	--	-21	842	15	15	Si	4.3
42.4	136	--	6.03	6.03	-1	54	--	--	15	15	Si	67
212.2	2990	--	6.03	6.03	-29	1186	--	--	15	15	Si	3.0
382.0	--	4181	10.05	6.03	--	--	-34	1015	15	15	Si	3.3
424.5	--	7474	10.05	6.03	--	--	-61	1814	15	15	Si	1.8

Trave: 124 [107,113], Pilastri [6,12] Sez. R: By=30.0 cm Bz=50.0 cm L=346.8 cm Ln=346.8 cm

Criterio: CLS_TraviAlte

Combinazione Rara: $\sigma_{ca}[\text{kg/cmq}] = 149$ $\sigma_{fa}[\text{kg/cmq}] = 3600$

X	M+	M-	Afsup	Afinf	σ_{c+}	σ_{f+}	σ_{c-}	σ_{f-}	Cb+	Cb-	Ver.	CS
cm	kg*m	kg*m	cmq	cmq	kg/cmq	kg/cmq	kg/cmq	kg/cmq				
0.0	--	4401	6.03	6.03	--	--	-43	1746	10	9	Si	2.1
34.7	--	1796	6.03	6.03	--	--	-17	712	10	9	Si	5.1
173.4	3100	--	6.03	6.03	-30	1230	--	--	9	10	Si	2.9
312.1	--	846	6.03	6.03	--	--	-8	335	10	9	Si	11
346.8	--	3166	6.03	6.03	--	--	-31	1256	10	9	Si	2.9

Combinazione QP: $\sigma_{ca}[\text{kg/cmq}] = 112$ $\sigma_{fa}[\text{kg/cmq}] = 3600$

X	M+	M-	Afsup	Afinf	σ_{c+}	σ_{f+}	σ_{c-}	σ_{f-}	Cb+	Cb-	Ver.	CS
cm	kg*m	kg*m	cmq	cmq	kg/cmq	kg/cmq	kg/cmq	kg/cmq				
0.0	--	3350	6.03	6.03	--	--	-33	1329	15	15	Si	2.7
34.7	--	1389	6.03	6.03	--	--	-14	551	15	15	Si	6.5
173.4	2292	--	6.03	6.03	-22	909	--	--	15	15	Si	4.0
312.1	--	691	6.03	6.03	--	--	-7	274	15	15	Si	13
346.8	--	2444	6.03	6.03	--	--	-24	970	15	15	Si	3.7

Trave: 124 [113,115], Pilastrate [12,14] Sez. R: By=85.0 cm Bz=25.0 cm L=306.1 cm Ln=335.8 cm
Criterio: CLS_TraviSpessore

Combinazione Rara: $\sigma_{ca}[\text{kg/cmq}] = 149$ $\sigma_{fa}[\text{kg/cmq}] = 3600$

X	M+	M-	Afsup	Afinf	σ_{c+}	σ_{f+}	σ_{c-}	σ_{f-}	Cb+	Cb-	Ver.	CS
cm	kg*m	kg*m	cmq	cmq	kg/cmq	kg/cmq	kg/cmq	kg/cmq				
0.0	--	1044	9.05	9.05	--	--	-18	624	10	9	Si	5.8
33.6	--	709	9.05	9.05	--	--	-12	424	10	9	Si	8.5
167.9	--	148	9.05	9.05	--	--	-3	88	10	9	Si	41
302.3	--	831	9.05	9.05	--	--	-14	497	10	9	Si	7.2
335.8	--	1197	9.05	9.05	--	--	-21	715	10	9	Si	5.0

Trave: 124 [115,117], Pilastrate [14,19] Sez. R: By=85.0 cm Bz=25.0 cm L=351.2 cm Ln=351.2 cm
Criterio: CLS_TraviSpessore

Combinazione Rara: $\sigma_{ca}[\text{kg/cmq}] = 149$ $\sigma_{fa}[\text{kg/cmq}] = 3600$

X	M+	M-	Afsup	Afinf	σ_{c+}	σ_{f+}	σ_{c-}	σ_{f-}	Cb+	Cb-	Ver.	CS
cm	kg*m	kg*m	cmq	cmq	kg/cmq	kg/cmq	kg/cmq	kg/cmq				
0.0	--	2585	9.05	9.05	--	--	-44	1544	10	9	Si	2.3
35.1	--	720	9.05	9.05	--	--	-12	430	10	9	Si	8.4
175.6	2046	--	9.05	9.05	-35	1223	--	--	9	10	Si	2.9
316.1	--	2719	11.06	9.05	--	--	-43	1341	10	9	Si	2.7
351.2	--	5094	11.06	13.07	--	--	-78	2518	10	9	Si	1.4

Trave: 124 [117,126], Pilastrate [19,25] Sez. R: By=85.0 cm Bz=25.0 cm L=435.2 cm Ln=420.2 cm
Criterio: CLS_TraviSpessore

Combinazione Rara: $\sigma_{ca}[\text{kg/cmq}] = 149$ $\sigma_{fa}[\text{kg/cmq}] = 3600$

X	M+	M-	Afsup	Afinf	σ_{c+}	σ_{f+}	σ_{c-}	σ_{f-}	Cb+	Cb-	Ver.	CS
cm	kg*m	kg*m	cmq	cmq	kg/cmq	kg/cmq	kg/cmq	kg/cmq				
0.0	--	5824	13.07	13.07	--	--	-84	2453	10	9	Si	1.5
42.0	--	2666	9.05	9.05	--	--	-46	1593	10	9	Si	2.3
210.1	3281	--	9.05	9.05	-56	1960	--	--	9	10	Si	1.8
378.2	--	1503	9.05	9.05	--	--	-26	898	10	9	Si	4.0
420.2	--	4338	9.05	9.05	--	--	-74	2592	10	9	Si	1.4

Trave: 125 [0,0], Pilastrate [--,--] Sez. R: By=90.0 cm Bz=20.0 cm L=331.3 cm Ln=331.3 cm
Criterio: CLS_TraviSpessore

Combinazione Rara: $\sigma_{ca}[\text{kg/cmq}] = 149$ $\sigma_{fa}[\text{kg/cmq}] = 3600$

X	M+	M-	Afsup	Afinf	σ_{c+}	σ_{f+}	σ_{c-}	σ_{f-}	Cb+	Cb-	Ver.	CS
cm	kg*m	kg*m	cmq	cmq	kg/cmq	kg/cmq	kg/cmq	kg/cmq				
0.0	--	2287	7.04	7.04	--	--	-68	2306	10	9	Si	1.6
33.1	--	972	7.04	7.04	--	--	-29	980	10	9	Si	3.7
165.7	1415	--	7.04	7.04	-42	1427	--	--	9	10	Si	2.5
298.2	--	1163	7.04	7.04	--	--	-35	1173	10	9	Si	3.1
331.3	--	2624	7.04	7.04	--	--	-78	2646	10	9	Si	1.4

Trave: 126 [98,96], Pilastrate [--,--] Sez. R: By=80.0 cm Bz=20.0 cm L=303.2 cm Ln=303.2 cm
Criterio: CLS_TraviSpessore

Combinazione Rara: $\sigma_{ca}[\text{kg/cmq}] = 149$ $\sigma_{fa}[\text{kg/cmq}] = 3600$

X	M+	M-	Afsup	Afinf	σ_{c+}	σ_{f+}	σ_{c-}	σ_{f-}	Cb+	Cb-	Ver.	CS
cm	kg*m	kg*m	cmq	cmq	kg/cmq	kg/cmq	kg/cmq	kg/cmq				
0.0	--	1225	7.04	7.04	--	--	-39	1245	10	9	Si	2.9
30.3	--	494	7.04	7.04	--	--	-16	502	10	9	Si	7.2
151.6	801	--	7.04	7.04	-26	815	--	--	9	10	Si	4.4
272.9	--	511	7.04	7.04	--	--	-16	519	10	9	Si	6.9
303.2	--	1247	7.04	7.04	--	--	-40	1267	10	9	Si	2.8

Trave: 127 [112,157], Pilastrate [8,--] Sez. R: By=30.0 cm Bz=100.0 cm L=303.1 cm Ln=303.1 cm
Criterio: CLS_TraviAlte_30x100

Combinazione Rara: $\sigma_{ca}[\text{kg/cmq}] = 149$ $\sigma_{fa}[\text{kg/cmq}] = 3600$

X	M+	M-	Afsup	Afinf	σ_{c+}	σ_{f+}	σ_{c-}	σ_{f-}	Cb+	Cb-	Ver.	CS
cm	kg*m	kg*m	cmq	cmq	kg/cmq	kg/cmq	kg/cmq	kg/cmq				
0.0	--	1608	10.05	10.05	--	--	-4	179	10	9	Si	20

X	M+	M-	Afsup	Afinf	σ_{c+}	σ_{f+}	σ_{c-}	σ_{f-}	Cb+	Cb-	Ver.	CS
cm	kg*m	kg*m	cmq	cmq	kg/cmq	kg/cmq	kg/cmq	kg/cmq				
30.3	--	907	10.05	10.05	--	--	-2	101	10	9	Si	36
151.6	262	--	10.05	10.05	-1	29	--	--	9	10	Si	>100
272.8	--	147	10.05	10.05	--	--	-0	16	10	9	Si	>100
303.1	--	379	10.05	10.05	--	--	-1	42	10	9	Si	85

Combinazione QP: $\sigma_{ca}[\text{kg}/\text{cmq}] = 112$ $\sigma_{fa}[\text{kg}/\text{cmq}] = 3600$

X	M+	M-	Afsup	Afinf	σ_{c+}	σ_{f+}	σ_{c-}	σ_{f-}	Cb+	Cb-	Ver.	CS
cm	kg*m	kg*m	cmq	cmq	kg/cmq	kg/cmq	kg/cmq	kg/cmq				
0.0	--	1138	10.05	10.05	--	--	-3	127	15	15	Si	28
30.3	--	597	10.05	10.05	--	--	-1	67	15	15	Si	54
151.6	254	--	10.05	10.05	-1	28	--	--	15	15	Si	>100
272.8	--	125	10.05	10.05	--	--	-0	14	15	15	Si	>100
303.1	--	344	10.05	10.05	--	--	-1	38	15	15	Si	94

Trave: 128 [119,120], Pilastre [16,17] Sez. R: By=55.0 cm Bz=25.0 cm L=427.6 cm Ln=397.8 cm
Criterio: CLS_TraviSpessore

Combinazione Rara: $\sigma_{ca}[\text{kg}/\text{cmq}] = 149$ $\sigma_{fa}[\text{kg}/\text{cmq}] = 3600$

X	M+	M-	Afsup	Afinf	σ_{c+}	σ_{f+}	σ_{c-}	σ_{f-}	Cb+	Cb-	Ver.	CS
cm	kg*m	kg*m	cmq	cmq	kg/cmq	kg/cmq	kg/cmq	kg/cmq				
0.0	--	289	7.04	7.04	--	--	-7	224	10	9	Si	16
39.8	--	53	7.04	7.04	--	--	-1	41	10	9	Si	88
198.9	281	--	7.04	7.04	-7	218	--	--	9	10	Si	17
358.0	--	369	7.04	7.04	--	--	-9	286	10	9	Si	13
397.8	--	685	7.04	7.04	--	--	-17	531	10	9	Si	6.8

Trave: 128 [120,121], Pilastre [17,18] Sez. R: By=55.0 cm Bz=25.0 cm L=315.9 cm Ln=375.9 cm
Criterio: CLS_TraviSpessore

Combinazione Rara: $\sigma_{ca}[\text{kg}/\text{cmq}] = 149$ $\sigma_{fa}[\text{kg}/\text{cmq}] = 3600$

X	M+	M-	Afsup	Afinf	σ_{c+}	σ_{f+}	σ_{c-}	σ_{f-}	Cb+	Cb-	Ver.	CS
cm	kg*m	kg*m	cmq	cmq	kg/cmq	kg/cmq	kg/cmq	kg/cmq				
0.0	--	363	7.04	7.04	--	--	-9	281	9	10	Si	13
37.6	--	156	7.04	7.04	--	--	-4	121	9	10	Si	30
187.9	186	--	7.04	7.04	-5	144	--	--	9	10	Si	25
338.3	--	252	7.04	7.04	--	--	-6	196	10	9	Si	18
375.9	--	483	7.04	7.04	--	--	-12	375	10	9	Si	9.6

Trave: 128 [121,180], Pilastre [18,--] Sez. R: By=55.0 cm Bz=25.0 cm L=540.5 cm Ln=511.4 cm
Criterio: CLS_TraviSpessore

Combinazione Rara: $\sigma_{ca}[\text{kg}/\text{cmq}] = 149$ $\sigma_{fa}[\text{kg}/\text{cmq}] = 3600$

X	M+	M-	Afsup	Afinf	σ_{c+}	σ_{f+}	σ_{c-}	σ_{f-}	Cb+	Cb-	Ver.	CS
cm	kg*m	kg*m	cmq	cmq	kg/cmq	kg/cmq	kg/cmq	kg/cmq				
0.0	--	975	7.04	7.04	--	--	-24	756	10	9	Si	4.8
51.1	--	486	7.04	7.04	--	--	-12	377	10	9	Si	9.6
255.7	452	--	7.04	7.04	-11	350	--	--	9	10	Si	10
460.2	--	239	7.04	7.04	--	--	-6	185	10	9	Si	19
511.4	--	665	7.04	7.04	--	--	-16	516	10	9	Si	7.0

Trave: 129 [179,117], Pilastre [--,19] Sez. R: By=55.0 cm Bz=25.0 cm L=424.2 cm Ln=455.2 cm
Criterio: CLS_TraviSpessore

Combinazione Rara: $\sigma_{ca}[\text{kg}/\text{cmq}] = 149$ $\sigma_{fa}[\text{kg}/\text{cmq}] = 3600$

X	M+	M-	Afsup	Afinf	σ_{c+}	σ_{f+}	σ_{c-}	σ_{f-}	Cb+	Cb-	Ver.	CS
cm	kg*m	kg*m	cmq	cmq	kg/cmq	kg/cmq	kg/cmq	kg/cmq				
0.0	--	533	7.04	7.04	--	--	-13	413	10	9	Si	8.7
45.5	--	194	7.04	7.04	--	--	-5	150	10	9	Si	24
227.6	358	--	7.04	7.04	-9	278	--	--	9	10	Si	13
409.7	--	377	7.04	7.04	--	--	-9	293	10	9	Si	12
455.2	--	763	7.04	7.04	--	--	-19	591	10	9	Si	6.1

Trave: 129 [117,118], Pilastre [19,20] Sez. R: By=55.0 cm Bz=25.0 cm L=482.2 cm Ln=452.4 cm
Criterio: CLS_TraviSpessore

Combinazione Rara: $\sigma_{ca}[\text{kg}/\text{cmq}] = 149$ $\sigma_{fa}[\text{kg}/\text{cmq}] = 3600$

X	M+	M-	Afsup	Afinf	σ_{c+}	σ_{f+}	σ_{c-}	σ_{f-}	Cb+	Cb-	Ver.	CS
cm	kg*m	kg*m	cmq	cmq	kg/cmq	kg/cmq	kg/cmq	kg/cmq				
0.0	--	897	7.04	7.04	--	--	-22	695	10	9	Si	5.2
45.2	--	488	7.04	7.04	--	--	-12	379	10	9	Si	9.5
226.2	349	--	7.04	7.04	-8	270	--	--	9	10	Si	13
407.1	--	87	7.04	7.04	--	--	-2	67	10	9	Si	53
452.4	--	394	7.04	7.04	--	--	-10	306	10	9	Si	12

Trave: 130 [158,120], Pilastre [-,17] Sez. R: By=85.0 cm Bz=25.0 cm L=355.9 cm Ln=371.1 cm
Criterio: CLS_TraviSpessore

Combinazione Rara: $\sigma_{ca}[\text{kg}/\text{cmq}] = 149$ $\sigma_{fa}[\text{kg}/\text{cmq}] = 3600$

X	M+	M-	Afsup	Afinf	σ_{c+}	σ_{f+}	σ_{c-}	σ_{f-}	Cb+	Cb-	Ver.	CS
cm	kg*m	kg*m	cmq	cmq	kg/cmq	kg/cmq	kg/cmq	kg/cmq				
0.0	--	2583	9.05	9.05	--	--	-44	1543	10	9	Si	2.3
37.1	--	758	9.05	9.05	--	--	-13	453	10	9	Si	7.9
185.6	2023	--	9.05	9.05	-35	1209	--	--	9	10	Si	3.0
334.0	--	2604	9.05	9.05	--	--	-45	1556	10	9	Si	2.3
371.1	--	4917	11.06	11.06	--	--	-77	2428	10	9	Si	1.5

Trave: 130 [120,122], Pilastre [17,21] Sez. R: By=85.0 cm Bz=25.0 cm L=430.5 cm Ln=415.5 cm
Criterio: CLS_TraviSpessore

Combinazione Rara: $\sigma_{ca}[\text{kg}/\text{cmq}] = 149$ $\sigma_{fa}[\text{kg}/\text{cmq}] = 3600$

X	M+	M-	Afsup	Afinf	σ_{c+}	σ_{f+}	σ_{c-}	σ_{f-}	Cb+	Cb-	Ver.	CS
cm	kg*m	kg*m	cmq	cmq	kg/cmq	kg/cmq	kg/cmq	kg/cmq				
0.0	--	5355	11.06	11.06	--	--	-83	2644	10	9	Si	1.4
41.5	--	2541	9.05	9.05	--	--	-44	1518	10	9	Si	2.4
207.7	2923	--	9.05	9.05	-50	1746	--	--	9	10	Si	2.1
373.9	--	910	9.05	9.05	--	--	-16	544	10	9	Si	6.6
415.5	--	3289	9.05	9.05	--	--	-56	1965	10	9	Si	1.8

Trave: 131 [114,121], Pilastre [13,18] Sez. R: By=85.0 cm Bz=25.0 cm L=355.9 cm Ln=355.9 cm
Criterio: CLS_TraviSpessore

Combinazione Rara: $\sigma_{ca}[\text{kg}/\text{cmq}] = 149$ $\sigma_{fa}[\text{kg}/\text{cmq}] = 3600$

X	M+	M-	Afsup	Afinf	σ_{c+}	σ_{f+}	σ_{c-}	σ_{f-}	Cb+	Cb-	Ver.	CS
cm	kg*m	kg*m	cmq	cmq	kg/cmq	kg/cmq	kg/cmq	kg/cmq				
0.0	--	2987	9.05	9.05	--	--	-51	1784	10	9	Si	2.0
35.6	--	1014	9.05	9.05	--	--	-17	606	10	9	Si	5.9
178.0	2036	--	9.05	9.05	-35	1216	--	--	9	10	Si	3.0
320.3	--	2660	9.05	9.05	--	--	-46	1589	10	9	Si	2.3
355.9	--	5046	13.07	13.07	--	--	-72	2125	10	9	Si	1.7

Trave: 131 [121,123], Pilastre [18,22] Sez. R: By=85.0 cm Bz=25.0 cm L=430.5 cm Ln=400.5 cm
Criterio: CLS_TraviSpessore

Combinazione Rara: $\sigma_{ca}[\text{kg}/\text{cmq}] = 149$ $\sigma_{fa}[\text{kg}/\text{cmq}] = 3600$

X	M+	M-	Afsup	Afinf	σ_{c+}	σ_{f+}	σ_{c-}	σ_{f-}	Cb+	Cb-	Ver.	CS
cm	kg*m	kg*m	cmq	cmq	kg/cmq	kg/cmq	kg/cmq	kg/cmq				
0.0	--	5735	13.07	13.07	--	--	-82	2415	10	9	Si	1.5
40.0	--	2744	13.07	13.07	--	--	-39	1156	10	9	Si	3.1
200.2	3158	--	9.05	9.05	-54	1886	--	--	9	10	Si	1.9
360.4	--	638	9.05	9.05	--	--	-11	381	10	9	Si	9.4
400.5	--	3102	9.05	9.05	--	--	-53	1853	10	9	Si	1.9

Trave: 132 [107,108], Pilastre [6,7] Sez. R: By=85.0 cm Bz=25.0 cm L=525.0 cm Ln=525.0 cm
Criterio: CLS_TraviSpessore

Combinazione Rara: $\sigma_{ca}[\text{kg}/\text{cmq}] = 149$ $\sigma_{fa}[\text{kg}/\text{cmq}] = 3600$

X	M+	M-	Afsup	Afinf	σ_{c+}	σ_{f+}	σ_{c-}	σ_{f-}	Cb+	Cb-	Ver.	CS
cm	kg*m	kg*m	cmq	cmq	kg/cmq	kg/cmq	kg/cmq	kg/cmq				
0.0	--	1245	9.05	9.05	--	--	-21	744	10	9	Si	4.8
52.5	--	554	9.05	9.05	--	--	-10	331	10	9	Si	11
262.5	756	--	9.05	9.05	-13	451	--	--	10	9	Si	8.0
472.5	--	295	9.05	9.05	--	--	-5	176	10	9	Si	20
525.0	--	921	9.05	9.05	--	--	-16	550	10	9	Si	6.5

Trave: 133 [105,106], Pilastre [4,5] Sez. R: By=85.0 cm Bz=25.0 cm L=526.5 cm Ln=526.5 cm

Criterio: CLS_TraviSpessore

Combinazione Rara: $\sigma_{ca}[\text{kg/cmq}] = 149$ $\sigma_{fa}[\text{kg/cmq}] = 3600$

X	M+	M-	Afsup	Afinf	σ_{c+}	σ_{f+}	σ_{c-}	σ_{f-}	Cb+	Cb-	Ver.	CS
cm	kg*m	kg*m	cmq	cmq	kg/cmq	kg/cmq	kg/cmq	kg/cmq				
0.0	--	984	9.05	9.05	--	--	-17	588	9	10	Si	6.1
52.6	--	341	9.05	9.05	--	--	-6	204	9	10	Si	18
263.2	759	--	9.05	9.05	-13	454	--	--	10	9	Si	7.9
473.8	--	509	9.05	9.05	--	--	-9	304	10	9	Si	12
526.5	--	1193	9.05	9.05	--	--	-20	713	10	9	Si	5.1

Trave: 134 [104,110], Pilastre [3,10] Sez. R: By=85.0 cm Bz=25.0 cm L=641.2 cm Ln=626.2 cm

Criterio: CLS_TraviSpessore

Combinazione Rara: $\sigma_{ca}[\text{kg/cmq}] = 149$ $\sigma_{fa}[\text{kg/cmq}] = 3600$

X	M+	M-	Afsup	Afinf	σ_{c+}	σ_{f+}	σ_{c-}	σ_{f-}	Cb+	Cb-	Ver.	CS
cm	kg*m	kg*m	cmq	cmq	kg/cmq	kg/cmq	kg/cmq	kg/cmq				
0.0	--	667	9.05	9.05	--	--	-11	399	9	10	Si	9.0
62.6	158	--	9.05	9.05	-3	94	--	--	9	10	Si	38
313.1	745	--	9.05	9.05	-13	445	--	--	10	9	Si	8.1
563.6	--	2157	9.05	9.05	--	--	-37	1288	10	9	Si	2.8
626.2	--	3384	9.05	9.05	--	--	-58	2021	10	9	Si	1.8

Trave: 135 [110,167], Pilastre [10,--] Sez. R: By=85.0 cm Bz=25.0 cm L=414.2 cm Ln=409.3 cm

Criterio: CLS_TraviSpessore

Combinazione Rara: $\sigma_{ca}[\text{kg/cmq}] = 149$ $\sigma_{fa}[\text{kg/cmq}] = 3600$

X	M+	M-	Afsup	Afinf	σ_{c+}	σ_{f+}	σ_{c-}	σ_{f-}	Cb+	Cb-	Ver.	CS
cm	kg*m	kg*m	cmq	cmq	kg/cmq	kg/cmq	kg/cmq	kg/cmq				
0.0	--	763	9.05	9.05	--	--	-13	456	9	10	Si	7.9
40.9	10	97	9.05	9.05	-0	6	-2	58	9	10	Si	62
204.7	1513	--	9.05	9.05	-26	904	--	--	9	10	Si	4.0
368.4	--	922	9.05	9.05	--	--	-16	551	10	9	Si	6.5
409.3	--	2382	9.05	9.05	--	--	-41	1423	10	9	Si	2.5

Trave: 136 [110,116], Pilastre [10,15] Sez. R: By=85.0 cm Bz=25.0 cm L=582.3 cm Ln=623.0 cm

Criterio: CLS_TraviSpessore

Combinazione Rara: $\sigma_{ca}[\text{kg/cmq}] = 149$ $\sigma_{fa}[\text{kg/cmq}] = 3600$

X	M+	M-	Afsup	Afinf	σ_{c+}	σ_{f+}	σ_{c-}	σ_{f-}	Cb+	Cb-	Ver.	CS
cm	kg*m	kg*m	cmq	cmq	kg/cmq	kg/cmq	kg/cmq	kg/cmq				
0.0	--	6997	15.08	15.08	--	--	-94	2572	10	9	Si	1.4
62.3	--	3010	11.06	13.07	--	--	-46	1488	10	9	Si	2.4
311.5	4543	--	11.06	13.07	-66	1911	--	--	9	10	Si	1.9
560.7	--	2140	11.06	13.07	--	--	-33	1058	10	9	Si	3.4
623.0	--	5944	13.07	13.07	--	--	-85	2503	10	9	Si	1.4

Trave: 137 [116,111], Pilastre [15,11] Sez. R: By=85.0 cm Bz=25.0 cm L=556.0 cm Ln=598.5 cm

Criterio: CLS_TraviSpessore

Combinazione Rara: $\sigma_{ca}[\text{kg/cmq}] = 149$ $\sigma_{fa}[\text{kg/cmq}] = 3600$

X	M+	M-	Afsup	Afinf	σ_{c+}	σ_{f+}	σ_{c-}	σ_{f-}	Cb+	Cb-	Ver.	CS
cm	kg*m	kg*m	cmq	cmq	kg/cmq	kg/cmq	kg/cmq	kg/cmq				
0.0	--	5033	11.06	11.06	--	--	-78	2484	10	9	Si	1.4
59.9	--	1528	9.05	11.06	--	--	-26	914	10	9	Si	3.9
299.3	4211	--	9.05	11.06	-67	2076	--	--	9	10	Si	1.7
538.7	--	3982	17.09	17.09	--	--	-50	1299	10	9	Si	2.8
598.5	--	8054	17.09	17.09	--	--	-101	2628	10	9	Si	1.4

Trave: 138 [111,168], Pilastre [11,--] Sez. R: By=85.0 cm Bz=25.0 cm L=418.7 cm Ln=449.2 cm

Criterio: CLS_TraviSpessore

Combinazione Rara: $\sigma_{ca}[\text{kg/cmq}] = 149$ $\sigma_{fa}[\text{kg/cmq}] = 3600$

X	M+	M-	Afsup	Afinf	σ_{c+}	σ_{f+}	σ_{c-}	σ_{f-}	Cb+	Cb-	Ver.	CS
cm	kg*m	kg*m	cmq	cmq	kg/cmq	kg/cmq	kg/cmq	kg/cmq				
0.0	--	2053	9.05	9.05	--	--	-35	1227	10	9	Si	2.9
44.9	--	963	9.05	9.05	--	--	-17	576	10	9	Si	6.3

X	M+	M-	Afsup	Afinf	σ_{c+}	σ_{f+}	σ_{c-}	σ_{f-}	Cb+	Cb-	Ver.	CS
224.6	1527	--	9.05	9.05	-26	912	--	--	9	10	Si	3.9
404.3	--	890	9.05	9.05	--	--	-15	532	10	9	Si	6.8
449.2	--	2560	9.05	9.05	--	--	-44	1529	10	9	Si	2.4

Trave: 139 [109,114], Pilastrate [9,13] Sez. R: By=85.0 cm Bz=25.0 cm L=395.3 cm Ln=395.3 cm

Criterio: CLS_TraviSpessore

Combinazione Rara: $\sigma_{ca}[\text{kg}/\text{cmq}] = 149$ $\sigma_{fa}[\text{kg}/\text{cmq}] = 3600$

X	M+	M-	Afsup	Afinf	σ_{c+}	σ_{f+}	σ_{c-}	σ_{f-}	Cb+	Cb-	Ver.	CS
cm	kg*m	kg*m	cmq	cmq	kg/cmq	kg/cmq	kg/cmq	kg/cmq				
0.0	--	2542	9.05	9.05	--	--	-44	1519	10	9	Si	2.4
39.5	--	1531	9.05	9.05	--	--	-26	915	10	9	Si	3.9
197.7	436	--	9.05	9.05	-7	260	--	--	9	10	Si	14
355.8	--	920	9.05	9.05	--	--	-16	550	10	9	Si	6.5
395.3	--	1778	9.05	9.05	--	--	-31	1062	10	9	Si	3.4

Verifica dei pilastri (Stati limite esercizio)

Scenario di calcolo: Set_NT_SLV_SLD_A2STR/GEO_2018

Simbologia

Terreno	Nome della stratigrafia per travi Winkler
L [cm]	Lunghezza teorica elemento (distanza tra i nodi)
Ln [cm]	Lunghezza netta elemento (tiene conto dei conci rigidi)
L2,L3 [cm]	Lunghezze libere di inflessione
Sez. R: Sezione Rettangolare	By[cm]: Larghezza (asse locale y) Bz[cm]: Larghezza (asse locale z)
Sez. T: Sezione a T (rovescia e non)	Ba[cm]: Larghezza base inferiore Ha[cm]: Altezza inferiore Bs[cm]: Larghezza superiore Hs[cm]: Altezza superiore
Sez. L: Sezione ad L (rovescia e non)	Ba[cm]: Larghezza base inferiore Ha[cm]: Altezza inferiore Bs[cm]: Larghezza superiore Hs[cm]: Altezza superiore
Sez. C: Sezione circolare	R[cm]: Raggio
Sez. G: Sezione generica	B[cm]: Larghezza H[cm]: Altezza
X [cm]	Punto di verifica
σ_{ca} [kg/cmq]	Tensione ammissibile nel cls
σ_{fa} [kg/cmq]	Tensione ammissibile nell'acciaio
σ_{cta} [kg/cmq]	Tensione ammissibile a trazione (quando richiesto dalla verifica)
M- [kg*m]	Momento negativo massimo di calcolo
M+ [kg*m]	Momento positivo massimo di calcolo
M [kg*m]	Momento di calcolo (travi a flessione, pilastri circolari)
My [kg*m]	Momento calcolo per verifiche a pressoflessione
Mz [kg*m]	Momento calcolo per verifiche a pressoflessione (Sez. L,Pilastri)
N [kg]	Sforzo normale corrispondente ad My (e Mz per Sez. L,Pilastri)
Afsup [cmq]	Area di ferro superiore
Afinf [cmq]	Area di ferro inferiore

Afsin [cmq]	Area di ferro sinistra (Sez. L)
Afdes [cmq]	Area di ferro destra (Sez. L)
σ_c - [kg/cmq]	Tensione nel cls compresso per effetto di M-
σ_{cy} [kg/cmq]	Tensione nel cls compresso per effetto di (N,My) in caso di pressoflessione retta
σ_{cz} [kg/cmq]	Tensione nel cls compresso per effetto di (N,Mz) in caso di pressoflessione retta
σ_c + [kg/cmq]	Tensione nel cls compresso per effetto di M+
σ_{ct} - [kg/cmq]	Tensione nel cls teso per effetto di M-
σ_{ct} + [kg/cmq]	Tensione nel cls teso per effetto di M+
σ_f - [kg/cmq]	Tensione nell'acciaio per effetto di M-
σ_f + [kg/cmq]	Tensione nell'acciaio per effetto di M+
σ_{fy} [kg/cmq]	Tensione nel acciaio per effetto di (N,My) in caso di pressoflessione retta
$\sigma_{ fz}$ [kg/cmq]	Tensione nel acciaio per effetto di (N,Mz) in caso di pressoflessione retta
Cb-	Combinazione di carico generatore di M-
Cb+	Combinazione di carico generatore di M+
σ_c [kg/cmq]	Tensione nel cls per effetto di N My
σ_f [kg/cmq]	Tensione nell'acciaio per effetto di N My
Cb	Combinazione di carico generatore di N My
Act [mq]	Area di calcestruzzo tesio
Aft [cmq]	Area di acciaio tesio
pAft [cm]	Perimetro area di acciaio tesio
S _{r,max} [cm]	Distanza massima delle fessure
σ_{sfmed} [kg/cmq]	Tensione media dell'acciaio
Wd [mm]	Apertura delle fessure
Wk [mm]	Apertura caratteristica delle fessure
Wamm_Freq [mm]	Apertura ammissibile delle fessure per combinazione Frequenti
Wamm_Qp [mm]	Apertura ammissibile delle fessure per combinazione Quasi Permanente
Wamm_Rara [mm]	Apertura ammissibile delle fessure per combinazione Rara
Cs	Coefficiente di sicurezza definito come minimo di σ_{Amm}/σ tra acciaio e calcestruzzo oppure Wamm/Wk

Pilastro: 1 [2,102] Sez. R: By=60.0 cm Bz=30.0 cm L=510.0 cm Ln=510.0 cm L2=510.0 cm L3=510.0 cm Criterio: CLS_Pilastri

Zona cm	Armature		
	cmq	cmq	cmq
0.0	AfSpigolo = 2.01	Afy = 8.04	Afz = 2.01
510.0	AfSpigolo = 2.01	Afy = 8.04	Afz = 2.01

Verifica snellezza: $fcd=141$ [kg/cmq] - **Verificato**

Cb	N	fcd*Ac	v	λ_{max}	λ_{lim}
	kg	kg			
9	21518	253980	0.085	58.890	85.888

Combinazione Rara: σ_{ca} [kg/cmq]=149 σ_{fa} [kg/cmq]=3600

X cm	N kg	My kg*m	Mz kg*m	σ_c kg/cmq	σ_f kg/cmq	Cb	Ver.	Cs
0.0	-18681	129	670	-12	-77	10	Si	12
0.0	-21518	241	772	-15	-80	9	Si	9.9
510.0	-19223	-919	393	-18	-23	9	Si	8.3

Combinazione QP: σ_{ca} [kg/cmq]=112 σ_{fa} [kg/cmq]=3600

X cm	N kg	My kg*m	Mz kg*m	σ_c kg/cmq	σ_f kg/cmq	Cb	Ver.	Cs
0.0	-18393	136	676	-12	-74	15	Si	9.1
510.0	-16098	-644	320	-14	-32	15	Si	8.0

Pilastro: 2 [3,103] Sez. R: By=60.0 cm Bz=30.0 cm L=510.0 cm Ln=510.0 cm L2=510.0 cm L3=510.0 cm Criterio: CLS_Pilastri

Zona	Armature		
cm	cmq	cmq	cmq
0.0	AfSpigolo = 2.01	Afy = 8.04	Afz = 2.01
510.0	AfSpigolo = 2.01	Afy = 8.04	Afz = 2.01

Verifica snellezza: fcd=141 [kg/cmq] - **Verificato**

Cb	N	fcd*Ac	v	λ_{max}	λ_{lim}
	kg	kg			
9	21506	253980	0.085	58.890	85.913

Combinazione Rara: $\sigma_{ca}[\text{kg}/\text{cmq}] = 149$ $\sigma_{fa}[\text{kg}/\text{cmq}] = 3600$

X	N	My	Mz	σ_c	σ_f	Cb	Ver.	Cs
cm	kg	kg*m	kg*m	kg/cmq	kg/cmq			
0.0	-18695	117	-712	-12	-76	10	Si	12
0.0	-21506	230	-705	-15	-85	9	Si	10
510.0	-19211	-889	-471	-18	-21	9	Si	8.2

Combinazione QP: $\sigma_{ca}[\text{kg}/\text{cmq}] = 112$ $\sigma_{fa}[\text{kg}/\text{cmq}] = 3600$

X	N	My	Mz	σ_c	σ_f	Cb	Ver.	Cs
cm	kg	kg*m	kg*m	kg/cmq	kg/cmq			
0.0	-18401	124	-696	-12	-74	15	Si	9.1
510.0	-16106	-618	-308	-14	-35	15	Si	8.1

Pilastro: 3 [4,104] Sez. R: By=60.0 cm Bz=30.0 cm L=510.0 cm Ln=510.0 cm L2=510.0 cm L3=510.0 cm Criterio: CLS_Pilastri

Zona	Armature		
cm	cmq	cmq	cmq
0.0	AfSpigolo = 2.01	Afy = 8.04	Afz = 2.01
510.0	AfSpigolo = 2.01	Afy = 8.04	Afz = 2.01

Verifica snellezza: fcd=141 [kg/cmq] - **Verificato**

Cb	N	fcd*Ac	v	λ_{max}	λ_{lim}
	kg	kg			
9	19245	253980	0.076	58.890	90.820

Combinazione Rara: $\sigma_{ca}[\text{kg}/\text{cmq}] = 149$ $\sigma_{fa}[\text{kg}/\text{cmq}] = 3600$

X	N	My	Mz	σ_c	σ_f	Cb	Ver.	Cs
cm	kg	kg*m	kg*m	kg/cmq	kg/cmq			
0.0	-15857	-41	48	-8	-101	10	Si	19
0.0	-19245	-115	84	-10	-115	9	Si	15
510.0	-13562	-515	932	-15	10	10	Si	10
510.0	-16950	-482	1160	-17	-5	9	Si	8.9

Combinazione QP: $\sigma_{ca}[\text{kg}/\text{cmq}] = 112$ $\sigma_{fa}[\text{kg}/\text{cmq}] = 3600$

X	N	My	Mz	σ_c	σ_f	Cb	Ver.	Cs
cm	kg	kg*m	kg*m	kg/cmq	kg/cmq			
0.0	-15766	-37	58	-8	-100	15	Si	15
510.0	-13471	-518	918	-15	10	15	Si	7.7

Pilastro: 4 [5,105] Sez. R: By=30.0 cm Bz=60.0 cm L=510.0 cm Ln=510.0 cm L2=510.0 cm L3=510.0 cm Criterio: CLS_Pilastri

Zona	Armature		
cm	cmq	cmq	cmq
0.0	AfSpigolo = 2.01	Afy = 2.01	Afz = 8.04
510.0	AfSpigolo = 2.01	Afy = 2.01	Afz = 8.04

Verifica snellezza: fcd=141 [kg/cmq] - **Verificato**

Cb	N	fcd*Ac	v	λ_{max}	λ_{lim}
	kg	kg			
9	15519	253980	0.061	58.890	101.136

Combinazione Rara: $\sigma_{ca}[\text{kg/cmq}] = 149$ $\sigma_{fa}[\text{kg/cmq}] = 3600$

X cm	N kg	My kg*m	Mz kg*m	σ_c kg/cmq	σ_f kg/cmq	Cb	Ver.	Cs
0.0	-13529	-340	82	-8	-65	10	Si	18
0.0	-15519	-406	100	-10	-73	9	Si	16
510.0	-11234	52	170	-7	-57	10	Si	22
510.0	-13224	75	160	-8	-70	9	Si	20

Combinazione QP: $\sigma_{ca}[\text{kg/cmq}] = 112$ $\sigma_{fa}[\text{kg/cmq}] = 3600$

X cm	N kg	My kg*m	Mz kg*m	σ_c kg/cmq	σ_f kg/cmq	Cb	Ver.	Cs
0.0	-13415	-334	80	-8	-65	15	Si	14
510.0	-11120	48	172	-7	-57	15	Si	17

Pilastro: 5 [6,106] Sez. R: By=30.0 cm Bz=60.0 cm L=510.0 cm Ln=510.0 cm L2=510.0 cm L3=510.0 cm Criterio: CLS_Pilastri

Zona		Armature		
cm	cmq	cmq	cmq	
0.0		AfSpigolo = 2.01	Afy = 2.01	Afz = 8.04
510.0		AfSpigolo = 2.01	Afy = 2.01	Afz = 8.04

Verifica snellezza: $fcd=141 [\text{kg/cmq}]$ - **Verificato**

Cb	N kg	fcd*Ac kg	v	λ_{max}	λ_{lim}
9	23102	253980	0.091	58.890	82.892

Combinazione Rara: $\sigma_{ca}[\text{kg/cmq}] = 149$ $\sigma_{fa}[\text{kg/cmq}] = 3600$

X cm	N kg	My kg*m	Mz kg*m	σ_c kg/cmq	σ_f kg/cmq	Cb	Ver.	Cs
0.0	-18515	-661	428	-15	-49	10	Si	10
0.0	-23102	-815	459	-18	-68	9	Si	8.4
510.0	-16220	-329	-552	-13	-40	10	Si	11
510.0	-20807	-397	-548	-16	-68	9	Si	9.5

Combinazione QP: $\sigma_{ca}[\text{kg/cmq}] = 112$ $\sigma_{fa}[\text{kg/cmq}] = 3600$

X cm	N kg	My kg*m	Mz kg*m	σ_c kg/cmq	σ_f kg/cmq	Cb	Ver.	Cs
0.0	-18501	-649	428	-15	-49	15	Si	7.6
510.0	-16206	-340	-551	-13	-40	15	Si	8.4

Pilastro: 6 [7,107] Sez. R: By=30.0 cm Bz=60.0 cm L=510.0 cm Ln=510.0 cm L2=510.0 cm L3=510.0 cm Criterio: CLS_Pilastri

Zona		Armature		
cm	cmq	cmq	cmq	
0.0		AfSpigolo = 2.01	Afy = 2.01	Afz = 8.04
510.0		AfSpigolo = 2.01	Afy = 2.01	Afz = 8.04

Verifica snellezza: $fcd=141 [\text{kg/cmq}]$ - **Verificato**

Cb	N kg	fcd*Ac kg	v	λ_{max}	λ_{lim}
9	23445	253980	0.092	58.890	82.284

Combinazione Rara: $\sigma_{ca}[\text{kg/cmq}] = 149$ $\sigma_{fa}[\text{kg/cmq}] = 3600$

X cm	N kg	My kg*m	Mz kg*m	σ_c kg/cmq	σ_f kg/cmq	Cb	Ver.	Cs
0.0	-18651	-771	-413	-15	-45	10	Si	9.8
0.0	-23445	-865	-417	-18	-71	9	Si	8.4
510.0	-16356	-191	500	-12	-54	10	Si	12
510.0	-21150	-387	466	-15	-78	9	Si	9.9

Combinazione QP: $\sigma_{ca}[\text{kg/cmq}] = 112$ $\sigma_{fa}[\text{kg/cmq}] = 3600$

X cm	N kg	My kg*m	Mz kg*m	σ_c kg/cmq	σ_f kg/cmq	Cb	Ver.	Cs
9	23445	253980	0.092	58.890	82.284			

X	N	My	Mz	σ_c	σ_f	Cb	Ver.	Cs
0.0	-18639	-755	-409	-15	-46	15	Si	7.4
510.0	-16344	-208	497	-12	-53	15	Si	9.0

Pilastro: 7 [8,108] Sez. R: By=30.0 cm Bz=60.0 cm L=510.0 cm Ln=510.0 cm L2=510.0 cm
L3=510.0 cm Criterio: CLS_Pilastri

Zona		Armature		
cm	cmq	cmq	cmq	
0.0	AfSpigolo = 2.01	Afy = 2.01	Afz = 8.04	
510.0	AfSpigolo = 2.01	Afy = 2.01	Afz = 8.04	

Verifica snellezza: fcd=141 [kg/cmq] - **Verificato**

Cb	N	fcd*Ac	v	λ_{max}	λ_{lim}
	kg	kg			
9	16563	253980	0.065	58.890	97.897

Combinazione Rara: $\sigma_{ca}[\text{kg}/\text{cmq}] = 149$ $\sigma_{fa}[\text{kg}/\text{cmq}] = 3600$

X	N	My	Mz	σ_c	σ_f	Cb	Ver.	Cs
cm	kg	kg*m	kg*m	kg/cmq	kg/cmq			
0.0	-14306	-1045	-67	-12	-32	10	Si	13
0.0	-16563	-1188	-73	-13	-39	9	Si	11
510.0	-12011	699	-219	-10	-22	10	Si	15
510.0	-14268	774	-219	-12	-33	9	Si	13

Combinazione QP: $\sigma_{ca}[\text{kg}/\text{cmq}] = 112$ $\sigma_{fa}[\text{kg}/\text{cmq}] = 3600$

X	N	My	Mz	σ_c	σ_f	Cb	Ver.	Cs
cm	kg	kg*m	kg*m	kg/cmq	kg/cmq			
0.0	-14191	-1024	-63	-11	-33	15	Si	9.9
510.0	-11896	676	-221	-10	-22	15	Si	11

Pilastro: 8 [12,100] Sez. R: By=120.0 cm Bz=30.0 cm L=410.0 cm Ln=410.0 cm L2=410.0 cm
L3=410.0 cm Criterio: CLS_Pilastri

Zona		Armature		
cm	cmq	cmq	cmq	
0.0	AfSpigolo = 2.01	Afy = 16.08	Afz = 2.01	
410.0	AfSpigolo = 2.01	Afy = 16.08	Afz = 2.01	

Verifica snellezza: fcd=141 [kg/cmq] - **Verificato**

Cb	N	fcd*Ac	v	λ_{max}	λ_{lim}
	kg	kg			
9	25412	507960	0.050	47.343	111.772

Combinazione Rara: $\sigma_{ca}[\text{kg}/\text{cmq}] = 149$ $\sigma_{fa}[\text{kg}/\text{cmq}] = 3600$

X	N	My	Mz	σ_c	σ_f	Cb	Ver.	Cs
cm	kg	kg*m	kg*m	kg/cmq	kg/cmq			
0.0	-25412	-446	-6739	-16	51	9	Si	9.3
410.0	-21722	337	1556	-8	-36	9	Si	18

Combinazione QP: $\sigma_{ca}[\text{kg}/\text{cmq}] = 112$ $\sigma_{fa}[\text{kg}/\text{cmq}] = 3600$

X	N	My	Mz	σ_c	σ_f	Cb	Ver.	Cs
cm	kg	kg*m	kg*m	kg/cmq	kg/cmq			
0.0	-21888	-353	-5596	-13	37	15	Si	8.4
410.0	-18198	260	829	-6	-38	15	Si	18

Pilastro: 8 [100,112] Sez. R: By=120.0 cm Bz=30.0 cm L=100.0 cm Ln=100.0 cm L2=100.0 cm
L3=100.0 cm Criterio: CLS_Pilastri

Zona		Armature		
cm	cmq	cmq	cmq	
0.0	AfSpigolo = 2.01	Afy = 16.08	Afz = 2.01	
100.0	AfSpigolo = 2.01	Afy = 16.08	Afz = 2.01	

Verifica snellezza: fcd=141 [kg/cmq] - **Verificato**

Cb	N	fcd*Ac	v	λ_{max}	λ_{lim}
	kg	kg			
9	24938	507960	0.049	11.547	112.831

Combinazione Rara: $\sigma_{ca}[\text{kg/cmq}] = 149$ $\sigma_{fa}[\text{kg/cmq}] = 3600$

X	N	My	Mz	σ_c	σ_f	Cb	Ver.	Cs
cm	kg	kg*m	kg*m	kg/cmq	kg/cmq			
0.0	-19432	62	318	-5	-60	10	Si	29
0.0	-24001	12	525	-6	-76	9	Si	24
100.0	-19501	86	2830	-8	-19	10	Si	18
100.0	-24938	210	3640	-11	-20	9	Si	14

Combinazione QP: $\sigma_{ca}[\text{kg/cmq}] = 112$ $\sigma_{fa}[\text{kg/cmq}] = 3600$

X	N	My	Mz	σ_c	σ_f	Cb	Ver.	Cs
cm	kg	kg*m	kg*m	kg/cmq	kg/cmq			
0.0	-19419	56	350	-5	-60	15	Si	22
100.0	-19498	91	2828	-8	-19	15	Si	14

Pilastro: 9 [9,109] Sez. R: By=60.0 cm Bz=30.0 cm L=510.0 cm Ln=510.0 cm L2=510.0 cm L3=510.0 cm Criterio: CLS_Pilastri

Zona	Armature		
cm	cmq	cmq	cmq
0.0	AfSpigolo = 2.01	Afy = 8.04	Afz = 2.01
510.0	AfSpigolo = 2.01	Afy = 8.04	Afz = 2.01

Verifica snellezza: fcd=141 [kg/cmq] - **Verificato**

Cb	N	fcd*Ac	v	λ_{max}	λ_{lim}
	kg	kg			
9	25747	253980	0.101	58.890	78.519

Combinazione Rara: $\sigma_{ca}[\text{kg/cmq}] = 149$ $\sigma_{fa}[\text{kg/cmq}] = 3600$

X	N	My	Mz	σ_c	σ_f	Cb	Ver.	Cs
cm	kg	kg*m	kg*m	kg/cmq	kg/cmq			
0.0	-20666	-722	-349	-17	-54	10	Si	8.8
0.0	-25747	-950	-468	-22	-60	9	Si	6.9
510.0	-23452	1782	-1067	-32	103	9	Si	4.7

Combinazione QP: $\sigma_{ca}[\text{kg/cmq}] = 112$ $\sigma_{fa}[\text{kg/cmq}] = 3600$

X	N	My	Mz	σ_c	σ_f	Cb	Ver.	Cs
cm	kg	kg*m	kg*m	kg/cmq	kg/cmq			
0.0	-20662	-720	-343	-17	-54	15	Si	6.7
510.0	-18367	1352	-972	-25	84	15	Si	4.4

Pilastro: 10 [10,110] Sez. R: By=60.0 cm Bz=30.0 cm L=510.0 cm Ln=510.0 cm L2=510.0 cm L3=510.0 cm Criterio: CLS_Pilastri

Zona	Armature		
cm	cmq	cmq	cmq
0.0	AfSpigolo = 2.01	Afy = 8.04	Afz = 2.01
510.0	AfSpigolo = 2.01	Afy = 8.04	Afz = 2.01

Verifica snellezza: fcd=141 [kg/cmq] - **Verificato**

Cb	N	fcd*Ac	v	λ_{max}	λ_{lim}
	kg	kg			
9	26939	253980	0.106	58.890	76.763

Combinazione Rara: $\sigma_{ca}[\text{kg/cmq}] = 149$ $\sigma_{fa}[\text{kg/cmq}] = 3600$

X	N	My	Mz	σ_c	σ_f	Cb	Ver.	Cs
cm	kg	kg*m	kg*m	kg/cmq	kg/cmq			
0.0	-21985	595	222	-16	-81	10	Si	9.4
0.0	-26939	790	290	-20	-93	9	Si	7.5
510.0	-24644	-1831	1259	-34	112	9	Si	4.4

Combinazione QP: $\sigma_{ca}[\text{kg/cmq}] = 112$ $\sigma_{fa}[\text{kg/cmq}] = 3600$

X cm	N kg	My kg*m	Mz kg*m	σ_c kg/cmq	σ_f kg/cmq	Cb	Ver.	Cs
0.0	-21983	596	230	-16	-81	15	Si	7.0
510.0	-19688	-1383	1005	-26	75	15	Si	4.3

Pilastro: 11 [11,111] Sez. R: By=60.0 cm Bz=30.0 cm L=510.0 cm Ln=510.0 cm L2=510.0 cm L3=510.0 cm Criterio: CLS_Pilastri

Zona		Armature		
cm	cmq	cmq	cmq	
0.0	$AfSpigolo = 2.01$		$Afy = 8.04$	$Afz = 2.01$
510.0	$AfSpigolo = 2.01$		$Afy = 8.04$	$Afz = 2.01$

Verifica snellezza: $fcd=141 [\text{kg/cmq}]$ - **Verificato**

Cb	N kg	fcd*Ac kg	v	λ_{max}	λ_{lim}
9	31103	253980	0.122	58.890	71.440

Combinazione Rara: $\sigma_{ca}[\text{kg/cmq}] = 149$ $\sigma_{fa}[\text{kg/cmq}] = 3600$

X cm	N kg	My kg*m	Mz kg*m	σ_c kg/cmq	σ_f kg/cmq	Cb	Ver.	Cs
0.0	-25118	24	555	-14	-136	10	Si	11
0.0	-31103	-12	780	-17	-165	9	Si	8.6
510.0	-22823	-235	649	-15	-96	10	Si	9.9
510.0	-28808	-218	685	-18	-136	9	Si	8.4

Combinazione QP: $\sigma_{ca}[\text{kg/cmq}] = 112$ $\sigma_{fa}[\text{kg/cmq}] = 3600$

X cm	N kg	My kg*m	Mz kg*m	σ_c kg/cmq	σ_f kg/cmq	Cb	Ver.	Cs
0.0	-25114	24	563	-14	-136	15	Si	8.0
510.0	-22819	-236	643	-15	-96	15	Si	7.5

Pilastro: 12 [13,113] Sez. R: By=60.0 cm Bz=30.0 cm L=510.0 cm Ln=510.0 cm L2=510.0 cm L3=510.0 cm Criterio: CLS_Pilastri

Zona		Armature		
cm	cmq	cmq	cmq	
0.0	$AfSpigolo = 2.01$		$Afy = 8.04$	$Afz = 2.01$
510.0	$AfSpigolo = 2.01$		$Afy = 8.04$	$Afz = 2.01$

Verifica snellezza: $fcd=141 [\text{kg/cmq}]$ - **Verificato**

Cb	N kg	fcd*Ac kg	v	λ_{max}	λ_{lim}
9	19115	253980	0.075	58.890	91.128

Combinazione Rara: $\sigma_{ca}[\text{kg/cmq}] = 149$ $\sigma_{fa}[\text{kg/cmq}] = 3600$

X cm	N kg	My kg*m	Mz kg*m	σ_c kg/cmq	σ_f kg/cmq	Cb	Ver.	Cs
0.0	-15681	-311	-30	-10	-76	10	Si	15
0.0	-19115	-437	144	-13	-81	9	Si	12
510.0	-16820	716	-2197	-25	109	9	Si	6.1

Combinazione QP: $\sigma_{ca}[\text{kg/cmq}] = 112$ $\sigma_{fa}[\text{kg/cmq}] = 3600$

X cm	N kg	My kg*m	Mz kg*m	σ_c kg/cmq	σ_f kg/cmq	Cb	Ver.	Cs
0.0	-15674	-310	-17	-10	-76	15	Si	12
510.0	-13379	499	-1606	-18	62	15	Si	6.2

Pilastro: 13 [14,114] Sez. R: By=60.0 cm Bz=30.0 cm L=510.0 cm Ln=510.0 cm L2=510.0 cm L3=510.0 cm Criterio: CLS_Pilastri

Zona		Armature		
cm	cmq	cmq	cmq	
0.0	$AfSpigolo = 2.01$		$Afy = 8.04$	$Afz = 2.01$

Zona	Armature				
510.0	AfSpigolo = 2.01	Afy = 8.04	Afz = 2.01		

Verifica snellezza: fcd=141 [kg/cmq] - **Verificato**

Cb	N	fcd*Ac	v	λ_{max}	λ_{lim}
	kg	kg			
9	16537	253980	0.065	58.890	97.975

Combinazione Rara: $\sigma_{ca}[\text{kg/cmq}] = 149$ $\sigma_{fa}[\text{kg/cmq}] = 3600$

X	N	My	Mz	σ_c	σ_f	Cb	Ver.	Cs
cm	kg	kg*m	kg*m	kg/cmq	kg/cmq			
0.0	-13768	304	-316	-10	-47	10	Si	15
0.0	-16537	410	-378	-13	-53	9	Si	12
510.0	-14242	-651	-296	-13	-20	9	Si	11

Combinazione QP: $\sigma_{ca}[\text{kg/cmq}] = 112$ $\sigma_{fa}[\text{kg/cmq}] = 3600$

X	N	My	Mz	σ_c	σ_f	Cb	Ver.	Cs
cm	kg	kg*m	kg*m	kg/cmq	kg/cmq			
0.0	-13760	305	-315	-10	-47	15	Si	11
510.0	-11465	-459	-231	-10	-22	15	Si	11

Pilastro: 14 [15,115] Sez. R: By=60.0 cm Bz=30.0 cm L=510.0 cm Ln=510.0 cm L2=510.0 cm

L3=510.0 cm Criterio: CLS_Pilastri

Zona	Armature				
cm	cmq		cmq		
0.0	AfSpigolo = 2.01		Afy = 8.04		Afz = 2.01
510.0	AfSpigolo = 2.01		Afy = 8.04		Afz = 2.01

Verifica snellezza: fcd=141 [kg/cmq] - **Verificato**

Cb	N	fcd*Ac	v	λ_{max}	λ_{lim}
	kg	kg			
9	15421	253980	0.061	58.890	101.459

Combinazione Rara: $\sigma_{ca}[\text{kg/cmq}] = 149$ $\sigma_{fa}[\text{kg/cmq}] = 3600$

X	N	My	Mz	σ_c	σ_f	Cb	Ver.	Cs
cm	kg	kg*m	kg*m	kg/cmq	kg/cmq			
0.0	-12874	317	-498	-11	-30	10	Si	14
0.0	-15421	425	-490	-13	-38	9	Si	12
510.0	-13126	-803	-227	-14	0	9	Si	11

Combinazione QP: $\sigma_{ca}[\text{kg/cmq}] = 112$ $\sigma_{fa}[\text{kg/cmq}] = 3600$

X	N	My	Mz	σ_c	σ_f	Cb	Ver.	Cs
cm	kg	kg*m	kg*m	kg/cmq	kg/cmq			
0.0	-12862	317	-487	-11	-30	15	Si	11
510.0	-10567	-585	-100	-10	-12	15	Si	11

Pilastro: 15 [16,116] Sez. R: By=60.0 cm Bz=30.0 cm L=510.0 cm Ln=510.0 cm L2=510.0 cm

L3=510.0 cm Criterio: CLS_Pilastri

Zona	Armature				
cm	cmq		cmq		
0.0	AfSpigolo = 2.01		Afy = 8.04		Afz = 2.01
510.0	AfSpigolo = 2.01		Afy = 8.04		Afz = 2.01

Verifica snellezza: fcd=141 [kg/cmq] - **Verificato**

Cb	N	fcd*Ac	v	λ_{max}	λ_{lim}
	kg	kg			
9	24072	253980	0.095	58.890	81.204

Combinazione Rara: $\sigma_{ca}[\text{kg/cmq}] = 149$ $\sigma_{fa}[\text{kg/cmq}] = 3600$

X	N	My	Mz	σ_c	σ_f	Cb	Ver.	Cs
cm	kg	kg*m	kg*m	kg/cmq	kg/cmq			
0.0	-24072	-1205	884	-25	0	9	Si	6.0

X	N	My	Mz	σ_c	σ_f	Cb	Ver.	Cs
cm	kg	kg*m	kg*m	kg/cmq	kg/cmq			
0.0	-20458	-917	700	-20	-14	15	Si	5.6
510.0	-18163	2389	-276	-35	286	15	Si	3.2

Combinazione QP: $\sigma_{ca}[\text{kg/cmq}] = 112$ $\sigma_{fa}[\text{kg/cmq}] = 3600$

X	N	My	Mz	σ_c	σ_f	Cb	Ver.	Cs
cm	kg	kg*m	kg*m	kg/cmq	kg/cmq			
0.0	-20458	-917	700	-20	-14	15	Si	5.6
510.0	-18163	2389	-276	-35	286	15	Si	3.2

Pilastro: 16 [19,119] Sez. R: By=30.0 cm Bz=60.0 cm L=510.0 cm Ln=510.0 cm L2=510.0 cm

L3=510.0 cm Criterio: CLS_Pilastri

Zona	Armature		
cm	cmq	cmq	cmq
0.0	AfSpigolo = 2.01	Afy = 2.01	Afz = 8.04
510.0	AfSpigolo = 2.01	Afy = 2.01	Afz = 8.04

Verifica snellezza: fcd=141 [kg/cmq] - **Verificato**

Cb	N	fcd*Ac	v	λ_{max}	λ_{lim}
	kg	kg			
9	16327	253980	0.064	58.890	98.602

Combinazione Rara: $\sigma_{ca}[\text{kg/cmq}] = 149$ $\sigma_{fa}[\text{kg/cmq}] = 3600$

X	N	My	Mz	σ_c	σ_f	Cb	Ver.	Cs
cm	kg	kg*m	kg*m	kg/cmq	kg/cmq			
0.0	-14296	313	105	-9	-69	10	Si	17
0.0	-16327	357	110	-10	-80	9	Si	15
510.0	-12001	-12	9	-6	-79	10	Si	27
510.0	-14032	-15	13	-6	-93	9	Si	23

Combinazione QP: $\sigma_{ca}[\text{kg/cmq}] = 112$ $\sigma_{fa}[\text{kg/cmq}] = 3600$

X	N	My	Mz	σ_c	σ_f	Cb	Ver.	Cs
cm	kg	kg*m	kg*m	kg/cmq	kg/cmq			
0.0	-14053	313	102	-9	-68	15	Si	13
510.0	-11758	-19	12	-5	-77	15	Si	20

Pilastro: 17 [20,120] Sez. R: By=60.0 cm Bz=30.0 cm L=510.0 cm Ln=510.0 cm L2=510.0 cm

L3=510.0 cm Criterio: CLS_Pilastri

Zona	Armature		
cm	cmq	cmq	cmq
0.0	AfSpigolo = 2.01	Afy = 8.04	Afz = 2.01
510.0	AfSpigolo = 2.01	Afy = 8.04	Afz = 2.01

Verifica snellezza: fcd=141 [kg/cmq] - **Verificato**

Cb	N	fcd*Ac	v	λ_{max}	λ_{lim}
	kg	kg			
9	18030	253980	0.071	58.890	93.830

Combinazione Rara: $\sigma_{ca}[\text{kg/cmq}] = 149$ $\sigma_{fa}[\text{kg/cmq}] = 3600$

X	N	My	Mz	σ_c	σ_f	Cb	Ver.	Cs
cm	kg	kg*m	kg*m	kg/cmq	kg/cmq			
0.0	-14835	204	667	-11	-44	10	Si	13
0.0	-18030	258	766	-14	-55	9	Si	11
510.0	-12540	-315	-443	-10	-31	10	Si	15
510.0	-15735	-406	-497	-13	-41	9	Si	12

Combinazione QP: $\sigma_{ca}[\text{kg/cmq}] = 112$ $\sigma_{fa}[\text{kg/cmq}] = 3600$

X	N	My	Mz	σ_c	σ_f	Cb	Ver.	Cs
cm	kg	kg*m	kg*m	kg/cmq	kg/cmq			
0.0	-14826	204	663	-11	-44	15	Si	10.0
510.0	-12531	-315	-438	-10	-31	15	Si	11

Pilastro: 18 [21,121] Sez. R: By=60.0 cm Bz=30.0 cm L=510.0 cm Ln=510.0 cm L2=510.0 cm

L3=510.0 cm Criterio: CLS_Pilastri

Zona	Armature		
cm	cmq	cmq	cmq
0.0	AfSpigolo = 2.01	Afy = 8.04	Afz = 2.01
510.0	AfSpigolo = 2.01	Afy = 8.04	Afz = 2.01

Verifica snellezza: fcd=141 [kg/cmq] - Verificato

Cb	N	fcd*Ac	v	λ_{max}	λ_{lim}
	kg	kg			
9	19534	253980	0.077	58.890	90.145

Combinazione Rara: $\sigma_{ca}[\text{kg}/\text{cmq}] = 149$ $\sigma_{fa}[\text{kg}/\text{cmq}] = 3600$

X	N	My	Mz	σ_c	σ_f	Cb	Ver.	Cs
cm	kg	kg*m	kg*m	kg/cmq	kg/cmq			
0.0	-15943	320	-467	-12	-52	10	Si	13
0.0	-19534	386	-523	-14	-67	9	Si	10
510.0	-13648	-477	387	-12	-27	10	Si	13
510.0	-17239	-588	398	-14	-40	9	Si	10

Combinazione QP: $\sigma_{ca}[\text{kg}/\text{cmq}] = 112$ $\sigma_{fa}[\text{kg}/\text{cmq}] = 3600$

X	N	My	Mz	σ_c	σ_f	Cb	Ver.	Cs
cm	kg	kg*m	kg*m	kg/cmq	kg/cmq			
0.0	-15937	317	-461	-12	-53	15	Si	9.5
510.0	-13642	-474	382	-12	-27	15	Si	9.5

Pilastro: 19 [17,117] Sez. R: By=60.0 cm Bz=30.0 cm L=510.0 cm Ln=510.0 cm L2=510.0 cm L3=510.0 cm Criterio: CLS_Pilastri

Zona	Armature		
cm	cmq	cmq	cmq
0.0	AfSpigolo = 2.01	Afy = 8.04	Afz = 2.01
510.0	AfSpigolo = 2.01	Afy = 8.04	Afz = 2.01

Verifica snellezza: fcd=141 [kg/cmq] - Verificato

Cb	N	fcd*Ac	v	λ_{max}	λ_{lim}
	kg	kg			
9	19790	253980	0.078	58.890	89.561

Combinazione Rara: $\sigma_{ca}[\text{kg}/\text{cmq}] = 149$ $\sigma_{fa}[\text{kg}/\text{cmq}] = 3600$

X	N	My	Mz	σ_c	σ_f	Cb	Ver.	Cs
cm	kg	kg*m	kg*m	kg/cmq	kg/cmq			
0.0	-16163	315	-661	-13	-43	10	Si	12
0.0	-19790	379	-758	-15	-56	9	Si	9.7
510.0	-13868	-456	98	-11	-46	10	Si	14
510.0	-17495	-564	89	-13	-61	9	Si	11

Combinazione QP: $\sigma_{ca}[\text{kg}/\text{cmq}] = 112$ $\sigma_{fa}[\text{kg}/\text{cmq}] = 3600$

X	N	My	Mz	σ_c	σ_f	Cb	Ver.	Cs
cm	kg	kg*m	kg*m	kg/cmq	kg/cmq			
0.0	-16157	313	-658	-13	-43	15	Si	8.8
510.0	-13862	-454	96	-10	-46	15	Si	11

Pilastro: 20 [18,118] Sez. R: By=30.0 cm Bz=60.0 cm L=510.0 cm Ln=510.0 cm L2=510.0 cm L3=510.0 cm Criterio: CLS_Pilastri

Zona	Armature		
cm	cmq	cmq	cmq
0.0	AfSpigolo = 2.01	Afy = 2.01	Afz = 8.04
510.0	AfSpigolo = 2.01	Afy = 2.01	Afz = 8.04

Verifica snellezza: fcd=141 [kg/cmq] - Verificato

Cb	N	fcd*Ac	v	λ_{max}	λ_{lim}
	kg	kg			
9	16835	253980	0.066	58.890	97.102

Combinazione Rara: $\sigma_{ca}[\text{kg/cmq}] = 149$ $\sigma_{fa}[\text{kg/cmq}] = 3600$

X cm	N kg	My kg*m	Mz kg*m	σ_c kg/cmq	σ_f kg/cmq	Cb	Ver.	Cs
0.0	-14555	206	-114	-8	-76	10	Si	18
0.0	-16835	192	-116	-9	-92	9	Si	16
510.0	-12260	217	-78	-7	-63	10	Si	21
510.0	-14540	307	-86	-9	-73	9	Si	17

Combinazione QP: $\sigma_{ca}[\text{kg/cmq}] = 112$ $\sigma_{fa}[\text{kg/cmq}] = 3600$

X cm	N kg	My kg*m	Mz kg*m	σ_c kg/cmq	σ_f kg/cmq	Cb	Ver.	Cs
0.0	-14375	205	-111	-8	-75	15	Si	14
510.0	-12080	211	-80	-7	-62	15	Si	16

Pilastro: 21 [22,122] Sez. R: By=60.0 cm Bz=30.0 cm L=510.0 cm Ln=510.0 cm L2=510.0 cm L3=510.0 cm Criterio: CLS_Pilastri

Zona		Armature			
cm	cmq	cmq	cmq	cmq	cmq
0.0		$Af_{Spigolo} = 2.01$		$Afy = 8.04$	
510.0		$Af_{Spigolo} = 2.01$		$Afy = 8.04$	

Verifica snellezza: $fcd=141 [\text{kg/cmq}]$ - **Verificato**

Cb	N kg	fcd*Ac kg	v	λ_{max}	λ_{lim}
9	14770	253980	0.058	58.890	103.669

Combinazione Rara: $\sigma_{ca}[\text{kg/cmq}] = 149$ $\sigma_{fa}[\text{kg/cmq}] = 3600$

X cm	N kg	My kg*m	Mz kg*m	σ_c kg/cmq	σ_f kg/cmq	Cb	Ver.	Cs
0.0	-14770	-561	509	-14	-20	9	Si	11
510.0	-12475	1496	-265	-22	161	9	Si	6.7

Combinazione QP: $\sigma_{ca}[\text{kg/cmq}] = 112$ $\sigma_{fa}[\text{kg/cmq}] = 3600$

X cm	N kg	My kg*m	Mz kg*m	σ_c kg/cmq	σ_f kg/cmq	Cb	Ver.	Cs
0.0	-12738	-400	465	-11	-23	15	Si	10
510.0	-10443	1132	-258	-17	105	15	Si	6.5

Pilastro: 22 [23,123] Sez. R: By=60.0 cm Bz=30.0 cm L=510.0 cm Ln=510.0 cm L2=510.0 cm L3=510.0 cm Criterio: CLS_Pilastri

Zona		Armature			
cm	cmq	cmq	cmq	cmq	cmq
0.0		$Af_{Spigolo} = 2.01$		$Afy = 8.04$	
510.0		$Af_{Spigolo} = 2.01$		$Afy = 8.04$	

Verifica snellezza: $fcd=141 [\text{kg/cmq}]$ - **Verificato**

Cb	N kg	fcd*Ac kg	v	λ_{max}	λ_{lim}
9	18487	253980	0.073	58.890	92.664

Combinazione Rara: $\sigma_{ca}[\text{kg/cmq}] = 149$ $\sigma_{fa}[\text{kg/cmq}] = 3600$

X cm	N kg	My kg*m	Mz kg*m	σ_c kg/cmq	σ_f kg/cmq	Cb	Ver.	Cs
0.0	-18487	-689	-465	-16	-35	9	Si	9.3
510.0	-16192	1758	412	-27	165	9	Si	5.5

Combinazione QP: $\sigma_{ca}[\text{kg/cmq}] = 112$ $\sigma_{fa}[\text{kg/cmq}] = 3600$

X cm	N kg	My kg*m	Mz kg*m	σ_c kg/cmq	σ_f kg/cmq	Cb	Ver.	Cs
0.0	-15850	-498	-429	-13	-37	15	Si	8.5
510.0	-13555	1329	389	-21	105	15	Si	5.4

Pilastro: 23 [24,124] Sez. R: By=30.0 cm Bz=60.0 cm L=510.0 cm Ln=510.0 cm L2=510.0 cm

L3=510.0 cm Criterio: CLS_Pilastri

Zona	Armature		
cm	cmq	cmq	cmq
0.0	AfSpigolo = 2.01	Afy = 2.01	Afz = 8.04
510.0	AfSpigolo = 2.01	Afy = 2.01	Afz = 8.04

Verifica snellezza: fcd=141 [kg/cmq] - Verificato

Cb	N	fcd*Ac	v	λmax	λlim
	kg	kg			
9	13163	253980	0.052	58.890	109.815

Combinazione Rara: σca[kg/cmq]=149 σfa[kg/cmq]=3600

X	N	My	Mz	σc	σf	Cb	Ver.	Cs
cm	kg	kg*m	kg*m	kg/cmq	kg/cmq			
0.0	-11569	321	-237	-9	-38	10	Si	17
0.0	-13163	288	-257	-9	-49	9	Si	16
510.0	-9274	248	16	-5	-47	10	Si	28
510.0	-10868	425	6	-7	-49	9	Si	22

Combinazione QP: σca[kg/cmq]=112 σfa[kg/cmq]=3600

X	N	My	Mz	σc	σf	Cb	Ver.	Cs
cm	kg	kg*m	kg*m	kg/cmq	kg/cmq			
0.0	-11367	300	-233	-8	-39	15	Si	13
510.0	-9072	266	15	-5	-45	15	Si	21

Pilastro: 24 [25,125] Sez. R: By=30.0 cm Bz=60.0 cm L=510.0 cm Ln=510.0 cm L2=510.0 cm

L3=510.0 cm Criterio: CLS_Pilastri

Zona	Armature		
cm	cmq	cmq	cmq
0.0	AfSpigolo = 2.01	Afy = 2.01	Afz = 8.04
510.0	AfSpigolo = 2.01	Afy = 2.01	Afz = 8.04

Verifica snellezza: fcd=141 [kg/cmq] - Verificato

Cb	N	fcd*Ac	v	λmax	λlim
	kg	kg			
9	12389	253980	0.049	58.890	113.192

Combinazione Rara: σca[kg/cmq]=149 σfa[kg/cmq]=3600

X	N	My	Mz	σc	σf	Cb	Ver.	Cs
cm	kg	kg*m	kg*m	kg/cmq	kg/cmq			
0.0	-10916	121	163	-7	-52	10	Si	22
0.0	-12389	40	198	-7	-63	9	Si	20
510.0	-10094	644	-65	-8	-26	9	Si	19

Combinazione QP: σca[kg/cmq]=112 σfa[kg/cmq]=3600

X	N	My	Mz	σc	σf	Cb	Ver.	Cs
cm	kg	kg*m	kg*m	kg/cmq	kg/cmq			
0.0	-10726	105	160	-7	-52	15	Si	17
510.0	-8431	444	-44	-6	-28	15	Si	18

Pilastro: 25 [26,126] Sez. R: By=60.0 cm Bz=30.0 cm L=510.0 cm Ln=510.0 cm L2=510.0 cm

L3=510.0 cm Criterio: CLS_Pilastri

Zona	Armature		
cm	cmq	cmq	cmq
0.0	AfSpigolo = 2.01	Afy = 8.04	Afz = 2.01
510.0	AfSpigolo = 2.01	Afy = 8.04	Afz = 2.01

Verifica snellezza: fcd=141 [kg/cmq] - Verificato

Cb	N	fcd*Ac	v	λmax	λlim
	kg	kg			
9	16663	253980	0.066	58.890	97.604

Combinazione Rara: $\sigma_{ca}[\text{kg/cmq}] = 149$ $\sigma_{fa}[\text{kg/cmq}] = 3600$

X cm	N kg	My kg*m	Mz kg*m	σ_c kg/cmq	σ_f kg/cmq	Cb	Ver.	Cs
0.0	-14611	-366	-321	-11	-47	10	Si	14
0.0	-16663	-524	-301	-13	-47	9	Si	11
510.0	-14368	1351	-290	-21	88	9	Si	7.2

Combinazione QP: $\sigma_{ca}[\text{kg/cmq}] = 112$ $\sigma_{fa}[\text{kg/cmq}] = 3600$

X cm	N kg	My kg*m	Mz kg*m	σ_c kg/cmq	σ_f kg/cmq	Cb	Ver.	Cs
0.0	-14470	-370	-329	-11	-45	15	Si	10
510.0	-12175	1015	-180	-16	42	15	Si	7.2

Verifica dei Muri (Stati limite esercizio)

Scenario di calcolo: Set_NT_SLV_SLD_A2STR/GEO_2018

Simbologia

P.	Numero pannello
$N_x [\text{kg/cmq}]$	Sforzo normale in direzione x
$N_y [\text{kg/cmq}]$	Sforzo normale in direzione y
$N_{xy} [\text{kg/cmq}]$	Sforzo tagliante in direzione xy
$M_x [\text{kg}]$	Momento flettente in direzione x
$M_y [\text{kg}]$	Momento flettente in direzione y
$M_{xy} [\text{kg}]$	Momento torcente
$A_{fx} [\text{cmq/m}]$	Area acciaio in direzione x per metro lineare
$A_{fy} [\text{cmq/m}]$	Area acciaio in direzione y per metro lineare
$\sigma_c [\text{kg/cmq}]$	Tensione nel calcestruzzo compresso
$\sigma_f [\text{kg/cmq}]$	Tensione nell'acciaio
$\sigma_{ct} [\text{kg/cmq}]$	Tensione nel calcestruzzo tesio
$\sigma_{sct} [\text{kg/cmq}]$	Tensione nel calcestruzzo tesio (quando richiesto dalla verifica)
$\sigma_{sca} [\text{kg/cmq}]$	Tensione ammissibile nel calcestruzzo
$\sigma_{sfa} [\text{kg/cmq}]$	Tensione ammissibile nell'acciaio
$\sigma_{scta} [\text{kg/cmq}]$	Tensione ammissibile nel calcestruzzo tesio
C_{bc}	Combinazione generatore della tensione nel cls compresso
C_{bct}	Combinazione generatore della tensione nel cls tesio
C_{bf}	Combinazione generatore della tensione nell'acciaio
C_b	Combinazione
$\sigma_{sfmed} [\text{kg/cmq}]$	Tensione media dell'acciaio
$W_d [\text{mm}]$	Apertura delle fessure
$W_k [\text{mm}]$	Apertura caratteristica delle fessure
$W_{amm_Freq} [\text{mm}]$	Apertura ammissibile delle fessure per combinazione Frequenti
$W_{amm_QP} [\text{mm}]$	Apertura ammissibile delle fessure per combinazione Quasi Permanente
$W_{amm_Rara} [\text{mm}]$	Apertura ammissibile delle fessure per combinazione Rara
C_s	Coefficiente di sicurezza definito come minimo di σ_{Amm}/σ tra acciaio e calcestruzzo oppure W_{amm}/W_k

Muro : 1 - Nodi: [31-35-135-131]Pann=12Spess.=30 cm, Terreno=--, Criterio=CLS_Muri, Materiale=C25/30

Armatura a maglia doppia, Stampa elementi piu' gravosi

Combinazione Rara: $\sigma_{ca}[\text{kg/cmq}] = 149$ $\sigma_{fa}[\text{kg/cmq}] = 3600$

P.	A_{fx}	A_{fy}	σ_c	σ_f	C_{bc}	C_{bf}	Ver	Cs
----	----------	----------	------------	------------	----------	----------	-----	----

P.	Afx	Afy	σ_c	σ_f	Cbc	Cbf	Ver	Cs
	cmq/m	cmq/m	kg/cmq	kg/cmq				
1	13.40	16.08	-6	-2	11	11	Si	25
6	13.40	16.08	-2	415	11	11	Si	8.7

Combinazione QP: $\sigma_{ca}[\text{kg/cmq}] = 112$ $\sigma_{fa}[\text{kg/cmq}] = 3600$

P.	Afx	Afy	σ_c	σ_f	Cbc	Cbf	Ver	Cs
	cmq/m	cmq/m	kg/cmq	kg/cmq				
1	13.40	16.08	-6	-2	15	15	Si	19
6	13.40	16.08	-2	427	15	15	Si	8.4

Muro : 2 - Nodi: [35-37-137-135]Pann=12Spess.=30 cm, Terreno=--,Criterio=CLS_Muri, Materiale=C25/30

Armatura a maglia doppia, Stampa elementi piu' gravosi

Combinazione Rara: $\sigma_{ca}[\text{kg/cmq}] = 149$ $\sigma_{fa}[\text{kg/cmq}] = 3600$

P.	Afx	Afy	σ_c	σ_f	Cbc	Cbf	Ver	Cs
	cmq/m	cmq/m	kg/cmq	kg/cmq				
1	13.40	16.08	-3	-3	11	11	Si	44
6	13.40	16.08	-1	162	11	11	Si	22

Combinazione QP: $\sigma_{ca}[\text{kg/cmq}] = 112$ $\sigma_{fa}[\text{kg/cmq}] = 3600$

P.	Afx	Afy	σ_c	σ_f	Cbc	Cbf	Ver	Cs
	cmq/m	cmq/m	kg/cmq	kg/cmq				
1	13.40	16.08	-3	-3	15	15	Si	33
6	13.40	16.08	-1	171	15	15	Si	21

Muro : 3 - Nodi: [37-39-139-137]Pann=12Spess.=30 cm, Terreno=--,Criterio=CLS_Muri, Materiale=C25/30

Armatura a maglia doppia, Stampa elementi piu' gravosi

Combinazione Rara: $\sigma_{ca}[\text{kg/cmq}] = 149$ $\sigma_{fa}[\text{kg/cmq}] = 3600$

P.	Afx	Afy	σ_c	σ_f	Cbc	Cbf	Ver	Cs
	cmq/m	cmq/m	kg/cmq	kg/cmq				
1	13.40	16.08	-3	30	11	11	Si	45
6	13.40	16.08	-1	94	11	11	Si	38

Combinazione QP: $\sigma_{ca}[\text{kg/cmq}] = 112$ $\sigma_{fa}[\text{kg/cmq}] = 3600$

P.	Afx	Afy	σ_c	σ_f	Cbc	Cbf	Ver	Cs
	cmq/m	cmq/m	kg/cmq	kg/cmq				
1	13.40	16.08	-3	31	15	15	Si	34
6	13.40	16.08	-1	97	15	15	Si	37

Muro : 4 - Nodi: [39-44-144-139]Pann=12Spess.=30 cm, Terreno=--,Criterio=CLS_Muri, Materiale=C25/30

Armatura a maglia doppia, Stampa elementi piu' gravosi

Combinazione Rara: $\sigma_{ca}[\text{kg/cmq}] = 149$ $\sigma_{fa}[\text{kg/cmq}] = 3600$

P.	Afx	Afy	σ_c	σ_f	Cbc	Cbf	Ver	Cs
	cmq/m	cmq/m	kg/cmq	kg/cmq				
7	13.40	16.08	-5	1	11	11	Si	30
12	13.40	16.08	-2	345	11	11	Si	10

Combinazione QP: $\sigma_{ca}[\text{kg/cmq}] = 112$ $\sigma_{fa}[\text{kg/cmq}] = 3600$

P.	Afx	Afy	σ_c	σ_f	Cbc	Cbf	Ver	Cs
	cmq/m	cmq/m	kg/cmq	kg/cmq				
7	13.40	16.08	-5	1	15	15	Si	23
12	13.40	16.08	-2	336	15	15	Si	11

Muro : 5 - Nodi: [47-48-148-147]Pann=12Spess.=30 cm, Terreno=--,Criterio=CLS_Muri,

Materiale=C25/30

Armatura a maglia doppia, Stampa elementi piu' gravosi
 Combinazione Rara: $\sigma_{ca}[\text{kg/cmq}] = 149$ $\sigma_{fa}[\text{kg/cmq}] = 3600$

P.	Afx	Afy	σ_c	σ_f	Cbc	Cbf	Ver	Cs
	cmq/m	cmq/m	kg/cmq	kg/cmq				
1	13.40	16.08	-4	-2	11	11	Si	35
6	13.40	16.08	-4	145	11	11	Si	25

Combinazione QP: $\sigma_{ca}[\text{kg/cmq}] = 112$ $\sigma_{fa}[\text{kg/cmq}] = 3600$

P.	Afx	Afy	σ_c	σ_f	Cbc	Cbf	Ver	Cs
	cmq/m	cmq/m	kg/cmq	kg/cmq				
1	13.40	16.08	-4	-2	15	15	Si	27
6	13.40	16.08	-4	148	15	15	Si	24

Muro : 6 - Nodi: [48-49-149-148]Pann=12Spess.=30 cm, Terreno=--,Criterio=CLS_Muri,
 Materiale=C25/30

Armatura a maglia doppia, Stampa elementi piu' gravosi

Combinazione Rara: $\sigma_{ca}[\text{kg/cmq}] = 149$ $\sigma_{fa}[\text{kg/cmq}] = 3600$

P.	Afx	Afy	σ_c	σ_f	Cbc	Cbf	Ver	Cs
	cmq/m	cmq/m	kg/cmq	kg/cmq				
10	13.40	16.08	-4	-0	11	11	Si	42
12	13.40	16.08	-1	307	11	11	Si	12

Combinazione QP: $\sigma_{ca}[\text{kg/cmq}] = 112$ $\sigma_{fa}[\text{kg/cmq}] = 3600$

P.	Afx	Afy	σ_c	σ_f	Cbc	Cbf	Ver	Cs
	cmq/m	cmq/m	kg/cmq	kg/cmq				
10	13.40	16.08	-3	-0	15	15	Si	32
12	13.40	16.08	-1	295	15	15	Si	12

Muro : 7 - Nodi: [49-50-150-149]Pann=12Spess.=30 cm, Terreno=--,Criterio=CLS_Muri,
 Materiale=C25/30

Armatura a maglia doppia, Stampa elementi piu' gravosi

Combinazione Rara: $\sigma_{ca}[\text{kg/cmq}] = 149$ $\sigma_{fa}[\text{kg/cmq}] = 3600$

P.	Afx	Afy	σ_c	σ_f	Cbc	Cbf	Ver	Cs
	cmq/m	cmq/m	kg/cmq	kg/cmq				
7	13.40	16.08	-4	-17	11	11	Si	35
12	13.40	16.08	-4	304	11	11	Si	12

Combinazione QP: $\sigma_{ca}[\text{kg/cmq}] = 112$ $\sigma_{fa}[\text{kg/cmq}] = 3600$

P.	Afx	Afy	σ_c	σ_f	Cbc	Cbf	Ver	Cs
	cmq/m	cmq/m	kg/cmq	kg/cmq				
7	13.40	16.08	-4	-17	15	15	Si	26
12	13.40	16.08	-3	292	15	15	Si	12

Muro : 8 - Nodi: [50-53-0-153-150]Pann=12Spess.=30 cm, Terreno=--,Criterio=CLS_Muri,
 Materiale=C25/30

Armatura a maglia doppia, Stampa elementi piu' gravosi

Combinazione Rara: $\sigma_{ca}[\text{kg/cmq}] = 149$ $\sigma_{fa}[\text{kg/cmq}] = 3600$

P.	Afx	Afy	σ_c	σ_f	Cbc	Cbf	Ver	Cs
	cmq/m	cmq/m	kg/cmq	kg/cmq				
3	13.40	16.08	-11	740	11	9	Si	4.9

Combinazione QP: $\sigma_{ca}[\text{kg/cmq}] = 112$ $\sigma_{fa}[\text{kg/cmq}] = 3600$

P.	Afx	Afy	σ_c	σ_f	Cbc	Cbf	Ver	Cs
	cmq/m	cmq/m	kg/cmq	kg/cmq				
3	13.40	16.08	-10	616	15	15	Si	5.8

Muro : 9 - Nodi: [58-57-99-157-158]Pann=15Spess.=30 cm, Terreno=--,Criterio=CLS_Muri, Materiale=C25/30

Armatura a maglia doppia, Stampa elementi piu' gravosi
Combinazione Rara: $\sigma_{ca}[\text{kg/cmq}] = 149$ $\sigma_{fa}[\text{kg/cmq}] = 3600$

P.	Afx	Afy	σ_c	σ_f	Cbc	Cbf	Ver	Cs
	cmq/m	cmq/m	kg/cmq	kg/cmq				
10	13.40	16.08	-8	-22	11	11	Si	18
5	13.40	16.08	-8	131	11	11	Si	18

Combinazione QP: $\sigma_{ca}[\text{kg/cmq}] = 112$ $\sigma_{fa}[\text{kg/cmq}] = 3600$

P.	Afx	Afy	σ_c	σ_f	Cbc	Cbf	Ver	Cs
	cmq/m	cmq/m	kg/cmq	kg/cmq				
5	13.40	16.08	-8	129	15	15	Si	14

Muro : 10 - Nodi: [75-80-180-175]Pann=12Spess.=30 cm, Terreno=--,Criterio=CLS_Muri, Materiale=C25/30

Armatura a maglia doppia, Stampa elementi piu' gravosi
Combinazione Rara: $\sigma_{ca}[\text{kg/cmq}] = 149$ $\sigma_{fa}[\text{kg/cmq}] = 3600$

P.	Afx	Afy	σ_c	σ_f	Cbc	Cbf	Ver	Cs
	cmq/m	cmq/m	kg/cmq	kg/cmq				
7	13.40	16.08	-5	-9	11	11	Si	30
6	13.40	16.08	-5	52	11	11	Si	32

Combinazione QP: $\sigma_{ca}[\text{kg/cmq}] = 112$ $\sigma_{fa}[\text{kg/cmq}] = 3600$

P.	Afx	Afy	σ_c	σ_f	Cbc	Cbf	Ver	Cs
	cmq/m	cmq/m	kg/cmq	kg/cmq				
7	13.40	16.08	-5	-9	15	15	Si	23
6	13.40	16.08	-4	48	15	15	Si	25

Muro : 11 - Nodi: [51-52-97-152-151-98]Pann=12Spess.=30 cm, Terreno=--,Criterio=CLS_Muri, Materiale=C25/30

Armatura a maglia doppia, Stampa elementi piu' gravosi
Combinazione Rara: $\sigma_{ca}[\text{kg/cmq}] = 149$ $\sigma_{fa}[\text{kg/cmq}] = 3600$

P.	Afx	Afy	σ_c	σ_f	Cbc	Cbf	Ver	Cs
	cmq/m	cmq/m	kg/cmq	kg/cmq				
9	13.40	16.08	-11	333	11	11	Si	11

Combinazione QP: $\sigma_{ca}[\text{kg/cmq}] = 112$ $\sigma_{fa}[\text{kg/cmq}] = 3600$

P.	Afx	Afy	σ_c	σ_f	Cbc	Cbf	Ver	Cs
	cmq/m	cmq/m	kg/cmq	kg/cmq				
9	13.40	16.08	-11	317	15	15	Si	10

Muro : 12 - Nodi: [61-62-96-162-161-95]Pann=12Spess.=30 cm, Terreno=--,Criterio=CLS_Muri, Materiale=C25/30

Armatura a maglia doppia, Stampa elementi piu' gravosi
Combinazione Rara: $\sigma_{ca}[\text{kg/cmq}] = 149$ $\sigma_{fa}[\text{kg/cmq}] = 3600$

P.	Afx	Afy	σ_c	σ_f	Cbc	Cbf	Ver	Cs
	cmq/m	cmq/m	kg/cmq	kg/cmq				
12	13.40	16.08	-10	181	11	11	Si	16

Combinazione QP: $\sigma_{ca}[\text{kg/cmq}] = 112$ $\sigma_{fa}[\text{kg/cmq}] = 3600$

P.	Afx	Afy	σ_c	σ_f	Cbc	Cbf	Ver	Cs
	cmq/m	cmq/m	kg/cmq	kg/cmq				
12	13.40	16.08	-9	172	15	15	Si	12

Muro : 13 - Nodi: [79-76-176-179]Pann=12Spess.=30 cm, Terreno=--, Criterio=CLS_Muri, Materiale=C25/30

Armatura a maglia doppia, Stampa elementi piu' gravosi
Combinazione Rara: $\sigma_{ca}[\text{kg/cmq}] = 149$ $\sigma_{fa}[\text{kg/cmq}] = 3600$

P.	Afx	Afy	σ_c	σ_f	Cbc	Cbf	Ver	Cs
	cmq/m	cmq/m	kg/cmq	kg/cmq				
1	13.40	16.08	-4	-11	11	11	Si	36
12	13.40	16.08	-4	43	11	11	Si	37

Combinazione QP: $\sigma_{ca}[\text{kg/cmq}] = 112$ $\sigma_{fa}[\text{kg/cmq}] = 3600$

P.	Afx	Afy	σ_c	σ_f	Cbc	Cbf	Ver	Cs
	cmq/m	cmq/m	kg/cmq	kg/cmq				
1	13.40	16.08	-4	-11	15	15	Si	27
12	13.40	16.08	-4	41	15	15	Si	29

Muro : 14 - Nodi: [32-45-145-132]Pann=12Spess.=30 cm, Terreno=--, Criterio=CLS_Muri, Materiale=C25/30

Armatura a maglia doppia, Stampa elementi piu' gravosi
Combinazione Rara: $\sigma_{ca}[\text{kg/cmq}] = 149$ $\sigma_{fa}[\text{kg/cmq}] = 3600$

P.	Afx	Afy	σ_c	σ_f	Cbc	Cbf	Ver	Cs
	cmq/m	cmq/m	kg/cmq	kg/cmq				
12	13.40	16.08	-13	27	11	11	Si	11
6	13.40	16.08	-5	170	11	11	Si	21

Combinazione QP: $\sigma_{ca}[\text{kg/cmq}] = 112$ $\sigma_{fa}[\text{kg/cmq}] = 3600$

P.	Afx	Afy	σ_c	σ_f	Cbc	Cbf	Ver	Cs
	cmq/m	cmq/m	kg/cmq	kg/cmq				
12	13.40	16.08	-13	26	15	15	Si	8.5
6	13.40	16.08	-4	172	15	15	Si	21

Muro : 15 - Nodi: [46-33-133-146]Pann=12Spess.=30 cm, Terreno=--, Criterio=CLS_Muri, Materiale=C25/30

Armatura a maglia doppia, Stampa elementi piu' gravosi
Combinazione Rara: $\sigma_{ca}[\text{kg/cmq}] = 149$ $\sigma_{fa}[\text{kg/cmq}] = 3600$

P.	Afx	Afy	σ_c	σ_f	Cbc	Cbf	Ver	Cs
	cmq/m	cmq/m	kg/cmq	kg/cmq				
6	13.40	16.08	-12	16	11	11	Si	12
12	13.40	16.08	-5	120	11	11	Si	30

Combinazione QP: $\sigma_{ca}[\text{kg/cmq}] = 112$ $\sigma_{fa}[\text{kg/cmq}] = 3600$

P.	Afx	Afy	σ_c	σ_f	Cbc	Cbf	Ver	Cs
	cmq/m	cmq/m	kg/cmq	kg/cmq				
6	13.40	16.08	-12	16	15	15	Si	9.4
12	13.40	16.08	-5	118	15	15	Si	25

Muro : 16 - Nodi: [34-36-136-134]Pann=12Spess.=30 cm, Terreno=--, Criterio=CLS_Muri, Materiale=C25/30

Armatura a maglia doppia, Stampa elementi piu' gravosi
Combinazione Rara: $\sigma_{ca}[\text{kg/cmq}] = 149$ $\sigma_{fa}[\text{kg/cmq}] = 3600$

P.	Afx	Afy	σ_c	σ_f	Cbc	Cbf	Ver	Cs
	cmq/m	cmq/m	kg/cmq	kg/cmq				
1	13.40	16.08	-6	-2	11	11	Si	23
6	13.40	16.08	-2	401	11	11	Si	9.0

Combinazione QP: $\sigma_{ca}[\text{kg/cmq}] = 112$ $\sigma_{fa}[\text{kg/cmq}] = 3600$

P.	Afx	Afy	σ_c	σ_f	Cbc	Cbf	Ver	Cs
	cmq/m	cmq/m	kg/cmq	kg/cmq				
1	13.40	16.08	-6	-2	15	15	Si	18
6	13.40	16.08	-2	402	15	15	Si	8.9

Muro : 17 - Nodi: [36-38-138-136]Pann=12Spess.=30 cm, Terreno=--, Criterio=CLS_Muri, Materiale=C25/30

Armatura a maglia doppia, Stampa elementi piu' gravosi
Combinazione Rara: $\sigma_{ca}[\text{kg/cmq}] = 149$ $\sigma_{fa}[\text{kg/cmq}] = 3600$

P.	Afx	Afy	σ_c	σ_f	Cbc	Cbf	Ver	Cs
	cmq/m	cmq/m	kg/cmq	kg/cmq				
7	13.40	16.08	-4	73	11	11	Si	35
6	13.40	16.08	-1	136	11	11	Si	27

Combinazione QP: $\sigma_{ca}[\text{kg/cmq}] = 112$ $\sigma_{fa}[\text{kg/cmq}] = 3600$

P.	Afx	Afy	σ_c	σ_f	Cbc	Cbf	Ver	Cs
	cmq/m	cmq/m	kg/cmq	kg/cmq				
7	13.40	16.08	-4	71	15	15	Si	27
6	13.40	16.08	-1	140	15	15	Si	26

Muro : 18 - Nodi: [38-40-140-138]Pann=12Spess.=30 cm, Terreno=--, Criterio=CLS_Muri, Materiale=C25/30

Armatura a maglia doppia, Stampa elementi piu' gravosi
Combinazione Rara: $\sigma_{ca}[\text{kg/cmq}] = 149$ $\sigma_{fa}[\text{kg/cmq}] = 3600$

P.	Afx	Afy	σ_c	σ_f	Cbc	Cbf	Ver	Cs
	cmq/m	cmq/m	kg/cmq	kg/cmq				
7	13.40	16.08	-4	6	11	11	Si	36
12	13.40	16.08	-2	248	11	11	Si	15

Combinazione QP: $\sigma_{ca}[\text{kg/cmq}] = 112$ $\sigma_{fa}[\text{kg/cmq}] = 3600$

P.	Afx	Afy	σ_c	σ_f	Cbc	Cbf	Ver	Cs
	cmq/m	cmq/m	kg/cmq	kg/cmq				
7	13.40	16.08	-4	6	15	15	Si	28
12	13.40	16.08	-2	245	15	15	Si	15

Muro : 19 - Nodi: [40-43-143-140]Pann=12Spess.=30 cm, Terreno=--, Criterio=CLS_Muri, Materiale=C25/30

Armatura a maglia doppia, Stampa elementi piu' gravosi
Combinazione Rara: $\sigma_{ca}[\text{kg/cmq}] = 149$ $\sigma_{fa}[\text{kg/cmq}] = 3600$

P.	Afx	Afy	σ_c	σ_f	Cbc	Cbf	Ver	Cs
	cmq/m	cmq/m	kg/cmq	kg/cmq				
7	13.40	16.08	-6	-0	11	11	Si	23
12	13.40	16.08	-2	624	11	11	Si	5.8

Combinazione QP: $\sigma_{ca}[\text{kg/cmq}] = 112$ $\sigma_{fa}[\text{kg/cmq}] = 3600$

P.	Afx	Afy	σ_c	σ_f	Cbc	Cbf	Ver	Cs
	cmq/m	cmq/m	kg/cmq	kg/cmq				
7	13.40	16.08	-6	-0	15	15	Si	18
12	13.40	16.08	-2	611	15	15	Si	5.9

Muro : 20 - Nodi: [81-84-184-181]Pann=12Spess.=30 cm, Terreno=--, Criterio=CLS_Muri, Materiale=C25/30

Armatura a maglia doppia, Stampa elementi piu' gravosi
Combinazione Rara: $\sigma_{ca}[\text{kg/cmq}] = 149$ $\sigma_{fa}[\text{kg/cmq}] = 3600$

P.	Afx	Afy	σ_c	σ_f	Cbc	Cbf	Ver	Cs
	cmq/m	cmq/m	kg/cmq	kg/cmq				

P.	Afx	Afy	σ_c	σ_f	Cbc	Cbf	Ver	Cs
6	13.40	16.08	-4	105	11	11	Si	34

Combinazione QP: $\sigma_{ca}[\text{kg/cmq}] = 112$ $\sigma_{fa}[\text{kg/cmq}] = 3600$

P.	Afx	Afy	σ_c	σ_f	Cbc	Cbf	Ver	Cs
	cmq/m	cmq/m	kg/cmq	kg/cmq				
6	13.40	16.08	-4	113	15	15	Si	31

Muro : 21 - Nodi: [84-86-186-184]Pann=12Spess.=30 cm, Terreno=--, Criterio=CLS_Muri, Materiale=C25/30

Armatura a maglia doppia, Stampa elementi piu' gravosi

Combinazione Rara: $\sigma_{ca}[\text{kg/cmq}] = 149$ $\sigma_{fa}[\text{kg/cmq}] = 3600$

P.	Afx	Afy	σ_c	σ_f	Cbc	Cbf	Ver	Cs
	cmq/m	cmq/m	kg/cmq	kg/cmq				
7	13.40	16.08	-2	3	11	11	Si	60
12	13.40	16.08	-1	134	11	11	Si	27

Combinazione QP: $\sigma_{ca}[\text{kg/cmq}] = 112$ $\sigma_{fa}[\text{kg/cmq}] = 3600$

P.	Afx	Afy	σ_c	σ_f	Cbc	Cbf	Ver	Cs
	cmq/m	cmq/m	kg/cmq	kg/cmq				
7	13.40	16.08	-2	3	15	15	Si	45
12	13.40	16.08	-1	137	15	15	Si	26

Muro : 22 - Nodi: [86-88-188-186]Pann=12Spess.=30 cm, Terreno=--, Criterio=CLS_Muri, Materiale=C25/30

Armatura a maglia doppia, Stampa elementi piu' gravosi

Combinazione Rara: $\sigma_{ca}[\text{kg/cmq}] = 149$ $\sigma_{fa}[\text{kg/cmq}] = 3600$

P.	Afx	Afy	σ_c	σ_f	Cbc	Cbf	Ver	Cs
	cmq/m	cmq/m	kg/cmq	kg/cmq				
7	13.40	16.08	-3	-8	11	11	Si	45
12	13.40	16.08	-1	386	11	11	Si	9.3

Combinazione QP: $\sigma_{ca}[\text{kg/cmq}] = 112$ $\sigma_{fa}[\text{kg/cmq}] = 3600$

P.	Afx	Afy	σ_c	σ_f	Cbc	Cbf	Ver	Cs
	cmq/m	cmq/m	kg/cmq	kg/cmq				
7	13.40	16.08	-3	-8	15	15	Si	34
12	13.40	16.08	-1	383	15	15	Si	9.4

Muro : 23 - Nodi: [88-90-190-188]Pann=12Spess.=30 cm, Terreno=--, Criterio=CLS_Muri, Materiale=C25/30

Armatura a maglia doppia, Stampa elementi piu' gravosi

Combinazione Rara: $\sigma_{ca}[\text{kg/cmq}] = 149$ $\sigma_{fa}[\text{kg/cmq}] = 3600$

P.	Afx	Afy	σ_c	σ_f	Cbc	Cbf	Ver	Cs
	cmq/m	cmq/m	kg/cmq	kg/cmq				
7	13.40	16.08	-6	-2	11	11	Si	27
12	13.40	16.08	-2	709	11	9	Si	5.1

Combinazione QP: $\sigma_{ca}[\text{kg/cmq}] = 112$ $\sigma_{fa}[\text{kg/cmq}] = 3600$

P.	Afx	Afy	σ_c	σ_f	Cbc	Cbf	Ver	Cs
	cmq/m	cmq/m	kg/cmq	kg/cmq				
7	13.40	16.08	-6	-2	15	15	Si	20
12	13.40	16.08	-2	630	15	15	Si	5.7

Muro : 24 - Nodi: [89-87-187-189]Pann=12Spess.=30 cm, Terreno=--, Criterio=CLS_Muri, Materiale=C25/30

Armatura a maglia doppia, Stampa elementi piu' gravosi

Combinazione Rara: $\sigma_{ca}[\text{kg/cmq}] = 149$ $\sigma_{fa}[\text{kg/cmq}] = 3600$

P.	Afx	Afy	σ_c	σ_f	Cbc	Cbf	Ver	Cs
	cmq/m	cmq/m	kg/cmq	kg/cmq				
6	13.40	16.08	-7	622	11	11	Si	5.8

Combinazione QP: $\sigma_{ca}[\text{kg/cmq}] = 112$ $\sigma_{fa}[\text{kg/cmq}] = 3600$

P.	Afx	Afy	σ_c	σ_f	Cbc	Cbf	Ver	Cs
	cmq/m	cmq/m	kg/cmq	kg/cmq				
6	13.40	16.08	-7	621	15	15	Si	5.8

Muro : 25 - Nodi: [87-85-185-187]Pann=12Spess.=30 cm, Terreno=--,Criterio=CLS_Muri, Materiale=C25/30

Armatura a maglia doppia, Stampa elementi piu' gravosi

Combinazione Rara: $\sigma_{ca}[\text{kg/cmq}] = 149$ $\sigma_{fa}[\text{kg/cmq}] = 3600$

P.	Afx	Afy	σ_c	σ_f	Cbc	Cbf	Ver	Cs
	cmq/m	cmq/m	kg/cmq	kg/cmq				
2	13.40	16.08	-3	-1	11	11	Si	54
6	13.40	16.08	-2	294	11	11	Si	12

Combinazione QP: $\sigma_{ca}[\text{kg/cmq}] = 112$ $\sigma_{fa}[\text{kg/cmq}] = 3600$

P.	Afx	Afy	σ_c	σ_f	Cbc	Cbf	Ver	Cs
	cmq/m	cmq/m	kg/cmq	kg/cmq				
2	13.40	16.08	-3	-1	15	15	Si	41
6	13.40	16.08	-2	297	15	15	Si	12

Muro : 26 - Nodi: [85-83-183-185]Pann=12Spess.=30 cm, Terreno=--,Criterio=CLS_Muri, Materiale=C25/30

Armatura a maglia doppia, Stampa elementi piu' gravosi

Combinazione Rara: $\sigma_{ca}[\text{kg/cmq}] = 149$ $\sigma_{fa}[\text{kg/cmq}] = 3600$

P.	Afx	Afy	σ_c	σ_f	Cbc	Cbf	Ver	Cs
	cmq/m	cmq/m	kg/cmq	kg/cmq				
8	13.40	16.08	-3	39	11	11	Si	56
6	13.40	16.08	-1	130	11	11	Si	28

Combinazione QP: $\sigma_{ca}[\text{kg/cmq}] = 112$ $\sigma_{fa}[\text{kg/cmq}] = 3600$

P.	Afx	Afy	σ_c	σ_f	Cbc	Cbf	Ver	Cs
	cmq/m	cmq/m	kg/cmq	kg/cmq				
8	13.40	16.08	-3	39	15	15	Si	42
6	13.40	16.08	-1	134	15	15	Si	27

Muro : 27 - Nodi: [83-82-182-183]Pann=12Spess.=30 cm, Terreno=--,Criterio=CLS_Muri, Materiale=C25/30

Armatura a maglia doppia, Stampa elementi piu' gravosi

Combinazione Rara: $\sigma_{ca}[\text{kg/cmq}] = 149$ $\sigma_{fa}[\text{kg/cmq}] = 3600$

P.	Afx	Afy	σ_c	σ_f	Cbc	Cbf	Ver	Cs
	cmq/m	cmq/m	kg/cmq	kg/cmq				
7	13.40	16.08	-4	4	11	11	Si	37
12	13.40	16.08	-3	221	11	11	Si	16

Combinazione QP: $\sigma_{ca}[\text{kg/cmq}] = 112$ $\sigma_{fa}[\text{kg/cmq}] = 3600$

P.	Afx	Afy	σ_c	σ_f	Cbc	Cbf	Ver	Cs
	cmq/m	cmq/m	kg/cmq	kg/cmq				
7	13.40	16.08	-4	3	15	15	Si	28
12	13.40	16.08	-3	229	15	15	Si	16

Muro : 28 - Nodi: [72-69-169-172]Pann=12Spess.=30 cm, Terreno=--,Criterio=CLS_Muri, Materiale=C25/30

Armatura a maglia doppia, Stampa elementi piu' gravosi
 Combinazione Rara: $\sigma_{ca}[\text{kg/cmq}] = 149$ $\sigma_{fa}[\text{kg/cmq}] = 3600$

P.	Afx	Afy	σ_c	σ_f	Cbc	Cbf	Ver	Cs
	cmq/m	cmq/m	kg/cmq	kg/cmq				
6	13.40	16.08	-4	-3	11	11	Si	37
11	13.40	16.08	-2	25	11	11	Si	68

Combinazione QP: $\sigma_{ca}[\text{kg/cmq}] = 112$ $\sigma_{fa}[\text{kg/cmq}] = 3600$

P.	Afx	Afy	σ_c	σ_f	Cbc	Cbf	Ver	Cs
	cmq/m	cmq/m	kg/cmq	kg/cmq				
6	13.40	16.08	-4	-3	15	15	Si	28
11	13.40	16.08	-2	23	15	15	Si	53

Muro : 29 - Nodi: [69-66-166-169]Pann=12Spess.=30 cm, Terreno=--, Criterio=CLS_Muri, Materiale=C25/30

Armatura a maglia doppia, Stampa elementi piu' gravosi

Combinazione Rara: $\sigma_{ca}[\text{kg/cmq}] = 149$ $\sigma_{fa}[\text{kg/cmq}] = 3600$

P.	Afx	Afy	σ_c	σ_f	Cbc	Cbf	Ver	Cs
	cmq/m	cmq/m	kg/cmq	kg/cmq				
10	13.40	16.08	-3	0	11	11	Si	49
3	13.40	16.08	-2	49	11	11	Si	73

Combinazione QP: $\sigma_{ca}[\text{kg/cmq}] = 112$ $\sigma_{fa}[\text{kg/cmq}] = 3600$

P.	Afx	Afy	σ_c	σ_f	Cbc	Cbf	Ver	Cs
	cmq/m	cmq/m	kg/cmq	kg/cmq				
10	13.40	16.08	-3	0	15	15	Si	38
3	13.40	16.08	-2	48	15	15	Si	60

Muro : 30 - Nodi: [66-63-163-166]Pann=12Spess.=30 cm, Terreno=--, Criterio=CLS_Muri, Materiale=C25/30

Armatura a maglia doppia, Stampa elementi piu' gravosi

Combinazione Rara: $\sigma_{ca}[\text{kg/cmq}] = 149$ $\sigma_{fa}[\text{kg/cmq}] = 3600$

P.	Afx	Afy	σ_c	σ_f	Cbc	Cbf	Ver	Cs
	cmq/m	cmq/m	kg/cmq	kg/cmq				
10	13.40	16.08	-4	-1	11	11	Si	42
12	13.40	16.08	-3	228	11	11	Si	16

Combinazione QP: $\sigma_{ca}[\text{kg/cmq}] = 112$ $\sigma_{fa}[\text{kg/cmq}] = 3600$

P.	Afx	Afy	σ_c	σ_f	Cbc	Cbf	Ver	Cs
	cmq/m	cmq/m	kg/cmq	kg/cmq				
10	13.40	16.08	-3	-1	15	15	Si	33
12	13.40	16.08	-3	213	15	15	Si	17

Muro : 31 - Nodi: [63-56-0-156-163]Pann=12Spess.=30 cm, Terreno=--, Criterio=CLS_Muri, Materiale=C25/30

Armatura a maglia doppia, Stampa elementi piu' gravosi

Combinazione Rara: $\sigma_{ca}[\text{kg/cmq}] = 149$ $\sigma_{fa}[\text{kg/cmq}] = 3600$

P.	Afx	Afy	σ_c	σ_f	Cbc	Cbf	Ver	Cs
	cmq/m	cmq/m	kg/cmq	kg/cmq				
3	13.40	16.08	-6	445	11	11	Si	8.1
2	13.40	16.08	-5	475	11	11	Si	7.6

Combinazione QP: $\sigma_{ca}[\text{kg/cmq}] = 112$ $\sigma_{fa}[\text{kg/cmq}] = 3600$

P.	Afx	Afy	σ_c	σ_f	Cbc	Cbf	Ver	Cs
	cmq/m	cmq/m	kg/cmq	kg/cmq				
3	13.40	16.08	-5	411	15	15	Si	8.8

P.	Afx	Afy	σ_c	σ_f	Cbc	Cbf	Ver	Cs
2	13.40	16.08	-5	453	15	15	Si	7.9

Muro : 32 - Nodi: [59-65-165-159]Pann=12Spess.=30 cm, Terreno=--, Criterio=CLS_Muri, Materiale=C25/30

Armatura a maglia doppia, Stampa elementi piu' gravosi

Combinazione Rara: $\sigma_{ca}[\text{kg/cmq}] = 149$ $\sigma_{fa}[\text{kg/cmq}] = 3600$

P.	Afx	Afy	σ_c	σ_f	Cbc	Cbf	Ver	Cs
	cmq/m	cmq/m	kg/cmq	kg/cmq				
1	13.40	16.08	-7	-7	11	11	Si	20
8	13.40	16.08	-4	92	11	11	Si	35

Combinazione QP: $\sigma_{ca}[\text{kg/cmq}] = 112$ $\sigma_{fa}[\text{kg/cmq}] = 3600$

P.	Afx	Afy	σ_c	σ_f	Cbc	Cbf	Ver	Cs
	cmq/m	cmq/m	kg/cmq	kg/cmq				
1	13.40	16.08	-7	-7	15	15	Si	15
8	13.40	16.08	-4	91	15	15	Si	26

Muro : 33 - Nodi: [65-67-167-165]Pann=12Spess.=30 cm, Terreno=--, Criterio=CLS_Muri, Materiale=C25/30

Armatura a maglia doppia, Stampa elementi piu' gravosi

Combinazione Rara: $\sigma_{ca}[\text{kg/cmq}] = 149$ $\sigma_{fa}[\text{kg/cmq}] = 3600$

P.	Afx	Afy	σ_c	σ_f	Cbc	Cbf	Ver	Cs
	cmq/m	cmq/m	kg/cmq	kg/cmq				
12	13.40	16.08	-8	29	11	11	Si	19
5	13.40	16.08	-3	150	11	11	Si	24

Combinazione QP: $\sigma_{ca}[\text{kg/cmq}] = 112$ $\sigma_{fa}[\text{kg/cmq}] = 3600$

P.	Afx	Afy	σ_c	σ_f	Cbc	Cbf	Ver	Cs
	cmq/m	cmq/m	kg/cmq	kg/cmq				
12	13.40	16.08	-8	29	15	15	Si	14
5	13.40	16.08	-3	150	15	15	Si	24

Muro : 34 - Nodi: [67-70-170-167]Pann=12Spess.=30 cm, Terreno=--, Criterio=CLS_Muri, Materiale=C25/30

Armatura a maglia doppia, Stampa elementi piu' gravosi

Combinazione Rara: $\sigma_{ca}[\text{kg/cmq}] = 149$ $\sigma_{fa}[\text{kg/cmq}] = 3600$

P.	Afx	Afy	σ_c	σ_f	Cbc	Cbf	Ver	Cs
	cmq/m	cmq/m	kg/cmq	kg/cmq				
6	13.40	16.08	-8	36	11	11	Si	19
5	13.40	16.08	-4	163	11	11	Si	22

Combinazione QP: $\sigma_{ca}[\text{kg/cmq}] = 112$ $\sigma_{fa}[\text{kg/cmq}] = 3600$

P.	Afx	Afy	σ_c	σ_f	Cbc	Cbf	Ver	Cs
	cmq/m	cmq/m	kg/cmq	kg/cmq				
6	13.40	16.08	-8	36	15	15	Si	14
5	13.40	16.08	-4	161	15	15	Si	22

Muro : 35 - Nodi: [70-73-173-170]Pann=12Spess.=30 cm, Terreno=--, Criterio=CLS_Muri, Materiale=C25/30

Armatura a maglia doppia, Stampa elementi piu' gravosi

Combinazione Rara: $\sigma_{ca}[\text{kg/cmq}] = 149$ $\sigma_{fa}[\text{kg/cmq}] = 3600$

P.	Afx	Afy	σ_c	σ_f	Cbc	Cbf	Ver	Cs
	cmq/m	cmq/m	kg/cmq	kg/cmq				
12	13.40	16.08	-5	-36	11	11	Si	27
5	13.40	16.08	-3	106	11	11	Si	34

Combinazione QP: $\sigma_{ca}[\text{kg/cmq}] = 112$ $\sigma_{fa}[\text{kg/cmq}] = 3600$

P.	Afx	Afy	σ_c	σ_f	Cbc	Cbf	Ver	Cs
	cmq/m	cmq/m	kg/cmq	kg/cmq				
12	13.40	16.08	-5	-36	15	15	Si	21
5	13.40	16.08	-3	103	15	15	Si	33

Muro : 36 - Nodi: [74-71-171-174]Pann=12Spess.=30 cm, Terreno=--, Criterio=CLS_Muri, Materiale=C25/30

Armatura a maglia doppia, Stampa elementi piu' gravosi

Combinazione Rara: $\sigma_{ca}[\text{kg/cmq}] = 149$ $\sigma_{fa}[\text{kg/cmq}] = 3600$

P.	Afx	Afy	σ_c	σ_f	Cbc	Cbf	Ver	Cs
	cmq/m	cmq/m	kg/cmq	kg/cmq				
12	13.40	16.08	-5	-14	9	11	Si	27
11	13.40	16.08	-4	109	11	11	Si	33

Combinazione QP: $\sigma_{ca}[\text{kg/cmq}] = 112$ $\sigma_{fa}[\text{kg/cmq}] = 3600$

P.	Afx	Afy	σ_c	σ_f	Cbc	Cbf	Ver	Cs
	cmq/m	cmq/m	kg/cmq	kg/cmq				
6	13.40	16.08	-5	-38	15	15	Si	21
11	13.40	16.08	-4	108	15	15	Si	31

Muro : 37 - Nodi: [71-68-168-171]Pann=12Spess.=30 cm, Terreno=--, Criterio=CLS_Muri, Materiale=C25/30

Armatura a maglia doppia, Stampa elementi piu' gravosi

Combinazione Rara: $\sigma_{ca}[\text{kg/cmq}] = 149$ $\sigma_{fa}[\text{kg/cmq}] = 3600$

P.	Afx	Afy	σ_c	σ_f	Cbc	Cbf	Ver	Cs
	cmq/m	cmq/m	kg/cmq	kg/cmq				
12	13.40	16.08	-9	39	11	11	Si	17
11	13.40	16.08	-4	175	11	11	Si	21

Combinazione QP: $\sigma_{ca}[\text{kg/cmq}] = 112$ $\sigma_{fa}[\text{kg/cmq}] = 3600$

P.	Afx	Afy	σ_c	σ_f	Cbc	Cbf	Ver	Cs
	cmq/m	cmq/m	kg/cmq	kg/cmq				
12	13.40	16.08	-9	39	15	15	Si	13
11	13.40	16.08	-4	174	15	15	Si	21

Muro : 38 - Nodi: [68-64-164-168]Pann=12Spess.=30 cm, Terreno=--, Criterio=CLS_Muri, Materiale=C25/30

Armatura a maglia doppia, Stampa elementi piu' gravosi

Combinazione Rara: $\sigma_{ca}[\text{kg/cmq}] = 149$ $\sigma_{fa}[\text{kg/cmq}] = 3600$

P.	Afx	Afy	σ_c	σ_f	Cbc	Cbf	Ver	Cs
	cmq/m	cmq/m	kg/cmq	kg/cmq				
6	13.40	16.08	-8	34	11	11	Si	18
11	13.40	16.08	-3	159	11	11	Si	23

Combinazione QP: $\sigma_{ca}[\text{kg/cmq}] = 112$ $\sigma_{fa}[\text{kg/cmq}] = 3600$

P.	Afx	Afy	σ_c	σ_f	Cbc	Cbf	Ver	Cs
	cmq/m	cmq/m	kg/cmq	kg/cmq				
6	13.40	16.08	-8	35	15	15	Si	14
11	13.40	16.08	-3	159	15	15	Si	23

Muro : 39 - Nodi: [64-60-160-164]Pann=12Spess.=30 cm, Terreno=--, Criterio=CLS_Muri, Materiale=C25/30

Armatura a maglia doppia, Stampa elementi piu' gravosi

Combinazione Rara: $\sigma_{ca}[\text{kg/cmq}] = 149$ $\sigma_{fa}[\text{kg/cmq}] = 3600$

P.	Afx	Afy	σ_c	σ_f	Cbc	Cbf	Ver	Cs
	cmq/m	cmq/m	kg/cmq	kg/cmq				
7	13.40	16.08	-8	-3	11	11	Si	19
2	13.40	16.08	-5	103	11	11	Si	33

Combinazione QP: $\sigma_{ca}[\text{kg}/\text{cmq}] = 112$ $\sigma_{fa}[\text{kg}/\text{cmq}] = 3600$

P.	Afx	Afy	σ_c	σ_f	Cbc	Cbf	Ver	Cs
	cmq/m	cmq/m	kg/cmq	kg/cmq				
7	13.40	16.08	-8	-3	15	15	Si	15
2	13.40	16.08	-4	102	15	15	Si	25

Muro : 41 - Nodi: [99-100-112-157] Pann=8 Spess.=30 cm, Terreno=--, Criterio=CLS_Muri, Materiale=C25/30

Armatura a maglia doppia, Stampa elementi piu' gravosi

Combinazione Rara: $\sigma_{ca}[\text{kg}/\text{cmq}] = 149$ $\sigma_{fa}[\text{kg}/\text{cmq}] = 3600$

P.	Afx	Afy	σ_c	σ_f	Cbc	Cbf	Ver	Cs
	cmq/m	cmq/m	kg/cmq	kg/cmq				
5	13.40	16.08	-1	126	11	11	Si	28
8	13.40	16.08	-0	301	11	11	Si	12

Combinazione QP: $\sigma_{ca}[\text{kg}/\text{cmq}] = 112$ $\sigma_{fa}[\text{kg}/\text{cmq}] = 3600$

P.	Afx	Afy	σ_c	σ_f	Cbc	Cbf	Ver	Cs
	cmq/m	cmq/m	kg/cmq	kg/cmq				
5	13.40	16.08	-1	120	15	15	Si	30
8	13.40	16.08	-0	301	15	15	Si	12

Muro : 42 - Nodi: [97-95-161-152] Pann=8 Spess.=30 cm, Terreno=--, Criterio=CLS_Muri, Materiale=C25/30

Armatura a maglia doppia, Stampa elementi piu' gravosi

Combinazione Rara: $\sigma_{ca}[\text{kg}/\text{cmq}] = 149$ $\sigma_{fa}[\text{kg}/\text{cmq}] = 3600$

P.	Afx	Afy	σ_c	σ_f	Cbc	Cbf	Ver	Cs
	cmq/m	cmq/m	kg/cmq	kg/cmq				
8	13.40	16.08	-1	-1	11	11	Si	>100
6	13.40	16.08	-1	31	11	11	Si	>100

Combinazione QP: $\sigma_{ca}[\text{kg}/\text{cmq}] = 112$ $\sigma_{fa}[\text{kg}/\text{cmq}] = 3600$

P.	Afx	Afy	σ_c	σ_f	Cbc	Cbf	Ver	Cs
	cmq/m	cmq/m	kg/cmq	kg/cmq				
8	13.40	16.08	-1	-1	15	15	Si	>100
6	13.40	16.08	-1	33	15	15	Si	>100

Muro : 43 - Nodi: [100-0-153-112] Pann=8 Spess.=30 cm, Terreno=--, Criterio=CLS_Muri, Materiale=C25/30

Armatura a maglia doppia, Stampa elementi piu' gravosi

Combinazione Rara: $\sigma_{ca}[\text{kg}/\text{cmq}] = 149$ $\sigma_{fa}[\text{kg}/\text{cmq}] = 3600$

P.	Afx	Afy	σ_c	σ_f	Cbc	Cbf	Ver	Cs
	cmq/m	cmq/m	kg/cmq	kg/cmq				
7	13.40	16.08	-11	467	11	11	Si	7.7

Combinazione QP: $\sigma_{ca}[\text{kg}/\text{cmq}] = 112$ $\sigma_{fa}[\text{kg}/\text{cmq}] = 3600$

P.	Afx	Afy	σ_c	σ_f	Cbc	Cbf	Ver	Cs
	cmq/m	cmq/m	kg/cmq	kg/cmq				
7	13.40	16.08	-10	446	15	15	Si	8.1

Muro : 44 - Nodi: [0-99-157-156] Pann=4 Spess.=30 cm, Terreno=--, Criterio=CLS_Muri, Materiale=C25/30

Armatura a maglia doppia, Stampa elementi piu' gravosi
 Combinazione Rara: $\sigma_{ca}[\text{kg/cmq}] = 149$ $\sigma_{fa}[\text{kg/cmq}] = 3600$

P.	Afx	Afy	σ_c	σ_f	Cbc	Cbf	Ver	Cs
	cmq/m	cmq/m	kg/cmq	kg/cmq				
1	13.40	16.08	-6	267	11	11	Si	14

Combinazione QP: $\sigma_{ca}[\text{kg/cmq}] = 112$ $\sigma_{fa}[\text{kg/cmq}] = 3600$

P.	Afx	Afy	σ_c	σ_f	Cbc	Cbf	Ver	Cs
	cmq/m	cmq/m	kg/cmq	kg/cmq				
1	13.40	16.08	-5	252	15	15	Si	14

Il Progettista